

بحوث في جيومورفولوجية الأراضي العربية

دكتور

محمد مجدى تراب

أستاذ الجغرافيا الطبيعية

بجامعة الإسكندرية والإمارات العربية المتحدة

الفصل

إلى أساتذتي الإجملاء تقديراً
وعرفاناً بالجميل

المقدمة

تزخر أراضي وطننا العربي بشخصية جيومورفولوجية فريدة مميزة ، تتسم بالخصوصية والتنوع معا ، فنجد الأنهار الهادرة تشق الصحراوات القاحلة ، فتبعث فيها بالحياة ، ويتحول بينتها الحيوية من الجذب والفقر إلى الوفرة والغنى بدون تمهيد ، كما تنهمر السيول الفياضة فجأة بدون إنذار لتروى الظما وتبتل العروق ، ولكن لصحارينا وحشيتها وقسوتها ، فقد يلقي ساكنيها وزوارها حتفهم من الجذب والجفاف ، أو من الغرق عند انهمار السيول الهادرة الغادرة . وتنوع سواحلنا فتارة تبدو شاهقة صامدة أمام هجمات الأمواج الشرسة ، وتارة تظهر منبسطة تداعب رمالها الأمواج الوديعه فتترك على شواطئ خلجانها .

يضم الكتاب ثلاث عشرة بحثا تتناول أجزاء مختارة من أراضي وطننا العربي ، أتاحت للباحث فرصة دراستها ميدانيا خلال السنوات العشر الأخيرة ، والتجول في تيه صحراواتها وعلى ضفاف نيل مصر ، والتقيب عن بقايا فروع دلتاه المندثرة ، ومحاولة رسم خريطة جيومورفولوجية لشكل الدلتا قبل تقلصها ، كما واتته فرصة دراسة هوامش منخفضات في الصحاري الليبية ، ودراسة أجزاء من سواحل وجزر الإمارات المطلة على الخليج العربي ، وجروف شبه جزيرة مسندم العمانية ، وجزيرة قشم ذات الجذور والهوية العربية .

وتتسم بحوث الكتاب بالتنوع إذ يهتم بعضها بطرق ووسائل البحث الجيومورفولوجي وتطبيقاتها ، كما تتناول مجموعة من البحوث موضوعات في الجيومورفولوجيا التاريخية ، ولأسيما الأشكال الأرضية الناجمة عن الذبذبات المناخية التي حدثت في مستوى البحر خلال الزمن الرابع ، إلى جانب مجموعة من البحوث في

الجيومورفولوجيا التطبيقية ، تهتم برصد الأخطار الطبيعية المحتملة واقتراح الاستغلال الأمثل لبقع غالية من أراضي وطننا العربي الكبير .

وتم تقسيم الكتاب إلى ثلاثة أبواب يضم الأول منها بحوث خمسة تتناول طرق وأساليب الدراسات الجيومورفولوجية وتطبيقاتها ، ويهتم الباب الثاني بالجيومورفولوجيا التاريخية من خلال خمسة بحوث أخرى يدرس معظمها الأشكال الأرضية المتبقية عن ذبذبات مستوى سطح البحر خلال الزمن الرابع ، على سواحل خليج العقبة بمصر والخليج العربي في الإمارات وسلطنة عُمان وإيران .

ويسعدني أن أقدم هذا العمل لأساتذتي وزملائي وطلاب علم أشكال سطح الأرض في الجامعات العربية ، وأرجو أن أكون قد وفقت في إبراز الشخصية الجيومورفولوجية للمناطق المختارة لهذه المجموعة من الدراسات .

والله الموفق ،،

أ.د. محمد مجدى تواب

العين - الإمارات أكتوبر ٢٠٠٢

المحتويات

الباب الأول : بحوث تهتم بطرق وأساليب الدراسة وتطبيقاتها

البحث الأول	خريطة جيومورفولوجية موقوتة للنطاق المحصور بين أعلى مد وأدنى جزر بشاطئ رأس سدر صباح يوم غرة ذو الحجة ١٤١٨ هـ - ٢٩ مارس ١٩٩٨
البحث الثاني	استخدام الطائرات الورقية في التصوير الجوي
البحث الثالث	تحليل منحدرات الهوامش الشمالية والغربية لمنخفض جغوب بليبيا
البحث الرابع	الخصائص الجيومورفولوجية لمنطقتي قارة أم الصغير ومنقار أبودويس بالهوامش الشمالية الغربية لمنخفض القطارة
البحث الخامس	<i>A Geomorphological Map of The Ancient Branches of The Nile Delta</i>

الباب الثاني : بحوث في الجيومورفولوجيا التاريخية

البحث السادس	التطور الجيومورفولوجي لحوض وادي قصيب بالنطاق الشرقي من جنوب شبه جزيرة سيناء
البحث السابع	دلائل تذبذب مستوى سطح البحر على السبخات الساحلية بإمارة أبوظبي
البحث الثامن	شواهد تغيرات مستوى سطح البحر خلال الزمن الرابع على سواحل جزيرة صير بني ياس
البحث التاسع	أدلة تذبذب مستوى سطح البحر على سواحل شبه جزيرة "مسندم" - سلطنة عمان
البحث العاشر	بعض دلائل تذبذب مستوى سطح البحر على سواحل جزيرة قشم - إيران

الباب الثالث : بحوث في الجيومورفولوجيا التطبيقية

البحث الحادي عشر	منظومة مائية مقترحة للاستغلال الأمثل لمياه الأفلاج
البحث الثاني عشر	أسباب اندثار الفرع البيلوزي والأخطار البيئية التي تواجه ترعة السلام بمنطقة سهل الطينة
البحث الثالث عشر	<i>Flood-Hazards Mapping of The Hafit Mountain Slopes -United Arab Emirates.</i>

الباب الأول

الباب الأول : بحوث تهتم بطرق وأساليب الدراسة وتطبيقاتها

البحث الأول

خريطة جيومورفولوجية موقوتة للنطاق المحصور بين أعلى
مد وأدنى جزر بشاطئ رأس سدر صباح يوم غرة ذو الحجة
١٤١٨ هـ - ٢٩ مارس ١٩٩٨

البحث الأول

خريطة جيومورفولوجية موقوتة للنطاق المحصور بين أعلى
مد وأدنى جزر بشاطئ رأس سدر صباح يوم غرة ذو الحجة
١٤١٨ هـ - ٢٩ مارس ١٩٩٨

ملخص

يقترح البحث تقديم أسلوب لرسم الخرائط الجيومورفولوجية الموقوتة لبعض الظواهرات الموقوتة أو المتحركة التي لا يصلح لرسمها وسائل التخريط العادية ، لأن هذه الأشكال الأرضية لا تظهر على الخرائط الطبوغرافية على اختلاف مقاييسها أو الصور الجوية ، وتعد أشكال الارساب البحري المحصورة بين أعلى مستوى للمد وأدنى مستوى للجزر مثالا واضحا لهذا النوع من الأشكال الأرضية الموقوتة التي يرتبط ظهورها بالفترة الزمنية المصاحبة لاكتشاف المياه وقت الجزر ، وتعتمد الدراسة على أسلوب الرفع المساحي والتصوير الفوتوغرافي الرأسى لهذه الأشكال الأرضية أثناء أدنى مستوى يبلغه الجزر خلال العام الحالى ١٩٩٨ ، مع التطبيق على شاطئ رأس سدر بخليج السويس .

المقدمة :

يقع شاطئ رأس سدر على الجانب الشرقى لخليج السويس ، جنوب رأس الخليج بنحو ٤٣ كيلو مترا ، عند تقاطع دائرة عرض ٢٩ ٣٦ شمالا ، مع خط طول ٣٢ ٤٢ شرقا . وتشرف منطقة البحث على ساحل خليج السويس بطول لا يتجاوز ١٨٥٠ مترا ، ويتراوح عرض النطاق المحصور بين أعلى مد وأدنى جزر خلال الفترة الزمنية للدراسة بين ٤٦ مترا و ٣٢٠ مترا ، بمساحة إجمالية تبلغ نحو ١٦٦ ألف متر مربع ، شكل (١-١) .

الهدف من البحث :

يهدف هذا البحث إلى دراسة خصائص الأشكال الأرضية الموقوتة *Temporal geomorphological features* التي تظهر بالنطاق المحصور بين أعلى مد وأدنى جزر بشاطئ رأس سدر ، حيث تبدو هذه الأشكال الأرضية في أوج هينيتها عند وصول المياه لمستوى أدنى جزر *Low water spring* و لكنها تختفي مع انغمارها مرة أخرى بتيار المد ، كما تهدف هذه الدراسة لتحديد مدى مساهمة تيارات المد والجزر في تشكيل المظهر المورفولوجي لقطاع الشاطئ ، وتتبع مراحل التطور الجيومورفولوجي لهذه الأشكال منذ بداية ظهورها مع انكشاف المياه عنها نتيجة تيار الجزر ، وحتى انغمارها بالمياه مع تيار المد .

وبقترح هذا البحث تطبيق أسلوب التسجيل اللحظي لملامح التوزيع الجغرافي للأشكال الأرضية ، ويفيد هذا الأسلوب في دراسة الظواهرات الجيومورفولوجية المتحركة *Mobile geomorphological features* . التي تتطور خصائصها وأبعادها بسرعة لا تتيح للدارس إمكانية تمثيلها على الخرائط الجيومورفولوجية ، مثل الأشكال الجيومورفولوجية التي تتكون عقب جريان السيول ، والتي تظهر سواء على بطون الأودية أو على أسطح المراوح الفيضانية ، وأشكال الانسحاب بفعل الرياح وبصفة خاصة علامات التموج ، وأيضا بعض أشكال حركة المواد السريعة على المنحدرات ، مثل الأشكال الناتجة عن التدفق الأرضي والتدفق الطيني ، والانزلاق الأرضي ، والتساقط الصخري .

الدراسات السابقة :

لم تحظ الأشكال الجيومورفولوجية المحصورة بين كل من مستوى المد والجزر بما تستحق من الدراسة الجيومورفولوجية من جانب الكتاب العرب ، رغم انتشار وجودها على الشواطئ الضحلة لخليج السويس والخليج العربي. ورغم أنها كانت موضوع دراسات متعددة لعدد من الجيومورفولوجيين منذ بداية السبعينيات ، ومن أهمها دراسات " ماتشيذا وزملائه " *(Machida, T., et. al, 1974)* عن تصنيف علامات التموج التي تتكون على شاطئ تاتادو *Tatado beach* بشبه جزيرة أيزو Izu بوسط جزيرة هنشو اليابانية ، ودراسات " دالريمبل وآخرون " *(Dalrymple, R.W., et al, 1978)* ، *(Dalrymple, R. W, 1984)* الذين قاموا بدراسة تأثير تيارات المد والجزر على خصائص البيئة الترسيبية على قاع خليج فندي *Bay of Fundy* ، ودراسة التي قدمها " بورسما و ترويندنت " *(Boersma, J.R.,)*

1981 (Terwindt, J.H.J. and) عن عمليات الترسيب فوق قيعان المصببات الخليجية الضحلة حين شيوع حركة المد المتوسط *Mesotided*.

كما استخدمت بقايا الأشكال الأرضية المتخلفة عن تيارات المد والجزر التي حدثت خلال العصور الجيولوجية القديمة كأداة للتأريخ الجيومورفولوجي ودراسة ديناميكية وخصائص المسطحات البحرية أثناء تلك العصور ، وأهمها الدراسة التي قام بها " كومار " (Komar, P.D., 1974) عن تطور علامات التموج القديمة فوق الشواطئ العالية حالياً ، واستخدمها كأداة لقياس خصائص الأمواج وتيارات المد والجزر خلال فترات تكوينها ، والدراسة التي قام بها " فيسر " (Visser, M.J., 1980) عن تأثير تيارات المد والجزر على تشكيل ظاهرات رواسب القاع المنبسطة خلال عصر الهولوسين ، والدراسة التي قام بها " آلن وهومود " (Allen, P.A., and Homewood, P., 1984) لديناميكية وتطور تيارات المد والجزر خلال عصر الميوسين .

أسباب اختيار منطقة وتوقيت الدراسة :

اختيرت منطقة شاطئ رأس سدر للدراسة نظراً للأسباب الآتية :

- ١- يسجل خليج السويس أعلى مدى بين المد والجزر *Range of tide* على سواحلته بالقياس لمدى المد والجزر على جميع السواحل المصرية ، حيث تتأخم منطقة البحث رأس خليج السويس الذي يسجل أعلى مدى أمكن رصده على سواحل البحر الأحمر والبحر المتوسط على السواء .
- ٢- تتميز منطقة الدراسة بالضحالة وتكوينها من الرواسب الرملية الناعمة مما يساهم في إعادة تشكيل هذه الرواسب بتيارات المد والجزر .

أسباب اختيار توقيت الدراسة :

تم اختيار توقيت الدراسة لأنه يسجل أعلى مدى للمد والجزر خلال العام الحالي ، وذلك اعتماداً على دراسة قيم ارتفاعات المد والجزر اليومية خلال عام ١٩٩٨ الواردة ببرنامج *Tides V.2.24* ^(١) الذي يستخدم في أغراض الملاحة البحرية ، وهو يقدم توقعات يومية لارتفاعات المد والجزر في جميع موانئ العالم بدرجة عالية من الدقة ، اعتماداً على جداول المد والجزر المنشورة بالأدميرالية البريطانية للملاحة البحرية ، والتي تضع في اعتبارها جميع المتغيرات المؤثرة على مناسيب المد والجزر ، ومن دراسة أشكال (من ١-٢ إلى ١-٧) التي توضح التباين بين مناسيب المد والجزر خلال فصول السنة نلاحظ ما يلي :

١- يحدث أعلى مدى (فارق) بين المد والجزر في فصول الربيع والصيف والشتاء عند نهاية الشهور العربية ، على حين يحدث أعلى مستوى لهذا المدى في فصل الخريف عند منتصف الشهر العربي ، راجع شكل (٢-١) .

٢- تحدث أعلى قيم لفارق المد عن الجزر خلال العام في فصلي الربيع والخريف بسبب تحييد تأثير الشمس على جذب الكتلة المائية للبحر الأحمر أثناء الاعتدالين، كما تنخفض هذه القيم في فصلي الشتاء والصيف بسبب تعامد الشمس على المدارين فتعمل على مقاومة قوة جذب القمر للكتلة المائية، راجع (شكل ٢-١) .

٣- يسجل فصل الخريف أدنى قيم الجزر خلال العام (٧ سنتيمترات يوم ١٦ جماد ثاني ١٤١٨ / ٧ أكتوبر ١٩٩٨) ، كما يسجل فصل الربيع أعلى قيم المد خلال العام (٢٢٢ سنتيمتر يوم أول ذو الحجة ١٤١٨ / ٢٩ مارس ١٩٩٨ ، وهو اليوم المختار لإجراء هذه الدراسة) ، راجع (أشكال ١-٣ ، ١-٤ ، ١-٥ ، ١-٦) .

٤- يحدث عادة المد العالي Spring tide في نفس أيام تسجيل أدنى قيم للجزر، والعكس صحيح ، فيحدث المد المنخفض Neap tide في الأيام التي تحدث فيها القيم المرتفعة للجزر .

٥- سجل المدى بين أعلى مد وأدنى جزر Range of tide في اليوم المختار للدراسة فارقاً قدره (٢٠٠ سنتيمتر) ، حيث حدث أدنى جزر الساعة ١٨:٣٣ مساءً بارتفاع قدره ٢٢ سنتيمتراً ، إلا أن غروب الشمس قبل هذا التوقيت أعاق الرؤية ، ولذا فضل الباحث إجراء الدراسة أثناء حدوث دورة الجزر الصباحية التي سجلت ارتفاعاً قدره ٢٥ سنتيمتراً الساعة ١٠:٠٦ صباحاً أي بعد شروق شمس هذا اليوم بحوالي العشرين دقيقة .

طرق وأساليب البحث ووسائله :

اتبعت طرق وأساليب ووسائل البحث الآتية :

أولاً : إنشاء الخريطة الجيومورفولوجية الموقوتة :

تعتمد الدراسة على رسم خريطة جيومورفولوجية موقوتة ، لإيضاح ملامح **توزيع الجغرافي للظواهرات الجيومورفولوجية** أثناء أدنى جزر ، إلى جانب مجموعة من الخرائط التفصيلية للأشكال الجيومورفولوجية الدقيقة *Micro-geomorphological features* خلال هذه الفترة الزمنية الوجيزة ، باستخدام طرق ووسائل وأساليب القياس والتسجيل الآتية :

(أ) أسلوب رسم الخريطة الجيومورفولوجية الموقوتة للجزء الجنوبي من منطقة البحث بشكل (٩-١) :

- ١- التصوير الفوتوغرافي البانورامي للجزء الجنوبي من منطقة البحث أثناء فترة أدنى مستوى للجزر من أعلى مكان متاح للتصوير^١، وتعديل الصور الفوتوغرافية المائلة إلى صور رأسية باستخدام جهاز Photo master.
- ٢- إدخال الصور الفوتوغرافية في جهاز الحاسب الآلي باستخدام الماسح الضوئي Scanner.
- ٣- رسم خريطة أساس Base map بتحديد ملامح الأشكال الجيومورفولوجية التي تظهر في الصور الفوتوغرافية باستخدام برنامج Illustrator 7.
- ٤- توقيع الرموز والإصطلاحات وتظليل الخريطة الجيومورفولوجية باستخدام برنامج Corel drew 6.

(ب) أسلوب رسم الخريطة الجيومورفولوجية الموقوتة للسان البحري بالجزء الشمالي من منطقة البحث بشكل (٨-١) :

- ١- استخدام جهاز المحطة المساحية المتكاملة Total station^٢ في توقيع إحداثيات ومناسيب مجموعة كبيرة من النقاط المحددة للمظهر المورفولوجي للسان البحري عند خط تلامس مياه الخليج مع اللسان البحري أثناء فترة أدنى مستوى للجزر^٣، وذلك باحتلال نقطة معلومة المنسوب على خط أعلى مد ، وتوقيع نقط الإحداثيات ألياً وبسرعة فائقة لضمان تسجيل الشكل المورفولوجي للسان البحري أثناء فترة أدنى جزر ، وذلك بوضع العاكس

^١ تم تصوير المنطقة من أعلى مبنى فندق رأس سدر التابع لشركة مصر سيناء للسياحة من ارتفاع ٨٠٧ متر بزاوية ميل ١٠ ٨٠ .

^٢ جهاز المحطة المساحية المتكاملة ماركة Topcon طراز GTS-702 يعمل في جميع الظروف الجوية وعند انعدام الرؤية باستخدام الأشعة تحت الحمراء ، يقوم بقياس وتسجيل فروق المناسيب بدقة ١٠ مليمتر والزوايا بدقة ثنائية واحدة ، ويسجل البيانات المقاسة ألياً على كارت إلكتروني يتم تفريغه في الحاسب الآلي بعد العودة من الميدان .

^٣ بلغ عدد النقاط المساحية المحددة لشكل اللسان ٨٤ نقطة ، وتم تسجيلها خلال فترة لا تتجاوز ٤٥ دقيقة .

- الضوءى للمحطة المساحية ونقله بسرعة على النقط المحددة للسان البحرى
لحساب نقاط إحداثياتها ومناسبتها أليا .
- ٢- رسم خريطة كنتورية للسان البحرى بتوقيع نقاط الإحداثيات باستخدام برنامج Win Surfer .
- ٣- استخدام الخريطة الكنتورية كأساس لرسم وتوقيع الخريطة الجيومورفولوجية للسان البحرى الموضحة بشكل (٨-١) ، وذلك باستخدام برنامج Corel drew 6 .

(ج) أسلوب رسم الخرائط الجيومورفولوجية التفصيلية لبعض الظاهرات الدقيقة الموضحة بأشكال (١٠-١، ١١-١) :

١- التصوير الرأسى المقرب لبعض الأشكال الجيومورفولوجية الدقيقة مع وضع مسطرة مدرجة لاستخدامها فى تحديد مقياس رسم الخريطة .

٢ - إدخال الصور الفوتوغرافية فى الحاسب الألى كما هو مبين بالبند الأول ، ورسم الخريطة الجيومورفولوجية أليا باستخدام برنامج 7 Illustrator فى رسم خريطة الأساس بتحديد ملامح الأشكال التضاريسية ، وبرنامج Corel drew 6 فى رسم رموز واصطلاحات وتظليل الخرائط الجيومورفولوجية .

ثانيا : الرفع الميدانى للقطاعات التضاريسية :

تم رفع مجموعة من القطاعات التضاريسية العمودية على خط الساحل^٤ ، بحيث يبدأ كل قطاع منها من نقطة معلومة المنسوب عند أعلى مستوى للمد ، وينتهى القطاع عند مستوى يتجاوز أدنى جزر ، باستخدام جهاز المحطة المساحية المتكاملة Total station .

^٤ ساهم فى الرفع المساحى للقطاعات التضاريسية الزميل السيد / ماحد محمد شعله المدرس المساعد بقسم الجغرافيا بكلية آداب دمنهور برفقة نخبة من طلاب الفرقة الثالثة شعبة الجرائط والمساحة .

نتائج الدراسة :

من دراسة الخرائط الجيومورفولوجية الموقوتة بالمنطقة بأشكال (٨-١ ، ٩-١ ، ١٠-١ ، ١١-١) يمكن استنتاج أهم الخصائص المميزة للظواهرات الجيومورفولوجية وتلخيصها فيما يلي :

١- الألسنة البحرية Marine Spits :

يظهر وقت الجزر لسان بحرى كبير يمتد عموديا على خط الساحل بالجزء الشمالى من منطقة البحث ، ويبلغ أقصى طول له نحو ٣٨٠ مترا ، ويترأوح عرضه بين ٤٦٠ مترا ، ٢٢٠ مترا ، وتصل مساحته لحوالى ٧٥ ألف مترا مربعا ، وهو يتكون من لسان رئيسى عمودى على خط الساحل يتميز بارتفاع منسوبه وانحدار جانبيه ، وتظهر على سطحه عقب انحسار المياه وقت الجزر تموجات منتظمة من علامات التموج ، راجع صورة (١-١) .
ويتصل اللسان الرئيسى بمجموعة من الألسنة الثانوية تمتد من اليابس الرملى فى مياه الخليج ، إلا أنها أقل منسوباً ومنحدراتها الجانبية أقل انحداراً ، وهى تتشكل من رواسب رملية أكثر نعومة ، وتدين بنشأتها لتيار الجزر الذى يعمل على سحب الرواسب الرملية الدقيقة وإعادة تشكيلها ، وتفصل بين هذه الألسنة الثانوية بعض البحيرات والبرك والمستنقعات الموقوتة ، وحينما يحل وقت المد تنعمر أهداب الألسنة الرملية بالمياه ، وتغرق فى طريقها المسطحات البحرية والبرك والمستنقعات ، ولايتبقى سوى بقايا اللسان الرئيسى المرتفع المنسوب ، ولا تمضى سوى دقائق معدودات لتختفى معالمه تحت مياه المد المتدفقة .

٢- الحواجز البحرية Marine Bars :

تتكون بالمنطقة مجموعة من الحواجز البحرية الموازية لخط الساحل المحدودة الارتفاع ، وهى تتركب من الرواسب الرملية الدقيقة المختلطة مع الرواسب الفيضية الناعمة التى تلقى بها مجموعة الأودية التى تصب فى خليج السويس شمال منطقة الدراسة ، وهى أودية مبعوق وأبورمث والريينة ومربع ولهاطة وسدر ، وتسهم مجموعة العوامل التالية فى إعادة تشكيل هذه الرواسب وظهورها كحواجز تتكشف فوق صفحة المياه أثناء الجزر :
١" التيار البحرى الممتد بمحاذاة خليج السويس من الشمال للجنوب الذى يقوم بإعادة نقل الرواسب الدقيقة .
٢" أمواج البناء الضعيفة التى تعمل على تراكم وتجمع الرواسب ، والأمواج المرتدة Back swash التى تسهم فى إعادة ترسيب حبيبات

الرمل المنقولة من الشاطئ الأمامي .
 "٣" تيار المد الذي يقوم بسحب الرواسب المتراكمة على الحاجز البحرى وإعادة تسوية منحدراته الداخلية أى المواجهة لخط الساحل .
 "٤" تيار الجزر الذى يقوم بسحب الرواسب المتراكمة على الحاجز وإعادة تسوية منحدراته الخارجية أى المواجهة للخليج .

ويمكن تصنيف الحواجز البحرية المتكونة أثناء الجزر بالمنطقة للأنماط التالية تبعاً لاختلاف أشكالها :

(أ) الحواجز البحرية المستقيمة Straight Marine Bars :

يمتد هذا النوع من الحواجز موازياً لخط الساحل بصورة مستقيمة تكاد تخلو من الإنثناءات والتعرجات ويظهر بالأجزاء العميقة نسبياً من الشاطئ .

(ب) الحواجز البحرية المقوسة :

يبدو هذا النمط من الحواجز مقوساً عند أطرافه ، وقد تنقوس نهاياته للداخل (فى اتجاه الساحل) بتأثير تيار المد ، أو تنقوس للخارج (فى اتجاه مياه الخليج) إذا كان تيار الجزر أكثر تأثيراً وفاعلية فى تحريك حبيبات الرواسب ، وغالباً ما يظهر هذا النمط من الحواجز بالأجزاء الضحلة من الشاطئ الأمامي .

(ج) الحواجز البحرية المغمورة Submerged Marine Bars :

تمتد هذه الحواجز بالأجزاء العميقة من الشاطئ وحينما تتراكم عليها المزيد من الرواسب تتحول إلى حواجز مكشوفة أى تظهر أثناء الجزر ، وغالباً ما تمتد الحواجز المغمورة بصورة مستقيمة بمحاذاة خط الساحل ، نظراً لضعف تأثير تيارات المد والجزر على حركة الرواسب بالمياه العميقة .

٣- قنوات وجداول المد والجزر Tidal channels and rills :

عبارة عن قنوات تفصل بين مجموعة الأشكال الجيومورفولوجية الموجبة التى تتكون على الشاطئ الأمامي للمنطقة ، مثل الألسنة والحواجز والشطوط والجزر البحرية ، ويترأوح اتساع هذه القنوات بين بضعة عشرات من السنتيمترات وحوالى الأمتار الأربعة ، وتتميز بضحالتها حيث لايتجاوز عمقها المتر الواحد ، وتتركز بها حركة المياه أثناء فترات المد والجزر ، إذ تتراوح سرعة تيار الجزر

البحث الأول :خريطة جيومورفولوجية موقوتة لشاطئ رأس سدر

بهذه القنوات من ١٣ إلى ٣٦ متر / دقيقة ° ، ولوحظ أن سرعة التيار تتناسب عكسياً مع اتساع قنوات الجزر ، حيث تزداد سرعة التيار في القنوات الضيقة ، ونقل السرعة في القنوات المتسعة .

أما جداول المد والجزر فتبدو كقنوات غائرة تحرز منحدرات الشاطئ الأمامى ، وتشبه الحزوز أو الثلوم ، وهى تتميز بزيادة عمقها قياساً باتساعها المحدود نتيجة اندفاع تيار الجزر المسلح ببعض الحصوات المنفردة ، التى يتركها تيار المياه فى أماكنها حينما تضعف طاقته على الحمل أو الدفع ، فتظل هذه الحصوات رابضة فى مواضعها حتى يحل وقت المد فتزحف من جديد ، راجع أشكال (١٠-١ ، ١١-١) .

٤- بحيرات وبرك ومستنقعات الجزر الموقوتة :

عند انحسار المياه وقت الجزر تتخلف بعض البرك والبحيرات الموقوتة فى الأجزاء المنخفضة من أرضيتها وتظهر بالقرب من خط الساحل ، وتتحول هذه المسطحات من هيئة لأخرى حيث تظهر فى بداية الأمر كبحيرات تتصل بالخليج عن طريق فتحات أو بواغيز موقوتة ، سرعان ما تنحسر عنها المياه فتتحول إلى بحيرات مغلقة ، فتفقد مصدر مياهها ، ومع زيادة التسرب والتبخير تتحول تدريجياً إلى مسطحات من المستنقعات الضحلة الغنية بالرخويات والقشريات والطحالب والحشائش البحرية ، وإذا زادت معدلات التبخر والتسرب تجف المياه تماماً من المستنقعات لتتحول إلى شطوط مزركتة بعلامات التمزج المتوازية .

ومع حلول وقت المد تبدأ دورة أخرى عكسية لتتحول هذه الشطوط مرة أخرى إلى مستنقعات وبرك ضحلة فى أول الأمر ، ثم إلى بحيرات تتسع تدريجياً مع اندفاع تيار المد عبر القنوات المائية حتى تغطيها المياه تماماً ، ولا تستغرق مراحل تطور هذه المسطحات أكثر من سوياعات معدودات .

٥- الشطوط الساحلية Coastal shoals :

عبارة عن مسطحات مستوية تتكشف عنها المياه أثناء الجزر فتظهر على سطوحها علامات التمزج التى سبق وأن تكونت أثناء فترة المد ، كما تنتشر فيما

° قياس مبدائى بحبل مدرج مثبت فى نهايته مكعب من الفلين ، واستخدام ساعة إيقاف stop watch فى قياس الوقت .

البحث الأول :خريطة جيومورفولوجية موقوتة لشاطئ رأس سدر

بين علامات التموج الرواسب الملحية الناتجة عن تبخر مياه الخليج ، ثم تعاود انغمارها من جديد حينما تتساقب تيارات المد ، و تشبه هذه الشطوط إلى حد كبير السبخ الملحية التي تتكون على بعض سواحل مصر على البحر الأحمر .

٦- الجزر الناتجة عن تيارات الجزر Tidal Islands :

تظهر أثناء الجزر مجموعة من الجزر الرسوبية المكونة من الرمل الدقيق الحبيبات المختلط بالطين ، وتبدو هذه الجزر مقوسة الشكل بتأثير سحب تيارات الجزر للرواسب الرملية في اتجاه الخليج ، حيث تمتد أطرافها كأهداب منسدلة تتكون من الرواسب الناعمة تتجه نحو الغرب ، مما يؤكد مساهمة تيارات الجزر في إعادة تشكيل أرساباتها ، وضعف تأثيرها بتيارات المد ، ولذا أطلق عليها تعبير جزر الجزر *Tidal islands* أو الجزر الناتجة عن تراجع المياه مع تيارات الجزر ، راجع صورة (٢-١) .

٧- علامات التموج Ripple marks :

تنتشر علامات التموج على الأسطح الرملية المتأثرة بتيارات المد والجزر ، وهي تتكون من سلاسل متناسقة ومنظمة من التموجات الرملية دقيقة الحجم ، يتكون كل منها من منحدرين متضادين ، أولهما حين الانحدار يطلق عليه اسم ظهر علامة التموج ، وهو يتجه عادة للغرب أي لمياه الخليج ، والمنحدر الثاني شديد يطلق عليه حافة علامة التموج ، وهو يتجه للشرق أي نحو اليابس . ويشير المظهر المورفولوجي لعلامات التموج إلى أنها تتكون بتأثير فعل الأمواج وتيارات المد ، إذ تبدو منحدراتها الهينة في اتجاه القوى المؤثرة في تشكيلها ، على حين يقتصر دور تيارات الجزر على طمس ملامح هذه العلامات بإعادة سحب وترسيب الرمال المكونة لقممها ، فتبدو مستوية تماما ، أو تتراكم الرمال مكونة بعض القباب الطولية المحدودة الارتفاع ، تشير إلى توجيه تيارات الجزر . وتصنف علامات التموج تبعا للعديد من أسس التصنيف ، فقد تصنف هذه العلامات حسب أحجامها إلى ثلاثة أنماط هي :

- ١ " Mega-ripple marks علامات التموج الكبيرة
- ٢ " Meso-ripple marks علامات التموج المتوسطة
- ٣ " Micro-ripple marks علامات التموج الدقيقة

كما تصنف هذه التموجات تبعا للعوامل المشكلة لها إلى الأنواع الآتية :
Wave ripple marks "١" علامات التموج بفعل الأمواج

Tidal ripple marks "٢" علامات التموج بفعل حركة المد والجزر
Compound ripple marks "٣" علامات التموج المركبة

ويمكن تصنيف هذه العلامات حسب الفترة الزمنية التي تكونت خلالها :

Recent ripple marks "١" علامات التموج الحديثة
Palaeo-ripple marks "٢" علامات التموج القديمة

وقد صنف الباحث علامات التموج التي تظهر في منطقة الدراسة وفي توقيت معلوم تبعا لأشكالها وخصائصها المورفولوجية العامة إلى الأنماط الآتية:

(أ) علامات التموج المدببة القمة Sharp ripple marks :

تتميز علامات التموج المدببة القمة بزيادة ارتفاعها الذي يتراوح بين ٢٣ ، ٢٧ سنتيمتر ، وشدة انحدار جوانبها (ظهر وحافة علامة للتموج) ، ويرتبط تكوين هذا النمط من علامات التموج مع توفر الظروف الآتية ، راجع صورة (٣-١) :

"١" استواء سطح الشاطئ .

"٢" ضعف تيار الجزر وعدم قدرته على إعادة تشكيل أو طمس علامات التموج .

"٣" خشونة رواسب الشاطئ الأمامي .

(ب) علامات التموج المسطحة القمة Abrasion ripple marks

تظهر علامات التموج المسطحة القمة أو المكشوفة نتيجة انسياب تيار الجزر القوى وإعادة تسوية قمم علامات التموج التي سبق تشكيلها بتيار المد السابق تسائده الأمواج ، ويتميز هذا النمط من علامات التموج بارتفاعه المحدود الذي لا يتجاوز ١٧ سنتيمترا في المتوسط ، وصغر أطوال أمواجها^٦ ، بسبب تأثيرها بحركة تيار الجزر القوى ونعومة حبيباتها الرملية ، راجع صورة (٤-١) .

(ج) علامات التموج الهلالية (المقوسة) Curved ripple marks :

يبدو هذا النوع من علامات التموج كسلاسل متتابعة تشبه الكتلان الهلالية الشكل أو البرخانات ، ولكن مع اختلاف المقياس إذ تتراوح ارتفاعاتها بين ١٩ و ٢٢ سنتيمترا وأطوال موجاتها بين ١٦ ، ١٩ سنتيمترا ، وأنصاف أقطار أقواسها ٩ ، ١١ سنتيمترا ، وتتميز علامات التموج الهلالية بضعف انحدار

^٦ طول موجة علامة التموج عبارة عن المسافة الأفقية الفاصلة بين قمتين متتاليتين أو قاعين متتالين .

ظهورها التي تشير إلى اتجاه أمواج المد المسنولة عن تشكيلها ، وشدة انحدار حوافها المواجهة لخط الساحل .
وتتكون علامات التموج الهلالية بسبب وجود بعض الحصوات والرمال الخشنة على سطح الشاطئ الأمامي الذي يتألف في معظمه من الرمال الدقيقة الحبيبات ، حيث تعوق حبيبات الحصى والرمال الخشنة تيار المد فتزيد من احتكاك هذه الحبيبات بالشاطئ الرملی ، فتتقوس علامات التموج نتيجة فقد جزء من طاقة تيار المد .

(د) علامات التموج المضفرة (المجدولة) Braided ripple marks :

يرتبط هذا النوع من علامات التموج حيثما تحدث الدوامات المائية الناجمة عن تضرس ووعورة سطح الشاطئ ، فتتلاطم تيارات المد مع الأمواج ، مما يعمل على ترسيب حبيبات الرمل التي تحملها بغير انتظام ، فتبدو علامات التموج بهذا الشكل الفريد الذي يشبه الجداول بارتفاع لا يتجاوز السنتيمترين ، ويتشابه انحدار جوانبها ، وتلتقى صفوفها المتوازية حيثما يضعف التيار أو عند مواضع نمو النباتات والطحالب والقشريات البحرية .

(هـ) علامات التموج المزدوجة Paired ripple marks :

تظهر علامات التموج المزدوجة كزوج من التموجات الرملية المتوازية بانتظام ، ولا يفصل بينهما سوى سنتيمتر واحد أو اثنين على الأكثر ، وتتميز العلامات المزدوجة بتشابه انحدار جوانبها ، وارتفاعها المحدود الذي لا يتجاوز ٢ ر سنتيمترا . ويتكون هذا النمط من التموجات الرملية نتيجة انحدار سطح الأرض وانسياب تيار المد المتدفق بصورة موازية لعلامات التموج ، فتعمل على تقارب قممها .

ومما تقدم يمكن استنتاج أهم العوامل المساهمة في تباين مورفولوجية علامات التموج وحصرها فيما يلي :

- ١ - شكل خط الساحل ودرجة تعرجه .
- ٢ - درجة انحدار منطقة الشاطئ الأمامي .
- ٣ - عمق المنطقة الشاطئية ومدى توافر الرمال على القاع ، وحجم حبيباتها .
- ٤ - قوة وتوجيه واستمرارية الأمواج .
- ٥ - قوة تيارات المد والجزر وتوجيهها بالنسبة لخط الساحل .
- ٦ - اتساع وعمق قنوات الجزر .

الخاتمة

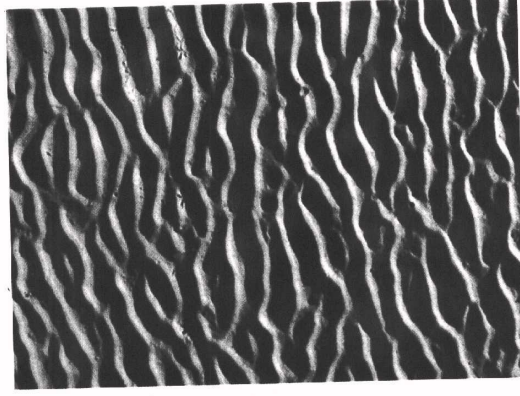
ساهمت مجموعة الخرائط الجيومورفولوجية الموقوتة التي رسمت لشاطئ رأس سدر أثناء أدنى مستوى للجزر حدث خلال عام ١٩٩٨ فى دراسة الخصائص المورفولوجية العامة لبعض الظاهرات الموقوتة والتي ساهمت تيارات المد فى تشكيلها ، مثل الألسنة البحرية والحواجز البحرية سواء المستقيمة أو المقوسة ، وعلامات التمدج ، كما ساهمت تيارات الجزر فى تعديل المظهر المورفولوجى لبعض الأشكال الأرضية وخاصة طمس وإعادة تشكيل علامات التمدج ، وتكوين بعض البحيرات الساحلية الموقوتة التى سرعان ما تتحول إلى مجرد برك ضحلة يتناقص مستوى المياه بها مع التبخر والتسرب للتحويل مرة أخرى إلى مستنقعات ثم إلى شواطئ ساحلية لتعاود دورتها التطورية من جديد مع انسياب تيار المد وانغمارها التدريجى بمياه الخليج .



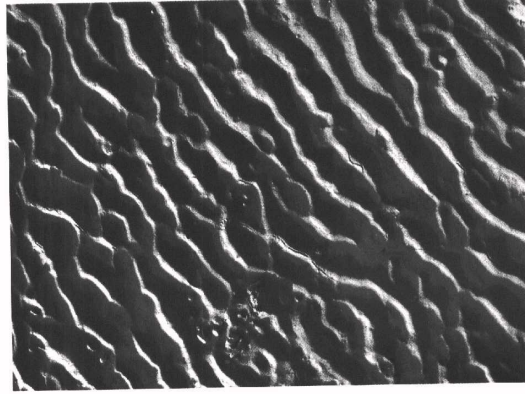
صورة (١-١) بدء انحسار المياه عن اللسان الشمالي نتيجة تيارات الجزر



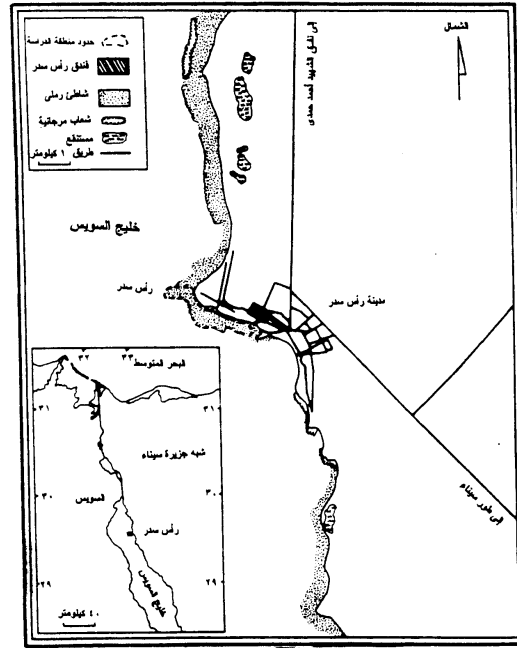
صورة (٢-١) جزيرة رسوبية برزت فوق مستوى سطح الحليج أثناء الجزر



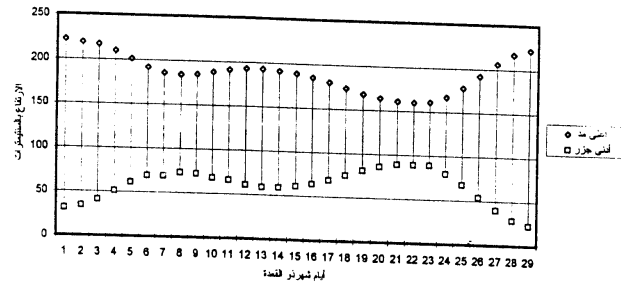
صورة (٣-١) علامات التماوج المدببة القمة



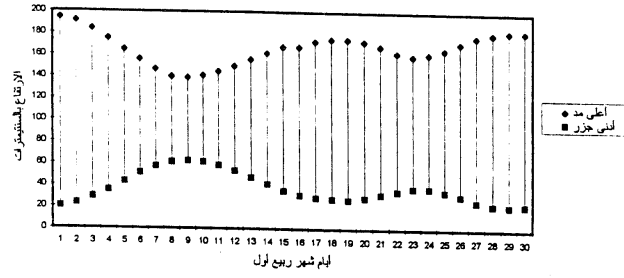
صورة (٤-١) علامات التماوج المسطحة القمة



شكل (١-١) الموقع الفلكي والجغرافي

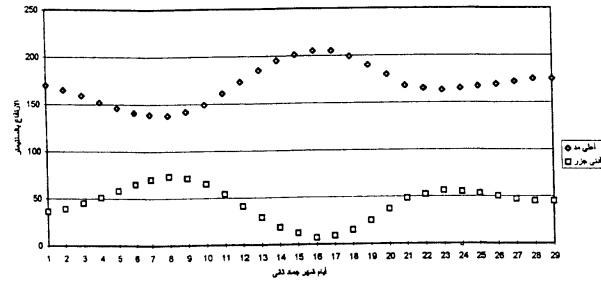


شكل (٤-١) أعلى مد وأدنى جزر خلال فصل الربيع (شهر ذو القعدة ١٤١٨ هـ / مارس ١٩٩٨ م)

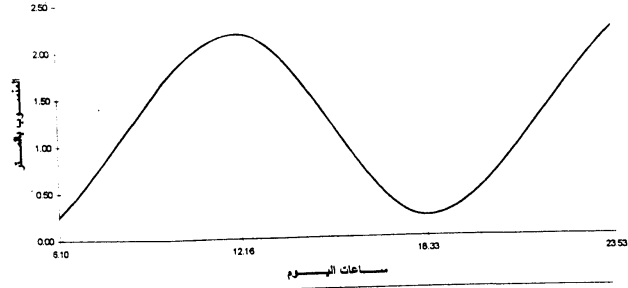


شكل (٥-١) أعلى مد وأدنى جزر خلال فصل الصيف (شهر ربيع أول ١٤١٨ هـ / يونيو ١٩٩٨ م)

البحث الأول: خريطة جيومورفولوجية مؤقتة لشاطئ رأس سدر

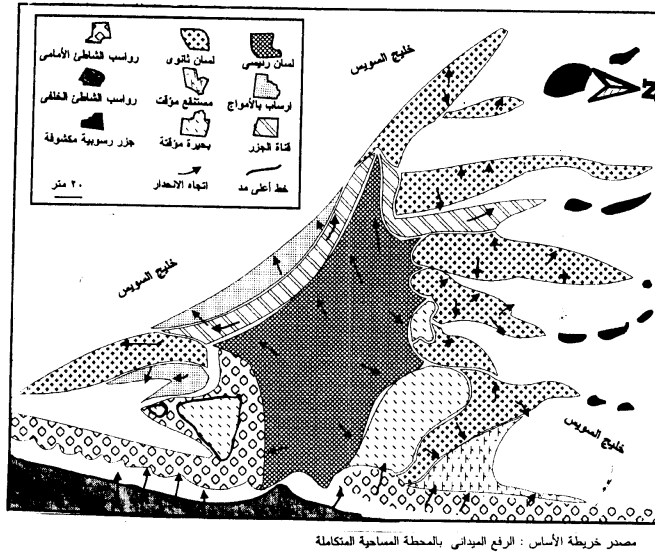


شكل (٦-١) أعلى مد وأدنى جزر خلال فصل الخريف (شهر جماد ١٤١٨ هـ / سبتمبر - أكتوبر ١٩٩٨ م)

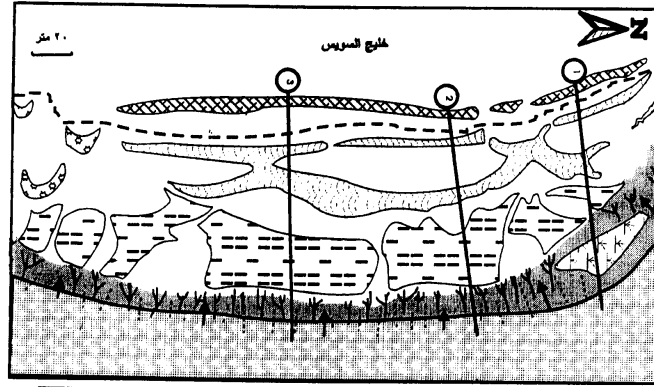


ساعات اليوم	6.10	12.16	18.33	23.53
أعلى مد (عدد الأيام)	0.25	2.19	0.22	2.22
أدنى مد (عدد الأيام)	2.22	0.22	2.22	0.22

شكل (٧-١) منسوب أعلى مد وأدنى جزر خلال ساعات يوم أول ذو الحجة ١٤١٨ هـ / ٢٩ مارس ١٩٩٨ م



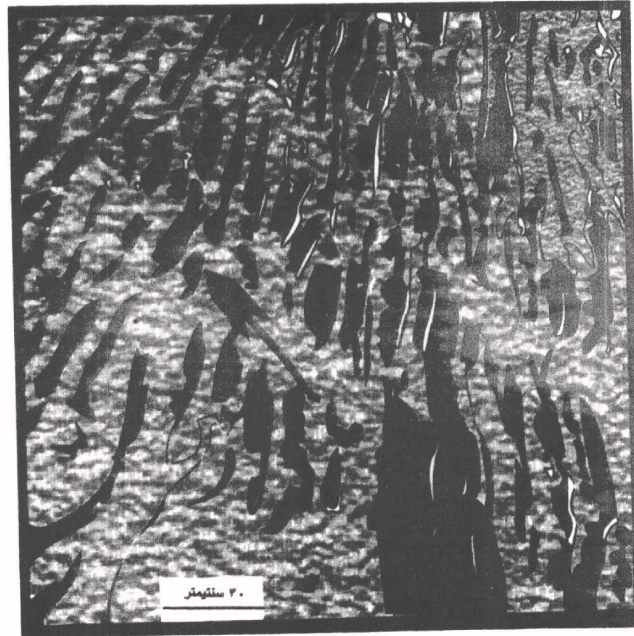
شكل (٨-١) خريطة جيومورفولوجية موقوتة للسان البحرى بالجزء الشمالى من منطقة الدراسة أثناء أدنى جزر صباح أول ذو الحجة ١٤١٨ هـ / ٢٩ مارس ١٩٩٨ م

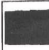





قناة الانحدار	خط أعلى مد	مستطع	مسيلات فجود المستقيمة	رواسب قشطن	حاجز مغطى
موقع قطاع تشريسي	خط أنقى جزر	مقودة	مسيلات فجود المنضرة	رواسب قشطن الأبنسي	حاجز مكشوف

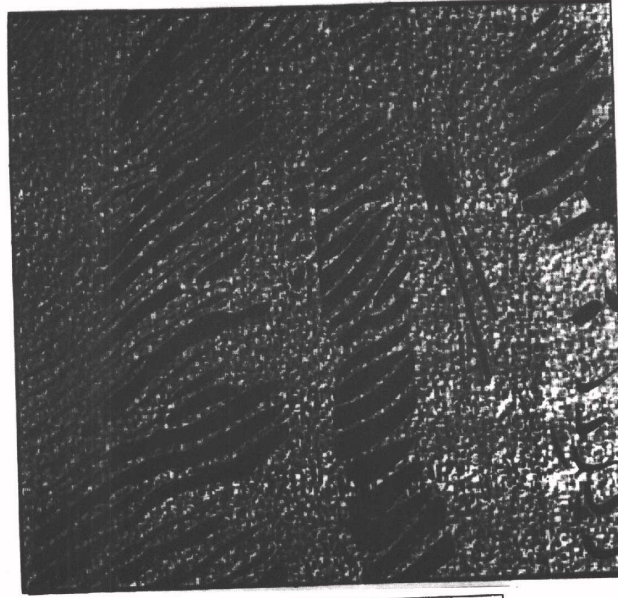
(خريطة الأساس مستندة من صورة فوتوغرافية رقم "١")

شكل (٩-١) خريطة جيومورفولوجية موقوتة للجزء الجنوبي من منطقة الدراسة أثناء أدنى جزر صباح أول ذو الحجة ١٤١٨ هـ / ٢٩ مارس ١٩٩٨ م



	وحيثما تمكده جهة		فهلئى يساوى تعلسمه
	وحيثما تمكده فلامه		لأجهلا يلهة وأجهلا

شكل (١٠-١) تأثير تيارات الجزر على طمس ملامح علامات التمزج عن طريق سحب الرمال الناعمة من قمم علامات التمزج وإعادة ترسيبها



تجاه تيار الجزر	ظهر علامة للتناوج	
مسيلات الجزر	خافة علامة للتناوج	
٣٠ سنتيمتر	رواسب رملية مسطحة	

شكل (١-١١) مورفولوجية مسيلات الجزر المضفزة المتكونة على الأسطح الرملية المستوية

قائمة المراجع

- 1- Allen, J.R.L.,1979 :
A model for the interpretation of wave ripple-marks using their wavelength, textural composition, and shape : Geological Society of London Proceeding, V.136,p.673-682.
- 2- Allen,P.A., and Homewood,P., 1984:
Evolution and mechanics of a Miocene tidal sand wave : Sedimentology , V.31, p.63-81.
- 3- Bagnold , R.A., 1946 :
Motion of waves in shallow water, interactions between waves and sand bottoms : Royal Society of London Proceedings , Series A, V. 187, P. 1-18.
- 4- Banks ,N.L., and Collinson ,J.D., 1975 :
The size and shape of small-scale current ripples : an experimental study : Sedimentology , V. 22, p. 583-599.
- 5- Boersma ,J.R., and Terwidt, J.H.J., 1981 :
Neap-spring tide sequences of intertidal shoal deposits in a mesotidal estuary : sedimentology , V. 28, p. 151-170 .
- 6- Dalrymple ,R.W., 1984 :
Morphology and internal structure of sandwaves in the Bay of Fundy : Sedimentology , V. 31, p. 365-382.
- 7- -----, Knight ,R.J., and Lambiase , J.J., 1978 :
Bedforms and their hydraulic stability relationships in a tidal environment, Bay of Fundy, Canada : Nature , V. 275, p. 100-104.

- 8- Komar , P.D., 1974 :** Oscillatory ripple-marks and the evaluation of ancient wave conditions and environments : Journal of Sedimentary Petrology , V. 44, p.169-180.
- 9- Machida, T., Inokuchi , M., Matsumoto, E., Takayuki , I., and Ikeda , H., 1974 :** Sand ripple patterns and their arrangement on the sea bottom of the Tatado beach, Izu Peninsula , central Japan : Science Reports of the Tokyo Kyoiku Daigaku , Section C , V. 12, p. 1-16.
- 10- Terwindt , J.H.J., and Brouwer , M.J.N., 1986 :** The behavior of intertidal sandwaves during neap-spring tide cycles and the relevance for palaeoflow reconstructions : Sedimentology , V. 33, p. 1-31.
- 11- Visser , M.J., 1980 :** Neap-spring cycles reflected in Holocene sub-tidal large-scale bed-form deposits : a preliminary note : Geology , V. 8, P. 543-546.

English Abstract

**The timed geomorphological map during low water
spring tide on 29th march 1998 morning,
in Ras Seder beach , Red Sea, Egypt**

Dr.M.Magdy Torab *

Abstract

Geomorphological mapping is one of the most important techniques used in geomorphological and environmental management researches , but there are some problems when mapping several mobile geomorphological features whose characteristics and dimensions change rapidly .

This paper suggests a new technique for drawing timed geomorphological maps of some temporal and mobile landforms, which can not be drawn by vulgar mapping methods , as these geomorphological features do not appear on topographical maps or on areal photographs, such as temporal channels which appear after torrents on semi arid wadies and alluvial fans, wind deposition features particularly ripple marks, also rapid mass movement materials as earth and mud flows, landslides and rock fall .

*Associate professor of Cartography and Geomorphology, Department of Geography , Damanhour branch, Alexandria University, Egypt.
E.mail : mtorab@dataxprs.com.eg

Coastal deposition features formed between low and high water spring tides is an obvious example of temporal landforms associated with refluxence of water at low tides . The study utilizes rapid surveying method using the total survey station and vertical photography of these landforms during the lowest tide level in 1998, which took place at 6.10 am on March 29 th , applied to Ras Sedr beach on the eastern side of Suez gulf , about 43 km. South of the gulf apex.

This paper aims to propose timed geomorphological map during low water spring tide and to study the characteristics of temporal geomorphological features which appear between the highest and lowest spring tide levels in Ras Sedr beach which were seen after the refluxence of the low tide, The paper also aims to study contribution of tide currents in formation of the morphological features and beach profile .

البحث الثانى

استخدام الطائرات الورقية فى التصوير الجوى

البحث الثاني

استخدام الطائرات الورقية في التصوير الجوي*

لمحة تاريخية :

يعد الأستاذ "ألكسندر ويلسون" Prof. Alexander Wilson أول من استخدم أسلوب التصوير الجوي بالطائرات الورقية (KAP) Kite aerial photography عام ١٧٤٩ ، وتبعه مواطنه المتيورولوجي البريطاني Archibald, E.D. عام ١٨٨٧ ، حيث قام بتعليق آلة تصوير مزودة بجهاز بسيط للتحكم في التصوير عن بعد (Hart, 1982)، وفي العام التالي حاول الفرنسيون تطوير هذا النموذج باستخدام خامات أخف وزناً في صنع الطائرات الورقية لتعزيز قدرتها على حمل معدات التصوير (Beaufort and Dusariez, 1995) . وفي عام ١٨٩٠ نُشر في فرنسا أول كتاب عن استخدام هذا النوع من الطائرات في عمليات التصوير الجوي بعنوان "L'aphotographie aérienne par cerfvolant" ، وفي العام ذاته بدأ رجل فرنسي آخر يُدعى إميل وينز Emile Wenz في تطوير أجهزة التحكم في عملية التصوير عن بُعد ، وحاول تثبيت آلة التصوير في حبل معلق أسفل الطائرة الورقية ، ونجح "وينز" بمساعدة زميله "باتو" Batur في إطلاق أول طائرة ورقية متكاملة ، واستخدمها في التقاط مجموعة من الصور الجوية الناجحة عام ١٨٩٥.

بدأ العصر الذهبي لاستخدام الطائرات الورقية في التصوير في القرن العشرين ، حيث قام الفرنسي "بيير بيكافيت" Pierre Picaver بتطوير أسلوب تعليق آلة التصوير في الطائرة الورقية عام ١٩١٢ ، وبرع الفرنسي "رينيه دي سكالى" René Desclee في التقاط أكثر من مائة صورة جوية واضحة لمعالم مدينة تورنيه Tournai الفرنسية خلال الفترة من ١٩١٠ - ١٩٣٩ ، كما أصبح من الشائع استخدام هذا الأسلوب في أغراض مسح الأراضي ، والاستخدامات العسكرية وجمع بيانات الطقس وغيرها ، ثم توالى فيما بعد محاولات التطوير والتحديث واستخدام المناطيد والبالونات في عمليات التصوير الجوي ، واستخدام آلات تصوير مزودة بعدسات بانورامية بزوايا يصل مجالها إلى ١٣٠ درجة ،

* أُلقيت هذه المحاضرة ضمن الموسم الثقافي لقسم الجغرافيا بجامعة الإمارات العربية المتحدة للعام الجامعي ٢٠٠٢/٢٠٠١ .

البحث الثاني : استخدام الطائرات الورقية في التصوير الجوي
وتطورت فنون صناعة الطائرات الورقية خلال القرن العشرين وأصبحت تتحمل المعدات الثقيلة التي بلغ وزن بعضها أكثر من ٢٩ كيلوجرام .
وخلال النصف الثاني من القرن العشرين ازدهر مرة أخرى استخدام الطائرات الورقية في عمليات التصوير الجوي للأغراض العلمية ، وبصفة خاصة في جامعات ومراكز البحوث في الولايات المتحدة الأمريكية وألمانيا واليابان وفرنسا بالطبع لأنها أول دولة ظهرت بها المحاولات الأولية لهذا النوع من أساليب التصوير الجوي ، وبدأ خلال هذه المرحلة استخدام الطائرات المصنوعة من البلاستيك والسبائك المعدنية الخفيفة ، وتكتسب قوة دفعها وتطير في الهواء بمحركات ثنائية الأشواط متصلة بمروحة ذات ثلاث أو أربع ريش ويتم توجيهها بأجهزة التحكم عن بعد *Remote control* و أجهزة التحكم في التصوير عن بعد بالراديو *Radio-controlled* .

وفي الوقت الحاضر يهتم بالتصوير الجوي بالطائرات الورقية منات الهواء حول العالم ، وتهتم بتطوير تقنياتها العديد من المشروعات البحثية في الجامعات الأمريكية والأوروبية واليابانية ، وتهتم بشئونهم جمعيات علمية متخصصة وتقوم بنشر أبحاثهم في مجلاتها ونشراتها الدورية ومن أهمها الجمعيات الآتية :

1. *Kite Aerial Photography Worldwide Association (KAPWA)*
"بدأت نشاطها منذ عام ١٩٨٥ في بلجيكا والولايات المتحدة الأمريكية"
2. *Kite Aerial Photography*
متحف علمي يهتم بأساليب التصوير باستخدام الطائرات الورقية أقيم عام ١٩٨٨ في لوبورجيه بفرنسا *Labruguière*
3. *Aerial Eye*
"بدأت نشاطها منذ عام ١٩٩٤ في الولايات المتحدة الأمريكية وتصدر نشرة علمية ربع سنوية"
4. *American Kiteflyers Association*
بدأت في إصدار مجلتها العلمية من عام ١٩٩٩

تركيب منظومة التصوير بالطائرة الورقية :

تتكون منظومة التصوير الجوي بالطائرة الورقية من الأجزاء الآتية (شكلا ٢-١ ، ٢-٢) :

١. طائرة ورقية أو مصنوعة من رقائق البلاستيك أو الألومنيوم .
٢. آلة التصوير .
٣. أجهزة التحكم في توجيه الطائرة .
٤. أجهزة التحكم في توجيه آلة التصوير .

مزايا منظومة التصوير بالطائرة الورقية :

يحقق استخدام الطائرات الورقية فى عمليات التصوير الجوى فى الدراسات الجغرافية عدة مزايا لا توفرها الصور الجوية التى تلتقطها الطائرات العادية ، وأهم هذه المزايا ما يلى :

- ١ . إمكانية اختيار ارتفاع التصوير المناسب لحجم الظاهرة الجغرافية ، مما يتيح توفير صور جوية بمقياس الرسم الملائم لأبعاد الظاهرة المراد دراستها ، ويفيد هذا الأمر فى دراسة الظواهر الجيومورفولوجية الدقيقة التى لا تظهر على الصور الجوية العادية ، مثل الحفر الوعائية المتكونة على قيعان مجارى الأودية شبه الجافة ، وعلامات التماوج المتكونة بالإرساب بالرياح ، حفر الإذابة ، بالوعات الإذابة ، ويتيح هذا الأسلوب دراستها تفصيليا بالتصوير من ارتفاع منخفض .
- ٢ . اختيار التوقيت المناسب لعملية التصوير ، فالصور الجوية العادية لا يمكن التحكم فى توقيت وتاريخ تصويرها ، لكن توفر الطائرات الورقية إمكانية اختيار وقت التصوير الملائم للظاهرة ، وهناك العديد من الظواهر الجغرافية التى يتطلب دراستها اختيار موعد التصوير المناسب لها مثل :
 - معدلات انسياب مواد اللافا المنبثقة من البراكين .
 - معدلات حركة المواد على سفوح المنحدرات مثل زحف الصخور والمواد التى تستغرق فترات زمنية طويلة ، والانهيارات الأرضية ، والاتزلاقات الأرضية ، والانسيابات الطينية والأرضية وغيرها .
 - دراسة التأثير الجيومورفولوجى لتيارات المد أو تيارات الجزر .
 - عمليات النقل النهري أثناء الفيضانات والأثر التحتى للسينول الفجائية العارمة .
 - حركة الكثبان الرملية على هوامش المزارع والطرق والمحلات العمرانية .
 - الأشكال الجيومورفولوجية المتكونة عن انصهار الجليد فى النطاقات الباردة .

البحث الثاني : استخدام الطائرات الورقية فى التصوير الجوى
٣. كما يحقق هذا الأسلوب إمكانية دراسة الظواهرات الجيومورفولوجية السريعة التطور أو التغير ، مما يوفر بالتالى الوسيلة الملائمة لدراسة معدلات تطورها أو حركتها مثل :

- الكثبان الرملية .
- حركة المواد السريعة على سفوح المنحدرات .
- حركة الرواسب على الشواطئ المتأثرة بأمواج البناء وبتيارات المد والجزر .
- الأشكال الجيومورفولوجية المتكونة على مقدمات الأودية الجليدية نتيجة تراجع الجليد وإنصهاره ، مثل الركام النهائى والمدفوع Moraines ، وتلال الإسكـر Esker والدرومولين Drumlin.

٤. انخفاض تكاليف وسرعة الحصول على الصور الجوية وسهولة تداولها بين الباحثين عن طريق تحويلها إلى صور رقمية Digital Images ، ونقلها عبر البريد الإلكتروني .

٥. يحقق هذا الأسلوب إمكانية إنتاج صور جوية رأسية Vertical Images يمكن استخدامها فى رسم الخرائط ، أو صور جوية مائلة أو شديد الميل Oblique لاستخدامها فى أغراض التعرف على الملامح الجغرافية لمنطقة الدراسة والعلاقات المكانية بين عناصرها . كما يمكن تحويل هذه الصور إلى خرائط مصورة Mosaic بإلغاء التداخل الجانبى والأمامى بين الصور المتتابة .

٦. يمكن تثبيت قامة مُدرجة بصورة أفقية تماماً فى مكان التصوير لاستخدامها فى حساب مقياس رسم الصور الجوية الرأسية بدقة عالية (مقياس رسم الصورة = النسبة بين طول القامة فى طبيعة إلى طول القامة على الصورة الجوية) .

٧. كما يفيد هذا الأسلوب فى دراسة بعض الظواهرات الجغرافية التى يصعب الوصول لها لوجود مانع مائى مثل البحيرات أو القنوات المائية والترع أو السبخات والمستنقعات ، أو عائق مثل الأسوار أو الأشواك أو حقول

. البحث الثاني : استخدام الطائرات الورقية فى التصوير الجوى
الألغام وغيرها ، بشرط أن تكون فى اتجاه مهب الريح ، والتحكم فى
توجيه الطائرة بحيث تسامت الظاهرة المراد تصويرها .

٨. كما يوفر هذا الأسلوب الوسيلة المناسبة لقياس عناصر الطقس فى طبقات
الجو القريبة من سطح الأرض حتى ٢٠٠ متر ، وهى أقصى ارتفاع
يرتقى له هذا النوع من الطائرات الورقية ، ويمكن استخدام الطائرات
المدفوعة بالمحركات أو البالونات لبلوغ ارتفاعات تتعدى الألف متر ،
بتثبيت أجهزة قياس هذه العناصر بدلاً من آلة التصوير .

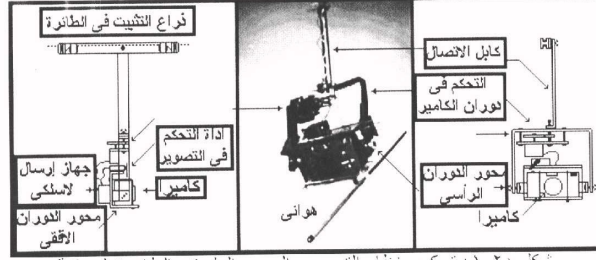
التطبيق الميدانى :

قام الباحث بتجربة استخدام طائرة ورقية فى التصوير الجوى ، باستخدام
طائرة مثثلة الشكل من طراز Delta ، تبلغ المسافة بين جناحيها ٣,٧٨ سنتيمتر ،
وقام بتثبيت آلة تصوير فيديو يبلغ وزنها ٥٦٠ جرام فى ذيلها مع المحافظة على
وضعية تعامد آلة التصوير عن طريق هيكل من المعدن باستخدام تأثير الجاذبية
الأرضية على وزن آلة التصوير ، ونجحت الطائرة فى حمل آلة التصوير بعد
ضبطها على خاصية التصوير المستمر وتركيب فيلم خام مدته ساعتين . وتم
استخدام هذا الأسلوب فى التقاط عدد من أفلام الفيديو ثم تحويلها إلى صور
فوتوغرافية (١) .

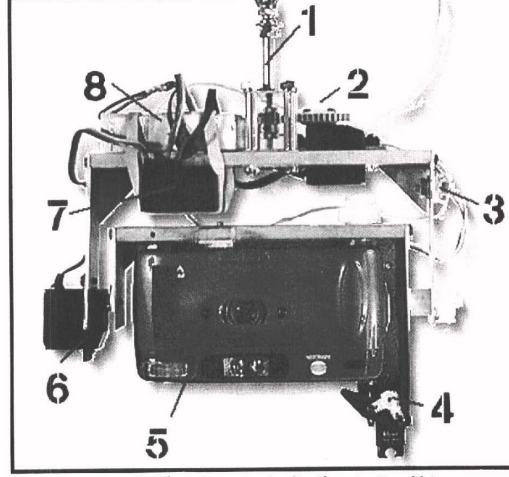
الخاتمة :

بعد استخدام الطائرات الورقية فى عمليات التصوير الجوى للظواهر
الجيومورفولوجية ، أحد الأساليب التى توفر للباحث إمكانية التغلب على بعض
المشاكل التى تواجهه أثناء الرفع الميدانى لهذه الظواهر ، وبصفة خاصة
الظواهر المتحركة Mobile Features ، والظواهر الدقيقة Micro
Features كما يتيح له فرصة التحكم فى توقيت ومقياس الصور الجوية المنتجة ،
وهو ما لم توفره الصور الجوية العادية ، وبطالبا الباحث زملاءه باجراء المزيد
من التجارب العملية لهذه الطريقة بهدف الوصول للأسلوب الأمثل لتطبيقها .

(١) تمت عملية تحويل أفلام الفيديو إلى ملفات على الحاسب الألى باستخدام جهاز Digital Video Creator
الذى يتيح أيضاً إمكانية إنتاج أقراص منمجة أو مرئية CD,s & DVD أو العكس أى تحويل ملفات الحاسب
إلى أشرطة فيديو Video tapes^١ تم تصنيف وفرز وتحويل أفلام الفيديو إلى صور فوتوغرافية متتابعة ،
باستخدام برنامج Movie Star

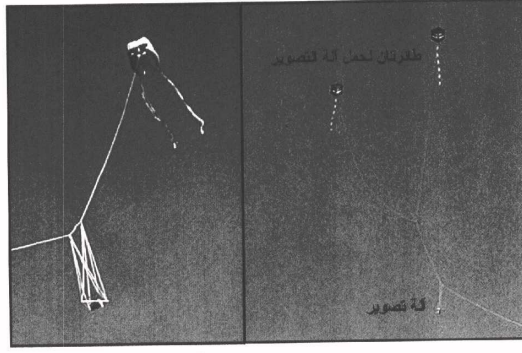


شكل (١-٢) تركيب نظام التصوير الجوي الملحق بالطائرة الورقية



شكل (٢-٢) نظام التحكم في توجيه آلة التصوير

1	محور الدوران الرأسي	5	آلة التصوير
2	وحدة التحكم في دوران الطائرة	6	محور دوران آلة التصوير
3	مكان تثبيت الهوائي	7	جهاز استقبال لاسلكي
4	غالق عدسة التصوير	8	مصدر للطاقة (بطاريات)

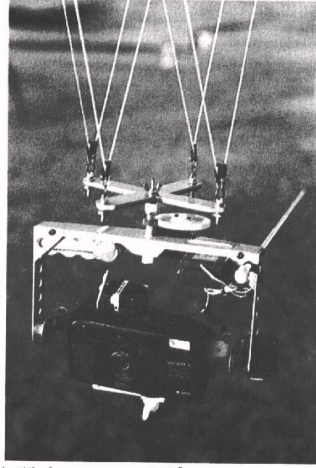


صورة (١-٢) أساليب تعليق آلة التصوير في الطائرة

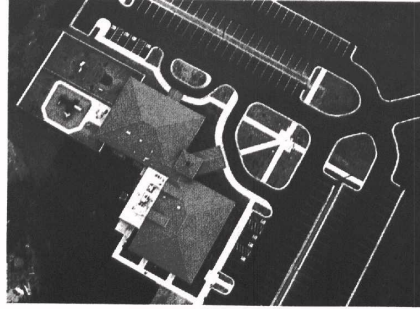


صورة (٢-٢) التصوير المزدوج بأثنين من آلات التصوير

البحث الثاني : استخدام الطائرات الورقية في التصوير الجوي



صورة (٣-٢) تعليق آلة التصوير مع ملحقاتها



صورة (٤-٢) نموذج لصورة جوية رأسية ملتقطة
من طائرة ورقية لموقف سيارات

1. Baker, S. 1997. Controversy: Was it kites or a balloon? *KiteLines* 12/3, p. 46-51.
2. Beaufort, G. de & M. Dusariez, M. 1995. *Aerial photographs taken from a kite: Yesterday and today*. KAPWA-Foundation Publishing, 142 p.
3. Beutnagel, R., Bieck, W. and Böhnke, O. 1995. Picavet--past & present. *The Aerial Eye* vol. 1, no. 4, p. 6.
4. Hart, C. 1982. *Kites: An historical survey*. Appel Publ., Mt. Vernon, New York. 2nd edition, 210 p.
5. Aber, J.S., Sobieski, R., Distler, D.A. and Nowak, M.C. 1999. Kite aerial photography for environmental site investigations in Kansas. *Kansas Academy Science, Transactions* 102:57-67.
6. Bigras, C. 1997a. Fossil forests of the far north. *The Aerial Eye* 3/2, p. 4-5, 20-21.
7. Bigras, C. 1997b. Kite aerial photography of the Axel Heiberg Island fossil forest. American Society of Photogrammetry and Remote Sensing, *Proceedings of the first North American symposium on small format aerial photography*, p. 147-153.
8. Bults, P. 1997. Northeast to Cathay. *The Aerial Eye* 3/2, p. 10-11, 24.
9. Carlson, J. 1997. Kiteflying in the freezer. *The Aerial Eye* 3/2, p. 6-7.
10. Gawronski, J.H.G. and Boyarsky, P.V. (eds.) 1997. *Northbound with Barents: Russian-Dutch integrated archaeological research on the Archipelago Novaya Zemlya*. Uitgeverij Jan Mets, Amsterdam, 255 p.
11. Harris, Z. 1997. Keeping a high eye on sailors. *KiteLines* 12/3, p. 13.
12. Murooka, K. 1998. Advent of the digital camera age. *The Aerial Eye* 4/1, p. 18-19.
13. Warner, W.S. 1996. Kiteography. *The Aerial Eye* 2/2, p. 16-17, 19.

البحث الثالث

تحليل منحدرات الهوامش الشمالية والغربية
لنخفض جغوب بليبييا

البحث الثالث

تحليل منحدرات الهوامش الشمالية والغربية لنخفض جغبوب بليبيا

ملخص

يقع منخفض جغبوب جنوبي دائرة عرض ٣٠° شمالاً، بالقرب من الحدود المصرية / الليبية، وتهدف الدراسة إلى إبراز الخصائص الجيومورفولوجية لمنحدرات الهوامش الشمالية والغربية للمنخفض، وعلاقتها ببقية الوحدات الأرضية بالمنخفض، وتحديد العوامل المساهمة في تشكيلها وتطورها. وتعتمد الدراسة على البحث الميداني بإنشاء خريطة جيومورفولوجية لأجزاء المنخفض، والتحليل المورفومتري لدرجات انحدار ونسب تقوس ٥٩ قطاعاً قيست ميدانياً لمنحدرات الهوامش الشمالية والغربية للمنخفض، وتمت عمليات القياس الميداني بواسطة جهاز الميزان اليدوي *Abney Level* والشريط بالقياس عند نقاط التغير في درجات الانحدار.

مقدمة

يقع منخفض جغبوب في الجزء الشمالي الشرقي من ليبيا متاخماً للحدود المصرية / الليبية، وهو أحد المنخفضات المحفورة في شمال الصحراء الكبرى، حيث يبدأ خط المنخفضات الشمالي بمنخفض الفيوم المتأخم لواء النيل، ثم منخفض القطارة، وسيوة في الأراضي المصرية، ويواصل امتداده غرباً في سهل برقة الليبي ليضم منخفضات جغبوب وجالو وأوجلة، ومرادة وشمال الجفرة، ثم غدامس على الحدود الليبية الجزائرية، وينتهي بمنخفض عين صالح بالجزائر.

ويمتد منخفض جغبوب بين دائرتي عرض ٣٥ ٢٩، ٥٠ ٢٩ شمالاً لمسافة تقدر بنحو ٢٧ كم، وبين خطي طول ٣٠ ٢٤، ٢٥ شرقاً بمسافة تبلغ

* نُشر هذا البحث في مجلة الجمعية الجغرافية المصرية، العدد السادس والثلاثون، الجزء الثاني، ٢٠٠٠.

حوالى ٤٨ كم ، ويبعد عن ساحل البحر المتوسط حوالى ٢٠٠ كم ، ويقع المنخفض فى جملته داخل الحدود السياسية لليبيا فيما عدا طرفه الجنوبي الشرقى الذى يمتد داخل الحدود المصرية ويطلق عليه حطية القيقب ، يأخذ المنخفض شكل مستطيل يمتد من الشرق للغرب ، ويكاد يتفق امتداد أضلاعه مع الاتجاهات الأصلية ، مع بروز الركن الشمالى الشرقى "حافة الملفا" نحو الشمال الشرقى بسبب عيب صخرى، وبذلك تبلغ مساحة المنخفض حوالى ٩٥٠ كم مربعا^١ ، راجع شكل (١-٣) .

ويرتبط المنخفض بقرينه الشرقى (منخفض سيوة) حيث تبلغ المسافة بين هوامشهما المتقابلة ٦٠ كم ، ويضمهما خط كنتور ١٠٠ متر ، وتفصلهما عتبة من الأحجار الجيرية تحرزها مجموعة متناثرة من المنخفضات والحفر ، وتخترقها مجموعة من الممرات الجبلية سهلت الاتصال بين سكان المنخفضين ، أهمها ممر هويسر وممر أبناء وليامز .

أهداف البحث

تهدف الدراسة إلى الأهداف التالية :

- ١- إبراز الخصائص الجيومورفولوجية لمنحدرات الهوامش الشمالية والغربية للمنخفض .
- ٢- دراسة علاقة الهوامش الشمالية والغربية ببقية الوحدات الأرضية بالمنخفض.
- ٣- تحديد العوامل المساهمة فى تشكيل وتطور هذه الهوامش .

وقد اختيرت الهوامش الشمالية والغربية للمنخفض موضوعا للبحث لوضوح ظواهرها، وصعوبة إجراء الدراسات الميدانية التفصيلية للوحدات الجيومورفولوجية الأخرى التى يتألف منها المنخفض ، حيث تتقاطع الهوامش الشرقية مع خط الحدود السياسية المصرية الليبية فى أكثر من موضع ، وتختفى

^١ يطلق البدو اسم واحة الجغبوب (أو جغبوب) على المنخفض ويعنى وادى بسبب الشكل الطولى للمنخفض ، كما يطلق عليه أيضا اسم حطية الجغبوب أى مستنقع أو بركة الجغبوب لانتشار المستنقعات والبرك فى أرضية المنخفض ، كما يسمى أيضا باسم برارى الأيمان والزاوية البيضاء نسبة للزاوية التى أنشأها الشيخ السيد محمد بن على السنوسى الكبير عام ١٨٥٦م .

معالم الهوامش الجنوبية تحت الرواسب الرملية ، كما تنتشر حقول الألغام على معظم أجزاء مسطحات السبخات والبرك المنتشرة على قاع المنخفض .

الدراسات السابقة

لم يحظ منخفض جغبوب بأية دراسة جغرافية تفصيلية من قبل ، سوى التعرض له بصورة عابرة بين ثنايا الدراسات التي اهتمت بإبراز الخصائص الجيولوجية للمنخفض وتطوره الجيولوجي وأهمها (Forti, A., 1933) (Bellini, E., 1969) الذي درس التسايع الاستراتيجي الحيوي القديم *Biostratigraphy* للمنخفض ، إلى جانب بعض الدراسات التي تناولت جيومورفولوجية الصحاري الليبية وتطورها الجيومورفولوجي ، وأهمها مقالات "ديزيو" التي تناولت نشأة إقليم برقة والجبل الأخضر (Desio, A., 1928, 1935, 1939) ، وهي (Hey, R. W., 1956) الذي اهتم بدراسة بنية وخصائص جيومورفولوجية الجبل الأخضر ، وقام بدراسة أخرى للتطور الجيومورفولوجي للقسم الشمالي الشرقي من الأراضي الليبية خلال الزمن الرابع (Hey, R. W., 1962) ، إلى جانب دراسات بوتزر وكوردا (Butzer, K. W. & Cuerda, J., 1967) ، ومجموعة الدراسات التي قدمها (جودة ، ١٩٧٣ ، ١٩٧١ ، ١٩٨١) لمناطق متفرقة من الأراضي الليبية .

أساليب ووسائل وطرق البحث

اعتمدت الدراسة على البحث الميداني بصورة أساسية نظراً لعدم توافر الصور الجوية للمنطقة ، وقلة أو انعدام الدراسات الجيومورفولوجية للمنخفض ، ولذلك اتبعت الخطوات الآتية :

١ - إنشاء خريطة جيومورفولوجية للمنخفض بالمسح الميداني لأجزاء المنخفض التي أتاحت فرصة دراستها ميدانياً ، وتشمل هوامشه الشمالية والغربية ، ومجموعة التلال المتبقية المتناثرة على قاع المنخفض ، واستخدم أسلوب التحليل الكارتوجرافي للخريطة الطبوغرافية في رسم الهوامش الشرقية للمنخفض التي لم تتيح للباحث فرصة دراستها ميدانياً . وقد تم توقيع رموز الظاهرات الجيومورفولوجية^١ على خريطة أساس *Base Map* ، مستمدة من خريطة طبوغرافية صادرة عن جيش الولايات المتحدة الأمريكية عام ١٩٤٢ ،

^١ استخدمت الرموز التي اقترحها المعهد الدولي للمسح الجوي والعلوم الأرضية هولندا (I.T.C., 1968) .

بمقياس رسم ١ : ١٠٠٠٠٠، وفواصل رأسى خمسة أمتار (لوحة رقم M.DR.1006/654). وتهدف هذه الخريطة إلى التعرف على الملامح المميزة للهوامش الشمالية والغربية، والوحدات الأرضية الأخرى التى يتكون منها المنخفض، راجع شكل (١٠-٣).

٢. قياس مجموعتين من القطاعات الميدانية للمنحدرات، تتناول المجموعة الأولى منهما الهوامش الشمالية للمنخفض، كما تتناول المجموعة الثانية هوامشه الغربية سواء الحافات الحالية، أو مجموعة التلال المتبقية المرتبطة بها، ويوضح شكل (٢-٣) مواقع هذه القطاعات. وقد استخدم فى عملية قياس زوايا انحدار سطح الأرض جهاز الميزان اليدوى *Abney Level*، وشريط تيل لقياس المسافات الأرضية بين نقط التغير فى الانحدار. وبلغ عدد القطاعات المقاسة ٥٩ قطاعاً، تشتمل على ١٠٣٥ قراءة بمسافة أرضية إجمالية تبلغ حوالى ١٢٣٧٧ متراً، موزعة على النحو التالى:

- المجموعة الأولى للهوامش الشمالية للمنخفض : ١٦ قطاعاً.
- المجموعة الثانية للهوامش الغربية للمنخفض وتشمل :
- (أ) الحافات الغربية الحالية ١٥ قطاعاً.
- (ب) التلال المتبقية المرتبطة بالهوامش الغربية ٢٨ قطاعاً.

٣- قياس أربعة قطاعات ميدانية للانحدار الطولى لمجارى بعض الأودية الجافة، التى تقطع الهوامش الشمالية للمنخفض، باتباع أسلوب نقاط التغير فى درجة الانحدار، راجع شكل (٥-٣). ولكن لم تُقَسَّ أية قطاعات طولية لمجارى الأودية التى تقطع الهوامش الغربية للمنخفض بسبب زيادة أطوالها وضعف انحداراتها، وعدم وجود أية نقاط لتجديد الشباب على قيعانها، وهى بذلك تستغرق فى حالة قياسها وقتاً طويلاً لا يتناسب مع أهمية نتائج تحليل قطاعاتها.

وتمت الدراسة الميدانية وقياس القطاعات المنحدرات على مرحلتين، تناولت المرحلة الأولى منهما قطاعات الهوامش الشمالية، والقطاعات الطولية لمجارى بعض الأودية التى تقطعها، ورسم الخريطة الجيومورفولوجية للمنخفض، واستغرقت هذه المرحلة ١٤ يوماً، وذلك فى أوائل يناير ١٩٩١. أما المرحلة

^١ تمت هذه المرحلة أثناء الدراسة الميدانية التى نظمها قسم الجغرافيا بجامعة قارونىس الليبية، وأشرف الباحث خلالها على مجموعة الجغرافيا الطبيعية لطلاب الفرقة الرابعة.

الثانية للدراسة الميدانية فقد تناولت قياس قطاعات منحدرات الهوامش الغربية والتلال المرتبطة بها ، واستغرقت ثمانية أيام خلال شهر يوليو عام ١٩٩٥ . وقد روعي عند اختيار مواقع القطاعات الميدانية أن تكون موزعة على أجزاء هوامش المنخفض المدروسة قدر الإمكان ، وسجلت أثناء القياس الميداني بعض الملاحظات لكل قراءة، وتشمل نوع الصخر، وبنية الجيولوجية ، وسمات الرواسب المنتشرة عليها ، غير أن الباحث لم يتمكن من قياس أية قطاعات ميدانية لحافة "الملفا" الصدعية بالجزء الشرقي من الهوامش الشمالية لوعورتها ، واقتصرت دراستها على تسجيل بعض الملاحظات الميدانية لخصائص منحدراتها . وتم تحليل البيانات المستقاة من القياس الميداني للقطاعات من جانبين هما :

(أ) تحليل زوايا الانحدار :

وتشمل إنشاء المدرجات التكرارية لزوايا الانحدار بهدف إبراز سمات وخصائص منحدرات الهوامش الشمالية والغربية للمنخفض ، ومجموعة التلال المتبقية ، من حيث التوزيع التكراري لزوايا الانحدار ، والزوايا الشائعة ، والزوايا الحدية ، وتصنيف زوايا الانحدار تبعا لتصنيف "أنتوني ينج" (Young,A.,1972,p.173) .

(ب) تحليل معدلات التقوس :

تم حساب معدلات تقوس القطاعات المقاسة باستخدام طريقة عبد الرحمن وآخرون (Abd El Rahman, et al.,1980-1981) ، وذلك باتباع الأسلوب التالي :

أولاً : حساب التقوس عند كل نقطة تغير في الانحدار بطرح قيمة زاويتي الانحدار حول النقطة مع الاحتفاظ بالإشارة (+ أو -) ، ويميز التقوس عند كل نقطة بالرموز س ١ ، س ٢ ،

ثانياً : حساب طول المسافة الأرضية المقوسة عند كل نقطة بجمع نصفى طول المسافة الأرضية حول نقطة التغير والتعبير عنها بالرموز ل ١ ، ل ٢ ،

ثالثاً : حساب طول قطاع المنحدر = مجموع أطوال قراءات القطاع مطروحا منه (نصف طول القراءة العليا + نصف طول القراءة الدنيا) ويرمز له بالرمز ق ل .

^١ وافسق الباحث خلال هذه الدراسة الأستاذ رافع موسى بنيت مدرس الجغرافيا بمدرسة الألوكة الخضراء بواحة جنيوب .

رابعاً : قياس قيمة التباين فى درجات التقوس بحساب النسبة المئوية لكل قيمة من درجات التقوس بالنسبة لطول قطاع المنحدر .
خامساً : حساب النسبة المئوية للأطوال المحدبة (الموجبة) والنسبة المئوية للأطوال المقعرة (السالبة) .
سادساً : تحديد النسبة الكلية للقطاع بقسمة النسبة المئوية للأطوال المحدبة على النسبة المئوية للأطوال المقعرة ، فإذا كان خارج القسمة أكبر من الواحد الصحيح اعتبر القطاع محدباً ، أى تزداد به نسبة الأطوال المحدبة عن المقعرة . أما إذا كان خارج القسمة أقل من الواحد الصحيح اعتبر القطاع مقعراً ، أى تسود به نسبة الأطوال المقعرة عن المحدبة .

وسوف يتناول البحث الموضوعات الآتية :

أولاً : جيولوجية المنخفض .

ثانياً : الملامح الجيومورفولوجية للمنخفض :

١ - أرضية المنخفض .

٢ - هوامش المنخفض :

(أ) الهوامش الشمالية .

تحليل القطاعات الطولية لبعض الأودية التى تقطع الهوامش الشمالية .

(ب) الهوامش الغربية .

ثالثاً : تحليل قطاعات المنحدرات :

(أ) تحليل قطاعات الهوامش الشمالية .

(ب) تحليل قطاعات الهوامش الغربية .

(ج) تحليل قطاعات التلال المتبقية .

أولاً : جيولوجية المنخفض

تعد صخور الميوسين البحرية النشأة أقدم التكوينات الصخرية التى تظهر على سطح الأرض بمنطقة منخفض جغبوب ، ويقدر سمكها الإجمالى بحوالى ١٠٠ متر ، ويمكن تقسيمها إلى مجموعتين صخريتين هما (مركز البحوث الصناعية ، ١٩٨٤) ، شكل (١-٣) :

١- تكوين جغبوب :

يتبع هذا التكوين الميوسين الأوسط والمتأخر ، ويظهر فى أجزاء متفرقة من أرضية المنخفض ، ويشكل معظم أجزاء مجموعة الهضبيات والقور والتلال

المتناثرة على قاع المنخفض بين المسطحات السبخية . ويبدو تكوين جغوب بلون أبيض إلى مصفر ، ويتميز بضعف تماسكه وقلة تطبيقه ، ولكن جزئه العلوي صلب ذو طبقات مميزة ، ويتراوح سمك الجزء الصلب بين ربع المتر إلى بضعة أمتار . ويتألف هذا التكوين من طبقات متعاقبة من الطباشير ، والحجر الجيري الطباشيري ، والحجر الجيري العضوي ، والحجر الجيري الدولوميتي ، مع تداخلات من الطين الصفاحي ، والمارل ، والرمل ، وتنتشر بهذا التكوين بعض الحفريات تشير إلى بيئة ترسيبية بحرية ضحلة .

٢- تكوين مارمريكا :

ينكشف هذا التكوين على سطح الهضبة الميوسينية شمال المنخفض ، ويشكل هذا التكوين الجزء العلوي من هوامش المنخفض ، ويكون الغطاء الصخري لمعظم التلال المنتشرة في أراضيه . ويتألف تكوين مارمريكا من طبقات من الحجر الجيري الطباشيري الأبيض اللون ، مختلطة مع قليل من المارل والحجر الجيري المارلي ، وتميل صخورها ميلا هينا باتجاه الشمال . وتشير الدراسات الجيولوجية الحديثة التي أجريت للمنطقة (مركز البحوث الصناعية، ١٩٨٤ ص ٩) وجود طية محدبة غاطسة *pitching anticline* نحو الجنوب الشرقي ، ويمتد محورها بصورة عمودية على توجيه محور المنخفض ، ويكاد ينصف محور هذه الطية قاع المنخفض ، إلا أنها تختفي تحت الرواسب السبخية والرملية الهوائية التي تغطي أرضية المنخفض . وتظهر بالمنطقة مجموعتان من خطوط الانكسار ، تأخذ الأولى منهما الاتجاه الشمالي الغربي / الجنوبي الشرقي ، وتتفق الثانية مع الاتجاه الشمالي الشرقي / الجنوبي الغربي ، وتتأثر حافة "اللفا" الواقعة بالجزء الشرقي من الهوامش الغربية بأحد الانكسارات التابعة للمجموعة الثانية ، ويمكن تمييز أدلة النشأة الانكسارية لهذه الحافة فيما يلي :

١- تبدو هذه الحافة على شكل منحدر جرفي ، يمتد بصورة خطية شبه مستقيمة ، يوضحها شكل (٣-١) .

٢- تنتشر على سفوحها مجموعات متناثرة من شظايا البريشيا الانكسارية^١ .

٣- تظهر على المنحدرات الجرفية بعض الأسطح المصقولة تبدو محززة بخطوط غائرة تمتد رأسيا ، بتأثير الزحزحة الرأسية للطبقات .

^١ البريشيا الانكسارية عبارة عن حصوات حادة الأطراف تنتج عن احتكاك الطبقات أثناء حدوث الانكسار .

وأوضحت الدراسات التي تناولت اتجاهات البنية الجيولوجية تحت السطحية لمنطقة جغبوب - سيوة (Riad.S. et al., 1978, p. 979) ، أن أرضية المنخفضين تتركز فوق كتلتين مرفوعتين من صخور القاعدة ، وقد تعرضت هذه الكتل للتكسر والانقسام بتأثير عمليات الإزاحة تحت السطحية ، كما أشارت هذه الدراسات إلى وجود اتفاق في توجيه خطوط الانكسار السطحية، مع تراكيب الانكسارات تحت السطحية بالمنطقة.

ثانيا : الملامح الجيومورفولوجية للمنخفض :

يوضح شكل (١٠-٣) الخريطة الجيومورفولوجية للمنخفض ، التي تبين التوزيع الجغرافي للظاهرات الجيومورفولوجية بأتحانه ، ومن دراستها نلاحظ أن المنخفض يتألف من وحدتين جيومورفولوجيتين أساسيتين هما أرضية المنخفض وهوامشه ، ويمكن تناول خصائص كل وحدة منهما فيما يلي :

١- أرضية المنخفض :

تتميز أرضية المنخفض بالاستواء العام او بالتموج على أكثر تقدير ، بمنسوب يصل لنحو ٢٩ متراً دون مستوى سطح البحر ، وتضم أرضية المنخفض أحد عشر حوضاً صغيراً ، تتكون في أدنى جزء من كل حوض منها بركة شديدة الملوحة تستمد مياهها من العيون المالحة المنتشرة في أرضية المنخفض ، ويطلق على كل حوض منها اسم حطية وجمعها حطايا وهي : القيقب والملفا وزروقي والشهبيا والماغيري والعراشية والقضيبات والعامرة والفرضغة والهويش ، وأخيراً حوض جغبوب الطولى الشكل ، وهو يمتد في اتجاه الشمال الغربي للمنخفض بطول يبلغ حوالى ١٠ كيلومترات ويطلق اسمه على المنخفض برمته^١ . وتتصل أحواض المنخفض بممرات متسعة تعمل على انسياب مياه البرك فيما بينها ، وتظهر بين هذه الممرات مجموعات متناثرة من الهضيبات والقور والتلال واضحة التقطع، أهمها : الشهبيا والقضبيا و عمر والكوشة والحمراء ، وهي تتكون من طبقات متباينة الصلابة ، يغطيها في معظم الأحيان غطاء صلب نسيجا يتكون من الحجر الجيري الميوسيني ، وتمثل هذه التلال البقايا المتخلفة من سطح الأرض قبل حفر المنخفض بعوامل التعرية.

^١ تكساد تخفى أية مظاهر للمركز البشرى في كافة أنحاء المنخفض خارج حوض جغبوب الطولى ، ويضم هذا الحوض قرية صغيرة تنتشر مساكنها حول الزاوية السنوسية التي كانت تعتبر معبداً دينياً ومزاراً للصوفيين قبل قيام ثورة الفاتح من سبتمبر .

وتنتشر حول البرك مسطحات من السبخات تشغل معظم أرضية المنخفض، وتتكون تربة هومشها المموجة من رواسب رملية صلبة دقيقة الحبيبات تختلط بها حبيبات حصوية، يميل لونها للاحمرار نتيجة زيادة نسبة مكوناتها الحديدية، ويتحول لونها تدريجياً للون الأبيض المائل للصفرة بالاتجاه جنوباً، بسبب زيادة نسبة الرواسب الرملية الزاحفة من بحر الرمال العظيم، وبصفة خاصة أثناء هبوب الرياح الجنوبية "القبلي" في فصل الربيع، وتختلط بمكونات التربة نسبة كبيرة من الأملاح يزداد تركيزها بالاقتراب من البرك التي تتركز أرضية أحواض المنخفض، وتغطي معظم أجزائها المتاخمة للبرك قشوراً ملحية صلبة تكونت عن ترسيب الأملاح وتصلبها بعد تبخر مياهها، وكثيراً ما تتراكم قشور الملح فوق بعضها بسبب زيادة حجم بلوراتها عند جفافها، فتكون قطع من الشقف الملحية، أو صحائف الملح البارزة فوق السطح فتعمل على زيادة تموجه. كما تترسب الأملاح على شواطئ البرك نتيجة تبخر المياه، ولوحظ زيادة سمك الترسبات الملحية على شواطئ بركة "الملفا" في اتجاه منصرف الرياح بالمقارنة بشواطئ البحيرة الأخرى، بسبب دفع الرياح للبلورات الملحية على سطح البركة أثناء تبخر مياهها بالإشعاع الشمسي، فتتراكم فوق بعضها مكونة مجموعات من حواجز الملح موازية لسواحل البركة، بارتفاع يتراوح بين ٣٠-٦٠ سنتيمتراً، وتزداد صلابة وجفاف كتل الملح المكونة للأجزاء التي لا تطولها أمواج مياه البركة، كما تتصلب بقية أجزاء الحواجز المتاخمة لسواحل البركة عقب هدوء الرياح.

٢- هومش المنخفض :

تطوق المنخفض حافات واضحة من جميع الجهات ماعدا الحد الجنوبي، حيث تشرف على المنخفض من الجنوب سلسلة من المرتفعات الصخرية شديدة التقطع، تدفن معظم معالمها تحت رواسب بحر الرمال العظيم، ولا يشير إلى وجود هذه السلسلة سوى هامات بعض التلال المنعزلة والقور والموائد الصخرية المبعثرة، تبرز وسط محيط الغطاء الرملى الحديث، وتخلفت هذه التلال عن تعرض الحافة الصخرية لعمليات التآكل بعوامل التعرية. وسوف نتناول فيما يلي الخصائص المميزة لهومش المنخفض الشمالية والغربية :

^١ كان يستخدم أهل الواحة شقف الملح في بناء مساكنهم حتى وقت قريب، ولا زالت بقايا الزاوية السوسية مشيدة من الطوب اللبن المكسو برواسب الصلصال المنقول من سبخات المنخفض.

(أ) الملامح الجيومورفولوجية للهوامش الشمالية :
تمتد الحافة امتداداً عرضياً من الشرق للغرب ، وتبدو على شكل مجموعة من الأقواس المحدبة المتتابة ، وتفصل نظم التصريف المائي بين كل قوس والتالي له ، وينحرف توجيه الجزء الشرقي من الحافة " الملفا " ويأخذ الاتجاه الشمالي الشرقي بتأثير أحد خطوط الانكسار .
وتشرف الحافة الشمالية على أرضية المنخفض من منسوب يتراوح بين ١٠٤ أمتار في الجزء الغربي ، يرتفع تدريجياً بالاتجاه شرقاً ليلبلغ حوالي ١٢٣ متراً في حافة "الملفا" الصدعية. وتبدو هذه الحافة على شكل منحدر سلمي ، يتفاوت عدد درجاته بين ٤ إلى ٥ درجات ، تبعاً لاختلاف درجة صلابة صخور تكوين مارمريكا الجيري ، الذي يعلو تكوين جغوب الهش .

وتتشكل على الحافة مجموعة من أسطح المصاطب البنيوية المستوية ، يتراوح اتساعها بين بضعة أمتار ويضع منات من الأمتار ، وتكونت هذه المصاطب بتأثير التراجع الخلفي للحافة ، حيث تتفق مستوياتها مع مكاشف طبقة الحجر الجيري التابعة لتكوين مارمريكا ، تتلوها وحدات سفحية يتراوح انحدارها بين ١٠ ، ٣٠ درجة ، حتى تتنبئ عند سطح مستوى آخر يتفق منسوبه مع أحد مكاشف طبقة الحجر الجيري ، ويكرر هذا التتابع أكثر من مرة حتى يصل إلى أرضية المنخفض.

وتتكون على سطح الهضبة الميوسينية قشرة جيرية متصلبة رمادية اللون ، تكونت بتأثير التفاعل الكيميائي للأحجار الجيرية مع رطوبة الجو ، وتصاعد الأملاح الذائبة بالمياه وترسيبها على السطح بالخاصية الشعرية ، مما أكسب السطح صلابة عملت على حمايته من النحت بالرياح . كما ساهمت عمليات الإذابة بالمياه في ظهور مجموعات من الألسنة الكلسية تتدلى من بعض قمم وجروف الحافة ، ويتراوح طول هذه الألسنة بين ٢٠ - ٤٠ سنتيمتراً ، أم عتبات الحافة المتعددة فكانت فريسة أسهل أمام فعل الإذابة المائية ، قبل تآكل نواتجها بالرياح ، وتقويضها داخلياً لمسافات تصل لنحو خمسة أمتار على شكل فجوات غائرة في الصخر ، ولكن عادة لاتصمد أسقف هذه الكهوف الصغيرة أمام عوامل النحت ، فتتهار ويزحف حطامها على المنحدر ، وتتوالى هذه العملية من جديد .

وتتقطع الحافة بالعديد من الأودية الجافة ، أهمها وادي البارود الذي يفصل الهوامش الشمالية إلى قوسين محدبين رئيسيين ، بالإضافة إلى بعض الأودية القصيرة ، التي ساعدت على انفصال بعض أجزاء الحافة لتشكّل مجموعة من

التلال شبه المنعزلة، مثل قارة البارود (١١٨ متراً) ، وقارة المصلى (١٠٤ أمتار) ، وقارة الرتيمة (١٢٣ متراً) وغيرها .

وتتميز مجموعة الأودية بقصر أطوالها ، وشدة انحدارها ، وظهور مجموعة من نقاط التجديد على قيعانها ، التي تتميز بتوافق مناسبتها مع مستويات أسطح المصاطب البنيوية ، راجع شكل (٣-١٠) ، كما تظهر عند حضيض معظم نقاط التجديد بركة غطس^١ يتراوح عمقها بين المترين وأربعة أمتار ، إلا أن بعض هذه البرك تغطيها الرواسب الرملية الهوائية ، كما تنتشر على قيعان مجارى الأودية مجموعات من النبتات الرملية، أرسبت نتيجة اعتراض النباتات الصحراوية للرياح المحملة بالرمال . وتنتهى مجموعة الأودية المقطعة للحافة فى المسطحات السبخية المنتشرة فى قاع المنخفض ، مكونة فى معظم الأحيان مراوح فيضية هينة الانحدار محدودة الاتساع ، تغطى معظم أجزائها الرواسب الرملية الهوائية على شكل نبتات لايزيد ارتفاعها عن بضعة عشرات من السنتيمترات ، مما يدل على الجفاف الحالى الذى يسود المنطقة ، ونذرة جريان المياه فى الأودية التى تقطع هوامش المنخفض .

تحليل القطاعات الطولية لبعض الأودية التى تقطع الهوامش الشمالية :

تم رفع أربعة قطاعات طولية لمجارى أهم الأودية التى تقطع الهوامش الشمالية ميدانياً، باستخدام جهاز الميزان اليدوي *Abney Level* والشريط ، وتم القياس عند نقط التغير فى الانحدار الطولى ، وبلغت جملة أطوالها ٢٨٧٠,٣٠ متراً ، ويوضح شكل (٣-٥) أشكال القطاعات الطولية ومواقعها ، ومن دراسته نلاحظ ما يلى :

١- يتفاوت الطول الإجمالي للقطاعات الطولية المقاسة بين ٣٤٤,١ متراً للقطاع الرابع، و ١٢٨٨,١ متراً للقطاع الثاني .

^١ برك الغطس عبارة عن حفر دائرية الشكل تتكون على قيعان مجارى الأودية شبه الحافة أسفل نقاط تجديد الشسباب نتيجة الفعل الهيدروليكي لاندفاع حمولة الوادى من أعلى نقاط التجديد نحو أسافل الجرى ، وتتراوح أعماقها بين نصف المتر وبضعة أمتار ، ويتوقف شكل وعمق وأبعاد بركة الغطس على عدد من العوامل أهمها : ارتفاع نقطة التجديد عن قاع الجرى ، ومدى صلابة صخور القاع ودرجة تقطعها بالشقوق والفواصل ، وحجم الحمولة المسنقولة على القاع ونوعيتها . وتمتلئ برك الغطس بالمياه معظم فترات السنة مما يدفع بدو الصحراء لتحصيل الحمال الضالة قرب نقاط تجديد الشسباب التى يطلقون عليها تعبير "عقارة أو عقارة " لأنها تعمل على حبس الحيوانات وتمنعها من الهرب ، مع ضمان توافر مياه الشرب فى برك الغطس .

٢- يتراوح الانحدار العام للقطاعات الطولية المدروسة بين ٢٧,٧ درجة للقطاع الثاني، و ٤٣,٩ درجة للقطاع الرابع ، وإذا وضعنا المسافات الأرضية في الحسبان^١، نلاحظ أن درجة الانحدار تتباين بين ٣,٨ درجة للقطاع الأول و ٩,٥ درجة للقطاع الثالث . كما لوحظ شدة انحدار القطاعات الطولية المقطعة للجزء الشرقي من الهوامش بالمقارنة بالقطاعات المقطعة للجزء الغربي ، بما يتفق مع نتائج دراسة التوزيع التكراري لزوايا انحدارها ، التي أشارت إلى شدة انحدار الأجزاء الشرقية من الحافة قياساً بنظيرتها الغربية^٢ .

٣- تبدو على القطاعات الطولية المدروسة مجموعة من نقاط التجديد البنيوية ، يتراوح عددها بين ٧ نقاط على القطاع الثالث ، و ١٠ نقاط على القطاع الأول ، كما تتباين ارتفاعاتها بين ربع المتر وحوالي ١٢ متراً ، إلا أنه يلاحظ زيادة أعداد وارتفاعات نقاط التجديد بالأودية المقطعة للأجزاء الشرقية من الحافة ، بالمقارنة بالأودية المقطعة لأجزائها الغربية ، مما يعزز الملاحظة السابقة .

(ب) الملامح الجيومورفولوجية للهوامش الغربية :

يمتد المحور العام للهوامش الغربية من الشمال للجنوب ، وتبدو على شكل مجموعة من الأقواس المحدبة تفصلها بعض الأودية ، وتتشابه بذلك في شكلها العام مع الهوامش الشمالية ، إلا أنها تفتقد عنها ببعض الخصائص الجيومورفولوجية نوجزها فيما يلي :

١- تشرف الهوامش الغربية على أرضية المنخفض بمنسوب متواضع لا يتجاوز خمسين متراً في قسمها الشمالي ، وينخفض تدريجياً بالاتجاه جنوباً حيث لا يتعدى ثلاثين متراً فقط عند الحد الجنوبي الغربي للمنخفض .

٢- تتميز الحافة الغربية بالمظهر السلمي ، إلا أنها تمتد بصورة غير واضحة المعالم بسبب التقطع الشديد بالتعرية المائية من ناحية ، وتراكم الإرسابات الرملية على سفوحها من ناحية أخرى ، ولذا تبدو أعاليها على شكل مجموعة من التلال شبه المنعزلة ، تتميز باستواء سطوحها وتشابه مناسيبها إلى حد كبير .

٣- تتشكل على الحافة مجموعة من أسطح المصاطب البنيوية المستوية ، إلا أنها تتميز بضيق عتباتها الذي لا يتجاوز بضعة ديسيمترات ، ويتراوح ارتفاع

^١ بضرب المسافة الأرضية في درجة الانحدار لكل قراءة على القطاع الطولي ، ثم قسمة مجموعها الكلي على المسافة الأرضية الإجمالية للقطاع الطولي .

^٢ راجع نتائج التوزيع التكراري لزوايا انحدار الهوامش الشمالية بشكل (٣-٣) .

جروفها بين نصف المتر وأربعة أمتار ، وترتبط مستويات أسطح المصاطب بمكاشف طبقة الحجر الجيري الميوسيني.

٤- ترتبط الحافة بمجموعات متناثرة من التلال المتبقية (المنعزلة) على اختلاف أشكالها، وتتسم هذه التلال بتناسق مناسبيها من ناحية ، وتشابه هذه المناسيب بمستويات العتبات الصخرية التي تظهر على منحدرات الحافة المتاخمة لها من ناحية أخرى .

٥- تظهر على منحدرات مجموعة التلال الصحراوية بعض العتبات الصخرية المرتبطة بمكاشف طبقة الحجر الجيري الميوسيني .

٦- تتسم مجموعة الأودية المقطعة للهوامش الغربية بانحدارها الطولي البين ، ولا تظهر على قيعانها أية تغيرات فجائية في درجة الانحدار ، وتتميز باتساع مقاطعها العرضية ، وعدم وضوح منحدرات جوانبها . كما تنمو على قيعان هذه الأودية مجموعات متناثرة من النباتات الشوكية ، التي تساعد على تراكم الرواسب الهوائية مكونة بعض التبتكات ، يترأوح ارتفاعها بين نصف المتر والمترين.

٧- يتأثر الجزء الأعلى من الحافة بالعديد من أنظمة الفواصل ذات الاتجاه الشمالي / الغربي ، تسهم في توغل المؤثرات الجوية في تكوينات الحافة الجيرية ، مما يساعد على زيادة توسيعها، وزحف نواتج عمليات التجوية على سفوحها ، وتراكمها على شكل مجموعات من مخاريط الهشيم المحدودة الحجم .

٨- يتأثر القسم الجنوبي من الحافة بعمليات التقويض المائي بسبب اقترابها من بركة وسبخة الفريضة ، مما يساعد على تشبع مكوناتها الجيرية بالمحاليل الملحية المتسربة من المسطح السيخي.

٩- تغطي الإرسابات الرملية الهوائية مساحات كبيرة من سطح الهضبة الميوسينية بالأجزاء الجنوبية من الحافة المتاخمة لبحر الرمال العظيم .

ثالثاً : تحليل قطاعات المنحدرات :

يمكن إيضاح أهم نتائج تحليل قطاعات المنحدرات التي أجريت للهوامش الشمالية والغربية ، ومجموعة التلال المتبقية المرتبطة بهوامش الغربية للمنخفض فيما يلي^١ :

(أ) تحليل قطاعات الهوامش الشمالية:

يوضح جدول رقم (٣-١) الخصائص الكمية لقطاعات الهوامش الشمالية ، ويبين شكل (٣-٤) درجات تقوسها ، ومن دراستهما نلاحظ مايلي:

^١ راجع مواقع قطاعات المنحدرات بشكل (٣-٢) .

- ١- بلغت جملة أطوال القطاعات المقاسة أكثر من ٧٣٢٥ متر ، ويصل طول أطول قطاع منها حوالي ٩٦١ متراً (قطاع رقم ٨) ، وأقصرها ١٩٦,٨ متراً (قطاع رقم ١٦) بمعامل اختلاف ٥١ % ، ويرجع التباين في أطوال القطاعات لارتباط القطاعات القصيرة بأجزاء الحافة الأكثر تأثراً بعمليات النحت والتقويض ، وهي قطاعات أرقام (٤ ، ١٠ ، ١١ ، ١٢ ، ١٤ ، ١٥ ، ١٦) .
- ٢- يبلغ المتوسط العام للانحدار ٢٢,٣ درجة ، ويتباين هذا المتوسط بين القطاعات المقاسة حيث ترتفع عنه متوسطات القطاعات أرقام (٩ ، ١٠ ، ١٢ ، ١٣ ، ١٤ ، ١٥) ، وهي مجموعة القطاعات التي تغطي الجزء الشرقي من الحافة ، على حين تنخفض متوسطات انحدار مجموعة القطاعات المقاسة للجزء الغربي من الحافة بصورة ملحوظة عن المتوسط العام .
- ٣- تتميز مجموعة القطاعات الغربية للحافة بارتفاع معامل اختلاف درجات الانحدار ، مما يشير إلى تشتت وتباين زوايا الانحدار عن قيم متوسطاتها ، أما مجموعة القطاعات الشرقية فنلاحظ انخفاض قيم معاملات اختلاف زواياها ، بسبب التقارب النسبي بين درجات انحدار قطاعاتها .
- ٤- تعد الزاوية القائمة أكثر الزوايا شيوعاً في مجموعة القطاعات الشرقية بنسبة ٧١ % ، ويرجع ذلك إلى تأثير هذا الجزء من الحافة بالبنية التكتونية المحلية ، وتعدد وحدات الانحدار القائمة المتفقة مع مكاشف طبقة الحجر الجيري الطباشيري التي تتألف منها الهضبة الميوسينية .
- ٥- يغلب الشكل المقعر على نصف عدد القطاعات المدروسة ، ويبدو النصف الآخر محدباً ، ولكن تعد الأجزاء الشرقية من الحافة أكثر تحديباً من أجزائها الغربية ، مما يشير إلى أنها أقل تأثراً بعمليات النحت والتقويض ، وضعف تأثيرها بعمليات التعرية المائية .
- ٦- تعتبر قطاعات أرقام (٣ ، ١٠ ، ٧) أكثر القطاعات تقعرأ حيث تبلغ نسبة التحديب إلى التقعر ٥٦ ، ٦٧ ، ٨٠ ، ٠ ، على التوالي ، مما يدل على زيادة تأثيرها بعمليات النحت . وعلى النقيض من ذلك تعد القطاعات أرقام (٩ ، ١ ، ١٥) أكثر القطاعات تحديباً ، حيث تبلغ نسبة التحديب إلى التقعر ٢,١ ، ٨٣ ، ١,٥٤ ، على التوالي ، وقد يرجع ذلك إلى ضعف تأثير منحدراتها بالتقويض المائي .
- ٧- من دراسة شكل (٣-٣) الذي يوضح التوزيع التكراري لزوايا الانحدار ، نلاحظ سيادة الانحدارات الخفيفة ، حيث تشكل حوالي ٧١,٩ % من أطوال القطاعات المقاسة ، وترتبط هذه الانحدارات سواء بالأسطح البنيوية أو وحدات المنحدرات المقعرة والمحدبة ، وتغطي الجروف (٤٠ درجة فأكثر) حوالي ٨,٥ % من جملة الأطوال ، وتوزع على قمم القطاعات وعلى واجهات

الأسطح البنيوية. وتبلغ الزاوية الشائعة بالقطاعات نحو ٩٠ درجة، وهي تشكل ٧,٨ % من جملة أطوال القطاعات ، ويرتبط معظمها بالأجزاء العليا من القطاعات.

٨- يوضح شكل (٣-٤) درجات تقوس قطاعات الهوامش الشمالية للمنخفض ، ومن دراسته نلاحظ أن حوالي ٥٢,٨ % من جملة أطوال القطاعات تتحدب سطوحها، أما الأجزاء المقعرة فتشكل حوالي ٤٧,٢ % من جملة الأطوال .
٩- يبتقسيم القطاعات إلى مجموعات حسب درجة تقوسها نتيين أن المجموعة خفيفة التقوس تضم أكثر من ٦٢ % من جملة أطوال لقطاعات ، إلا أن العناصر المحدبة منها تشكل ٣٧ % من أطوالها ، على حين لا تتعدى أطوال العناصر المقعرة أكثر من ٢٥,١ % . أما المجموعة ذات التقوس المتوسط فتشكل حوالي ١٨ % من جملة الأطوال ، تمثل العناصر المحدبة منها حوالي ٥,٩ % فقط ، على حين تتجاوز العناصر المحدبة أكثر من ١٢ % من أطوال القطاعات ، ولكن لاتمثل المجموعة الشديدة التقوس (٣٩ - ٢٥ درجة) أكثر من ٤,٩ % فقط من جملة الأطوال . أما المجموعة ذات التقوس الشديد جداً (٤٠ - ٩٠ درجة) فتشكل حوالي ١٥ % من جملة الأطوال . ونستنتج مما سبق أن معظم سطوح القطاعات خفيفة التقوس ، وتسود بها العناصر المحدبة ، أما المجموعات ذات التقوس الشديد فترتبط بالعناصر المقعرة .

(ب) تحليل قطاعات الهوامش الغربية

يوضح جدول رقم (٣-٢) الخصائص الكمية لقطاعات الهوامش الغربية ، ويبين شكل (٣-٦) درجات تقوسها ، ومن دراستهما نلاحظ مايلي:

١- بلغت جملة أطوال القطاعات الخمسة عشر المقاسة أكثر من ١٨٥٦ متراً ، بمتوسط طول حوالي ١٢٤ متراً للقطاع الواحد ، وتتراوح أطوال القطاعات من ٥٧,٧ متراً للقطاع رقم (١٨) ، و٢٦٧ متراً للقطاع رقم (٢٨) ، تبعا لدرجة تقطع أجزاء الحافة بعمليات النحت والتفويض من ناحية ، وتراكم الرواسب الرملية على سفوحها من ناحية أخرى .

٢- يبلغ المعدل العام للانحدار ٣١ درجة ، وترتفع عن هذا المعدل متوسطات انحدار القطاعات أرقام (١٩ ، ٢١ ، ٢٢ ، ٢٤ ، ٢٧ ، ٣١) ، وترتبط مواقع القطاعات ذات الانحدار الشديد بالأجزاء المقوسة من الحافة بتأثير التعرية المائية ، مما ساهم في شدة انحدار سطوحها ، على حين تنخفض متوسطات انحدار القطاعات التي تغطي سفوحها الرواسب الرملية .

٣- يصنف المتوسط العام لزويا انحدار القطاعات المقاسة ضمن فئة الزوايا الشديدة جداً ، تبعا لتصنيف (Young, A., 1972, p.173)، حيث يطلق هذا

الوصف على سبعة قطاعات تنتشر معظمها بالأجزاء الجنوبية من الحافة (قطاعات أرقام ٢٤، ٢٣، ٢٢، ٢١، ١٩).

٤- تتراوح درجة الانحدار الأكثر شيوعاً بالقطاعات بين الدرجتين ٢٧ درجة، مما يشير إلى زيادة تكرار زوايا الانحدار الخفيفة والمتوسطة وفوق المتوسطة ، بالنسبة للوحدات الجرفية المرتبطة بمقدمات العتبات الصخرية البنيوية .
٥- تبلغ قيمة الزاوية الحدية العليا بجميع القطاعات ٩٠ درجة ، بسبب وجود العتبات البنيوية على كل القطاعات المقاسة بلا استثناء ، على حين تتباين الزاوية الحدية السفلى بين الصفر وتسع درجات ، تبعاً لمدى تأثير أجزاء القطاعات بعوامل التعرية.

٦- يغلب الشكل المقعر على معظم القطاعات المدروسة ، وتعد القطاعات أرقام (٢٤، ٢٣، ٢٧، ٣٠) أكثر القطاعات تقعرأ ، إذ تبلغ نسبة التقعر إلى التقعر ٠.١٩، ٠.٢٢، ٠.٣٨، ٠.٣٨ على التوالي ، ولا يغلب الشكل المحدب إلا على أربعة قطاعات فقط ، مما يشير إلى شدة تأثير معظم أجزاء الهوامش الغربية بعمليات النحت والتقويض المانى ، بالمقارنة بالهوامش الشمالية التي يسود بها الشكل المحدب لمنحدراتها ، مما يعنى أنها أكثر مقاومة لعمليات النحت والتقويض المانى.

(ج) تحليل قطاعات التلال المتبقية :

يوضح جدول رقم (٣-٣) الخصائص الكمية لقطاعات التلال المتبقية ، كما يبين شكل (٣-٨) مقارنة درجات تقوسها بقطاعات الهوامش الشمالية والغربية ، ومن دراستهما نلاحظ ما يلى :

١- بلغت جملة أطوال القطاعات المقاسة لمنحدرات التلال حوالي ٣٢٣٤ متراً ، بمتوسط طول ١١٥ متراً للقطاع الواحد ، إذ تتراوح أطوال القطاعات بين ٣٧ متراً للقطاع رقم (٥٩) وأكثر من ٤٣٧ متراً للقطاع رقم (٣٣) ، تبعاً لحجم التل المقاس ومدى تأثير منحدراته بعمليات التقويض المانى ، أو تراكم الرواسب الهوائية على منحدراته .

٢- يبلغ المتوسط العام لدرجات الانحدار ٣١.٢ درجة ، وترتفع عنه متوسطات انحدار ١٢ قطاعاً ، نتيجة تأثير سفوحها بالتقويض المانى ، مما ساهم في شدة انحدارها . وتنخفض عن هذه القيمة متوسطات انحدار ١٦ قطاعاً ، تبعاً لتأثير سفوحه بتراكم الرواسب الرملية .

٣- يكاد يتساوى المتوسط العام لدرجات انحدار قطاعات التلال مع نظيرتها المقاسة للهوامش الغربية ، على حين تنخفض قطاعات الهوامش الشمالية عن

هذه القيمة بحوالي ٩ درجات ، مما يشير إلى تشابه العوامل الجيومورفولوجية المؤثرة على كل من الهوامش الغربية والتلال المتاخمة لها .

٤- يصنف المتوسط العام لزوايا انحدار قطاعات التلال المتبقية ضمن فئة الزوايا الشديدة جداً، وفقاً لتصنيف (Young, A., 1972, p. 173) ، إذ يصنف ١٢ قطاعاً منها ضمن فئة الزوايا الرأسية والشديدة جداً ، يتوزع معظمها بالجزء الشمالي الغربي من المنطقة ، نتيجة تأثر منحدراتها بالتعرية المائنية للوادي الذي يصب حمولته قرب بلدة جغوب^١ .

٥- يتشابه تصنيف زوايا انحدار التلال المتبقية مع تصنيف منحدرات الهوامش الغربية المتاخمة لها ضمن فئة الزوايا الشديدة جداً ، على حين تصنف منحدرات الهوامش الشمالية ضمن فئة الزوايا الشديدة فقط ، مما يؤكد الملاحظة السابقة .

٦- تعد الزاوية القائمة أكثر الزوايا شيوعاً في نصف عدد قطاعات التلال المدروسة، مما يدل على تأثر سطوحها بمكاشف المصاطب البنيوية المستوية . وتبلغ قيمة الزاوية الحدية العليا في معظم قطاعات التلال ٩٠ درجة ، بسبب ظهور العتبات البنيوية على منحدراتها، بما يتمثل مع قطاعات الحافات الشمالية والغربية للمنخفض .

٧- يغلب الشكل المقعر على معظم قطاعات التلال المتبقية المقاسة ، حيث يسود الشكل المقعر على ١٨ قطاعاً منها ، ولا يغلب الشكل المحدب إلا على عشرة قطاعات فقط ، ويبلغ المتوسط العام لنسب التحذب إلى التفرع ٠,٦٩ ، بما يتشابه مع أشكال قطاعات الهوامش الغربية التي تميز أشكالها للتفرع أيضاً بمتوسط عام يبلغ نحو ٠,٧٩ ، على حين يغلب الشكل المحدب على معظم قطاعات الهوامش الشمالية بمعدل تقوس يصل لأكثر من ١,١٢ ، مما يؤكد الملاحظات السابقة التي تشير إلى تشابه العوامل الجيومورفولوجية المؤثرة على الهوامش الغربية ومجموعة التلال المنعزلة المتاخمة لها ، مما ساعد على تأثر منحدراتها بعمليات النحت والتقويض المائي ، وتراكم الرواسب الرملية على الأجزاء الدنيا من منحدراتها ، على حين تفردت الهوامش الشمالية بمجموعة من العوامل ساهمت في زيادة مقاومتها لعمليات النحت والتقويض .

^١ راجع مواقع هذه المجموعة من التلال بالخريطة الجيومورفولوجية شكل (٣-١) ، وأشكال منحدراتها الموضحة بالقطاعات التضاريسية الميدانية شكل (٣-٩) .

الخاتمة

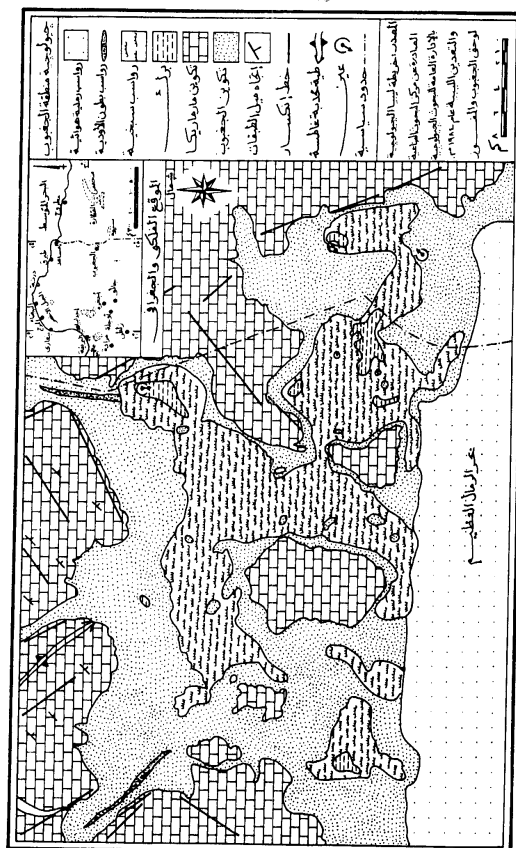
كشف تحليل منحدرات الهوامش الشمالية والغربية لمنخفض جغبوب وبعض التلال المتاخمة للهوامش الغربية عن عدد من النتائج نوجزها فيما يلى :
تتفق الهوامش الشمالية والغربية ومجموعة التلال المتبقية على تأثير منحدراتها باختلاف درجة صلابة تكوين مارمريكا الجيري السطحي عن تكوين جغبوب الهش، ولذا تبدو حوافها سلمية المظهر، وتتشكل على منحدراتها مجموعة من أسطح المصاطب المستوية، التي ترتبط مستوياتها مع مكاشف طبقة الحجر الجيري الميوسيني، كما ساهمت هذه الطبقة في تكوين مجموعة من نقاط التجديد تظهر على قيعان مجموعة الأودية المقطعة للحافة الشمالية.

تبدو الهوامش الشمالية للمنخفض بصورة أكثر وضوحاً وتشرف على أرضية المنخفض من ارتفاع يتجاوز مائة متر، على حين تظهر الهوامش الغربية بصورة شديدة التقطع بخطوط التصريف المائي، وتتراكم على منحدراتها الرواسب الرملية، وتشرف على أرضية المنخفض بمنسوب متواضع لا يتجاوز الخمسين متراً فى الجزء الشمالي من الحافة، ينخفض إلى ثلاثين متراً فقط عند حدها الجنوبي.

يتشابه المظهر المورفولوجى لمنخفض جغبوب مع معظم منخفضات الصحراء الكبرى مثل : منخفض الخارجة (Ball, J., 1900, p. 91)، منخفض الداخلة (Said, R., 1960, p. 68)، منخفض القطارة (مجدى تراب، ١٩٩٧)، منخفض سيوة (نبيل امبابي، ١٩٧٧ ص ٦)، منخفض مرادة (جودة حسنين، ١٩٨١ ص ٢٥)، ومنخفض غدامس (عبد العزيز طريح، ١٩٧١ ص ٧٧)، حيث تتفق معظم هذه المنخفضات فى وضوح هوامشها الشمالية التي تبدو على شكل منحدرات سلمية المظهر، وشدة تقطع هوامشها الغربية بالأودية الجافة والمسيلات الجبلية، بالإضافة إلى تراكم الغطاءات الرملية على هوامشها الجنوبية، وانتشار التلال المنعزلة والقور والموائد على أرضية منخفضاتها، كما تشغل أخفض مواضعها المسطحات السبخية والبرك التي تعمل كمستوى قاعدة محلى لتجميع حمولة نظم الصرف المركزى التي تقطع هوامشها.

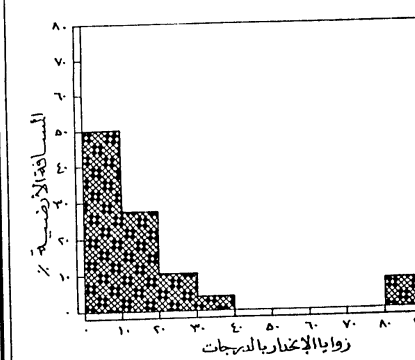
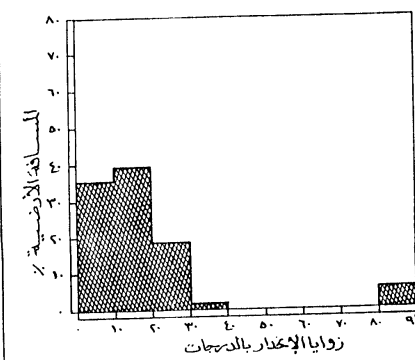
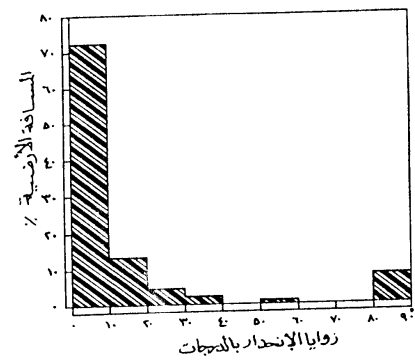
يتشابه المتوسط العام لزوايا انحدار الهوامش الغربية مع انحدارات مجموعة التلال المتاخمة لها، وتنخفض انحدارات الهوامش الشمالية عن هذه القيمة بنحو تسع درجات، ولذا تصنف زوايا الهوامش الغربية وتلالها المتبقية ضمن فئة




الزوايا الشديدة جداً ، على حين لا يتجاوز تصنيف زوايا الهوامش الشمالية فئة الزوايا الشديدة فقط . كما يغلب الشكل المقعر على معظم قطاعات الهوامش الغربية والتلال المتبقية المجاورة لها، على حين يغلب الشكل المحدب على منحدرات الهوامش الشمالية ، مما يشير إلى شدة تأثير الهوامش الغربية بالتقطع وسرعة التراجع الخلفى لحافاتهما ، والتوسيع المستمر للمنخفض من جهة الغرب بصورة أكثر وضوحاً من تراجع هوامشه الشمالية ، إذ كانت للتلال المتاخمة للهوامش الغربية تمثل الحدود الغربية للمنخفض خلال فترة سابقة من مراحل تطوره الجيومورفولوجي ، ولكن ساعدت عوامل التعرية على تقطع هذه التلال وانفصالها عن الحافة الغربية ، ولذا يتخذ المنخفض الشكل الطولى الذى يشبه الوادى الممتد من الشرق للغرب .

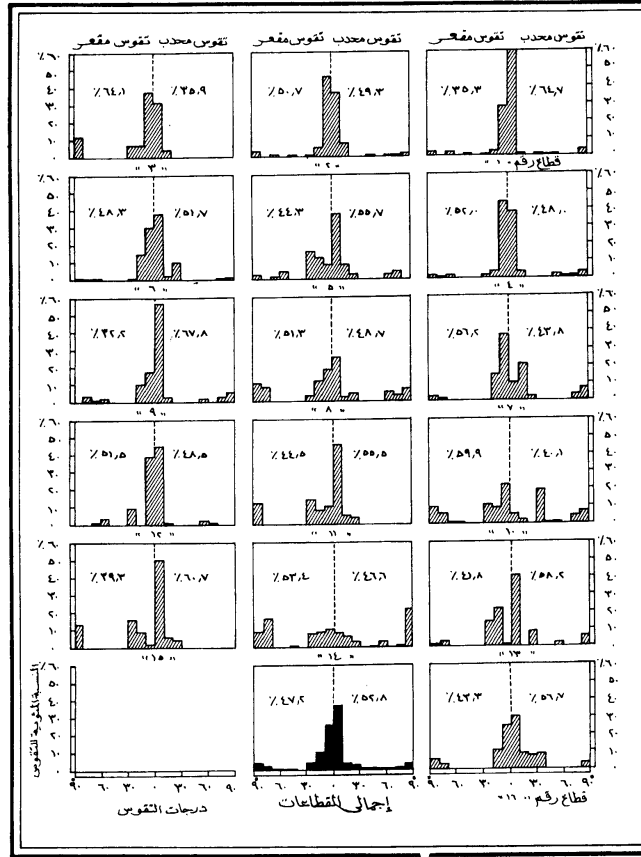


شكل (٣-١) الموقع الفلكي والجغرافي وجيولوجية منخفض جغبوب

شكل (٣-٣) التوزيع التكرارى لزويا الانحدار بالنسبة لأطوال منحدرات
قطاعات الهوامش الشمالية والغربية والتلال المتبقية

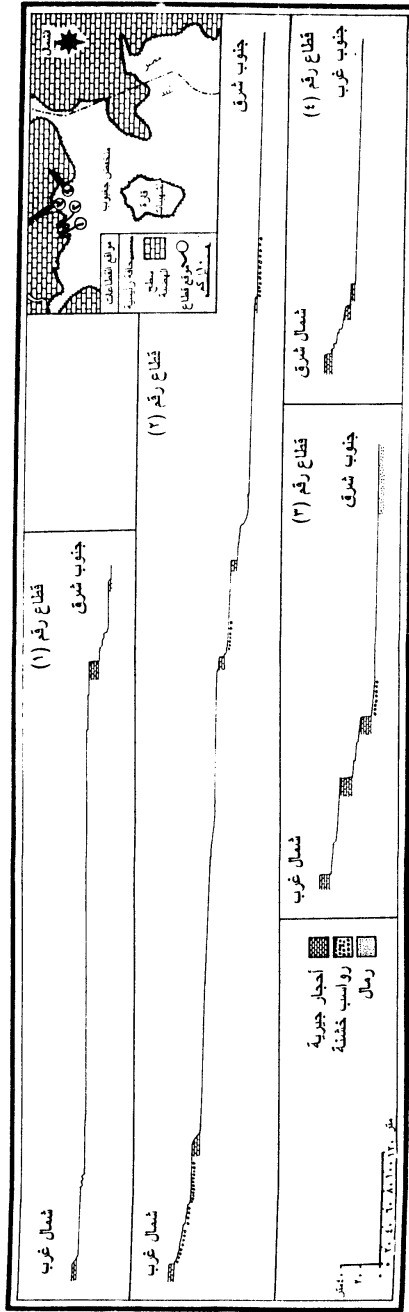


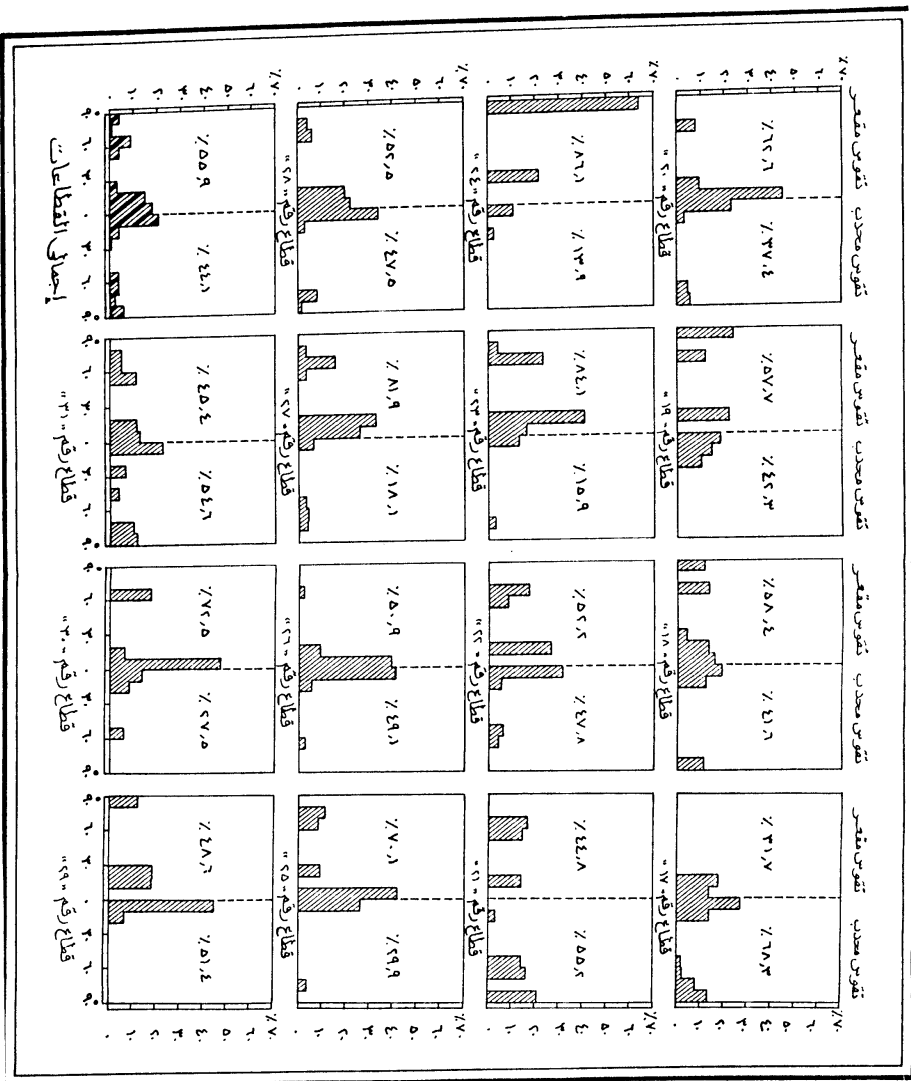
 قطاعات الهوامش الشمالية
 قطاعات الهوامش الغربية
 قطاعات التلال المتبقية



شكل (٣-٤) درجات نقوس قطاعات الهوامش الشمالية

شكل (٥-٣) القطاعات الطولية لمجارى بعض الأودية التى تقطع الهوامش الشمالية





1

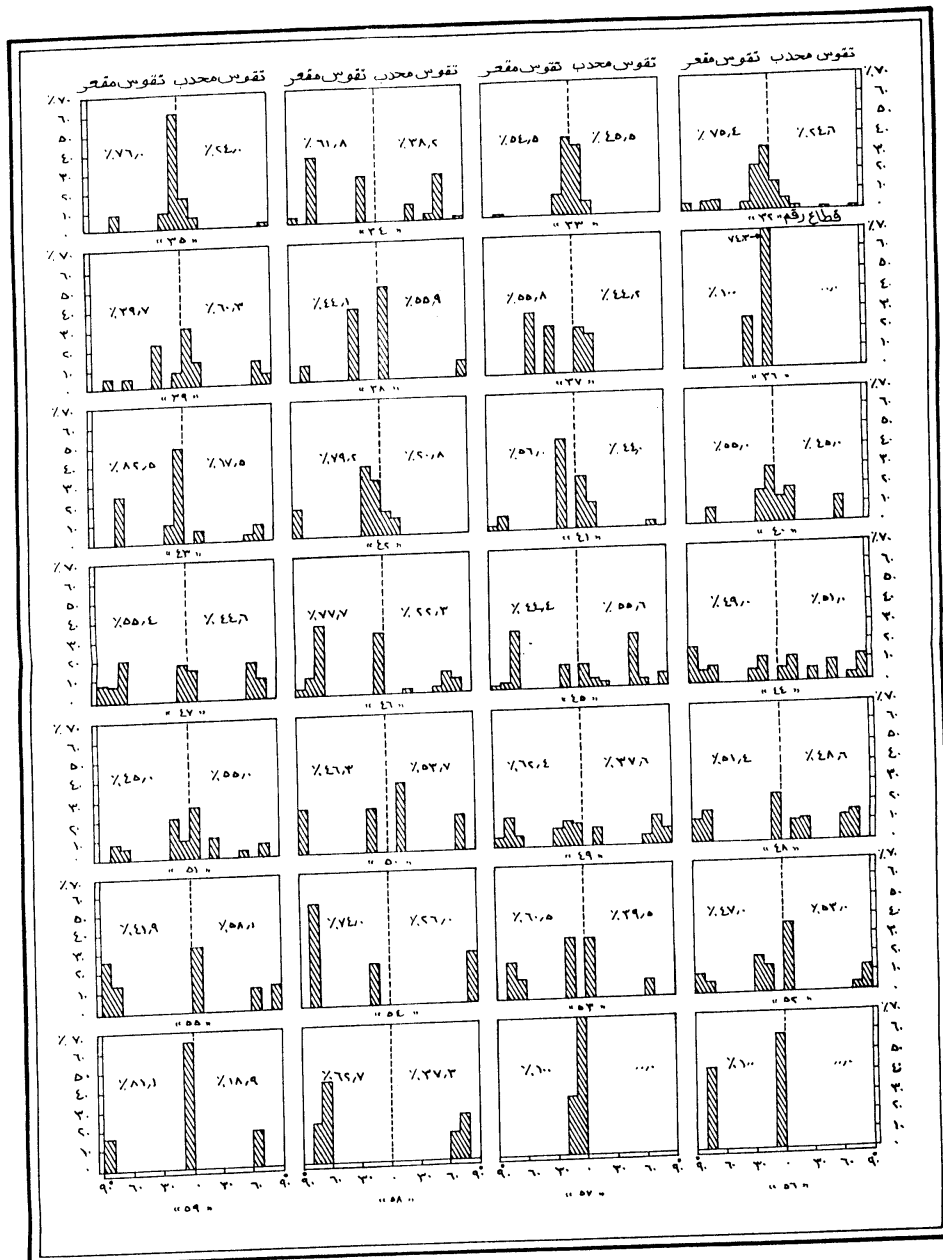
2

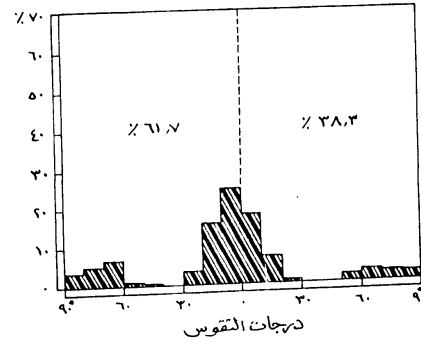
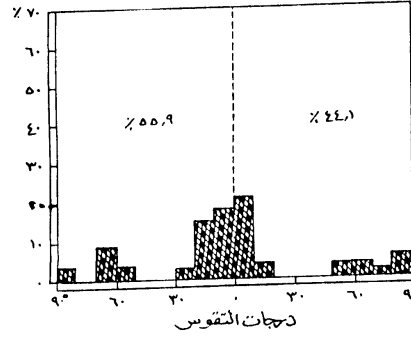
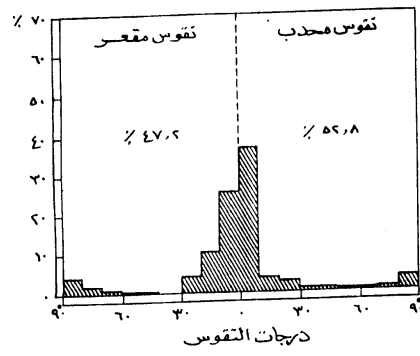
3

شكل (٦-٣) درجات تقوس قطاعات الهوامش الغربية

شكل (٧-٣) درجات تقوس قطاعات التلال المتبقية

|





قطاعات الهوامش الشمالية
قطاعات الهوامش الغربية
قطاعات التلال المتبقية

شكل (٨-٣) مقارنة درجات تقوس قطاعات الهوامش الشمالية والغربية
والتلال المتبقية

شكل (٩-٣) قطاعات تضاريسية ميدانية لبعض التلال المتبقية

شكل (١٠-٣) جيومورفولوجية منخفض جغوب



صورة (١-٣) الجزء الجنوبي من الهوامش الغربية



صورة (٢-٣) أحد الشواهد الصخرية بالقرب من الهوامش الغربية

المصادر والمراجع

أولا : المصادر :

- ١-خريطة طبوغرافية صادرة عن جيش الولايات المتحدة الأمريكية ، بمقياس رسم ١: ١٠٠,٠٠٠ ، عام ١٩٤٢، لوحة رقم (M.DR.1006/654).
- ٢- مركز البحوث الصناعية بالإدارة العامة للبحوث الجيولوجية والتعدين الليبية ، ١٩٨٤ ، خريطة ليبيا الجيولوجية بمقياس رسم ١: ٢٥٠,٠٠٠ ، لوحتي المفوز وجفوب ، ليبيا .

ثانيا المراجع باللغة العربية :

- ١- جودة حسنين جودة ، ١٩٧١
عصور المطر في الصحراء الكبرى الإفريقية ، بحث في الجيومورفولوجيا المناخية لعصر الباليوسين والزمين الرابع ، مجلة كلية الآداب ، جامعة الإسكندرية .
- ٢- ----- ، ١٩٧٣
أبحاث في جيومورفولوجية الأراضي الليبية ، منشورات جامعة بنغازي ، ليبيا .
- ٣- ----- ، ١٩٨١
الجغرافية الطبيعية لصحاري العالم العربي ، الإسكندرية .
- ٤- عبد العزيز طريح شرف ، ١٩٧١
جغرافية ليبيا ، الطبعة الثانية ، الإسكندرية .
- ٥- محمد مجدي تراب ، ١٩٩٧
الخصائص الجيومورفولوجية لمنطقتي قارة أم الصغير ومنقار أبودويس بالهوامش الشمالية الغربية لمنخفض القطارة ، مجلة الجمعية الجغرافية المصرية ، العدد التاسع والعشرون ، الجزء الأول .
- ٦- نبيل سيد امبابي ، ١٩٧٧
خريطة مورفولوجية لمنخفض سيوة ، ندوة سيوة ، جامعة عين شمس ، القاهرة .

ثالثا : المراجع باللغات الأجنبية :

- 1- Abdel - Rahman ,M.A., et al., 1980 - 1981,
Some Geomorphological aspects of Siwa region, Bull. Soc.
Geog. D'Egypte, Vol.53-54,pp.17-41.
- 2- Ball, J., 1900,
Kharga Oasis : its Topography and Geology. Govt. press,
Cairo.

- 3- **Bellini, E., 1969,**
Biostratigraphy of The Aljaghbug (Giarabub) formation in Eastern Cyrenaica (Libya), Proc. 3 rd. African Micropal Calloquim, Cairo, pp.165-184.
- 4- **Butzer, K.W. and Cuerda, J., 1967,**
Coastal Stratigraphy of Southern Mallorca and The Pleistocene Chronology of The Mediterranean Sea, J. Geol. Vol.70.
- 5- **Chiarugi, A., 1928,**
Legni Fossili, In Risultati Scient. della Missione All'Oasi Di Giarabub, Vol.111, Roma. pp.398-429.
نتائج بعثة علمية لدراسة حفريات واحة جغبوب .
- 6- **De Angelis, M., 1930,**
Osservazioni Sulla Composizione mineralogica delle Sabbie dell' Oasi Giarabub, Atti Soc. Ital. Sc. Nat., Vol. LXIX, Milano, pp.327-340.
مشاهدات عن التركيب المعدنى لرمال واحة جغبوب.
- 7- **Desio, A., 1928,**
Risultati Scientifici della Missione alla Oasi di Giarabub (1926-27) , parte 11 : La Geologia, pubbl. della R. Soc. Geogr. Ital., Roma, pp.83-163.
نتائج بعثة علمية لواحة جغبوب (١٩٢٦-١٩٢٧) ، جزء رقم ٢ : الجيولوجيا ، منشورات الجمعية الجغرافية الإيطالية .
- 8- ----- , 1935,
Studi Geologici sulle Cirenaica, sul Deserto Libico, sulla Tripolitania e sul Fezzan orientale, Missione Scient. R. Accad. D'Italia a Cufra, Vol. 1, 48 p., Roma.
دراسات جيولوجية لبرقة ، صحراء ليبيا وطرابلس وشرق فزان . نتائج بعثة علمية إيطالية للكفرة.
- 9- ----- , 1939,
Le Nostre Conoscenze Geologiche sulla Libia sino al 1938, Annali Musea Libico St. Natur, Vol. 1, Tripoli, pp.13-54.
أضواء علمية عن جيولوجية الأراضي الليبية منذ عام ١٩٣٨ .

- 10- **Forti, A., 1933,**
Disegno per un'analisi Biogeografica delle alghe di Giarabub (Cireneica), Mem. R. Accad. Naz. Lincei, Ser. G., Vol. V, Roma ,pp. 105-217.
دراسات تحليلية عن الجغرافية الحيوية عن الرخويات البحرية فى واحة الجفوب (برقة) .
- 11- **Hey, R. W., 1956,**
The Geomorphology and Tectonic of the Jebel Akhdar (Cyrenica), Geol. Mag., Vol. 93, No. 1, pp.1-14, Herford .
- 12- -----, **1962,**
Quaternary and Paleolithic of Northern Libya. Quaternaria, Vol. VI, Roma., pp. 435-449.
- 13- **International institute for aerial survey and earth sciences, 1968,**
I.T.C. text book of photo-interpretation , Amsterdam , 36p.
- 14- **Riad, S., El-Etr, H. and Mohammed, M.A., 1978,**
Gravity-Tectonic Trend analysis in Siwa - Al Jaghub region, N. E. Africa, Second Symposium on the Geology of Libya , Tripoli , pp.980-989.
- 15- **Said, R., 1960,**
New light on the origin of the Qattara depression, Bull. Soc. Geogr. Egypte, Cairo.
- 16- **Young, A., 1972,**
Slopes, Oliver & Boyd, Edinburgh . 288 p.

البحث الرابع

الخصائص الجيومورفولوجية لمنطقتى قارة أم الصغير ومنقار
أبودويس بالهوامش الشمالية الغربية لمنخفض القطارة

البحث الرابع

الخصائص الجيومورفولوجية لمنطقتي قارة أم الصغير ومنقار أبودويس بالهوامش الشمالية الغربية لمنخفض القطارة

مقدمة :

تبدو الهوامش الشمالية الغربية لمنخفض القطارة كقوس يمتد لأكثر من ٣٥٠ كيلومتر ، وتتخذ حافة المنخفض اتجاها شرقيا غربيا من واحة المغرة شرقا حتى رأس القطارة غربا لمسافة حوالى المائتى كيلومتر ، ثم تتحرف للجنوب الغربى حتى أقصى امتداد جنوبى للمنخفض عند رأس الحميمات شكل (٤-١). وتتميز الحافة الشمالية الغربية للمنخفض بشدة انحدار هوامشها بالمقارنة بحواف المنخفض الأخرى ، إذ تبدو منطقة البحث كحافة متدرجة تتحدر صوب الجنوب الشرقى من ارتفاع يناهز المائتى متر ، إلى مادون مستوى سطح البحر بأكثر من ستين متر. وقد اختيرت منطقة قارة أم الصغير لتمثل الخصائص الجيومورفولوجية للهوامش الشمالية الغربية للمنخفض، كما درست منطقة منقار أبودويس لتمثل خصائص هوامش المنخفض الشمالية .

جيولوجية المنطقة :

تمثل هذه الحافة واجهة الكويستا الميوسينية (هضبة ماماريكا) التى تمثل صخورها الجيرية صوب الشمال الغربى بنحو العشر دقائق ، ويرصع سطحها عدد من العيوب الثانوية يتخذ بعضها مسارات موازية للهوامش الشمالى للمنخفض عند واحة المغرة ، ويبدو أوضحها عند رأس القطارة ، ممتدا بصورة عمودية على الحافة وليس له دور أساسى فى تشكيلها (Said,R.,1962,P.45) ، راجع شكل (٤-١)، كما أظهرت الآبار التى حفرت فى أرضية الهضبة بعض التراكيب الالتوائية تحت السطحية ، والتى تشير الى تعرضها لحركات الشد والضغط (El Dakkak,M.W.,1988,P.104).

ويقع أسفل الحجر الجيري الماماريكى تكوين المغرة الذى يتألف من رواسب هشة من الطفل والمارل والحجر الجيري الرملى والأحجار الرملية المختلفة بالرمال وبعض الكونجلوميرات التى نتجت عن التحامهم جميعا (Abdallah, A.M.,1967,P.10) ، ويبلغ سمك هذا التكوين أكثر من ٢٠٠ متر شرقى المنخفض ، ويقل بالتدرج بالاتجاه غربا ، مما دفع (جودة، ١٩٨٨ ص ١٣٩)

لترجيح اكتساح وتذرية المكونات الهشة للمنخفض بالرياح بعد إذابة الطبقة الجيرية الصلبة التي تعلوها .

الدراسات السابقة :

حاول كثير من الجيولوجيين تفسير نشأة منخفض القطارة ، كأكبر مظهر تضاريسي يشكل وجه الصحراء الغربية المصرية عمقا و مساحة ، و تضاربت آراؤهم بين تأكيد النشأة التكتونية ، و تعظيم دور عوامل التعرية ، و بعضهم قد اقترح حدوث حركة هبوط فى حوضي المنخفض (Ibrahim , M.M.1952) أو تأثيره بالعيوب و الانكسارات (knetsch,G. , and yallouz , M.,1955 Meshref , W.M. et el, ١٩٧٩) .

أما عن تحديد دور عامل التعرية المسئول عن تعميق المنخفض نجد أن (Ball,j., 1933) قد أرجعه لفعل الرياح وحدها ، أما (knetsch ,B., and yallouze, M.,1955) فقد أشارا إلى تأثير فعل الأكسدة oxidation ، أما (Ibrahim, M.M.,1952) فقد رجع دور عوامل التحلل بالمياه من خلال الفواصل قبل اكتساحها بالرياح.

و بعد بفاننستيل (Pfannenstil M., 1953) أول من اقترح إمكانية تشكيل المنخفض عند نطاق التماس الجيولوجي بين تكوين مارماريكا الجبرى و تكوين المغرة ، والتي أكدها فيها بعد رشدى سعيد عام ١٩٦٢ ، مقللا من أثر العوامل التكتونية فى تشكيله ، ومدللا لصدق ما يقول بمجموعة من الحفر تخدد وجه الهضبة الميوسينية الحالية شمال غرب منخفض القطارة (المخفضات الثانوية) . و تشير إلى أسلوب تكوين المنخفض عند بداية نشأته ، بفعل إذابة تكويناته الجيرية الصلبة ، قبل أن تذروها الرياح و تصل لتكوين المغرة الهش أسفلها (شكل ٤ - ٩) ، أما (جاد ، ١٩٩١) فقد توصل إلى مجموعة من الاستنتاجات ترجحها بعض الأدلة تشير إلى تضافر عوامل الاكتساح بالرياح ، والإذابة الناجمة عن تغير مستويات الماء الجوفى ، تحت ظروف النظام الشتوى لأمطار الغربيات .

طرق ووسائل البحث:

استخدم الباحث مرئية فضائية ^(١) تغطى نطاق البحث و مجموعة من الخرائط الطبوغرافية ^(٢) للتعرف على الملامح الجيومورفولوجية الأساسية لهوامش

(١) مرئية فضائية مأخوذة بتاريخ ١٦ يوليو ١٩٨٤ بمقياس ١: ١٥٠,٠٠٠ صادرة عن :

Swedish Space Corporation Satellite Landsite TM 179/3892

(٢) مجموعة خرائط طبوغرافية صادرة عن إدارة المساحة العسكرية المصرية بمقياس ١: ١٠٠,٠٠٠ و تشمل لوحات المغرة - بنز أبو غرلق - مسرب المصلب - رأس القطارة - قارة الملح - القنيطرة - قارة - عين تبغ .

المنخفض و دراسة علاقاتها المكانية ، وكذلك من رسم خريطة توضح الملامح الجيومورفولوجية العامة للمنطقة الشرقية من الحافة (واحة المغرة) بتمهيدا لاختيار مواضع الدراسة الميدانية والتي انحصرت في موقعين من الحافة^(١) ، أو لاهما منطقة واحة قارة أم الصغير بالجزء الأوسط من الهامش الغربي للمنخفض ، عند تقاطع دائرة عرض ٢٩'٣٨° مع خط طول ٢٦'٣° ، وترتبط بواحة سيوة بطريق غير ممدد (مدق) يبلغ طوله حوالي ١٢٠ كيلو مترا . وتم استخدام موزيك بمقياس ١: ٥٠,٠٠٠^(٢) بعد تكبيره للضعف كخريطة أساسية لإنشاء خريطة جيومورفولوجية لهذا الجزء من الحافة (شكل ٤-٧) ، متبعا الأسلوب الذي اقترحه (محمود عاشور ، ١٩٩٠) في عملية الرفع الميداني للأشكال الأرضية وكيفية توقيع رموزها ، كما استعان الباحث بجهاز بلا نشيطة وقائمة منطوقة طولها أربعة أمتار عند رفع بعض الظواهر ميدانيا ، وكذلك عند التأكد من تماثل مناسيب الشواهد الصحراوية عند حواف المنخفض ، وذلك باستخدام طريقة الإشعاع ، باختيار موقع متوسط بين مجموعة الظواهر المراد توقيعها و قياس مناسيبها ، والتأكد من إمكانية رؤيتها جميعا من أعلى الشاهد الصحراوي المراد مضاهاة مناسيبه بمناسيب بقية الشواهد (محمد فريد فتحي ، ١٩٨٣ ص ٢٤٧) .

أما الموقع الثاني المختار للدراسة الميدانية فيقع بمنطقة منقار أبو دويس ممثلا للهامش الشمالي للمنخفض ، لارتباطه بمدينة العلمين بطريق مرصوف طوله حوالي ٩٠ كيلومتر ، ولتوافر سبل الإعاشة بحقل بترول أبو الغراديق المتاخم للموقع المختار ، وتم إنشاء خريطة جيومورفولوجية لهذا الجزء باستخدام خريطة طبوغرافية مقياس ١: ٥٠,٠٠٠ , ٢٥ كخريطة أساس لتوقيع الأشكال الأرضية عليها (شكل ٤-٨) كما تم إنشاء إحدى عشر قطاعا لدراسة سفوح المنحدرات ، عند أراضي ما بين الأودية المقطعة للحافة ، باستخدام جهاز Abney level و شريط تيل لقياس المسافات الأرضية بين نقاط التغير في المنحدرات وتحليل نتائجها كميا وحساب درجات نقوس منحدراتها (شكل ٤-٥ و ٤-٦) تبعا لطريقة Abdel Rahman, M.A., et al., 1980-1981 .

وتم حساب درجات نقوس القطاعات بالأسلوب الآتي (صابر دسوقي ، ١٩٩١ ص ٤١٦) :

(١) حاول الباحث دراسة منطقة رأس القطارة ميدانيا إلا أن وعورة المنطقة وعزلتها حالت دون الوصول إليها .
(٢) خرائط مصورة صادرة عن إدارة المساحة العسكرية المصرية عام ١٩٥٠ ، بمقياس ١: ٥٠,٠٠٠ لرقم C6/S & C6/N

- (أ) حساب النقيوس عند كل نقطة تغير في الانحدار بطرح قيمة زاويتي الانحدار حول النقطة مع الاحتفاظ بالإشارة (- أو +) ، ويميز النقيوس عند كل نقطة بالرموز س_١ ، س_٢ ...
- (ب) حساب طول النقيوس عند كل نقطة بجمع نصفى طول القراءتين حول كل نقطة تغير والتعبير عنها بالرموز ل_١ ، ل_٢
- (ج) حساب طول قطاع المنحدر = مجموع أطوال قراءات القطاع مطروحا منها نصف أطوال القراءات العليا ونصف أطوال القراءات الدنيا ويرمز له بالرمز ق ل.
- (د) قياس مقدار التباين في درجات النقيوس بحساب النسبة المئوية لكل قيمة من درجات النقيوس بالنسبة للطول الكلى للقطاع.
- (هـ) حساب النسبة الكلية للقطاع وتحديد نسبة الأطوال المحدبة ونسبة الأطوال المقعرة منه.
- كما تم إنشاء قطاعين كرتوجرافيين لمنطقة واحدة أم الصغير أحدهما متداخل superimposed profile و الآخر مركب composed profile ، باستخدام خريطة طبوغرافية بمقياس ١ : ٢٥٠,٠٠٠ لإيضاح الخصائص المورفولوجية العامة للحافة (شكل ٣-٤ و ٤-٤)
- كذلك تم دراسة التوجيه المورفولوجى برسم وردات اتجاه Rose uiagram لكل من الأشكال الاتية الوقوف على مدى مشاركة كل منها في عملية تشكيل المنخفض و هوامشه (شكل ١٠-٤ و ١١-٤).

- (١) التراكيب الخطية Lineaments سواء المؤكدة أو غير المؤكدة ، التى يتأثر بها سطح الهضبة الميوسينية بالنطاق المتاخم لحافة المنخفض شمالا.
- (٢) المنخفضات الثانوية Minor Depressions التى ترصع سطح الهضبة الميوسينية المتاخم للحافة شمالا .
- (٣) التوجيه الجغرافى للهوامش الشمالية و الغربية للمنخفض وفقا لوحداثها الطولية ، وقد تم استخدام مرئية فضائية بمقياس ١ : ٢٥٠,٠٠٠ لتمييز و قياس اتجاهات الأشكال السابقة . كما تم إجراء التحليل المورفولوجى لأشكال المنخفضات الثانوية ، و قياس معدل استتالة أشكالها Elongation Raio لدراسة دور كل من عامل التذرية و النحت بالرياح و فعل الإذابة المائية عند تشكيلها و مدى ارتباطها بالخطوط العيبية.

نتائج الدراسة :

(أ) الخصائص الجيومورفولوجية العامة للهوامش الشمالية والغربية للحافة

يمكن استخلاص أهم الخصائص الجيومورفولوجية لهوامش الحافة اعتماداً على مجموعة الخرائط الجيومورفولوجية التي أنشئت ميدانياً لأجزاء منها (واحدة أم الصغير بشكل ٧-٤ ، منقار أبو دويس بشكل ٨-٤ والخريطة المستمدة من تفسير المرئيات الفضائية لمنطقة واحدة مفرقة بشكل ٩-٤) بالإضافة إلى نتائج التحليل الكرتوجرافي لهوامش الحافة بمنطقة واحدة أم الصغير ، و تتركز هذه الخصائص فيما يلي :

(١) تبدو الحافة الغربية للمنخفض بمنطقة ولعة أم الصغير على

شكل انحدار سلمي ، يتدرج في أربعة مستويات أو درجات متتالية ، تظهر مناسيبها على ارتفاع ٢١٠، ٢٥٠، ٦٥٠، ١٥٥٠ متر فوق سطح البحر على التوالي ، قبل بلوغها حضيض المنخفض على منسوب -٢٠ متر ، والنطاق السبخي بعين واصل أسفل هذا المنسوب .

(٢) يرتبط كل مستوى من هذه الدرجات الأربع بمجموعة من ظاهرات الشواهد الصحراوية ، و التي تشير إلى منسوب المستوى التابع لها قبل تأثير عوامل التعرية المسنولة عن تشكيله ، و تتميز اسطح هذه الظاهرات باستوائها و تماثل مناسيبها إلى حد كبير ^(١) ، و تشمل هذه الأشكال على الموارد الصحراوية و التلال الشاهدة MESA and Buttes وقواعد التماثيل pedestals و السلال الجزيرية المنعزلة Inselbergs والتلال المزروجة القمم ، إلى جانب بعض أشكال البردى Abrasion features بولسطة الرياح (شكل ٨-٤ وصور أرقام من ١-٤ إلى ٧-٤) .

(٣) تنتشر على سفوح المستوى الأدنى من الحافة مجموعة من العيون أهمها عين رقية الرالا ، و عين شطار ، و عين الخشب ، و عين القطارة ^(٢) ، و عين تليدة ، و عين فارس ، و عين الصفا ، و تتجمع مياه هذه العيون في مسيلات بطينة

(١) استخدم جهاز بلاشبيطة في التأكيد من تماثل مناسيب هذه المجموعة من أشكال الشواهد ، ولوحظ اختلاف مناسيبها بقيم تتراوح بين المتر الواحد والأربعة أمتار ، نظراً للاختلاف النسبي في صلابة تكوينها .
(٢) أطلق اسم عين القطارة على هذه العين بسبب تساقط مياهها على شكل قطرات الدموع كما سمي اللؤلؤ الذي يعطوها بإسم الجبل الحزين لتسرب قطرات المياه بين فواصله الصخرية .

الجريان ، يستغلها الأهالي في الأنشطة الزراعية قبل ضياعها في النطاق السبخى المتأخم لها .

(٤) تظهر الحافة الشمالية للمنخفض بمنطقة منقار أبو دويس على شكل انحدار سلمي أيضا ، ولكنه يتدرج في عدد يتراوح بين خمس و سبع درجات متتالية ، يبدو أعلاها على منسوب ٢٦٠ - ٢٧٠ مترا أما الدرجة الثانية فتتمثل على منسوب ٢٢٠ متر ، ثم تتوالى بقية المستويات ليصل منسوب أدناها على ارتفاع ٢٥ - ٣٠ متر (شكل ٨-٤).

(٥) يتميز الهامش الشمالي للمنخفض بشدة تقطعه بالمسيلات ومجاري الأودية الجافة ، سواء بمنطقة واحة المغرة (شكل ٩-٤) أو بمنطقة منقار أبو دويس (شكل ٨-٤) كما ترتبط مستويات حافة المنخفض بمجموعات متناسقة من أشكال الشواهد الصحراوية أيضا ، و تشير إلى مناسيب سطح الأرض قبل تأثرها بعمليات التعرية المشكلة للمنخفض ، كما تظهر على قيعان الأودية الجافة المقطعة للحافة مجموعات مترابطة في نقاط التغير في انحدارها الطولى ، ترتبط مناسيب كل مجموعة منها بمستويات بقايا أشكال الشواهد بإحدى عتبات (درجات) الحافة (شكل ٨-٤) .

(٦) تتميز أشكال الدرجات العليا بوضوح تأثرها بعوامل التعرية بصورة تفوق ظاهرات المستويات الدنيا القريبة من أرضية المنخفض ، تبعا لطول الفترة الزمنية التي تأثرت بها تكوينات هذه الحافات بعوامل النحت من ناحية ، و لارتباطها بخط التماس الجيولوجى Formational boundary بين تكوين مارماريكا الميوسينى و تكوين المغرة من ناحية أخرى و تظهر آثار إزالة بعض اجزاء القشرة الجيرية المتصلبة Duricrust بالمستوى العلوى بمنطقة واحة المغرة (شكل ٩-٤) بتأثير فعل الإذابة ، مما يساعد على اتساع مساحة المنخفض و تراجع حافته صوب الشمال ، كما تتأثر بقايا أشكال الشواهد بالمستويات الدنيا بفعل الإذابة المصاحب لتجمع المياه نحو النطاق السبخى بأرضية المنخفض (حطية

البحث الرابع : قارة أم الصغير ومنقار أبو دويس بهوامش منخفض القطارة
لبق و بركة المغرة بالنطاق الشمالى الشرقى بالمنخفض
وسبخه عين واحل بمنطقة أم الصغير).

(٧) يترصع سطح الهضبة الميوسينية المتاخمة لحافة المنخفض
شمالاً بمنطقة واحة المغرة بعدد كبير من المنخفضات
الحفر الصغيرة الحجم ،التي يتراوح طولها بين بضعة من
الأمطار و حوالى الخمسة كيلو مترات (شكل ٤-٩).

ب) تحليل قطاعات سفوح الحافة و درجات تقوسها :
قام الباحث بقياس عدد ١١قطاع سفحى^(١) لانحدارات حافة المنخفض
بمنطقة منقار أبو دويس ، و بلغ اجمالى أطوالها أكثر من ٣٢٠٠ متر ،
بمتوسط قدرة ٢٩١متر للقطاع ،كما بلغ مجموع عدد القراءات المقاسة
بالقطاعات نحو ٤٨٩ قراءة ،بمتوسط بلغ أكثر من ٤٤قراءة للقطاع
الواحد ، و بذلك لم يتعد طول القراءة الواحدة أكثر من ستة أمتار و
نصف المتر فى المتوسط و يوضح (شكل ٤-٥) التوزيع التكرارى
لدرجات انحدار هذه القطاعات كما يبين (جدول رقم ١) خصائصها
الكمية و من دراستهما نلاحظ ما يلى :

(١) يبلغ المعدل العام لانحدار الحافة ٣٢,٢ درجة ،و بذلك تعد الحافة
ذات انحدار شديد جدا تبعا لتصنيف (young , A.,1972,p.17)
و يتباين هذا المعدل من قطاع لآخر حيث يبدو رأسيا بالقطاع التاسع
وشديد جدا فى القطاعات الأول و الرابع و الثامن ،و شديد
بالقطاعات الثالث و الخامس و السادس و العاشر و الحادى عشر ،
و فوق المتوسط بالقطاعات الثانى والسابع وفقا لنفس التصنيف .

(٢) يتميز ربع أطوال القطاعات باستوائها ،إذا تنحصر درجات
انحدارها بين الصفر و العشر درجات ، وهى تمثل أسطح العتبات
أو الدرجات السلمية للحافة ،كما يدلغ مجموع أطوال الأجزاء
الجرفية الممثلة لمقدمات هذه العتبات نحو ٦% من أطوال السفوح
المقاسة.

(١) راجع موقع هذه القطاعات (بشكل ٤-٨).

(٣) تتسم زوايا الانحدار بالتركز في ثلاث فئات أساسية هي:
الانحدارات الجرفية (٨٥° - ٩٠°)، المنحدرات الشديدة (١٩° - ٣٠°)،
المنحدرات المتوسطة (٦° - ١٠°)، حيث تشكل حوالى ٦%، ١٠، ٢٧%،
١٩% من إجمالى أطوال القطاعات على التوالى .

(٤) تميل زوايا الانحدار بالقطاعات الثانى و السادس و السابع الى التشتت و عدم التجانس ، حيث ترتفع قيم معاملات الاختلاف بين زواياها بسبب تباين صلابة تكويناتها الجيولوجية ، و تداخل بعض الأفاق الجيرية فى تكوين المغرة الهش ، على حين تميل قيم زوايا الانحدار فى بقية القطاعات للتقارب ، مما يشير إلى زيادة تجانس تكويناتها الجيولوجية .

(٥) بدراسة توزيع الفئات الانحدارية بكل قطاع نلاحظ تباين نسب أطوال الأجزاء المستوية بين أقل من ١% بالقطاع الثامن و أكثر من ٦٧% بالقطاع الثانى ، مما يشير إلى اختلاف معدلات تراجع هوامش المنخفض نتيجة للعوامل الليثولوجية و البنيوية بأجزاء الحافة .

(٦) تتباين أيضا أطوال الأجزاء الجرفية الممثلة لمقدمات الدرجات، السلمية بالحافة المحصورة بين ٨٠ ، ٩٠ درجة تباينا كبيرا ، حيث لا يزيد أطوال هذه المقدمات بالقطاع الثانى أكثر من ١ ، ٠ % من طول. هذا القطاع ، مما يؤكد الملاحظة السابقة وزيادة تراجع الحافة بموقع هذا القطاع ، كما يسجل القطاع التاسع أعلى القيم بلا استثناء، لتصل لنحو ٣ ، ٢٤% من إجمالى طوله.

(٧) تعد تازوايا المحصورة بين ٢٥ ، ٣٠ درجة أكثر الزوايا شيوعا بالقطاعات المدروسة ، وتتباين الزوايا الشائعة بهذه القطاعات فى مدى إحصائى قدره أربعون درجة ، حيث تبلغ أدنى الدرجات شيوعا بالقطاع الثانى (٣ درجات) ، و تصل أعلى الدرجات إلى نحو ٤٣ درجة بالقطاع التاسع ، بسبب تزايد معدلات التعرية بالثانى وتباطؤ هذه المعدلات بالتاسع بما يتفق مع الملاحظات السابقة .

(٨) و نتبين من دراسة (شكل ٤-٦) أنه يتمثل نمطان مختلفان من درجات التقوس بالحافة و هما : درجات التقوس السالبة و تشير إلى الأجزاء المقعرة من المنحدر و تشكل نحو ٥٠,٥ ٪ من إجمالي الأطوال المقاسة . أما النمط الثاني فيمثل درجات التقوس الموجبة التي تشير إلى الأجزاء المحدبة من السفوح و هي تشكل حوالي ٥,٤٩ ٪ من الأطوال المقاسة ،بينما الوحدات المستقيمة التي لا يتغير فيها الانحدار لا تشكل وجودا يذكر بقطاعات الحافة . كما لوحظ عدم وجود ارتباط بين نمط التقوس و أجزاء السفح ، أى تتوزع المنحدرات المحدبة و المقعرة توزيعا شبه متماثل بين الأجزاء السفلى و العليا من القطاعات .

(٩) تميل معظم قطاعات الحافة للتغير بصفة عامة فيما عدا القطاعات الثاني و الرابع و الخامس و الثامن حيث تتفوق نسبة المحدبات على سفوحها عن المقعرات ، مما يشير إلى زيادة مقاومتها لعمليات النحت و بما يتفق مع الملاحظات السابقة .

(ج) التوجيه الجغرافى لبعض الأشكال الجيومورفولوجية بالحافة :
تشير وردات الاتجاه (بشكل ٤-١٠ و ٤-١١) إلى علاقات الارتباط بين توجيه كل من حافة المنخفض و الأشكال الخطية و مجموعة المنخفضات و الحفر الثانوية التي ترصع سطح الهضبة الميوسينية المتاخمة لحافة المنخفض بمنطقة واحة المغرة ،و من دراسة هذين الشكلين نتبين اتفاق محاور الظاهرات الثلاث فى الاتجاه نحو شرق الشمال الشرقى /غرب الجنوب الغربى (بانحراف قدرة ٦٠-٨٠ درجة عن الشمال الجغرافى)^(١) حيث تبلغ نسب أطوال هذا الاتجاه ٣٨,٥ ٪ ، ٥١,٠ ٪ ، ٥٢,٥ ٪ ، ٥٧,٥ ٪ على التوالي . أما الاتجاه الجنوبي الشرقى ، الشمال الغربى (بانحراف ١٢٠ - ١٤٠ درجة) فتتفق عنده أطوال الحافة مع توجيه الخطوط الصدعية بنسبة ٢١,١ ٪ .
و بدراسة معامل الاستطالة لأشكال المنخفضات و الحفر الثانوية المتاخمة لحافة المغرة ،نلاحظ أنها تتباين فى مدى إحصائى كبير نسبيا يبلغ نحو ٥,٠ . حيث تبلغ قيمة أعلى الأشكال استطالة نحو ١٩,٠ بينما تصل نسبة ابعدها عن

(١) تم تحليل النسب المئوية لأطوال الأشكال الخطية بفترة قدرها ٢٠ درجة بالقياس من الشمال الجغرافى فى اتجاه دوران عقارب الساعة .

هذا الشكل (أى التى تقترب من الشكل الدائرى) حوالى ٦٩, ٠ (٢) و يمتوسط عام قدرة ٤٣, ٠ , أى أن معظم هذه المنخفضات تميل إلى استطالة أشكالها مما يشير إلى تأثرها بالأنظمة البنيوية بالمنطقة .

جدول (١-٤) الخصائص الكمية لقطاعات سفوح الحافة

الخاصية	وحدة القياس	رسم القطاع											الاجملى لقطاعات
		١	٢	٣	٤	٥	٦	٧	٨	٩	١٠	١١	
الطول الإجملى	متر	٢٢٢,٤٨	١٧٩,٢٧	٣٦١,٤٠	٣٢٢,١٥	١٨٢,٨٤	١١١,٠٩	٢٤١,٨٠	٢٨١,٣٥	٣١٤,٠٥	١٢٢,٢٥	٤١٣,١٠	٣٢٠,٢٠٩
عدد القراءات	عدد	٦٦	٤٣	٥٤	٥٠	١٩	٢٤	٢٤	٥٥	٦٢	٤٣	٤٩	٤٨٩
متوسط درجة الانحدار	درجة	٣٤,٠٠	١٦,٦	٢٨,٢	٣٨,٠	٢٧,٣	٢٦,٢	١٧,٥	٤٢,٥	٤٥,٦	٢٧,٠	٣٠,٦	٣٢,٢
أع (١)	درجة	١٤,٠٠	٢٠,١	١٥,٩	٢٤,٩	١٨,٤	٢٢,٢	١٧,٥	٢٥,٤	٢٣,٧	٢٠,٦	٢٣,٢	٢١,٠
م (١)	%	٥٥,٨	١٢١,٥	٥٦,٧	٦٥,٥	٨٤,٨	١٠٠	٩١,٨	٥٢,٠	٧٦,٢	٧٨,٦	٧٤,١	٧٤,١
طبيعة القطاع (٢)	وصف	شديد جدا	أفقى	شديد	شديد جدا	شديد	شديد	أفقى المتوسط	شديد جدا	رأسى	شديد	شديد	شديد جدا
الزاوية الشععة	درجة	٢٠	٣	٢٨	٢٨	١٣	٨	٨	٣٣	٤٣	٢٣	٢٨	٣١,٤
الزاوية المحدية المسطحة	درجة	٩	٢	٤	٧	٨	٣	٧	١١	٥	٣	٣	٧
الزاوية المحدية العليا	درجة	٩٠	٩٠	٩٠	٩٠	٩٠	٩٠	٩٠	٩٠	٩٠	٩٠	٩٠	٩٠
نسبة تقوس القطاع	نسبة	١,٠٠	١,٤٠	٠,٦٩	١,٤٧	١,٤٨	٠,٩٨	٠,٦٣	١,٠٧	٠,٧٨	٠,٨٦	٠,٨٦	٠,٩٨
شكل القطاع (١)	مقطع	مقطع	مقطع	مقطع	مقطع	مقطع	مقطع	مقطع	مقطع	مقطع	مقطع	مقطع	مقطع

(٢) يشير انخفاض نسب الاستطالة إلى اقتراب هذه الأشكال من المستطيل و يدل ارتفاع قيمة هذا المعدل ليصل الى الواحد الصحيح فى حالة الأشكال الدائرية .

(١) أ ع = الانحراف المعيارى لزاويا الاتحاد (٢) م ا = معامل اختلاف زوايا الاتحاد

(٣) تم تصنيف 1972 , Young

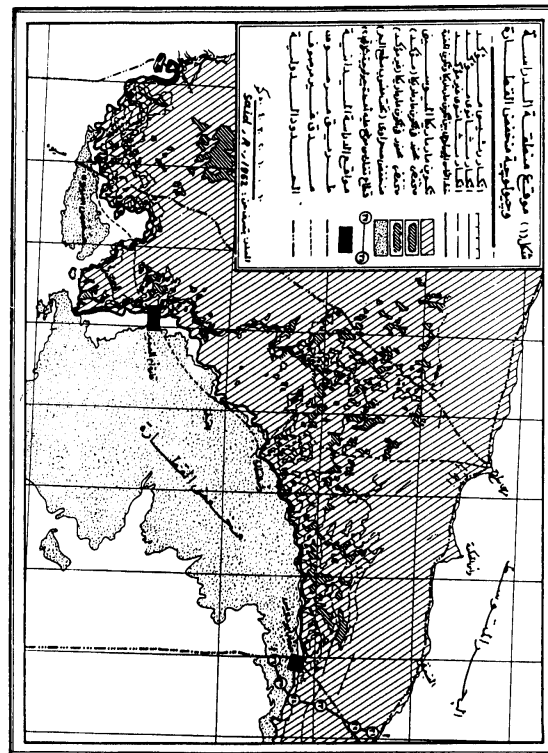
(٤) تم حساب شكل القطاع بصفة أطوال العناصر المحدبة على العناصر المقعرة ، وإذا كان ناتج القسمة أكبر من "١" يكون الشكل العام للقطاع محدباً ، أما إذا كان ناتج القسمة أقل من "١" يكون الشكل العام للقطاع مقعراً ، وإذا كان ناتج القسمة يساوى "١" يكون الشكل العام للقطاع محدباً / مقعراً . صابر دسوقي ، ١٩٩٠ نقلًا عن : Dorn Kamp and King, 1977

خاتمة الدراسة

أظهرت الدراسة أن الهوامش الشمالية الغربية لمنخفض القطارة تبدو في المناطق التي تمت دراستها على شكل انحدار سلمي ، تتباين عدد درجاته بين أربع درجات أو عتبات بمنطقة قارة أم الصغير ، وسبع درجات بمنطقة منقار أبو دويس: ويرتبط تشكيل هذه الدرجات بمواضع التماس الجيولوجي بين تكوين مارماريكا الجيري الرقيقة ، وتكوين المغرة الهين أسفلها . وترتبط مستويات الدرجات السلمية بوجود بقايا بعض أشكال الشواهد الصحراوية ، تتوج قممها طبقة سميكة من الصخور الجيرية ، وإليها يعزى استمرار شموخها وصمودها وتشير إلى منسوبها القديم قبل تراجع الدرجات السلمية المناظرة لها.

وقد تبين استجابة أجزاء الحافة لعوامل البرى والنحت ، ولذا تراوحت انحداراتها وتقوسها من المحدبات والمقعرات لتشير الأولى للأجزاء الأكثر صلابة ، وتبين الثانية بواطن الضعف بالحافة المنخفضة.

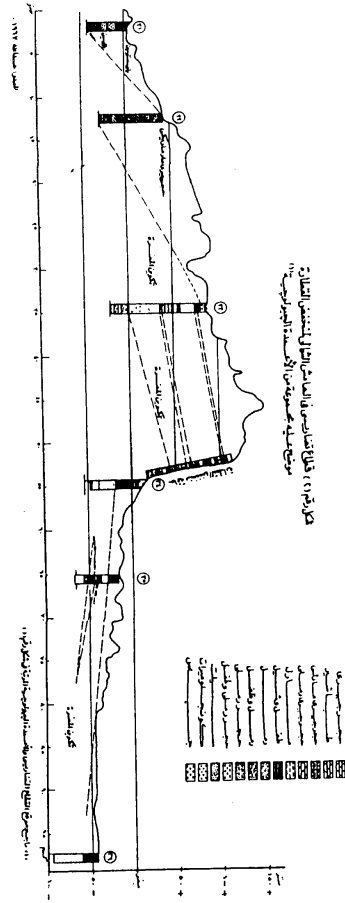
وتبوح مجموعات الحفر والمنخفضات الثانوية المتناثرة على سطح الهضبة ، بكيفية تشكيل منخفض القطارة ذاته ، إذ ارتبطت معظم هذه الحفر بخطوط العيوب ، وخاصة تلك المتمشية مع اتجاه الرياح الغربية السائدة شتاء وتبدو أشكالها أكثر ميلا للاستطالة ، نظرا لظروف الجفاف الحالي وتسهم عمليات الإذابة والتحلل المرتبطة بفترات المطر على توسيع هذه المنخفضات والعمل على تناقص معدل استطالتها .

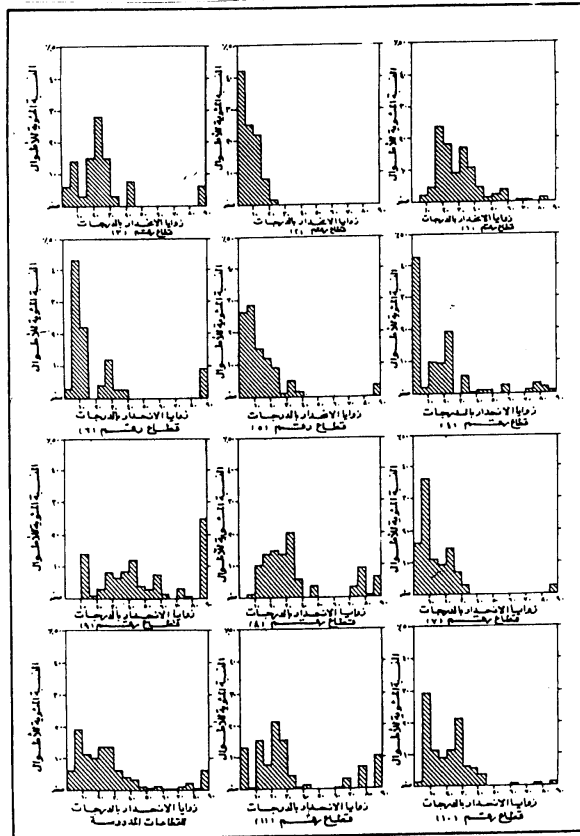


شكل (٤-١) موقع منطقة الدراسة وجيولوجية منخفض القطارة

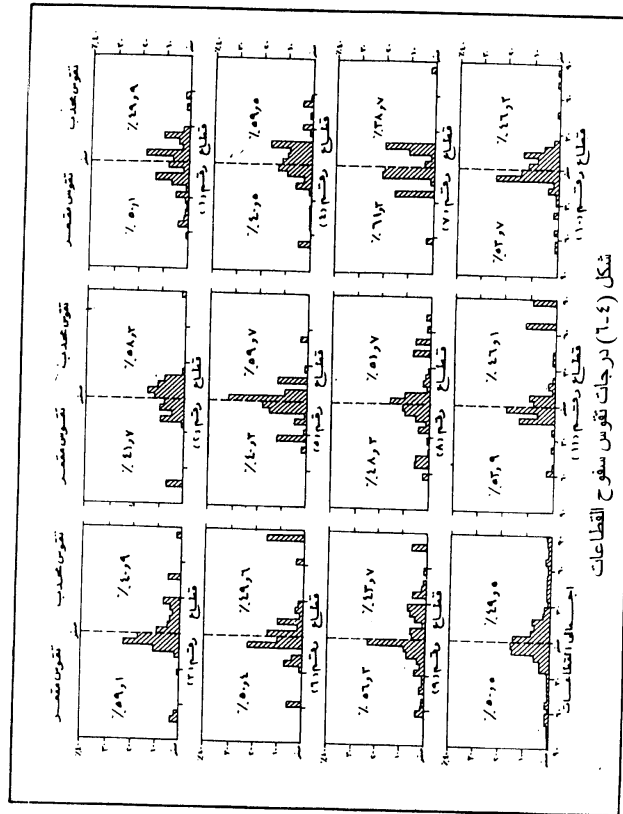
البحث الرابع : قارة أم الصغير ومنقار أبو دويس بهوامش منخفض القطارة

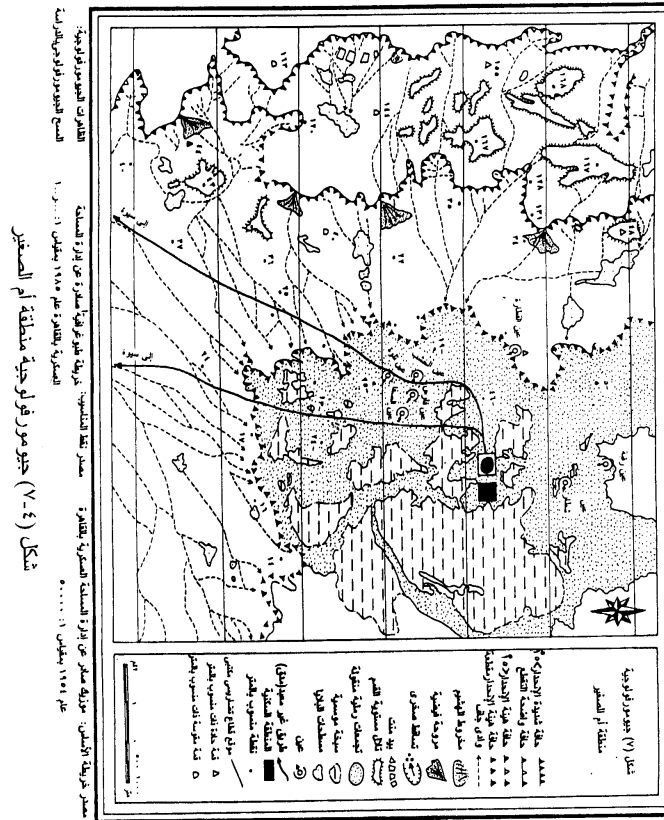
شكل (٤-٢) قطاع تقاطع يبنى فى الهامش الشمالى لمنخفض القطارة موضح عليه مجموعة من الأعداد الجيولوجية





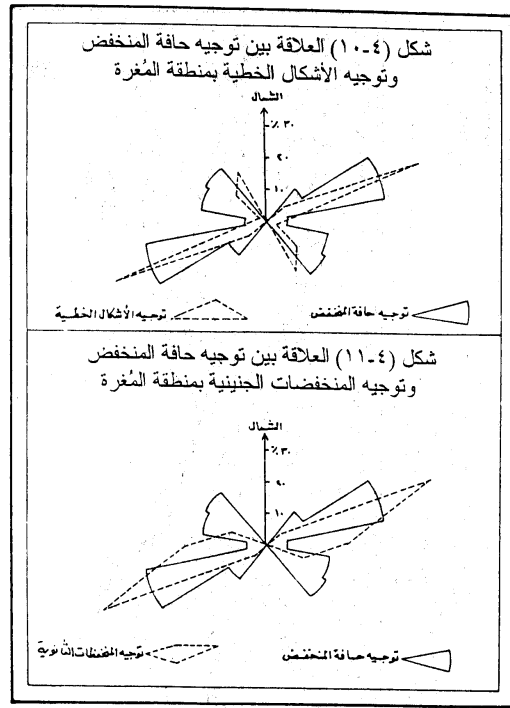
شكل (٤-٥) التوزيع التكرارى لزاويا الانحدار







شكل (٨-٤) جيومورفولوجية منطقة منقار أبو دويس



قائمة المراجع :

(أ) مراجع باللغة العربية :

٢. إدارة المساحة العسكرية بالقاهرة ، ١٩٥٠ ،
خرائط مصورة مقياس ١ : ٥٠,٠٠٠ ، لوحات أرقام C6/N
& C6/S
١٩٨٦ ، ٣.
٣. خرائط طبوغرافية مقياس ١ : ١٠٠,٠٠٠ ، لوحات المغرة -
بنز أبو غرداق - مسرب المصلب - رأس القطارة - قارة الملح
- القنيطرة - قارة - عين تبغيع .
٤. جودة حسنين جودة ، ١٩٧٣
أقليم واحة مرادة ، البحث الثاني من أبحاث في جيومورفولوجية الأراضي
الليبية ، منشورات الجامعة الليبية ، بنغازي ، ١٢٠٠ ص .
٥. ١٩٨٨ ،
جيومورفولوجية مصر ، دار المعرفة الجامعية ، الإسكندرية ، ٢١٥ ص .
٦. صابر أمين دسوقي ، ١٩٩٠
تحليل سفوح الجزء الأدنى من وادي الرشايش بالصحراء الشرقية . مجلة
الجمعية الجغرافية العربية ، العدد الثاني والعشرين ، القاهرة .
٧. ١٩٩١ ،
أساليب دراسة السفوح ، الفصل السادس من كتاب وسائل التحليل
الجيومورفولوجي ، بدون مكان للنشر ، ٥١١ ص .
٨. طه محمد جاد ، ١٩٩١
أضواء على التطور الجيومورفولوجي لمنخفضات الهضبة الغربية بمصر ،
المجلة الجغرافية العربية ، العدد الثالث والعشرون .
٩. محمد فريد فتحي ، ١٩٨٣
المساحة للجغرافيين - المساحة المستوية والتصويرية - الجزء الأول
والجزء الثاني ، دار المعرفة الجامعية ، الإسكندرية ، ٥٣٥ ص .
١٠. محمود محمد عاشور ، ١٩٩٠
المسح الجيومورفولوجي (أساليبه ومجالاته) ، ندوة الجغرافيا والخرائط في
خدمة المجتمع ، قسم الجغرافيا ، جامعة الإسكندرية ، مارس ١٩٩٠ .

(ب) مراجع بلغات أجنبية :

- 1- Abdallah , A. M., 1967
Stratigraphy and structure of a portion in the north western desert of Egypt , U.A.R., Geol , surv . paper No . 45 , pp . 1 – 19 .
- 2- Abdel Rahman , M.A., et al ., 1980 –1981 ,
Some Geomorphological aspects of siwa region , Bull . soc . ceog . d'Egypte , vol . 53 – 54 , pp . 17 –41 .
- 3- Ball , J., 1933 .
The Q attara depression of the Libyan desert and the possibility of its utilization for power production , Geogr . Uour ., vol . 82 , pp 289 – 314 .
- 4- Dornkamp . J . c . , and king , C.A.M., 1971 ,
Numerical analysis in Geomorphology , Eduard srrold , 372 p .
- 5- El Dakkak , M.W., 1988 ,
Geological studies of subsurface Paleozoic strata of northern western Desert , Egypt , Jour . Amer . Earth sci , vol . 7, Nol , pp . 163 – 111.
- 6- Ibrahim , M.M., 1952 ,
The effect of static electrical charges on Wind erosion and the origin of depressions in the Libyan Desert , Cairo .
- 7- Knetsch , 6 . and yallouze ,M., 1955 ,
Remarks on the origin of the Egyptian oasis – depression , Bull soc . Geog –Egypte , vol . 28 , pp . 21 – 33 .
- 8- Meshref , w . M ., et al . , 1979 ,
structural geophysical interpretation of basement rocks of the north western desert of Egypt . 5 the conference on African Geology , Geol . Soc . of Africa , Cairo , Egypt , pp 21 – 22 .
- 9- pfannenstiel , M . , 1953 ,
Das Quartar der levante . Die Entstehung der agyptischen aoasen depressionen , AK . wiss . u . lit . Math . Nat . KL ., Mainz .

- 10- said , R . , 1962
New light on the origen of the Qattara depression ,
Bull . Soc . Geog . Egypte , pp . 36 – 45 .
- 11- Swedish space corporation satellite , 1984 ,
landsat photo No . T M 179 / 38 Q 2 , Scale 1 :
150 , 000 , photo date : 16/ 7/1984 .
- 12- Young , A . , 1972 ,
Slopes , oliver & Bayd , Edimburgh , 288p .

Research No. 5

*A geomorphological map of the ancient branches
of the Nile Delta*

Research No. 5

A geomorphological map of the ancient branches of the Nile Delta*

Abstract

The available information on the characteristics of these branches are based upon the versions of old geographers and explorers . The problem is that these versions are not consistent with the geomorphological chronology of the Nile Delta. The purpose of this paper is to identify the relics of ancient branches of the Nile Delta based upon some cartographical, topographical, geomorphological , and sedimentological evidence . It also presents a Geomorphological map of ancient Nile Delta branches .

Introduction :

The Nile Delta has emerged gradually as a result of the accumulation of the Nile fluvial deposits. The delta progressed slowly at the expense of the Mediterranean sea by some of deltiac branches which enclosed a number of lagoons and salt swamps, so the Nile Delta was more branched than present .

The major constructional phases occurred in Late pleistocene when the Delta extended to the boundaries of the continental shelf. It was followed by a destructional phase in early Holocene accompanied with intermittent rise of the Mediterranean Sea level. Since this period (nearly 10.000 years ago) the northern coast of the delta apparently changes in three phases (Figure 5-1):

- 1-The emergence phase at the beginning of the Holocene.*
- 2- The submergence phase in historic times.*
- 3- the modern submergence phase in modern times.*

*Part of this paper submitted to 33rd annual summer school in Middlesex university, Queensway, Enfield, UK, 1st -4th September 1997. and it published in : The bulletin of The Society of Cartographers, Vol.30, part 2.

The number of The Nile Delta branches was bigger during most of Holocene according to historic versions and maps given by : Herodotus (484 - 425 B.C.), Strabo (63 B.C.), Serapion (350 A.D.) El -Idrisi (1099 - 1154 A.D.) and others . According to these versions the number ranged from three to sixteen branches . It was fanning out as far eastward as the old Pleusiatic branch and as far westward as the Canopic branch (Figure 5-2).

The aim of the present work is to map relics of the old Nile distributaries and to ascertain the paths of ancient delta branches based upon some cartographical, topographical, geomorphological , and sedimentological evidence . It suggests a geomorphological map of ancient branches of the Nile Delta .

Methods :

The mapping process of ancient branches depends upon the following evidence and geomorphological aspects :

- 1- The sites of ancient river mouths were determinant based upon subsurface geology of delta land and coastal lakes (Figure 5- 3) and thickness of Holocene Nile mud (Figure 5-4) .
- 2- The correlation between the location of ancient Greek towns and delta branches, because the population depends upon Nile navigation as principal means of transportation during this period .
- 3- Geographical distribution of fluvial sediments of the delta (Figure 5- 5) and the geological sections across the Nile Delta to show the thickness of the ancient branches deposits (Figure 5-6) .
- 4- The relics of meanders of man- made irrigation and drainage canals (Figure 5-9)
- 5- The remains of Ox-bow lakes which appear near the man-made irrigation and drainage canals (Figure 5-9).
- 6- The remains of aits and islands which appear inside the man-made irrigation and drainage canals (Figure 5-9).
- 7- The relics of natural levees which, appear on the edge of man-made irrigation and drainage canals (Figures 9 & 11).

- 8- The flections of isodepth lines of lagoons (Burulus and Manzala Lakes) which indicate the mouths' relics of ancient canals (Figures 5-7 and 5-12) ¹.
- 9- The flections of contour lines in the topographic maps which show the natural water courses ² (Figure 5-10).
- 10- The following terms were used in the suggested geomorphological map :

- A- Recent landforms :
 - 1. Present coastal line
 - 2. Present Rosetta and Damietta Nile branches
 - 3. Sand dunes
 - 4. Swamp
 - 5. Sabkha
 - 6. Coastal sand ridges
 - 7. Lagoon
- B- Ancient landforms :
 - 1. Meandering irrigation channel (certainly superimposed sinuosity part of irrigation channel on ancient branch)
 - 2. Meandering irrigation channel (probably superimposed sinuosity part of irrigation channel on ancient branch)
 - 3. Meandering drain (certainly superimposed sinuosity part of drain on ancient branch)
 - 4. Meandering drain (probably superimposed sinuosity part of drain on ancient branch)
 - 5. Remains of a blind river course (closed channel).
 - 6. Ancient river mouth.

¹ *La France Expédition a Egypte, Description de Egypte, topographie atlas de Egypte, scale: 100,000, Paris, 1821*

² Egyptian surv. Dep. , 121 topographic maps of the middle portion of the Nile Delta , scale 1:25000 , with ½ meter interval of contour lines, Cairo , 1907.

7. Submerged course under water level of lagoon.
 8. River ait or island (inside the recent irrigation or drainage channel).
 9. Relict river ait or island (outside the recent irrigation or drain channel).
 10. Ox-Bow lake (visible in 1907 topographic maps).
 11. Relict Ox-Bow lake (dried in 1907 topographic maps).
 12. Relict elongated seasonal pond (part of ancient course).
 13. Remains of natural levees (seem on the delta surface).
 14. Remains of natural levees Submerged course under water level of lagoon.
 15. Sandy /Silt hills (seem in the bifurcation points of the secondary branches in the northern part of the delta).
 16. Sandy / gravel hills in the southern part of the delta (Turtlebacks).
 17. Beach ridges (Bars).
 18. Ancient Ruins (historical Tells).
- C- 11 Topographic features :
1. Contour line (in meters)
 2. Elevation point (in meters)
 3. Steep slope
 4. Gentle slope
 5. Historical fort
 6. Historical city
 7. Modern city

11- *The following base maps were used in the geomorphological mapping of the ancient Nile Delta branches and multi-mouths in Burulus and Manzala lakes:*

a) *Egyptian Survey Dept., 121 topographic maps cover the Nile Delta , scale*

1:25,000 with 1/2 meter vertical interval of contour lines, Cairo ,1907.

b) *La France Expédition a Egypte, Description de Egypte, topographie atlas de*

Egypte, scale: 100,000, Paris, 1821

12- Data sources :

- a) The analysis of contour maps.
- b) The results of stratigraphic , sedimentology and paleography studies of the Nile Delta:¹

Discussion and Results :

On the light of the geomorphological map of the ancient Nile Delta, we may conclude that the old Nile Delta system consisted of a dense network of natural courses. Most of these courses are used in the present time for irrigation and drainage purposes. It is evident that the system has developed, and is in continuous development due to the following reasons:

- 1-The accumulation of fluvial deposits every Nile flood .
- 2- Changes of sea level during the Pleistocene.
- 3-Recent subsidence and northeast tilting as a result of fluvial sediments pressure²
- 4-The human intervention aiming at improving irrigation and drainage systems in the Nile Delta area which presumably increased the silting up of old water courses .³

The study demonstrates a significant difference in the deltiac branches network compared with old geographers maps. From studying the paleographic maps of the Nile Delta (Figure 5-3), the isopach map based on the total thickness of Holocene units (Figure 5-4), Geological sections across the Nile Delta to show the thickness of the ancient branches deposits (Figure 5-6), the morphological map of the lower

¹ a) El- Fayoumy I.F., and El-Nahass, H.A. , 1988 .

Two) Coutellier, V. and Stanley, D.J., 1987.

Three) Stanley, D.J. 1988 .

Four) Stanley, D.J., 1992 .

Five) Attia .M.I., 1954 .

² Stanley, D.J., 1992.

³ El-Nasharty, F.A., Abdel Daiem . A.A. and Issa , Gh., 1990, p.534.

course of the defunct Pelusiac branch (Figure 5-8), geomorphological map (Figure 5- 12) and detailed geomorphological maps (Figures 5- 9 and 5-10) we can note the following :

- 1- The network appears more branched and tangled, However there is an agreement about some main branches such as: the Pelusiac branch, the Tanitic branch, the Mendesian branch, the Phametic branch, the Sebennetic branch, Sardous branch and the Bolbitic branch . But no sufficient information was available to the author to study the Canopic branch.
- 2- The defunct course of the Pelusiac branch follows in the same direction of the Bahr El Baqar Canal, and it continues in a direction from west to east up to the northern side of Tell El Farma (ancient Pelusium village). The Pelusiac course bifurcated near tell El Farma into two minor distributaries , the western branch runs north to Tell el Fadda , the eastern branch of about 10 km. West of Tell el Farma, the minor branches show more developed meandering than the main Pelusiac course (Figure 5- 8) .
- 3- The remains of old deltiac branches appear as some linear levees, which elevated more than the bordering delta lands because of the accumulation of fluvial sediments with every Nile flood (Figure 5-6). The formation of natural levees whose remains are still left on the banks of Bahr Moris canal, Bahr Shebin, Bahr Faqous and Bahr El-Baqar drain .
- 4- The Paleogeographic maps (Figure 5-3) showing changes the positions of the coast line due to the delta lobes and deltaic-plain environments, the approximate locations of the different lobes can be recognized by plotting the thickness of coarsening - upward sequences in borings throughout the coast line¹.

¹ Coutellier, V., and Stanley, D. J., 1987, p.267.

- 5- The contour maps and the Isopach map based on the total thickness of the Holocene units (Figure 5-4), shows that there are three thick Holocene depocenters are noted :
 (a) the largest one underlies the central part of Lake Manzala , which shows the sites of multi-outlets of Mendesian branch, (b) the second Holocene depocenter is noted in the easternmost corner of the delta, it underlies of the individual mouth of Pelusiatic branch east of the Suez Canal , (c) the third Holocene depocenter underlies the present outlet of Damietta branch.
- 6- On the delta surface numerous ox-bow lakes are spread due to the development of ancient river meanders, we can indicate that the ancient courses were more sinuosity and it were moving towards the mouth as a result of accumulation of sediments on the convex meander banks every Nile flood. some of these ox-bow lakes are separated around the north portion of Sebennetic branch, and the middle portion of Tanitic branch between Leonropolis and San El Hagar historical cities .
- 7- There are numerous very low beach ridges which appear as islands in shallow lake Manzala and lake Burulus . these ridges are composed of fine with coarse grained sands, shell fragments . and accumulation of unbroken shells . many of these ridges are elongated and oriented either subparallel or normal to present coast, and some of ridges are seem as L-shaped , which may record the presence of abandoned river mouth headlands with flanking coastal barriers of eroded earlier lobes such as the Mendesian branch and Sardous branch.
- 8- On the northern middle part of the delta, appears numbers of sandy/silt hills, which indicate to a large extent the ancient branching, it composition indicates the collaboration of fluvial and wind factors in their formation: fluvial sediments built up during flood periods at the ends of deltiac courses, as well as the effect of northern winds in resedimenting marine deposits during lowest water levels. Some of these hills have steep southern edges, which

indicate wind sedimentation action, and some hills have steep northern edges, which indicate fluvial sedimentation action.

- 9- A number of insular historical cities and villages were scattered in the eastern part of the delta specially in Manzala lake. The remains of cities and villages were found on the remains hills and on the bottom of the lake. Examples of these are: (a) the largest and most important ancient city is Pelusium (tell el Farama) , (b) Mendes (tell el Rub'a) , it was an extensive community¹, (c) the town of Athribis in tell Atrib , the architectural remains date to the Ptolemaic, Roman and Byzantine periods², (d) ancient great city of Tanis , San el Hagar, (e) Phacusa (present Faqus city)...
- 10- Appears on the map parts of Sabkhas , Swamps and old ponds which were left over from the flood in the delta low lands between the ancient secondary branches such as Boto lake and southern Manzala and Burulus ponds . These ponds and lakes disappeared as a result of the filling of their southern coasts with mud , which led to its fast shrinkage and disappearance .
- 11- Some recent geomorphological phenomena covered the relics of some of the ancient delta branches and associated landforms , especially coastal sand dunes , swamps and sabkhas which cover and obscure the mouths of old branches .
- 12- We can conclude the ancient network of The Nile Delta in (Figure 13), which show the major and secondary branches.

¹ Brewer.D., and Robert J., 1990, p. 191.

² Mysliwiec, K., and Rageb, M, 1992, p.397.

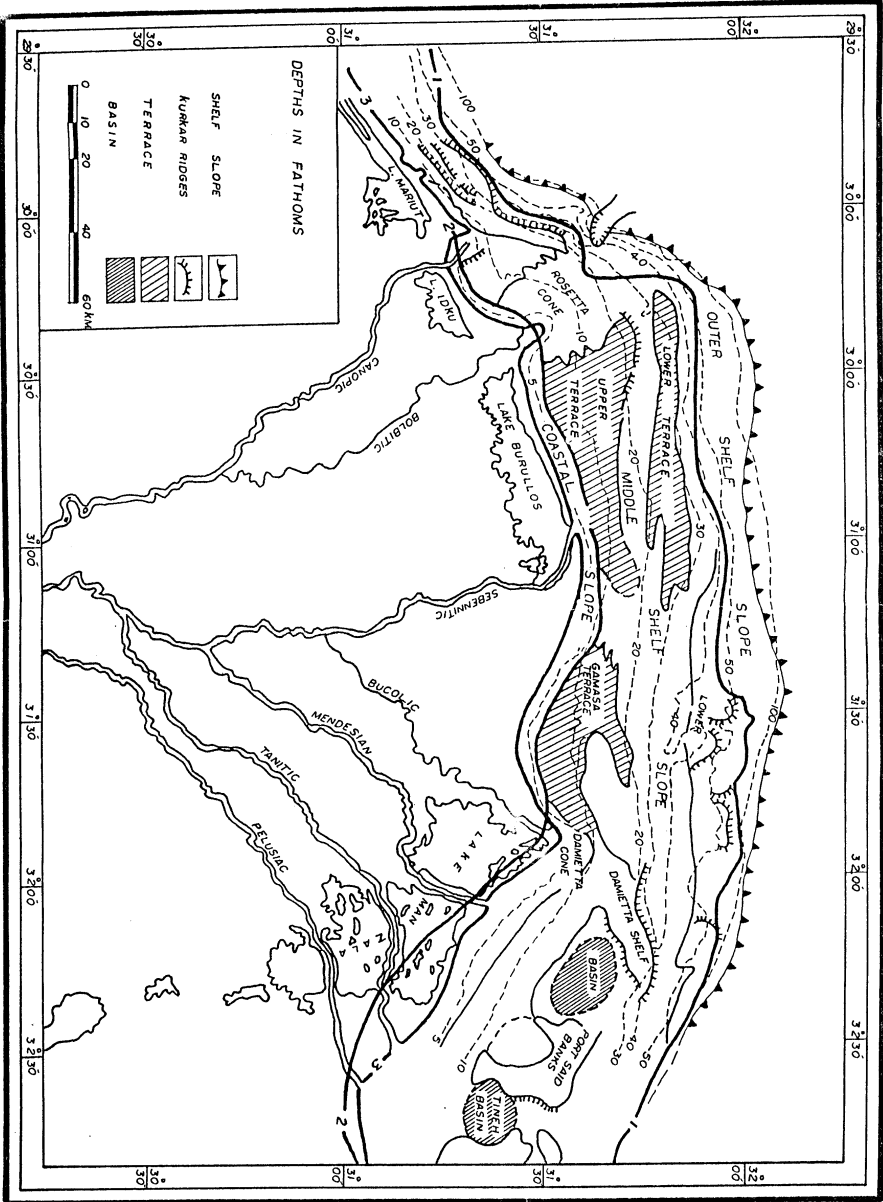
Conclusions :

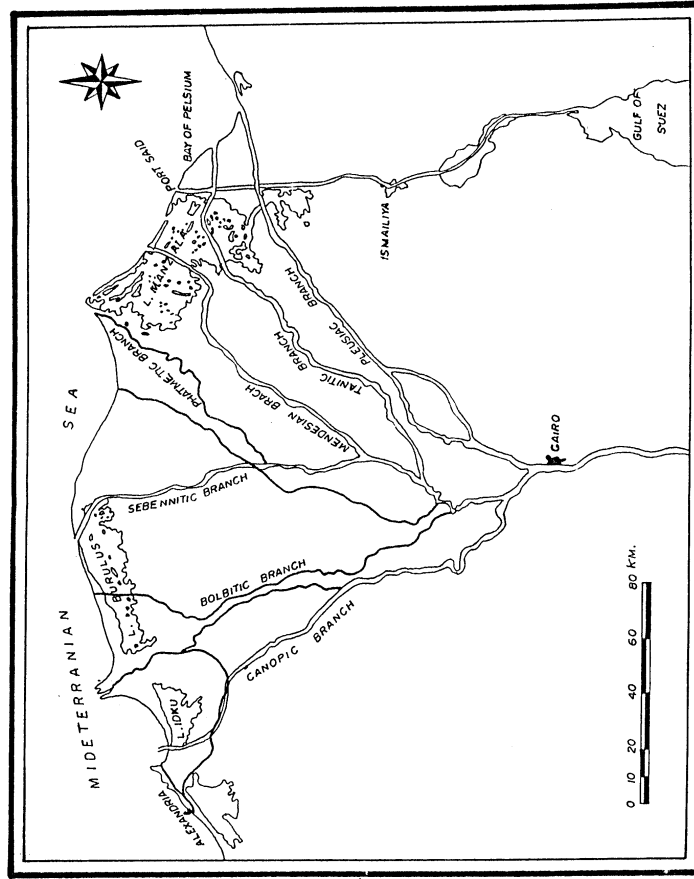
The study demonstrates a significant difference in the deltiac branches network compared with old maps . The suggested geomorphological map shows that the ancient network of the delta was more branched and tangled, morphology of the secondary courses was changed during every flood due to the accumulation of alluvial deposits and there are some relict geomorphological aspect related to the ancient branches such as: ox-bow lakes, river meanders, river aits and natural levees. But some recent geomorphological phenomena covered and obscured the morphology of some details of ancient delta and their mouths.

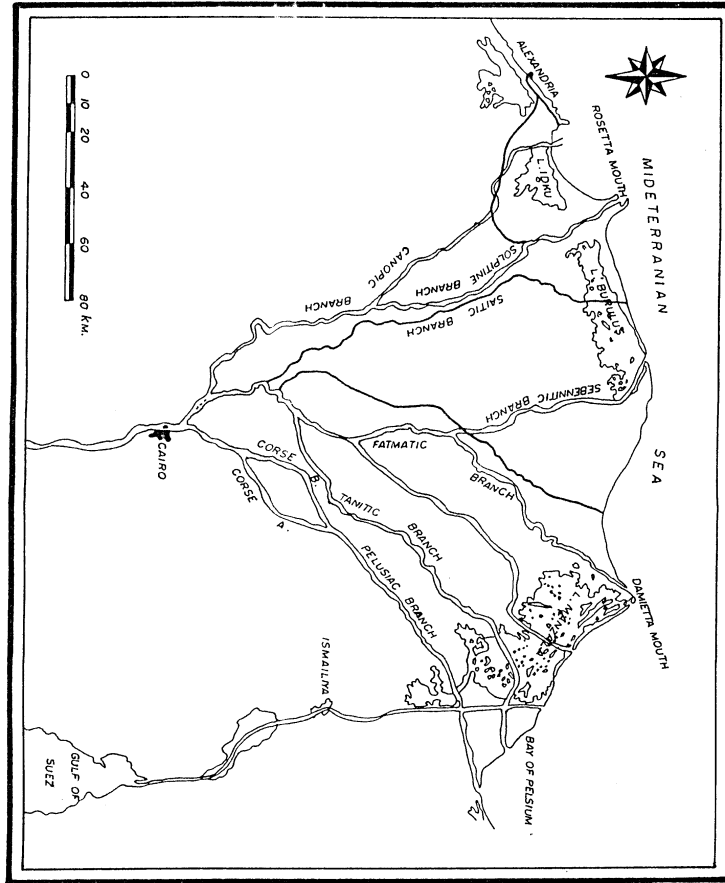
Acknowledgement :

The author would like to express his gratitude to prof. Dr. Mohamed Abou El-Ezz, the president of The Egyptian Geographical Society, for suggesting the problem of this paper, and to my friend Moustafa Attia , for drawing the final copy of the paper's maps .

Fig.(5-1) Ancient shore-lines of the Nile Delta: (1) at the beginning of the Holocene, (2) in historic times, and (3) in modern times







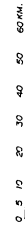
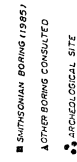
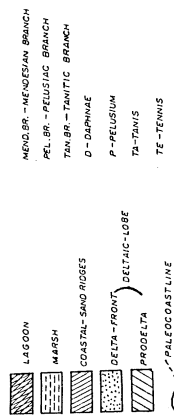
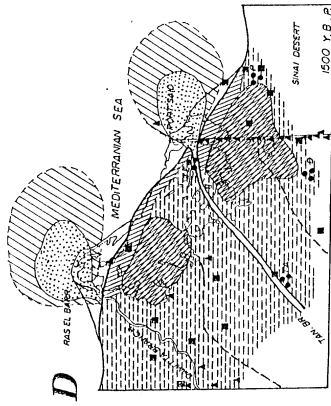
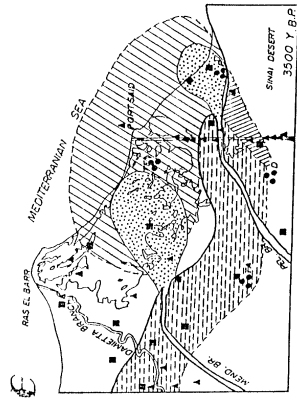
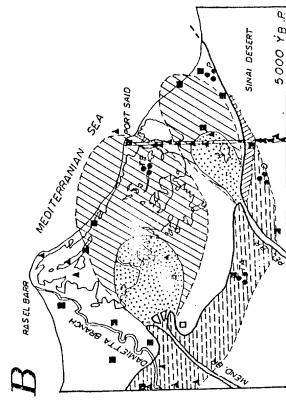
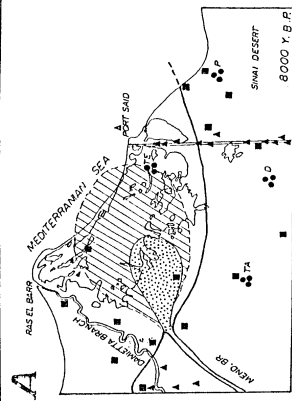
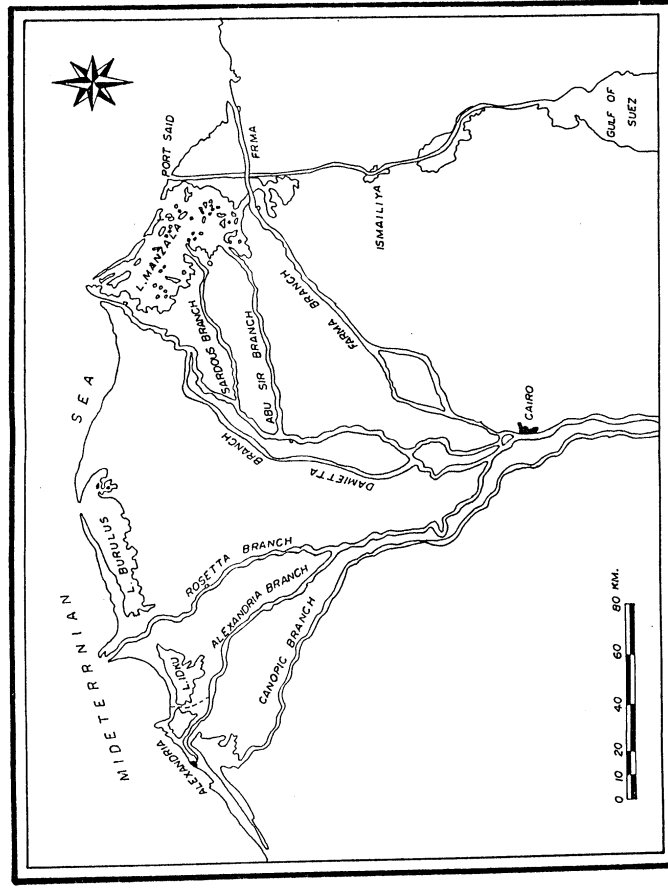


Fig.(5-2a) Ancient Nile Delta branches after Herodotus (484-425B.C.)

Fig.(5-2b) Ancient Nile Delta branches after Strabo (63 B.C.)

Fig.(5-2c) Ancient Nile Delta branches after Serapion (350 B.C.)

Fig.(5-2d) Ancient Nile Delta branches after El-Idrisi (1099-1154
B.C.)



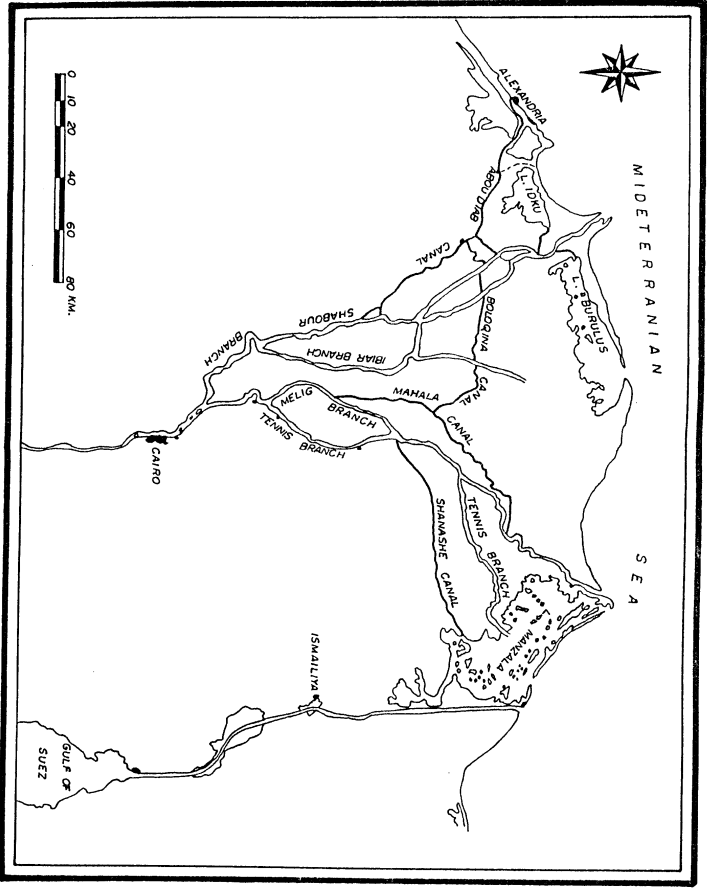
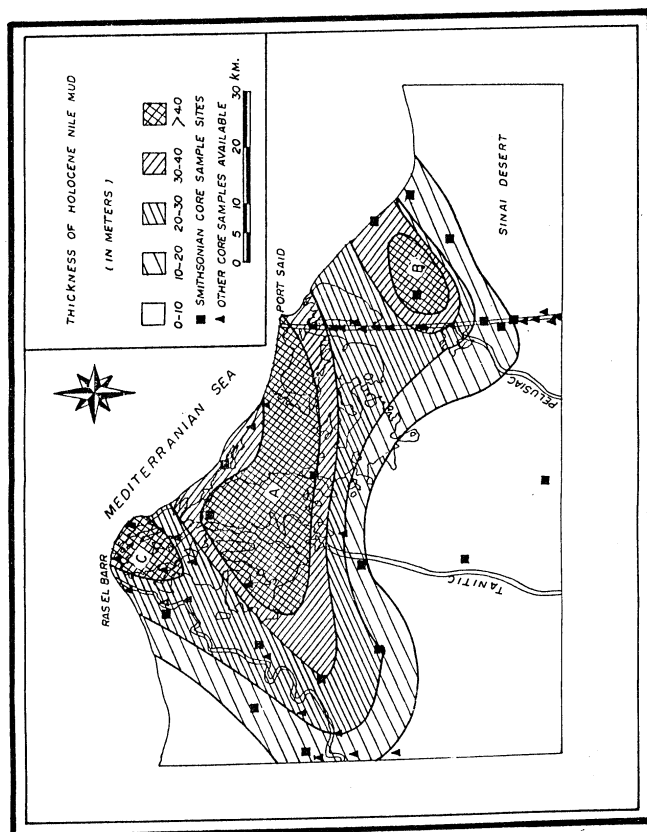
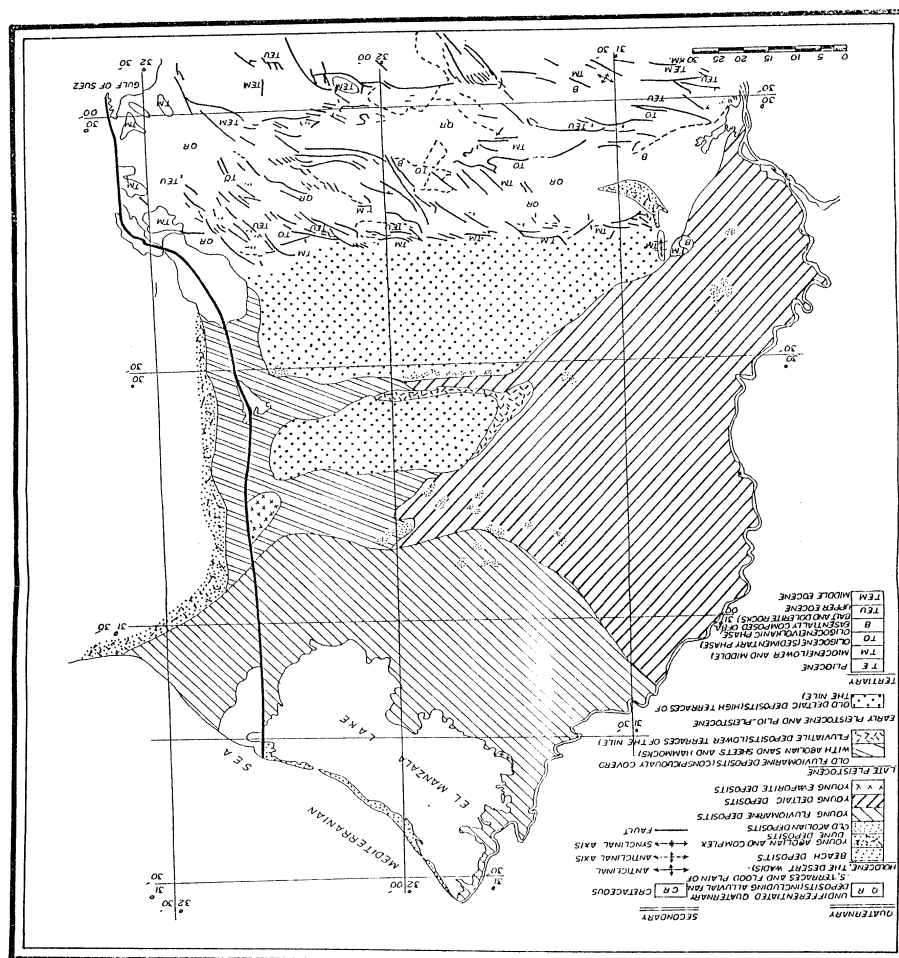
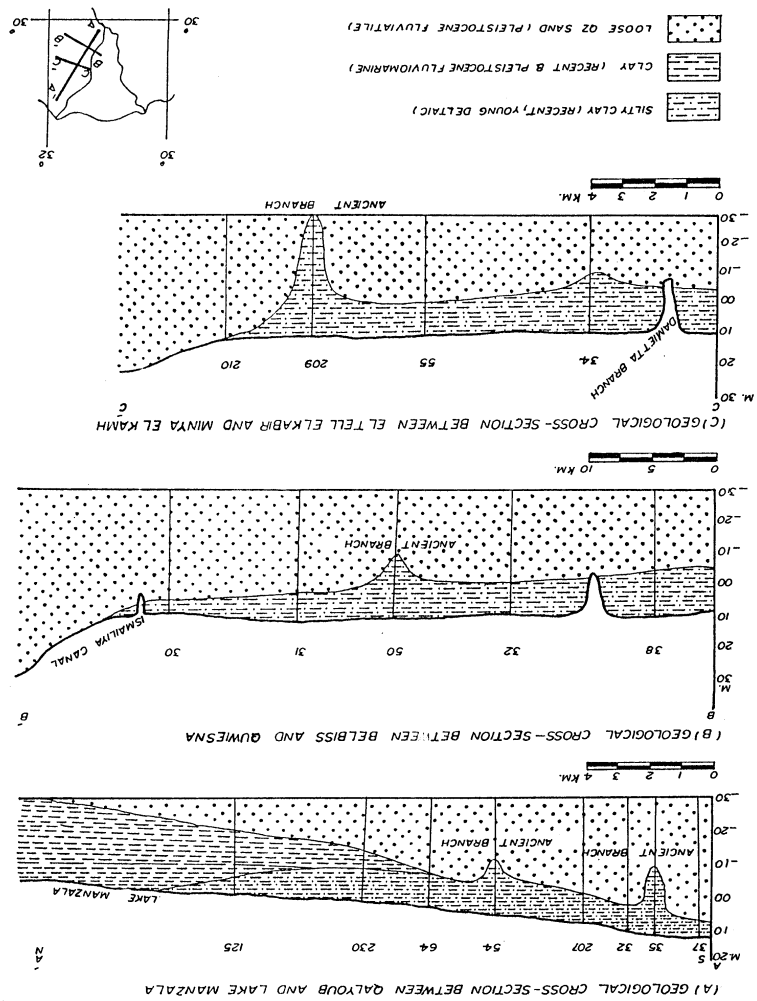


Fig.(5-3)Paleogeographic maps showing changes with time in the positions of the coastline, of the former major Nile distributary traces, and of the delta lobes and deltaic-plain environments (dates in years before present)

Fig.(5-4) Isopach map based on the total thickness of Holocene units (primarily mud) above the basal transgressive gray sand







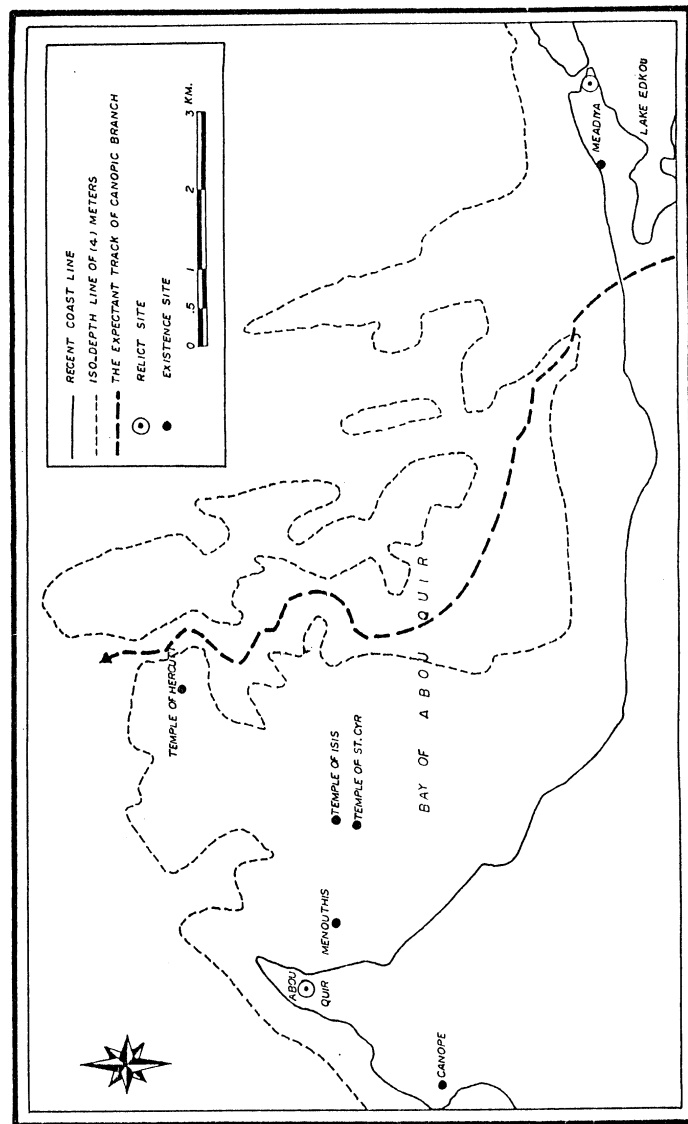


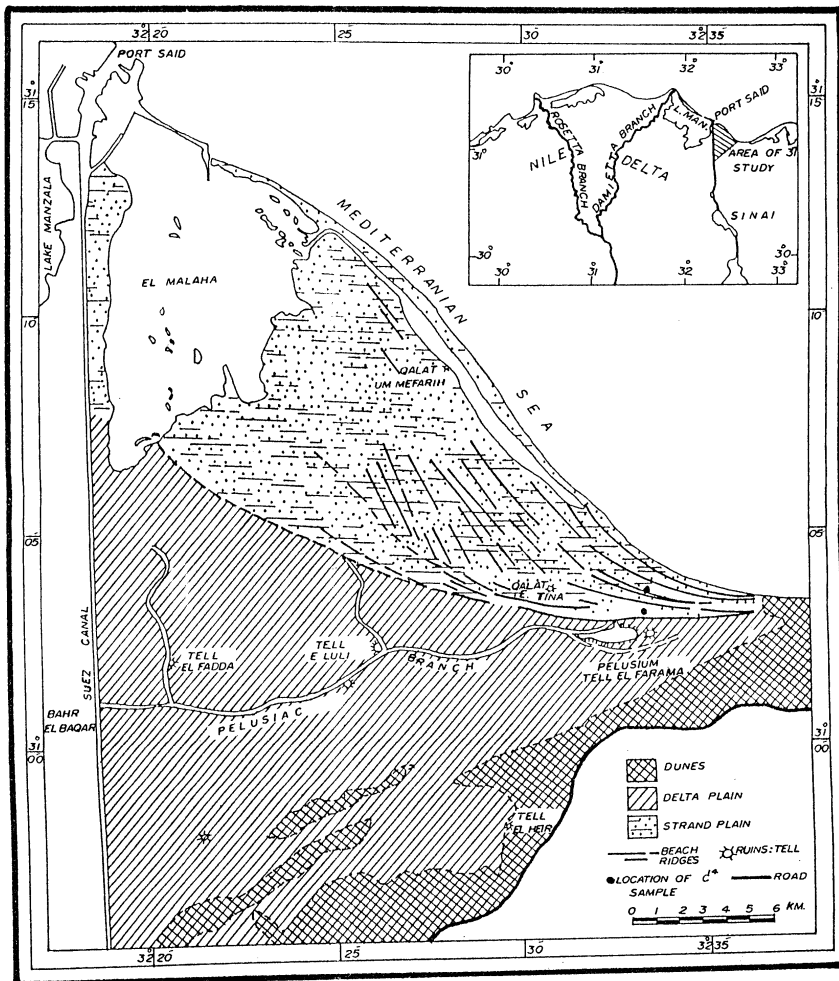
Fig.(5-5)Geological map of the region of the Nile Delta

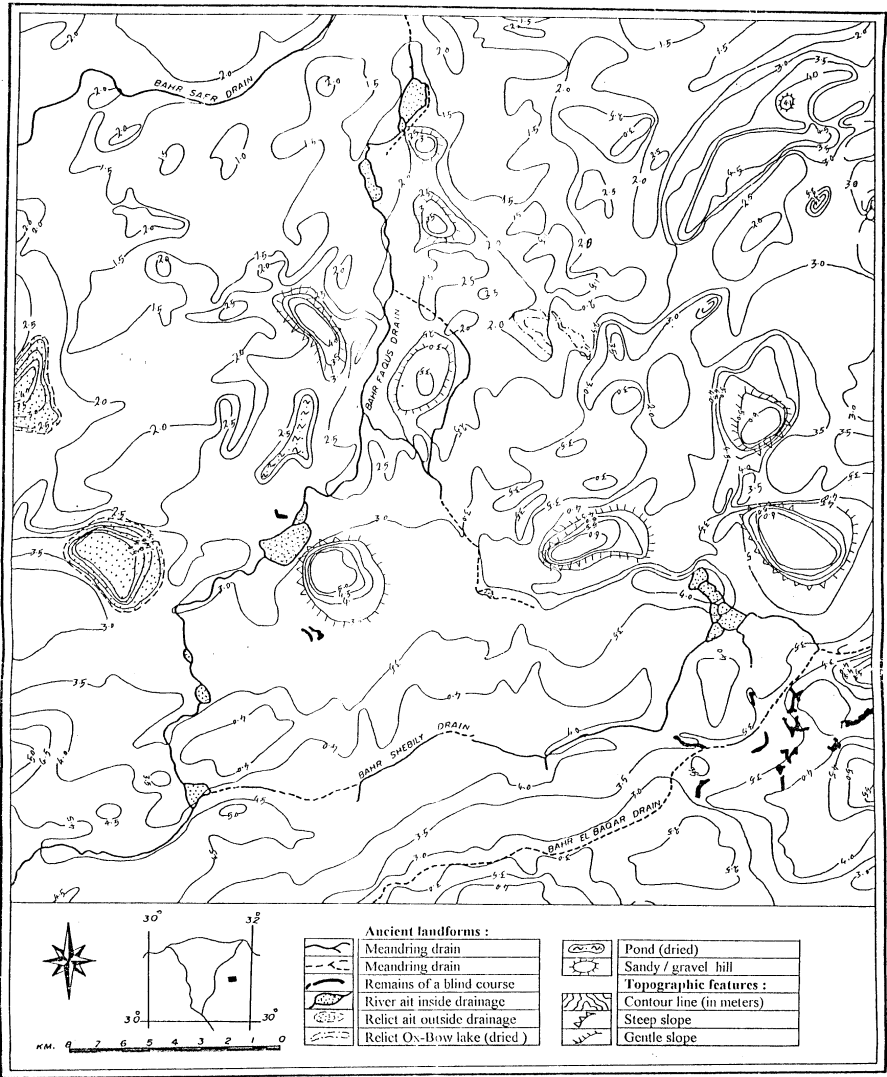
Fig.(5-6) Geological sections across the Nile Delta to show the thickness of the ancient branches deposits

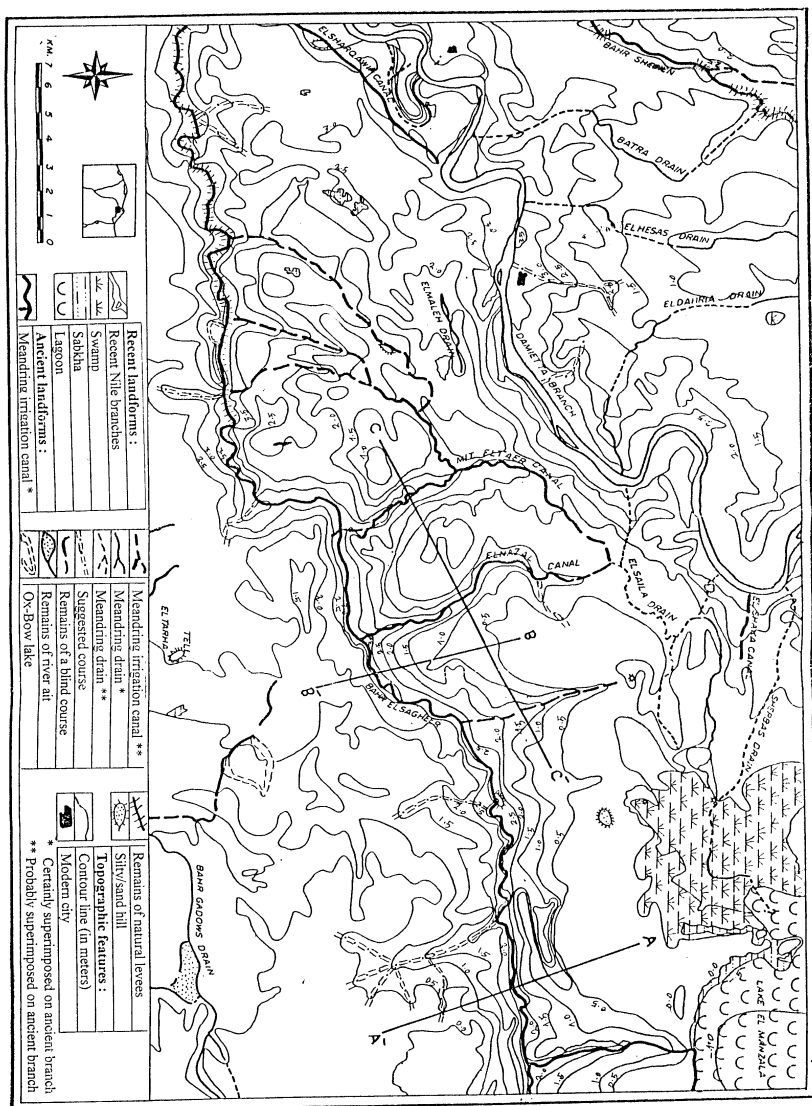
|

Fig.(5-7)The isodepth lines of the relic mouth of the Canopic branch.

Fig.(5-8)Northeastern corner of the Nile Delta showing the lower course of the defunct Pelusiac branch, related to the location of ancient ruins and results of (C14) analysis







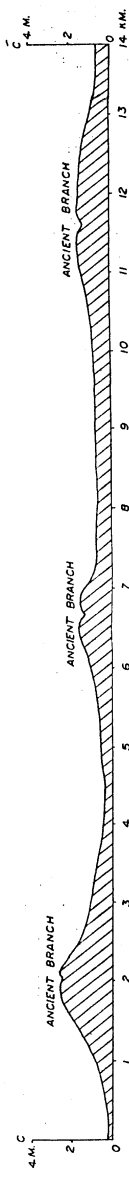
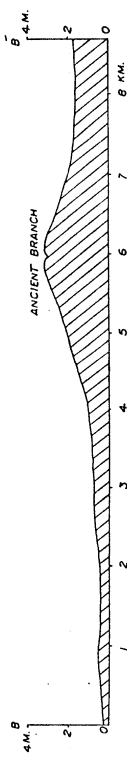
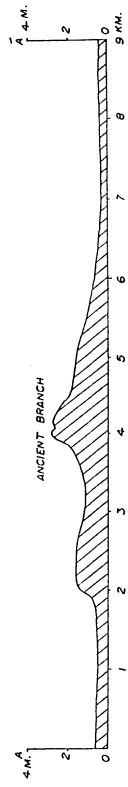


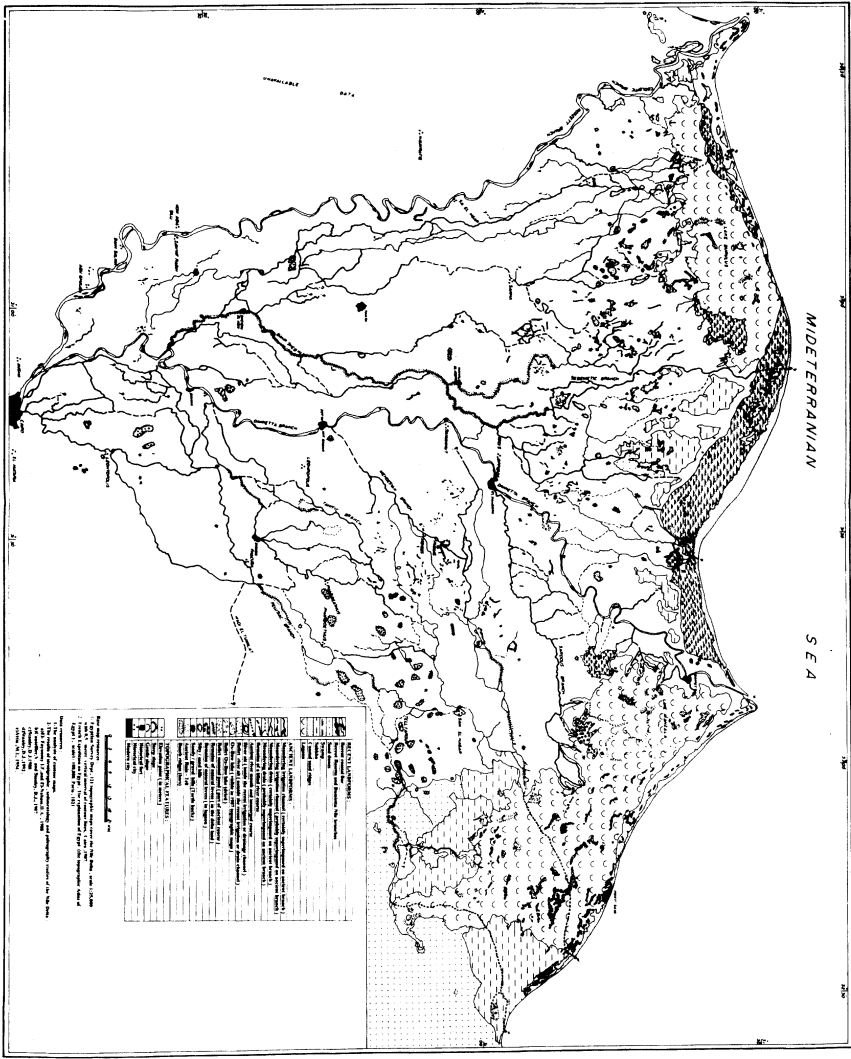
Fig.(5-9)Detailed geomorphological map of a portion of the Nile Delta showing the relationship between: the meandering artificial channels, river aits and sand hills (Turtle backs)

Fig. (5-10) Detailed geomorphological map of a portion of the Nile Delta showing the relationship between: contour lines and ancient fluvial features.

Fig.(5-11) Relief cross-section of the eastern ancient branches

Fig.(5-12) The Geomorphological map of the ancient branches
of the Nile Delta

|



References :

- 1- Attia, M.I., 1954,
Deposits in The Nile Valley and The Delta, Mines and Quarries Dep.,
Geol. Surv. Egypt, Cairo, 356 pp.
- 2- Brewer, D.J. and Robert, J.W., 1990,
Transitional Late Predynastic - Early Dynastic Occupations at Mendes
: a Preliminary Report, in The Nile Delta in Transition, pp.191-197.
- 3- Coutellier, V. and Stanley, D.J., 1987,
Late Quaternary Stratigraphy and Paleogeography of The Eastern Nile
Delta,
Egypt, Marine Geology, V.77 , pp.257-275.
- 4- Daressy, M.G., 1929,
Les Branches du Nil sous la XVIII dynastie,
Bull.Soc.Geogr.d.Egypte, T.XVII.
- 5- -----, 1933,
Les Branches du Nil Sous la XVIII Dynastie, La Region du Lac
Menzaleh, Bull.Soc. Geogr. d. Egypte, T.XVII. pp. 189-223.
- 6- Egyptian Surv. Dep., 1907
121 topographic maps of the middle portion of the Nile Delta , scale
1:25000, with 1/2 meter vertical interval of contour lines, Cairo.
- 7- El-Fadly, M.A., 1980,
Une Ville Moyenne Egyptienne: Rosette, Problemes d'Urbanisme et
d'Amenagement, Thes. De Doctorat, Univ.d. Paris-Sorbonne.
- 8- El-Fayoumy and El-Nahass, 1988,
Stratigraphy of The Subsurface Pliocene Succession, Western Nile Delta
Region, Egypt, Mans. Sci. Bull. V.15(2) : 79-127.
- 9- El-Nasharty, F.A.; Abdel Daiem and Issa, Gh., 1990,
Delineation of The Relics of Old River Nile Distributaries in The Delta
and Neotectonics, Mans. Sci. Bull. V.17 (1) : 533-555.

10- Foucault,A. and Stanley,D.J., 1989

Late Quaternary Palaeoclimatic Oscillations in East Africa recorded by heavy minerals in The Nile Delta , Nature,V.339: 44-46.

11-La France Expédition a Egypte,1821, Description de Egypte, topographie atlas de Egypte, scale: 100,000, Paris.

12-Mysliwiec,K. and Rageb, M.A., 1992,

Fouilles polono-egyptiennes a Tell Atrib en 1986-1990, atudes Travau, Varsove 16, 393-416.

13- Said,R., 1981,

The Geological Evolution of the River Nile, Springer - Verlag, New York,151 pp.

14- Sneh,A. and Weissbord,T.,1973

Nile Delta : The Defunct Pelusiac Branch Identified,Scince,V.180 :59-61.

15- Stanley,D.J.,1988 a,

Subsidence in The Northeastern Nile Delta : Rapid Rates, Possible Causes, and Consequences, Science,V.240: 497-500.

16- -----,1988 b,

Low Sediment Accumulation Rates and Erosion on The Middle and Outer Nile Delta Shelf off Egypt, Marine Geology, V.84:111-117.

17- -----,1990,

Recent Subsidence and Northeast Tilting of The Nile Delta, Egypt, Marine Geology, V.94 :147-154.

18- ----- ,1992,

Recent Subsidence and Northeast Tilting of The Nile Delta, Egypt : Serious Implications for a Rapidily Growing Population,1st.Conf. on Geology of Arab World, Cairo Univ.

19- Tosson,O.,1922,

Memoire sur les Anciennes Branches du Nile, Memoire Presentes a l, Institut d,Egypte,T.4,pp.1-60.

20- Zaghloul,Z.M.; Abdel-Daiem,A.A. and Taha,A.A.,1990,

Geomorphology, Geologic Evolution and Subsidence of The Nile Delta during The Quaternary, Mans. Sci. Bull.,V.17(1) :471-495.

الباب الثانى
بحوث فى الجيومورفولوجيا التاريخية

البحث السادس

التطور الجيومورفولوجى لحوض وادى قصيب
بالنطاق الشرقى من جنوب شبه جزيرة سيناء

البحث السادس

التطور الجيومورفولوجي لحوض وادي قصيب بالنطاق الشرقي من جنوب شبه جزيرة سيناء

ملخص

درس البحث مراحل التطور الجيومورفولوجي لأحد الأودية الإنكسارية المرتبطة بتشكيل خليج العقبة ، الذي إتخذته الوادي مصباً له . وتهدف الدراسة لإستقراء العلاقة بين إستجابة الوادي لذنبات مستوى سطح البحر خلال عصر البلايستوسين من ناحية ، ومدى تأثير الحوض بالأحداث التكتونية التي عملت على تشويه مظهره المورفولوجي العام من ناحية أخرى .
وقد اعتمدت الدراسة على أسلوب البحث الميداني وتفسير الصور الجوية إلى جانب التحليل المورفومتري لخصائص الحوض وشبكته التصريفية ، بغرض رسم خريطة جيومورفولوجية للمظهر الحالي لسطح أرض الحوض ، الذي يمكن إستخدامها في إعادة تأريخ مراحل تطوره الجيومورفولوجي منذ نشأته وحتى الوقت الراهن ، ومحاولة مضاهاة وربط نتائج دراسته بأقرانه بإقليم خليج العقبة والسويس .

مقدمة :

يقع حوض وادي قصيب في النطاق الشرقي من جنوب شبه جزيرة سيناء فيما بين دائرتي عرض ٢٠ ° ١٥ ' ٢٩ ° و ٣٠ ° ١٧ ' ٢٩ ° شمالاً ، وخطي طول ٣٠ ° ٣٨ ' ٣٤ ° و ٤٠ ° ٤٤ ' ٣٤ ° شرقاً ، ويمتد محور الحوض من الغرب للشرق متعامداً على توجيه خليج العقبة ، الذي يصب الحوض حمولته به عند منتصف المسافة تقريباً بين بلدتي طابا ونويبع ، راجع شكل (١-٦) .
ويعد الحوض أحد الاحواض الإنكسارية المرتبطة بالأحداث التكتونية المصاحبة لتكوين خليج العقبة الذي بدأ خلال الكريتاسي (Edward, A. and Head, S., 1987, P.22) ، مما ساعد على شدة تضرسه ووعورته ، حيث تتباين مناسيبه بين منابعه العليا ومخرجه في حوالى الألف متر ، بينما لا تتجاوز

* نشر هذا البحث في مجلة الجمعية الجغرافية المصرية ، العدد التاسع والمثرون ، الجزء الثانى ، ١٩٩٧ .

مساحته أكثر من ٢٨ كم^٢ ، وطوله الحوضي ٩٦٥ كم ، ومحيطه ٣٠٧٥ كم ، ولا يتعدى أقصى عرض لحوضه ٣٢ كم فقط "١" ، راجع شكل (٦-١) .

أهداف البحث :

تهدف الدراسة لإلقاء الضوء على مراحل التطور الجيومورفولوجي للحوض ، منذ بداية نشأته المصاحبة للأخدود الإفريقي العظيم وحتى الوقت الراهن . ومحاولة تأريخ العلاقة بين الأشكال البنيوية المتخلفة عن الأحداث الباطنية التي تعرض لها الحوض ، ومجموعة الظواهرات الجيومورفولوجية الناتجة عن تذبذب مستوى سطح المياه بخليج العقبة . مما يعطى صورة غير مباشرة عن الخصائص الكورنولوجية التطورية للخليج ذاته ، ومراحل اتصاله بالمسطحات البحرية المفتوحة ، ومدى تشابهه مع خليج السويس الذي يرجح الباحث أنه كان عبارة عن بحيرة مغلقة خلال فترتي جليد "ريس وفورم" ، اعتماداً على نتائج دراسته لوادي بدع (مجدى تراب ، ١٩٨٨ ص ٢٤٩) .

الدراسات السابقة :

لم يحظ خليج العقبة بالدراسات التي تبحث في مراحل تطوره الجيومورفولوجي مثل تربيته خليج السويس ، ولم تتعرض البحوث التي أجريت لبعض أحواضه التصريفية لمراحل تطوره الجيومورفولوجي ، وعنيت هذه الدراسات بتقديم خرائط جيومورفولوجية تبرز خصائص وسمات المظهر الحالي لسطح الأرض ، وتحليل العمليات المسنولة عن تشكيل هذا السطح دون التعرض لمراحل تطوره الجيومورفولوجي ، وخاصة حوض أم عدوى (عبد الله علام ، ١٩٩٢) ، وحوض دهب (خالد رشوان ، ١٩٩٥) ، وحوض العاط الشرقي ضمن الدراسة التي قدمت لمنطقة رأس محمد (إبراهيم بدوى ، ١٩٩٣) ، أما الدراسة التي تناولت إقليم الساحل الغربي لخليج العقبة فقد اهتمت بإبراز الأشكال الجيومورفولوجية ذات النشأة البحرية (جودة التركمانى ، ١٩٨٧) .

^١ "قيست الملامح الشكلية للحوض بعد تحديد مساحته الخروية وشبكته التصريفية بالاعتماد على تفسير الصور الجوية بقياس ١ : ٤٠.٠٠٠ ، وحسب خطة طوبوغرافية للحوض بقياس ١ : ٢٥.٠٠٠ فيما يتعلق بالخصائص التضاريسية ، وتم قياس المساحات والأطوال باستخدام المرقم الآلى Digitizer للزود بملوحة الرسم Graphic Tablet المتصل بجهاز حاسب آلى I.B.M.

طرق وأساليب البحث ووسائله :

تعتمد الدراسة على طرق وأساليب ووسائل البحث الآتية :

١- التحليل الكارتيوجرافي للحوض بإنشاء مجموعة من الخرائط بعد توحيد مقاييس رسمها إلى مقياس ١: ٢٥٠,٠٠٠ ، باستخدام ألواح البلاستيك الشفاف ، لسهولة إجراء عملية الربط والتداخل والمضاهاة overlapping فيما بينها ، وتغطي هذه الخرائط الموضوعات التالية :

- (أ) خريطة طبوغرافية للحوض صادرة عن إدارة المساحة العسكرية بالقاهرة عام ١٩٨٩ (لوحة جبل التيهي) ، راجع شكل (٦-١) .
 - (ب) خريطة التكوينات الجيولوجية السطحية اعتمادا على دراسة (Sehim, A., 1990) ، راجع شكل (٦-٢) .
 - (ج) خريطة البنية الجيولوجية اعتمادا على دراسة (Sehim, A. A., 1990) ، راجع شكل (٦-٣) .
 - (د) خريطة الأشكال الخطية Lineaments مستمدة من تفسير الصور الجوية مقياس ١: ٤٠٠,٠٠٠ ، راجع شكل (٦-٤) .
 - (هـ) خريطة شبكة التصريف المائي للحوض مستمدة من تفسير الصور الجوية مقياس ١: ٤٠٠,٠٠٠ ، راجع شكل (٦-٥) .
 - (و) خريطة تصنيف شبكة التصريف المائي إلى مراتبها النهرية تبعا لطريقة (Strahler A., 1954) ، راجع شكل (٦-٦) .
 - (ز) خريطة تصنيف مجارى الوادى تبعا لاختلاف التراكم البنائية للحوض ، وتمييز العلاقة بين توجيه شبكة التصريف واتجاهات ميل الطبقات الصخرية ، ومدى تأثير الشبكة بمحاور الالتواءات والانكسارات والأشكال الخطية ، وكذلك تحديد المجارى العشوائية ، راجع شكل (٦-٧) ، وتمثيل هذه العلاقات فى صورة مجموعة من الوردات البيانية بدقة ٢٠ درجة ، راجع شكل (٦-٨) .
- ٢- تفسير زوجيات الصور الجوية مقياس ١: ٤٠٠,٠٠٠ ، ورسم خريطة مورفوجرافية Morphographic map ، تهتم بإبراز التوزيع الجغرافى للحافات الصخرية، وعلاقتها بشبكة التصريف المائي السابق تمييزها ، ثم تكبير هذه الخريطة إلى مقياس ١: ٢٥٠,٠٠٠ لتتفق مع مجموعة الخرائط السابقة .
- ٣- التحليل المورفومتري لخصائص الحوض وشبكته التصريفية باستخدام الحاسب الآلى ومجموعة البرامج التى تحسب الخصائص الـ، راجع شكلية والتضاريسية للأحواض وشبكاتها (مجدى تراب ، ١٩٨٨) .

٤- اختيار مواضع الدراسة الميدانية فى ضوء نتائج تفسير أزواج الصور الجوية، وذلك باختيار مجموعة من المحطات الميدانية المرقمة تغطى الأجزاء التى تمكن الباحث من دراستها ميدانياً^{١١}، وبلغ عدد هذه المحطات ٢٢ محطة ميدانية.

٥- إنشاء خريطة أساس Base Map باستخدام صورة جوية مكبرة إلى مقياس ١: ١٠٠٠٠٠^{١٢}، عن طريق إدارة المساحة العسكرية بالقاهرة، للحافات الرئيسية بالحوض وشبكته التصريفية، ومجموعة الأشكال الجيومورفولوجية التى يسمح مقياس رسم ودرجه وضوح الصور الجوية بإبرازها، مع توقيع البيانات الجيولوجية الأساسية عليها، وخاصة حدود التكوينات الجيولوجية، والتراكيب البنيوية، إلى جانب نقاط المناسيب الرئيسية، ومواقع مجموعة المحطات الميدانية المقترحة.

٦- القيام بدراسة ميدانية^{١٣} تهتم برسم خريطة جيومورفولوجية، باستخدام خريطة الأساس السابقة مع الإهتمام بتغطية المحطات الميدانية المختارة بمجموعة كبيرة من الصور الفوتوغرافية، وكتابة الملاحظات الحقلية لكل موقع، وإجراء بعض القياسات الميدانية لأبعاد بعض الظواهر، ورسم خريطة جيومورفولوجية فى ضوء تحليل زوجيات الصور الجوية والدراسة الميدانية، راجع شكل (١٠-٦).

٨- محاولة إعادة بناء التاريخ التطورى للحوض باستخدام الأدلة والشواهد الآتية:
(أ) دراسة مراحل التطور الجيولوجى لمنطقة خليج العقبة من خلال الدراسات الجيولوجية السابقة.

(ب) ربط مناسيب مصاطب الأودية وتتبع توزيعها الجغرافى ومدى ارتباطها بنقاط تجديد الشباب، ومقارنة هذه المناسيب بمستويات سطح البحر خلال الذبذبات الأيوساتائية.

(ج) دراسة تأثير الاضطرابات الباطنية فى تعديل المظهر الجيومورفولوجى للحوض، وطمس بعض تفاصيله.

(د) استخدام نتائج التحليل المورفومتري لخصائص الحوض وشبكته التصريفية فى تحديد المرحلة المقطوعة من دورته التحاتية.

(هـ) محاولة ربط مراحل التطور الجيومورفولوجى للحوض بأقرانه فى إقليم خليج السويس والبحر الأحمر.

^{١١} - لم يتمكن الباحث من دراسة بقية أجزاء الحوض ميدانياً بسبب شدة وعورته.

^{١٢} - لوحة رقم ٤، حط طوان رقم ٣٠ من مشروع حوض سيناء وتصوير عام ١٩٥٦.

^{١٣} - تم إجراء الدراسة الميدانية على مرحلتين الأولى فى سبتمبر ١٩٩٥ والثانية فى فبراير ١٩٩٦.

جيوولوجية الحوض Basin Geology :**أولا : التكوين الجيولوجي Geological Lithology :**

يمكن تتبع التكوينات الجيولوجية المتمثلة بالحوض مرتبة من الأقدم للأحدث فيما يلي (Sehim, A.A., P150-174) ، ويوضح شكل (٦- ٢) ملامح التوزيع الجغرافي لهذه التكوينات:

صخور القاعدة Basement Rocks : تتركز التكوينات الرسوبية التالية على صخور القاعدة التابعة لما قبل الكامبري ، كما تظهر مساحات محدودة منها على سطح الحوض ، وخاصة صخور الجرانيت الوردي Pink Granite و الجرانوديوريت Granodiorite ، وهي متأثرة إلى حد كبير بفعل عملية التقشر Exfoliation ، وتنتشر الصخور الجرانيتية بصورة ملحوظة عند إلتقاء مجموعة الروافد الإنكسارية بالجزء الأعلى من الوادي .

الصخور الرسوبية Sedimentary Rocks : تغطي الصخور الرسوبية أكثر من ٩٥% من مساحة الحوض ، وتنقسم إلى التكوينات الآتية (مرتبة من الأقدم للأحدث):

١ - التكوينات التابعة للزمن الجيولوجي الأول : وتعد أقدم الصخور الرسوبية التي تظهر على سطح الحوض ، وتغطي حوالي ٢٥% من مساحته ، وتنتشر التكوينات التابعة لهذا الزمن على جانبي المجرى الرئيسي للوادي وخاصة جانبه الأيسر (الشمالى) ، وتنقسم إلى ثلاثة تكوينات هي :

(أ) تكوين سراييت الخادم Sarabit Elkhadem Formation التابع لعصر الكامبري ، ويبلغ متوسط سمكه حوالي ٢٩ متر ، ويتألف من الكونجلوميرات والأحجار الرملية والطينية ، مع وجود طبقات رقيقة من الكونجلوميرات تبدو عند خط التماس الجيولوجي مع صخور القاعدة .

(ب) تكوين أبو حماطه Abu Hamata Formation التابع لعصر الكامبري بسمك ١٢ متر ، ويتكون من حبيبات دقيقة إلى متوسطة من الحجر الرملى المختلط بالغرين ، بالتبادل مع طبقات رقيقة من الشيل Shale .

(ج) تكوين نصب Nasib Formation : أحدث تكوينات الزمن الأول بسمك يصل لنحو ٢٢٠ متر ، ويتألف من طبقات متعددة الألوان من الحجر الرملى مختلطة بالغرين وأشرطة من المركبات الحديدية .

٢- تكوينات العصر الكريتاسي (الزمن الجيولوجي الثاني) :

(أ) تظهر التكوينات التابعة للكريتاسي الأسفل (تكوين مالحة Malha Formation) بسطح عدم توافق طبقي ، وظهورها متتابعة فوق تكوينات الزمن الأول مباشرة ، وتتميز صخور تكوين مالحة بضعفها أمام عمليات التجوية وعوامل التعرية، التي نجحت إلى حد كبير في تهذيب المظهر المورفولوجي العام لحوافه المكونة أساسا من الأحجار الرملية الهشة ذات النشأة القارية ، وينقسم هذا التكوين إلى عضوين هما :

"١" عضو مالحة السفلى Lower Malha Member بسمك ٨٢ متر ، وتتألف الخمسين متر السفلى منه من الكونجلوميرات ، متتابعة مع طبقات سميكة بيضاء اللون من الحجر الرملي ، ويتكون الجزء الأعلى من هذا العضو من طبقات متعاقبة من الأحجار الجيرية والحجر الرملي الحديدي .

"٢" عضو مالحة العلوى Upper Malha Member بسمك ٥٨ متر ويتميز هذا العضو بألوانه المتعددة ، ويتكون من الأحجار الرملية ذات الحبيبات الدقيقة والخشنة بالتبادل مع الأحجار الطينية والمركبات الحديدية .

(ب) تتمثل الصخور الرسوبية التابعة للكريتاسي الأعلى في ثلاثة

تكوينات هي :

"أ" تكوين جلالة Galala Formation ذو النشأة البحرية ، ويغطي معظم أجزاء الحوض ، وهو أكثر صلابة من تكوين مالحة بسبب تكوينه بصورة أساسية من الأحجار الجيرية ، وهو أكثر تأثرا بالحركات الإنكسارية ولذا تبدو حوافه أكثر تضررا ووعورة ، وينقسم إلى ثلاثة أعضاء: السفلى منها يتألف من الأحجار الرملية والدولوميت الرملي بسمك ٥٦ مترا في المتوسط ، ويتكون العضو الأوسط من الحجر الجيري بسمك ٤٦,٥ متر ، مع ظهور طبقات من الصوان في جزئه الأوسط ، كما تتداخل مع الأحجار الجيرية طبقات رقيقة من المارل ، أما عضوه العلوى (الأحدث) فيتألف من الشيل الهش بسمك ٤١ متر ، مع وجود طبقة من الحجر الجيري بجزئه الأسفل يبلغ سمكها حوالي السبعة أمتار ، كما ترتبط طبقتان رقيقتان من المارل بالجزء الأعلى من هذا العضو .

"٢" تكوين وطا Wata Formation : يبلغ سمك هذا التكوين حوالي ٥٢ مترا ، وهو يتألف من الحجر الرملي دقيق إلى متوسط الحبيبات ، مع طبقات

رقيقة من الحجر الطيني تتبعثر عند الأطراف العليا والسفلى من هذا التكوين ، أما أجزاءه الوسطى فتت، راجع شكل بصفة أساسية من الأحجار الرملية .

"٣" تكوين مطلة Matulla Formation : يبلغ سمك هذا التكوين حوالى ١٤١ متر ، وهو يتألف من عضوين هما عضو مرخة Markha Member بسمك ٣٢متر ، الذى يتكون من الطباشير والحجر الجيري الصوانى ، ومغطى بالحجر الجيري الصلصالى الهش ، والشيل والحجر الطينى . أما العضو الأحدث فهو عضو أبوزنيمة Abu Zenima Member بسمك ١٠٩ أمتار ، وهو يتألف من الأحجار الجيرية الصلصالية والطباشيرية ، بالتبادل مع طبقات رقيقة من الشيل والحجر الطينى .

٣- تكوين رحم Raham Formation التابع لعصر البلايوسين ، ويظهر بسطح عدم توافق طبقي متعاقب فوق تكوينات الكريتاسى الأعلى ميئرة ، ويبلغ سمك تكوين رحم أكثر من ٥٠ متر ، وهو يتركب من الكونجولوميرات والأحجار الرملية ، والأحجار الطينية ، وقد تم ترسيب هذا التكوين فى بيئة فيضية قديمة .

٤- الإرسابات الحديثة : تنتشر رواسب الوديان الحديثة فى بطون الأودية ، وعلى أسطح مدرجات الوديان القديمة ، والتي تظهر على جانبي الجزئين الأوسط والأدنى من المجرى الرئيسى ، وبعض روافده العليا ، إلى جانب المروحة الفيضية للوادي .

ثانيا : البنية الجيولوجية Geological Structure :

يتأثر الحوض بالعديد من التراكيب البنيوية ، وخاصة المصاحبة لتشكيل الأخدود المكون لخليج العقبة كجزء من الأخدود الإفريقي العظيم ، وأهم هذه التراكيب ما يلى (Sehim ,A.A., 1990 P.177):

١- الإتكسارات Faults :

يختص الحوض بتمثل جميع أنماط الإتكسارات وبكافة مقاييسها ، وبصفة عامة تتجه خطوط الإتكسارات الرئيسية بالمنطقة فى محورين أولهما إتجاه شمالى / جنوبى ، ينحرف أحيانا إلى شمال الشمال الشرقى / الجنوب الغربى ، أى موازيا لمحور توجيه خليج العقبة ومترامنا مع فترة تشكيله ، أما المحور الثانى

فيأخذ إتجاهها شرقيا / غربيا وينحرف أحيانا إلى الشمال الغربى/ الجنوب الشرقى، وهذان المحوران يتخذان عادة نمط إنكسارات المضرب المنزلة الأفقية الإمتداد Horizontal Strike Slip، ويتجاوز عدد الخطوط الإنكسارية التابعة لهذا النمط أكثر من ٢٠ خطا إنكساريا مؤكداً ، راجع شكل (٣-٦) .

كما يوجد إنكسار أخدودى تأثرت به التكوينات التابعة للزمن الجيولوجى الأول ، ممتدا من الشرق للغرب ، ومتقفا مع إتجاه المجرى الرئيسى للوادي ، عند موضع إلتقاء روافده العليا الإنكسارية ، وترتفع حافته الجنوبية الجرفية عن نظيرتها الشمالية ، إلا أن كلا منهما تبدو كحافة مصقولة ، تظهر عليها الشقوق والحزوز والتلوم الرأسية الغائرة فى الصخر ، وتشير إلى تحرك الطبقات رأسياً . كما تظهر مجموعة من خطوط الإنكسارات الرأسية البسيطة ترتبط محاورها بتوجيه العديد من الروافد ، راجع شكل (٣-٦) .

٢ - الإلتواءات Folds :

يتأثر الحوض بثمانية محاور إلتوائية غاطسة ، أربعة منها داخل حدود الحوض والأربعة الأخرى متاخمة له ، إلا أنها تسهم فى تشكيل ملامح خطوط تقسيم المياه المحددة لنطاقه الحوضى، وقد ت، راجع شكلت هذه المجموعة من الإلتواءات فى تكوين جلاله البحرى النشأة المكون من الأحجار الجيرية ، وتراوح زاوية غطس محاورها بين ٦٠، ٢٠ درجة صوب الشمال الشرقى، وهى تتميز بعدم تماثل جوانبها . كما يمتد محور طيه مقعرة غاطسة متاخما لخط تقسيم المياه الشمالى للحوض ، ويتجه محورها صوب الجنوب الشرقى بزوايا غطس تبلغ حوالى العشرين درجة ، راجع شكل (٦ -) (Sehim, A. A., 1990 p. 177).

٣ - الفواصل والقواطع النارية : Joints and Dykes

تنتشر بالحوض شبكة كثيفة من أنظمة الشقوق والفواصل الرأسية ، تتفق اتجاهاتها إلى حد كبير مع توجيه التراكيب الإنكسارية بالحوض ، راجع شكل (٦ -) ، كما توجد مجموعة من القواطع النارية تسهم فى توجيه عدد من مجارى الروافد العليا للوادي .

ثالثا : التاريخ الجيولوجى Geological History :

يرتبط التاريخ الجيولوجى للحوض بالنظام البنائى لخليج العقبة الذى تشكل فى أربع مراحل (Sehim, A. A., 1990 P 470) هى :

المرحلة الأولى : إنبثاق مجموعة من القواطع البازلتيّة ، وحدثت مجموعة من الإنكسارات العادية في الاتجاه الشمالي الغربي ، وإنكسارت مضرّبية غير مؤكّدة في اتجاهين الأول : شمال الشمالي الشرقي والثاني غرب الشمال الغربي .

المرحلة الثانية : حدثت خلال الميوسين الأوسط M.Miocene واستمرت حتى الميوسين المتأخر (الأعلى) L. Miocene ، وتمت خلال هذه المرحلة حركات الإزاحة المضرّبية الضعيفة في الاتجاه الشمالي والشمالي الشرقي ، كما تشكّلت مجموعة من الإلتواءات والكتل والأحواض الإنكسارية.

المرحلة الثالثة : استمرت هذه المرحلة خلال عصر البليوسين Pliocene ، وتكونت خلالها إزاحة مضرّبية إضافية نتج عنها إتساع ونمو الأحواض الإنكسارية، واتصل الحوض المكون لخليج العقبة بالبحر الأحمر ، حيث توغلت مياه البحر بهذا الحوض وغمرته .

المرحلة الرابعة : بدأت هذه المرحلة في أواخر عصر البليوسين Pliocene ، ولازالت مستمرة حتى الوقت الحاضر ، وحدثت خلالها إزاحة مضرّبية شديدة مع إتساع مستمر للأحواض الإنكسارية الناتجة عن قوى الشد ، ويرجع لهذه المرحلة المظهر الحالي للخليج .

مورفولوجية الحوض Basin Morphology :

يلخص جدول (٦-١) أهم الخصائص ال، راجع شكلية للحوض " ، ومن دراسة نسبة الاستطالة ونسبة الطول / العرض ، نتبين أن ، راجع شكل الحوض Basin Shape متوسط الاستطالة ، بسبب تعامد اتجاهات التراكيب البنيوية المساهمة في تشكيله ، حيث ساعد امتداد المحور الشرقي / الغربي على زيادة استطالة ، راجع شكل الحوض ، على حين عملت اتجاهات إنكسارات المضرب في الاتجاه الشمالي ، والشمالي الشرقي على تعديل مظهر الحوض الى ما يشبه ال، راجع شكل البيضاوي ، راجع شكل (٦-٣) . وتتفق هذه الملاحظة مع ما سبق أن طرحه ستريلر (Strahler A. , 1964 . P. 415) في أن الأحواض التي تتراوح معدلات استطالتها بين ٠,٦ والواحد الصحيح تتميز عادة

^١ - راجع أبعاد الحوض بمقدمة البحث ، وقد استعملت هذه الأبعاد عند حساب خصائصه ال، راجع شكلية .

بالاختلافات الحادة في صلابة تكويناتها الجيولوجية ، أوتتباين الظروف المناخية بين أجزائها ، ونضيف إلى هذين العاملين تأثير البنية الجيولوجية .

كما يشير انخفاض قيمة نسبة الاستدارة إلى ابتعاد ، راجع شكل الحوض عن الشكل الدائري ، وإلى أن الحوض مازال في بداية دورته التحاتية وكان يقوم بتعميق وحفر مجاريه رأسياً إلى أن أدركته ظروف الجفاف أواخر عصر البلايستوسين .

جدول (٦-١) الخصائص الشكلية لحوض وادي قصيب

المعامل الموفومتري	الأسلوب المستخدم	قيمة حوض قصيب
نسبة الاستطالة Elongation Ratio	Schumm, S.A., 1956, P. 612	٠,٦٢
نسبة الاستدارة Circulation Ratio	Miller, V., 1953, p.9	٠,٣٧
معامل ، راجع شكل الحوض Form Factor	Horton, R.E., 1932, P. 353	٠,٣٠
معامل الاندماج Compactness Coefficient	Graveliu, H, 1914, P.131	١,٦٣
نسبة الطول/ العرض Length / Width Ratio	Muller, E.H., 1974, P. 195	٢,٢٣

ويدل انخفاض قيمة معامل شكل الحوض إلى زيادة الطول النسبي لأحد بعدي الحوض على حساب البعد الآخر (الطول الحوضي عن العرض الحوضي) ، وتشابه شكل الحوض مع المثلث (جودة حسنين جودة وآخرون ، ١٩٩١ ص ٣١٩) ، ويرجع ذلك إلى تركيز نطاق التراكيب الإنكسارية المتعامدة عند الأجزاء العليا من الحوض ، مما ساعد على زيادة الاتساع النسبي للحوض في هذه الأجزاء على حساب منطقة المصب ، وبالتالي ظهور شكل الحوض بما يشبه المثلث .

كما يشير ارتفاع قيمة معامل الاندماج إلى عدم تناسق شكل الحوض وزيادة تعرجات محيطه الحوضي ، ويرجع مدلول هذا المعامل المورفومتري أن الحوض لازال في بداية مراحل تطوره التحاتية (Ward, R., 1967, P. 314 ، جودة حسنين جودة وآخرون ، ١٩٩١ ص ٣١٩) .

ويُخلص جدول (٦-٢) الخصائص التضاريسية للحوض ، ومن دراسة هذا الجدول نلاحظ أن نسبة تضررس الحوض تبلغ ٠,١٠ ، مما يشير إلى شدة وعورته وتضرسه ، خاصة إذا قمنا بمقارنة هذه القيمة ، بالمعدلات المحسوبة لأودية بدع (مجدى تراب ، ١٩٨٨ ص ٩١) ، وغويبة (سعيد هيكل ، ١٩٨٥ ص ٦٧) ، وحجول (محمود أبو العينين ، ١٩٨٧ ص ٩٦) ، وحنيفة (أحمد مصطفى ، ١٩٨٢ ص ١٤٣) ، التي لا تتعدى ٠,١٠ ، ٠,١٤ ، ٠,١٥ ، ٠,٣٧ ، على التوالي . ويتفق ارتفاع قيمة التضاريس النسبية للحوض مع النتيجة السابقة ، ويدل على مقاومة صخور الحوض لعمليات النحت المائي قبل سيادة ظروف المناخ الجاف .

بتطبيق معامل التكامل الهيسومتري الذى يقيس الفترة المقطوعة من دورة التعرية ، نلاحظ أن الحوض لم يسجل سوى ٠,٢٨ كم / ٢ متر ، مما يشير إلى صغر مساحة الحوض قياساً بتضرسه وكثافة شبكة التصريف ، ويدل هذا على أن الحوض كان ما زال فى بداية دورته التحتانية حين أدركته ظروف الجفاف . وإذا طبقنا هذا المعامل على أحواض بدع (مجدى تراب ، ١٩٨٨ ص ٩٣) ، وغويبة (سعيد هيكل ، ١٩٨٥ ص ٦٩) ، وحجول (محمود أبو العينين ، ١٩٨٧ ص ٩٩) ، وحنيفة (أحمد مصطفى ، ١٩٨٥ ص ١٤٦) ، نلاحظ أن هذه الأودية قد قطعت شوطاً أكبر فى دوراتها التحتانية ، إذ أنها تسجل ١,٢٧ كم / ٢ متر ، ٢,٤٥ كم / ٢ متر ، ٠,٥٩ كم / ٢ متر ، ٧,٨٥ كم / ٢ متر على التوالي .

تبلغ قيمة وعورة الحوض معاملاً قدره ٤ مما يشير إلى زيادة تضررس الحوض وزيادة أطوال مجاريه على حساب مساحته الحوضية المحدودة إلى حد ما ، وهو ما يتفق مع نتائج الدراسة التى أجراها ستريلر لبعض الأحواض الوعرة بولاية كاليفورنيا (Strahler , A.N., 1958, P 290) . ويشير انخفاض قيمة الرقم الجيومترى للحوض إلى شدة انحدار سطح أرضه بالنسبة لتضرسه وكثافة شبكة التصريف .

جدول (٢) الخصائص التضاريسية لحوض وادي قصيب " "

المعامل المورفومتري	الاسلوب المستخدم	قيمة حوض وادي قصيب
نسبة التضرس Relief Ratio	Schumm, S.A. , 1956, P. 612	١٠,٠ متر /كم
التضاريس النسبية Relative Relief Ratio	Melton , M.A, 1957, P.5.	٣٢٤,٥
التكامل الهيسومتري Hypsometric integral	أحمد السيد مصطفى، ١٩٨٢ ص٢١٧	٠,٠٢٨ كم ^٢ /متر
قيمة الوعورة Ruggedness Value	Strahler , A. N, 1964 , P. 4	٤,٠٢
الرقم الجيومتري Geometry Number	Strahler , A. N, 1958 , P.296	٣٨,٩

نستنتج من التحليل المورفومتري لخصائص ، راجع شكل وتضاريس الحوض أنه كان مازال في بداية دورته التحتانية حين أدركته ظروف المناخ الجاف .

- ١ " قست فروق المناسيب من خريطة طبوغرافية صادرة عن إدارة المساحة العسكرية بالقاهرة مقياس ١ : ٢٥٠,٠٠٠ عام ١٩٨٩ (نوحة جبل النيهي) ، وحسبت المعاملات المورفومترية بتطبيق القوانين الآتية :
- (أ) نسبة التضرس = تضاريس الحوض بالمتر (الفارق بين أعلى وأدق مسدب في الحوض) مقسوما على الطول الحوضي (متر)
تضاريس الحوض بالمتر
- (ب) التضاريس النسبية = $\frac{10 \times \text{محيط الحوض (كم)}}{\text{مساحة الحوض كم}^2}$
- (ج) التكامل الهيسومتري = $\frac{\text{تضاريس الحوض متر}}{\text{تضاريس الحوض بالمتر} \times \text{كثافة التضرس}}$
- (د) قيمة الوعورة = $\frac{1000}{\text{كثافة التضرس} \times \text{تضاريس الحوض}}$
- (هـ) الرقم الجيومتري = $\frac{1000 \times \text{درجة انحدار سطح أرض الحوض}}{\text{تضاريس الحوض متر}}$
- حيث درجة انحدار سطح أرض الحوض = $\frac{\text{الطول الحوضي كم} \times 1000}{\text{الطول الحوضي متر}}$

مورفولوجية شبكة التصريف Drainage Network Morphology :

يوضح جدول (٦-٣) المتغيرات الأساسية لشبكة التصريف فى رتبها النهرية المختلفة، ويتضح منها أن الطول الإجمالى لمجارى الشبكة يبلغ أكثر من ١١٣,٥ كم ، وأعداد مجارى هذه الشبكة يبلغ ٢٩٠ مجرى ، بمعدل ٣٩١,٦ متر للمجرى الواحد ، وذلك بالقياس من الصور الجوية .

جدول (٦-٣) المتغيرات الأساسية لشبكة التصريف فى رتبها النهرية

المتغير	الرتبة					متوسط الرتبة	مجموع الشبكة
	الأولى	الثانية	الثالثة	الرابعة	الخامسة		
اعداد المجارى	٢١٤	٥٣	١٦	٦	١	٥٨	٢٩٠
نسبة التشعب		٤,٠	٣,٣	٢,٧	٦,٠	٤,٠	
ل ج	م ل ج	٢٨٣,١	٥٤٦,٦	٨٨٢٨	٨٧١٧	٥٥٣٠	٣٩١,٦
	م ل ج	٦٠,٥٨	٢٨,٩٧	١٣٢٦	٥,٢٣٠	٥,٥٣٠	٢٢,٧١٥

م ل ج = متوسط طول المجرى بالمتر

م ل ج = مجموع أطوال المجارى بالأمطار ،

ل ج = أطوال المجارى .

جدول (٤-٦) الخصائص المورفولوجية لشبكة التصريف "١"

المعامل المورفومتري	الأسلوب المستخدم	قيمة شبكة وادي قصب
نسبة التفرع المرجح Weighted Bifurcation Ratio	Strahler , A. N, 1964 . P. 6	٣,٨٣
كثافة التصريف Drainage Density	Horton , R E., 1932 P. 357	٤,٠٣ كم / كم ^٢
تكرار المجارى Channel Frequency	Horton , R. E., 1945 P. 285	١٠,٢٨ مجرى/كم ^٢
معدل بقاء المجرى Channel Maintenance	Schumm, S.A. , 1956, P. 607	٢٥,٢٥ كم ^٢ /كم

ويوضح جدول (٤-٦) الخصائص المورفولوجية لشبكة التصريف ، و من دراسته نلاحظ أن كثافة التصريف تبلغ حوالى ٤ كم / كم^٢ ، وهو يعتبر من المعدلات المنخفضة بالمقارنة بشبكات الأودية الأخرى المدروسة باستخدام الصور الجوية، حيث تبلغ قيمة هذا المعدل حوالى ٤,٩٦ كم / كم^٢ لودى غوبية (سعيد هيكل ، ١٩٨٥ ص ١٦٤) ، و ٤,٩٨ كم / كم^٢ لودى بدع (مجدى تراب ، ١٩٨٨ ص ١٥١) ، مما يشير إلى قصر أطوال شبكة تصريف وادي قصب بالنسبة لمساحة حوضه ، وأن نظام التصريف المائى للحوض لا زال فى بداية مراحل تطوره التحتائى . كما يلاحظ انخفاض قيمة معدل تكرار المجارى إلى

^١ - تم تمييز شبكة التصريف باستخدام صور جوية مقياس ١ : ٤٠,٠٠٠ صادرة عن إدارة المساحة العسكرية بالقاهرة عام ١٩٥٦ ، وقبست أطوال المجارى بأسلوب الخصر الشامل باستخدام جهاز حاسب آلى مزود بلوحة رسم ومرفق آلى Digitizer ، وحسبت المعاملات المورفومترية تطبيق القوانين الآتية :

مجموع (معدلات التفرع × عدد المجارى لكل رتبتين متتاليتين)

نسبة التفرع المرجح =

مجموع عدد المجارى بكل رتبتين متتاليتين

مجموع أطوال المجارى (كم)

كثافة التصريف =

مساحة الحوض (كم^٢)

مجموع أعداد المجارى

تكرار المجارى =

مساحة الحوض (كم^٢)

مساحة الحوض (كم^٢)

معدل بقاء المجرى =

مجموع أطوال المجارى

البحث السادس : التطور الجيومورفولوجي لحوض وادي قصب

حوالي ١٠,٢٨ مجرى / كم^٢، بالمقارنة بوادى غويبة وبدع اللذين يسجلان ١٢,٠٠ مجرى / كم^٢، ١٠,٩٢ مجرى / كم^٢ على التوالي (سعيد هيك ١٩٨٥ ص ١٦٦ ، مجدى تراب ١٩٨٨ ص ١٥٢) ، مما يدل على قلة أعداد مجارى الشبكة المدروسة وليس فقط أطوالها ، أى يزداد تباعد شبكة المجارى داخل المساحة الحوضية وتتفق دراسة معدل بقاء المجرى مع هذه الملاحظة ، ما يؤكد أن الشبكة كانت فى بداية مراحل تطورها الجيومورفولوجى حينما أدركتها ظروف المناخ الجاف .

جدول (٦-٥) تأثير الأشكال الخطية على توجيه مجارى شبكة التصريف المائى الإتجاه الشمالى / جنوبى *

مع ١		أعداد المجارى الشمالية الجنوبية المتأثرة بالأشكال الخطية بالمحوض ^{١,٢}										مع ٢		المجموع	عدد	%
		شقوق وفواصل		انكسارات غير مؤكدة		انكسارات مؤكدة		مع ٢		مع ١						
عدد	%	عدد	%	عدد	%	عدد	%	عدد	%	عدد	%	عدد	%	عدد	%	عدد
١٨	٤٣	٥٦	٢٣	٣١	١٣	٤	٢	١٩	٨	١٩	٨	١٩	٨	١٩	٨	٢٦١
١٠٠	١١	١٨	٢	٢٧	٣	٥٤	٦	٢٠	١١	٢٠	١١	٢٠	١١	٢٠	١١	٥٣
١	٣٣	١٦	٢	١٨	٢	١٨	٢	١٨	٢	١٨	٢	١٨	٢	١٨	٢	١٦
١٩	٣٤	٦٥	٣٦	٢٧	١٥	٩	٥	٢٩	١٦	١٩	١١	٢٩	١٦	١٩	١١	٢٩٠

مع ١ = مجموع أعداد المجارى الشمالية غير متأثرة بالأشكال الخطية .
مع ٢ = مجموع عدد المجارى فى الإتجاه الشمالى الجنوبى^{١,٢}

ويبين شكل (٦-٨) العلاقة بين توجيه كل من شبكة التصريف والتراكيب البنوية ، ومن دراسته نلاحظ ما يلى :-

١- يستأثر الاتجاه الشمالى بنحو ١٩% من أعداد مجارى الشبكة^٣ ، ويتركز حوالى ٢٥% من أعداد هذه الشبكة فى إتجاه شرق الجنوب الشرقى^٤ ، متفقة مع توجيه أكثر من ١٧,٥ % ، ١٠,٥ % من أعداد الإنكسارات ، وحوالى

^٢ تم حصر المجارى ذات الإتجاه الشمالى/الجنوبى المتأثرة بالأشكال الخطية باستخدام الصور الجوية مقياس ١ : ٤٠.٠٠٠

^١ تم تحديد المجارى ذات الإتجاه الشمالى / الجنوبى بحصر المجارى التى تتجه فى وهى مواورها فيما بين زوايا ١٠,٣٥٠ درجة .

^٣ يحصر الإتجاه الشمالى بين ١٠ ، ١٧٠ ، بالنسبة للشمال المخرق .

^٤ يحصر إتجاه شرق الجنوب الشرقى بين ١١٠ ، ١٣٠ ، بالنسبة للشمال المخرق .

٢- يتفق توجيه المجرى الرئيسى للوادي مع إنكسار مضربى مغطى بالارسابات الحديثة عمودياً على إتجاه خليج العقبة ، ويكاد يتفق مع توجيه أكثر من ربع أعداد نظم الفواصل بالحوض .
٣- يتركز حوالى ٦٠% من أعداد خطوط الإنكسارات بالحوض فى إتجاه الشمال والشمال الشرقى ، متفقة مع توجيه ٣٧,٣% من أعداد المجارى بالشبكة ، كما تتفق مع حوالى ٤٥% من أعداد مجارى الرتبة الثانية ، ونحو ٣٤,٥% من أعداد الرتبة الأولى . تستنتج من ذلك أن الإتجاه الشمالى هو أكثر إتجاهات مجارى الشبكة تأثراً بنظم البنية الجيولوجية .

بدراسة جدول (٥-٦) الذى يوضح تأثير الأشكال الخطية على توجيه الشبكة نلاحظ أن أكثر من ٦٥% من أعداد المجارى المتجهة صوب الشمال قد تأثرت بنظم البنية الجيولوجية ، حيث يدين نحو ٢٩,١% منها للإنكسارات المؤكدة ، ونحو ٩,١% بالإنكسارات غير المؤكدة ، و ٢٧,٢% بنظم الفواصل الصخرية . وتعد مجارى الرتبة الثانية أكثر رتب الشبكة إستجابة للعوامل البنيوية بنسبة تصل إلى ١٠٠% ، مما يؤكد على أهمية هذه العوامل فى توجيه شبكة التصريف المائى ، وبصفة خاصة فى الإتجاه الشمالى ، والشمال الشرقى الموازى لتوجيه خليج العقبة .

خريطة جيومورفولوجية للحوض:

يوضح شكل (٦-١٠) خريطة جيومورفولوجية للحوض ، ويمكن تصنيف أهم الأشكال الأرضية بالحوض إلى الأنماط الآتية تبعاً لاختلاف أسلوب النشأة :

أولاً : الأشكال البنيوية :**١- الحافات البنيوية :**

(أ) حافات إنكسارية .

(ب) أظهر الخنازير .

(ج) الحافات الفقارية .

٢- الأشكال المائية ذات الأصل البنيوي :**(أ) توجيه المجارى :**

١- مجارى تتبع ميل الطبقات .

٢- مجارى عكس إتجاه ميل الطبقات .

٣- مجارى مضرب الطبقات .

٤- مجارى تتبع محاور الإلتواءات المحدبة .

٥- مجارى تتبع محاور الإلتواءات المقعرة .

٦- مجارى إنكسارية مضربية .

٧- مجارى تتبع إنكسارات رأسية .

٨- مجارى تتبع إنكسارات أخدودية .

٩- مجارى تتبع الشقوق والفواصل .

(ب) أشكال النحت :

١- خائق بنيوي .

٢- نقطة تجديد إنكسارية .

٣- تعرية بالنحت الخطي .

(ج) أشكال الإرساب :

١- منعطف بنيوي

(ينشأ عن اعتراض طبقات مائلة صلبة)

٢- منعطف إنكسارى .

ثانياً : أشكال ليثولوجية :

(ناتجة عن إختلاف صلابة التكوينات الجيولوجية)

١- أشكال مائية ذات أصل ليثولوجي :

(أ) خائق ليثولوجي

(ب) نقطة تغير في الإنحدار الطولي للوادي

(ناتجة عن قاطع ناري) .

(ج) منعطف ليثولوجي.

ثالثاً : أشكال تحتائية :**١- أشكال التجوية وحركة المواد على سفوح المنحدرات :**

(أ) أشكال ناتجة عن عمليات التجوية .

(ب) مخروط الهشيم .

(ج) زحف المواد .

(د) تساقط صخري .

٢- أشكال التعرية المائية :

(أ) أشكال النحت :

١- نقط تجديد تطورية

(ناتجة عن إنخفاض مستوى القاعدة) .

٢- نقط تغير في القطاع الطولي

(ناتجة عن التساقط الصخري على قاع المجرى) .

(ب) أشكال الإرساب :

١- نقط تغير في القطاع الطولي

(ناتجة عن تراكم حواجز بطون الأودية عقب

السيول) .

٢- مراوح فيضية .

٣- مصاطب رسوبية .

رابعاً : أشكال متخلفة :

١- تلال جزيرية (منفردة - متعددة القمم) .

٢- حائط صخري .

ومن دراسة الخريطة الجيومورفولوجية للحوض يمكن إستنتاج مجموعة من الملاحظات قد تسهم في استقراء مراحل التاريخ الجيومورفولوجي للحوض وهي :

١- أمكن ملاحظة ثلاث مجموعات من المصاطب الرسوبية على جانبي المجرى الرئيسي للوادي وروافده تتراوح مناسيبها فيما يلي (بالنسبة لقاع المجرى الحالي) :

- (أ) المصطبة السفلى ٢-٤ متر
- (ب) المصطبة الوسطى ٧-٨ متر
- (ج) المصطبة العليا ١١-١٢ متر

٢- ترتبط المصاطب الرسوبية الثلاث السابقة بمجموعة متوافقة معها من نقاط تجديد الشباب ، ناتجة عن إنخفاض مستوى القاعدة العام ، بعد إستبعاد نقط التجديد الناتجة عن العوامل الجيولوجية ، أو العتبات الناجمة عن ترسيب حواجز بطون الأودية عقب السيول ، وكذلك التي نت ، راجع شكل عن تراكم الكتل الصخرية المتساقطة على قاع المجرى.

٣- تعتز المجرى الرئيسي للوادي مجموعة من أظهر الخنازير Hogbacks المتبادلة ، وخاصة في الجزء الأوسط من الوادي ، مما ساعد على تشكيل مجموعة من المنعطفات البنيوية ، حتى يتقادي المجرى الكتل الصخرية الصلبة المكونة لأظهر الخنازير.

٤- يقتصر وجود المصطبتين العليا والوسطى بالأجزاء العليا والوسطى من الوادي ، ولا تتمثل لهما أية بقايا في الجزء الأدنى من الوادي ، وخاصة بعد اجتياز الوادي لمجموعة أظهر الخنازير. ولا توجد سوى بقايا المصطبة السفلى في الأجزاء الدنيا من الوادي وحتى منطقة المصب .

٥- تتمثل بقايا المصاطب الرسوبية بمجموعاتها الثلاث على جوانب المجارى الإنكسارية ، سواء المجارى الناتجة عن الإنكسارات المضربية أو الرأسية .

٦- تبدو بقايا المصطبة الرسوبية العليا بصورة متقطعة في كثير من أجزاء الوادي بسبب تأثير عوامل التعرية التي تعرضت لها خلال مراحل تطورها الجيومورفولوجي ، على حين تظهر المصطبة السفلى بصورة واضحة ، وممتدة على جانبي معظم أجزاء المجرى الرئيسي للوادي وروافده .

٧- كما تظهر بقايا المصاطب الرسوبية متراكبة على مختلف التكوينات الجيولوجية بالحوض سواء الأفقية أو المائلة .

٨- ترتبط نقطة اللقاء روافد الوادي الرئيسية بإتكسار أخدودي غير متمائل ، حيث تبدو حافته الجنوبية بصورة جرفية يتجاوز ارتفاعها ٤٥ متر، بينما تظهر حافته الشمالية بانحدار يتراوح بين ٥٠-٦٠ درجة، وارتفاع لا يتعدى ٣٠ .

مراحل التطور الجيومورفولوجي للحوض :

يمكن إعادة بناء مراحل التطور الجيومورفولوجي للحوض في ضوء الأدلة الشواهد السابقة فيما يلي :

١- بدأ تشكيل المجرى الرئيسي للحوض متبعا أحد الإنكسارات المضربية العمودية على إتجاه خليج العقبة ، وتشير نتائج الدراسة الميدانية والتحليل الموفومتري إلى أن الحوض لم يتمكن من قطع مرحلة متقدمة من مراحل تطوره التحتائي ، وحدائث تشكيله بالمقارنة بمجموعة الأحواض المرتبطة بخليج السويس التي سجلت مرحلة أكثر تطورا قبل سيادة ظروف المناخ الجاف ، سواء بحوض وادي غربية (سعيد هيكل ، ١٩٨٥) ، حوض وادي فيران (محمد رمضان ، ١٩٨٧) ، وحوض وادي حجل (محمود أبو العينين ، ١٩٨٧) ، وحوض وادي بدع (مجدى تراب ، ١٩٨٨) ، وحوض وادي وردان (محمود أبو العينين ، ١٩٩٤).

٢- تعرض إقليم الحوض لإزاحة مضربية قوية في إتجاه مواز لخليج العقبة ، وبعض الإتجاهات الفرعية الأخرى خلال أواخر عصر البليوسين ، نتج عنها تشكيل الملامح الأساسية لشبكة التصريف المائي للحوض .

٣- تأثر الحوض بحدوث ثلاث فترات للذبذبات الأيوستاتية في مستوى القاعدة ، تركت أثارها وشواهدا على منحدرات شبكة التصريف ، ممثلة بثلاث مجموعات متتالية من المصاطب الرسوبية المرتبطة بنقاط تجديدها على ارتفاع (٢-٤متر) ، (٧-٨متر) ، (١١-٢٠متر) .

٤- يمكن ربط مستويات المصاطب الرسوبية التي ميزها الباحث ، بقايا ثلاثة مستويات من بقايا تكوينات المرجان الكلسية ، التي أشار إلى وجودها جفيرزمان وتشبندر (Gvirtzman, G., and Chbinder, B., 1978) عند دراستهما لسواحل خليج العقبة كما لاحظا وجود مجموعات من الإرسابات البحرية القديمة على أربعة مستويات على مناسيب (٢٥متر ، ٣٠ - ٤٠متر ، ٧٠

- ٨متر ، ١١ - ١٢متر) كما أشارا إلى احتمال وجود مستوى خامس على منسوب ١٦ مترا فوق مستوى سطح البحر الحالي .

٥- كما يمكن ربط المصطبة السفلى ببقايا مدرج بحري قديم أشار إلى وجوده بوتزر وهانسن (Butzer, K., and Hansen, C., 1968) بالقرب من مدينة القصير على ساحل البحر الأحمر ، يتكون من الحصى البحرى على منسوب ٣ - ٤متر فوق مستوى سطح البحر الحالي .

٦- يشير عدم وجود بقايا المصطبتين العليا والوسطى بالأجزاء الدنيا من الوادى ، إلى أن الحوض كان يصب حمولته فى الخليج القديم فى هذا الجزء من الوادى ، الذى تعرض فيما بعد لحركة رفع تكتونية ، عملت على رفع مجموعة من أظهر الخنازير ، التى تمكن الوادى من التغلب عليها عن طريق مجموعة من المنعطفات حاولت الإلتفاف حول هذه العقبات الصخرية .

٧- نستنتج من ذلك أن الحوض قد تأثر بثلاث فترات مطيرة يمكن تأريخها فيما يلى :

(أ) تعاصر المصطبة العليا الأقدم بفترة جليد "ريس" المرتبطة بالمونستيرى الأسفل .

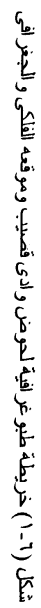
(ب) تعاصر المصطبة الوسطى بفترة جليد "فورم" المرتبطة بالمونستيرى الأعلى .

(ج) تعاصر المصطبة السفلى الأحدث بالفترة شبه المطيرة التى حدثت خلال الهولوسين والتى أشار إلى حدوثها جودة (١٩٨١ ص ٢٢٦) .

الخاتمة

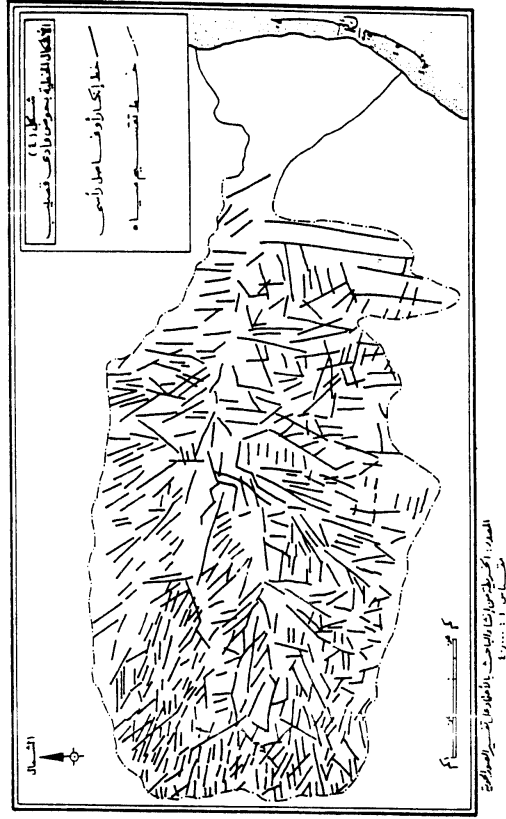
يدين الحوض في نشأته للتراكيب البنيوية المسنولة عن تشكيل خليج العقبة ، وارتبط الحوض إلى حد كبير بالأحداث التكتونية المؤثرة على تطور الخليج ذاته. كما أسهمت العمليات الباطنية في رسم شبكة التصريف المائي للحوض ، والتوزيع الجغرافي للأشكال الجيومورفولوجية الرئيسية، وخاصة الحافات الصخرية ، وأنماط التصريف المائي ، والظواهرات الجيومورفولوجية مثل الخوانق ، ونقاط تجديد الشباب البنيوية ، والمنعطقات البنيوية وغيرها .

وقد تأثر الحوض بحدوث ثلاث فترات للذبذبات الأيوستاتية في مستوى القاعدة ، ت، راجع شكل عنها ثلاث مجموعات من المصاطب الرسوبية المرتبطة بنقاط تجديدها ، نرجح أنها تعاصر فترتي جليد "ريس وفورم" التي حدثت بالمونستيري ، والفترة شبه المطيرة الهولوسينية .

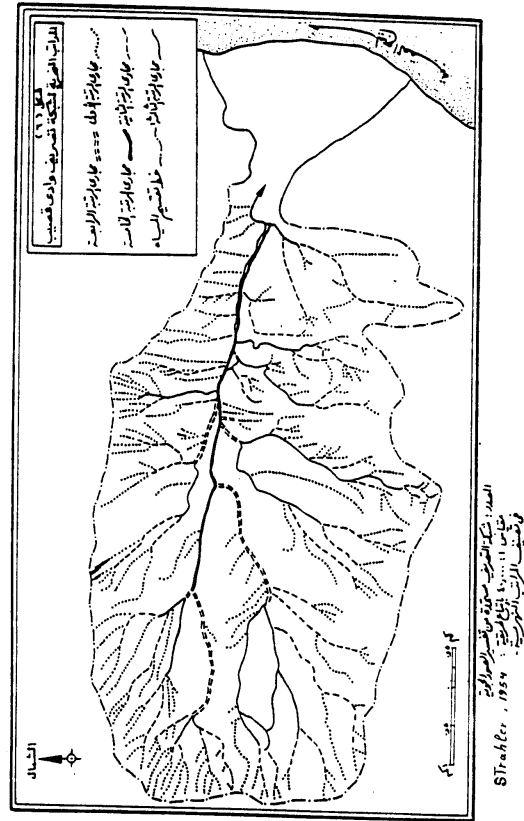




شكل (٧-٦) التكوينات الجيولوجية بحوض وادي قصيب

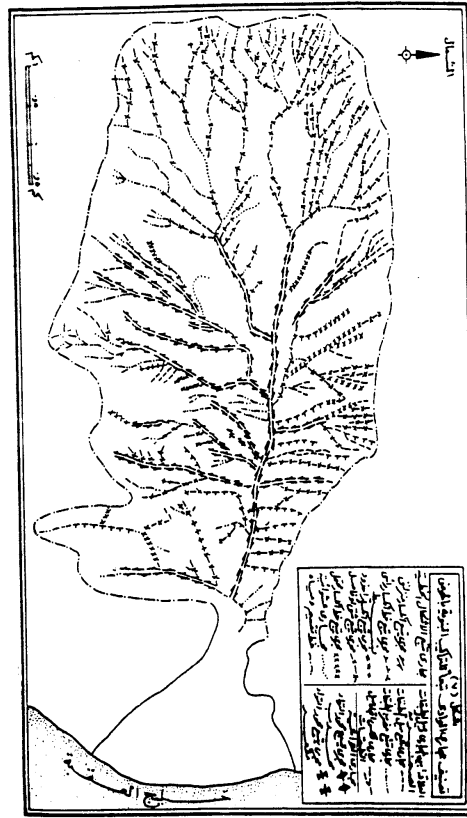


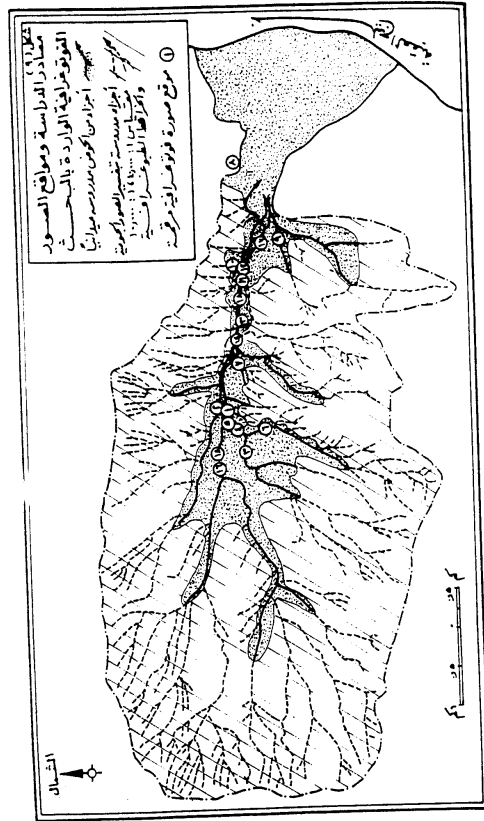
شكل (٤-٦) الأشكال الخطية بحوض وادي قصيب



شكل (٦-٦) المراتب النهرية لشبكة تصريف وادي قصيب

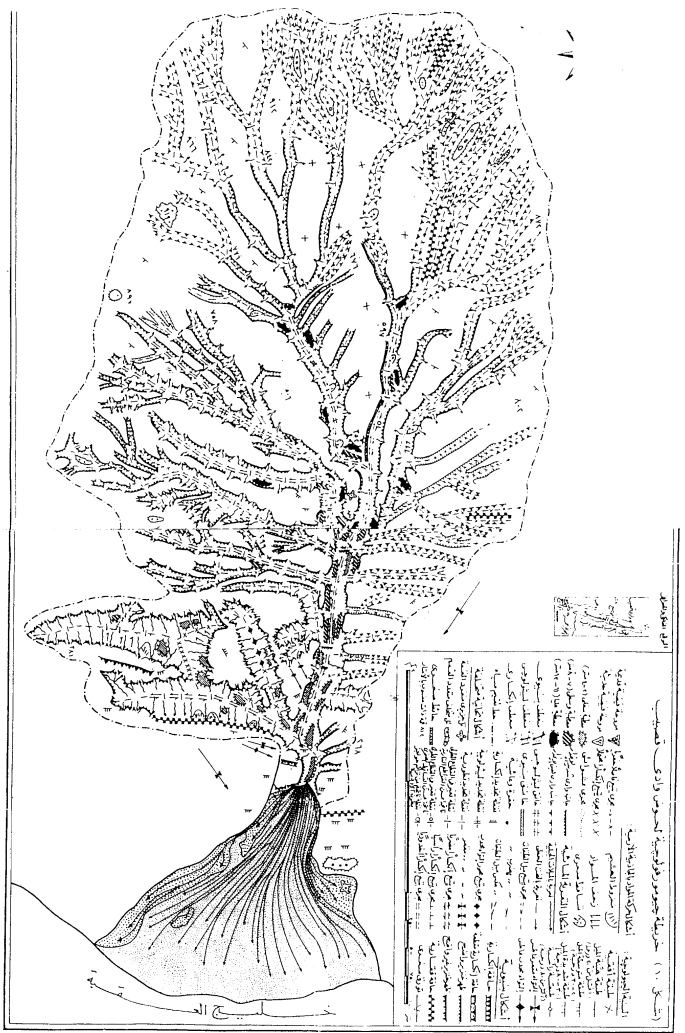
شكل (١-٧) تصنيف مجاري الوادي تبعا للترتيب النهرية بالحوض





شكل (٦-٩) مصادر الدراسة

شكل (١٠-٦) خريطة جيومورفولوجية لحوض وادي قصيب



شهر شیراز، ۱۲۹۹ شمسی (۱۸۸۰ میلادی)

المصادر والمراجع**أولا المصادر :**

- ١- إدارة المساحة العسكرية المصرية (١٩٨٩) خريطة طبوغرافية مقياس ١ : ٢٥٠,٠٠٠ لوحة جبل التيهي ، القاهرة .
- ٢- إدارة المساحة العسكرية المصرية (١٩٥٦) صور جوية مقياس ١ : ٤٠,٠٠٠ مشروع جنوب سيناء ، خط طيران رقم ٣٠ ، صور أرقام ٤,٥ القاهرة .
- ٣- إدارة المساحة العسكرية المصرية (١٩٥٦) صور جوية مقياس ١ : ١٠,٠٠٠ مشروع جنوب سيناء ، خط طيران رقم ٣٠ ، صدر أرقام ٤,٥ القاهرة .

ثانيا : المراجع باللغة العربية :

- ١- إبراهيم محمد بنوى (١٩٩٣)
منطقة رأس محمد فيما بين وادى العاط الشرقى والغربى ، دراسة جيومورفولوجية ، رسالة دكتوراه غير منشورة ، قسم الجغرافيا ، كلية الآداب جامعة الإسكندرية .
- ٢- أحمد أحمد السيد مصطفى (١٩٨٢)
حوض وادى حنيفة بالمملكة العربية السعودية - دراسة جيومورفولوجية ، رسالة دكتوراه غير منشورة ، قسم الجغرافيا ، كلية الآداب ، جامعة الإسكندرية
- ٣- جودة حسنين جودة (١٩٨١)
العصر الجليدى وعصور المطر فى صحارى العالم الإسلامى ، الهيئة المصرية العامة للكتاب ، الإسكندرية .
- ٤- جودة حسنين جودة ، محمود محمد عاشور ، صابر أمين نسوقى ، محمد مجدى تراب ، على مصطفى كامل ميرغنى ، محمد رمضان مصطفى (١٩٩١) ، وسائل التحليل الجيومورفولوجى ، القاهرة .

- ٥- جودة فتحى متولى التركمانى (١٩٨٧)
إقليم ساحل خليج العقبة فى مصر - دراسة جيومورفولوجية ، رسالة
دكتوراه غير منشورة ، قسم الجغرافيا ، كلية الآداب ، جامعة القاهرة .
- ٦- خالد كامل رشوان (١٩٩٥)
حوض وادى ذهب بجنوب شرق شبه جزيرة سيناء - دراسة
جيومورفولوجية ، رسالة دكتوراه غير منشورة ، قسم الجغرافيا ، كلية
الآداب ، جامعة المنيا .
- ٧- سعيد عبد الرحمن عوض الله هيكى (١٩٨٥)
حوض وادى غويبة - الصحراء الشرقية - دراسة
جيومورفولوجية ، رسالة ماجستير غير منشورة ، قسم الجغرافيا ، كلية
الآداب ، جامعة القاهرة .
- ٨- عبد الله علام (١٩٩٢)
حوض وادى أم عدوى جنوب شرق شبه جزيرة سيناء - دراسة
جيومورفولوجية ، رسالة دكتوراه غير منشورة ، قسم الجغرافيا ، كلية
الآداب جامعة الإسكندرية .
- ٩- محمد رمضان مصطفى (١٩٨٧)
حوض وادى فيران - دراسة جيومورفولوجية ، رسالة ماجستير غير
منشورة ، قسم الجغرافيا ، كلية الآداب ، جامعة عين شمس .
- ١٠- محمد مجدى مصطفى تراب (١٩٨٨)
حوض وادى بدع - جنوب غرب السويس - دراسة جيومورفولوجية ،
رسالة دكتوراه غير منشورة ، قسم الجغرافيا ، كلية الآداب ، جامعة
الإسكندرية .
- ١١- محمود عبد العزيز أبو العينين (١٩٨٧)
منطقة غرب السويس - فيما بين وادى مغرة شمالا ووادى حجل جنوبا
- دراسة جيومورفولوجية ، رسالة ماجستير غير منشورة ، قسم
الجغرافيا ، كلية الآداب ، جامعة الإسكندرية .

حوض وادي وردان - شبه جزيرة سيناء - رسالة دكتوراه غير منشورة
، قسم الجغرافيا ، كلية الآداب ، جامعة الإسكندرية.

ثالثا : المراجع باللغة الإنجليزية :

- 1-ý Butzer, K.W. and Hansen, C.L. (1968)
Desert and River in Nubia. University of Wisconsin
Press, Madison and London , 562 PP.
- 2- Edwards, A.J. and Head, S.M. (1987)
Red Sea-Key Environments, London.
- 3- Gravelius, H. (1914)
Flusskunde, 1, Berlin and Leipzig.
- 4- Gvirtzman, G. and Buchbinder, B. (1978)
Recent and Pleistocene Coral reefs and Coastal
sediments of the Gulf of Eilat .Tenth Intern. Congr
Sedimentol . Excursion 4. Jerusalem, 163 - 91.
- 5- Horton, R.E.(1932)
Drainage basin characteristics, transactions of the
American Geographical Union, 13, 350-61.
- 6- ----- (1945)
Erosional development of stream and their drainage
age basins; Hydrological approach to quantitative
morphology, Geol. Soc. Amer. Bull., 56,245-
370.

- 7- Melton, M.A. (1957)
An analysis of the relations among elements of climate, surface properties and geomorphology, project N. 389-042, Tech. Rept . 11, Columbia Univ. , Dep. Of Geol., ONR, Geogr.Branch, New york.
- 8- Miller, V. (1953)
A quantitative Geomorphic study of drainage basin characteristics in the Clinch Mountain area, va and Tenn office Naval Reserch project N. 389-042, Tech. Rept.3, Columbia Univ.
- 9- Muller, E.H. (1974)
Origins of Drumlins in glacial geom., D.R. Cates (ed.), Binghamton, New york : State Univ., 187-207.
- 10- Schumm, S.A. (1956)
Evolution of drainage systems and slopes in Badlands at Perth Amboy, New Jersey, Bull Amer. Geol.Soc. 67,597646.
- 11- Sehim, A.A. (1990)
Geology and tectonic setting of the Gulf of Aqaba rift, ph. D., Geology Dep., F. Sience, Cairo Univ.,
- 12- Strahler, A.V. (1952)
Hypsometric (Area-Altitude) analysis of Erosional topography, Bull. Geol. Amer., 63,1117-42.

- 13- ----- (1954)
Quantitative geomorphology of erosional landscapes,
C.R. 19th. Intern Geol Cong., Algiers 1952, sec. 13.Pt.
3,341-54.
- 14- ----- (1958)
Dimensional analysis applied to Fluvially eroded
landforms. Geol., Soc. Amer. Bull., vol. 69, 279-300.
- 15- ----- (1964)
Quantitative Geomorphology of drainage basin and
channel networks, in V.T. Chow (ed.), Handbook of
applied hydrology, 4/39-4/76.
- 16- Ward, R.C. (1967)
Principles of hydrology, McGraw-Hill, London.

البحث السابع

دلائل تذبذب مستوى سطح البحر على السبخات الساحلية
بإمارة أبوظبي

البحث السابع

دلائل تذبذب مستوى سطح البحر على السبخات الساحلية بإمارة أبوظبي

مقدمة :

أصل مصطلح السبخة عربي ويقصد به المسطحات المغلقة التي يتغير مستوى مياهها الباطنية ، حيث تظهر المياه على سطحها حينما يرتفع مستوى الماء الباطني حاملاً معه بعض الأملاح الذائبة، فتترسب على سطح السبخة خلال فصل الجفاف مكونة قشرة ملحية صلبة (صورة ٣-٧) .
وتصنف السباخ إلى نوعين وفقاً لمصدر مياهها ، فيطلق مصطلح السبخات الصحراوية على المسطحات التي تتكون في المناطق الداخلية ، وتستمد مياهها عادة بتسرب المياه على سفوح المنحدرات المحيطة بها ، أما السباخ الساحلية فتستمد مياهها من تسرب البحر نحو مسطحاتها مع هجمات الأمواج أو تيارات المد العالي ، ولكن تتفق السبخات الساحلية والداخلية في أن تسرب المياه يتم تحت سطح الأرض ، أما في حالة انسكاب المياه فوق سطح الأرض فيطلق عليها تعبير بلايا Playa الأسباني الأصل (محمد مجدى تراب ، ١٩٩٦ ص ٢٤٤).

الموقع الفلكي والجغرافي :

تمتد سبخات إمارة أبوظبي كشرائط مواز لساحل الخليج تكاد تتوسطه دائرة عرض ٢٤ ' ١٠ ° ، هذا إذا ما استثنينا سبخة مطي التي تتجاوز الحدود الجنوبية لدولة الإمارات عند دائرة عرض ٢٣ ° ش ، كما يمتد نطاق أبوظبي السبخي بين خطي طول ٤٨ ' ٢٤ ° و ٥٠ ' ٥١ ° شرقاً ، وهو يشغل معظم السهل الساحلي لإمارة أبوظبي من رأس غناضة شرقاً حتى الحدود الغربية لدولة الإمارات غرباً ، وينفاوت اتساعه بين كيلومترين بين مدينتي طريف والمراف ، ويصل لحدده الأقصى في سبخة مطي لتتجاوز المائة كيلومتر (شكل ١-٧) .



شكل (٧ - ١) الحدود الفاصلة بين سبخات أبوظبي الساحلية ونطاق الغطاءات والكثبان الرملية التي تحفها من الجنوب

ويتوقف اتساع هذا النطاق من السبخات على مدى تراكم الكثبان والغطاءات الرملية على تخومها الجنوبية ، فليس هناك حد واضح بين هذين النطاقين ، بل يتفاوت عرض نطاق السبخات خلال فصول السنة ، حيث تقل عروضها كثيراً عند هبوب الرياح الجنوبية ، فتتحرك مجموعات الكثبان الرملية بتؤدة فتجور على سبخ الساحل ، وفي بعض الأحوال تتقدم الكثبان الرملية نحو الساحل وتشرف عليه مباشرة لتختفي مسطحات السبخات تحت رمالها.

وحينما تهب رياح الشمال تشتد الأمواج وتتسرب مياه الخليج تحت سطح السبخة ، فترفع منسوب مياهها الباطنية وتتوغل لمسافات أكبر داخل اليابس ، فتتسع مساحاتها وتتسبغ تخومها بالمياه ، لتتسرب قطرات الماء المشبعة بالأملاح نحو سطح السبخة بالخاصية الشعرية ، لتتسرب الأملاح على السطح في موسم

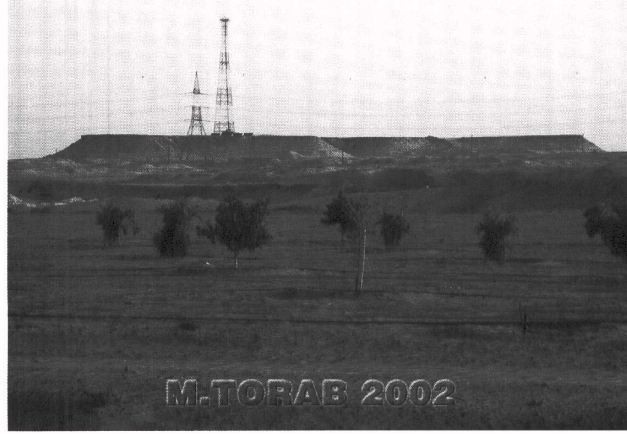
الجفاف مكونة قشرة ملحية متصلبة . وتتباين أشكال السبخات ومدى صلابة قشرتها الملحية وفقاً لتركيبها المعدني .

وتتراوح مناسيب سبخات إمارة أبوظبي بين متر واحد وثلاثة أمتار في أغلب أجزائها ، ولا يخلو الأمر من بعض الأحواض المغلقة التي تنخفض سطوحها إلى مادن مستوى البحر ، فتساعد على تكوين بعض البرك والمستنقعات الموسمية ، إلا أنها قصيرة العمر فهي سرعان ما تتحول إلى مسطحات ملحية أثناء فصل الصيف ، مع اشتداد القيط فيعجل من تبخر مياهها بمعدلات لا تلاحق التعويض الشحيح بالتسرب من مياه الخليج ولا سيما في فترات المد .

كما تبرز من مسطح السبخات مجموعات متناثرة من الموائد الصحراوية *Mesas* والتلال الشاهدة *Buttes* لا يتجاوز ارتفاعها الأمتار الثلاثة، و تتميز باستواء وتمائل مناسيب سطوحها ، وتتشكل على سطحها قشرة جيرية متصلبة، يميل لونها للرمادي الداكن ، وتعمل على حماية كتلة المائدة الصحراوية من النحت ، وتتكون هذه التلال من الأحجار الرملية الجيرية الميوسينية ، وتبدو منحدراتها الجانبية مقوسة وغائرة للداخل بتأثير النحت بالرياح ، ونشع المحاليل الملحية للسطح فتجوى مكوناتها ، وتسهل من مهمة نهشها بالرياح (صور ١-٧ ، ٢-٧) .



صورة (١-٧) تل شاهد *Butte* يبرز وسط المسطح السبخي غرب مدينة المرفأ بحو إلى ١٨ كيلومتر



صورة (٢-٧) مائدة صحر اوية *Meza* تظهر وسط المسطح السبخي إلى الشرق من مدينة بينونة بحو إلى ٤٢ كيلومتر

أدلة تذبذب مستوى سطح البحر :

يمكن تمييز عدد من الأدلة الجيومورفولوجية على أجزاء السبخات الساحلية بإمارة أبوظبي ، تشير إلى تذبذب مستوى سطح المياه في الخليج العربي خلال الزمن الرابع ، وأهم هذه الأدلة ما يلي :

١. تبرز وسط المحيط السبخي المستو مجموعة متوازية من الحواجز الطولية *Longitudinal Bridges* ، تمتد موازية لخط الساحل الحالي على الهوامش الشرقية للسبخات الساحلية ، لا يتجاوز ارتفاعها أكثر من بضعة عشرات من السنتيمترات وأقل من المتر الكامل ، تتباين ألوانها بين البرتقالي والبني ، تتألف من رمال خشنة الحبيبات مختلطة بشظايا الأصداف البحرية من نوع *(Gastropods)* ، ومكسورات الشعاب المرجانية ، والكتل الصخرية المقطعة (كتل دائرية الشكل رقيقة السمك) بتأثير التعرية بالأمواج واحتكاك هذه الكتل بتكوينات المنطقة الساحلية *Coastal Zone* ، كما تُحدد منحدراتها المشرفة على الساحل مجموعات من قنوات الجزر *Tidal Channels* الحديثة التشكيل (شكل ٧-٣) . ويرجح تكون هذه المجموعة من الحواجز البحرية إبان فترة الطغيان الفلاندري *Flandrian Transgression* في مستوى سطح مياه الخليج العربي الذي حدث منذ ألف عام . تبرز وسط المسطح السبخي للإقليم مجموعة من أشكال الشواهد الصحراوية *Zeugen* مثل التلال الشاهدة والموائد الصحراوية ، تتميز باستواء سطوحها وتمائل منسوبها بدرجة جديرة بالملاحظة ، ومغطاة بقشرة جيرية صلبة تحميها من عوامل النحت بالرياح ، وتنقسم هذه المجموعة من التلال إلى مجموعتين وفقاً لأعمارها :

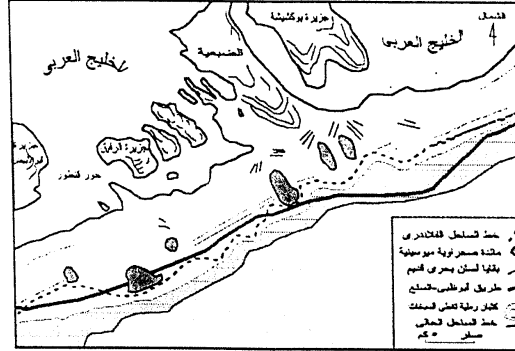
• المجموعة الأولى منهما تبدو على شكل تلال شاهدة *Buttes*

صغيرة الحجم لا يتجاوز ارتفاعها بضعة أمتار فوق المسطح السبخي المستو ، تتميز بلونها الرمادي الفاتح ، وتنتشر بها تكويناتها الرملية مع رواسب أرضية السبخة ، وتنتشر بها شظايا الأصداف البحرية (صورة ٧-١) ، رجع العديد من الباحثين أنها قد تكونت خلال عصر البلايستوسين ، أثناء

^١ لطلق مصطلح الشواهد الصحراوية على مجموعة من التلال المتباينة الأشكال إلا أنها تتفق في أن سطوحها مستوية ومتماثلة المنسوب ، وتشهد على وجود سطح تعرية قديم ، وتتعدد أشكال هذه التلال وفقاً لمدى تأثيرها بعوامل التعرية بالرياح والتحلل الكيميائي بمياه المطر والرطوبة الجوية ، وأهم أشكالها : الموائد الصحراوية ، قواعد التماثيل ، التلال الشاهدة ، التلال المزبوجة للقمم ، عش الغراب وغيرها .. للدراسة التفصيلية راجع (محمد مجدى تراب ، أشكال الصحارى المصورة ، ١٩٩٦ .

فترات ارتفاع مستوى سطح مياه الخليج العربي (Evans & Kirkham, 2002, p.11)

- وتتميز المجموعة الثانية من أشكال الشواهد بكبر أحجامها وارتفاع مناسيبها ، وتكونها من الأحجار الجيرية الميوسينية الصلبة ، وتميل ألوانها للرمادي الداكن ، وتتميز سطوحها بالاستواء ، وتظهر على منحدراتها الجانبية آثار السحل الكيميائي بمياه المطر والرطوبة الجوية ، كما تتقوس جوانبها بالجري بالرياح ، وتحزرها المسيلات المائية الشديدة الانحدار Gullies. ولكن هناك بعض الدلالات التي تشير إلى أنها أقدم عمراً من تلال المجموعة السابقة ، إذ تظهر على منحدراتها مجموعة من المصاطب والدرجات الصخرية ترتبط في مناسيبها مع تلال المجموعة الأولى البلايستوسينية المحدودة الارتفاع (صورة ٧-٢).



شكل (٧-٢) العلاقة بين خط الساحل خلال فترة الطغيان البحري الفلندري والموائد الصحراوية الميوسينية (After: Kirkham, 1997)

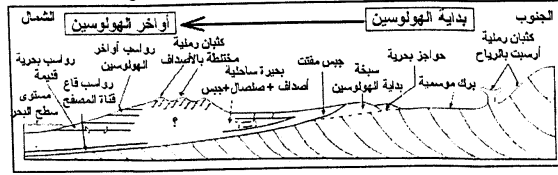
٢. تبرز من القاع الضحل لمياه الخليج المتاخمة للسبخات الساحلية بأبوظبي ، مجموعة من الجزر الطولية المنخفضة المنسوب المتوازية من ناحية ، والموازية لخط الساحل من ناحية أخرى ، وأهمها الجزر المتاخمة لجزيرة أبوظبى (الوحيل وغرابي وأبو حيل والسعديات

والفطيسى وحالة البحرانى ، وبوكشيشة ، وأبو الأبيض ، ومروح ، وصير بنى ياس ، ودلما ، والياسات) ، وهى تتميز بتكويناتها الرملية المفككة المختلطة بالأصداف البحرية والشعاب المرجانية ومكسوراتها ، وتبدو على سواحلها مجموعتين من المدرجات البحرية يتراوح منسوب الأولى منهما بين ٦ و ٨ أمتار ، ويتأرجح منسوب المجموعة الثانية حول المترين ، بما يتفق مع مستويات بقايا المدرجات البحرية التى تم تمييزها على سواحل جزيرة صير بنى ياس (شكل ٥-٧).

٣. أظهرت عمليات الحفر فى أرضية المسطحات السبخية المتاخمة لخليج "سلوى" التى قام بها (Darwish & Conley, 1989) ، وجود حقول للكثبان الرملية الحفرية مدفونة تحت رواسب السبخة ، مما يشير إلى سيادة تأثير عامل الجفاف ، قبل فترة الانغمار الفلاندى وطغيان مياه الخليج العربى على اليابس المجاور .

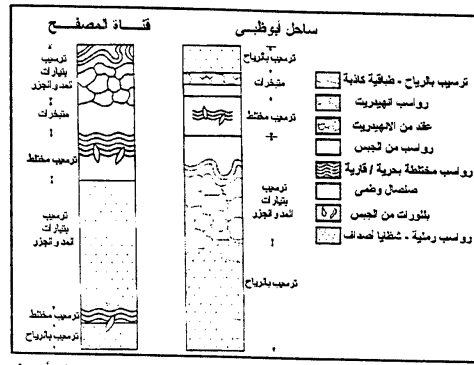
٤. تظهر على سواحل منطقة جبل الظنة والسواحل الصخرية المتاخمة لها ، بقايا مبعثرة لثلاثة المدرجات البحرية تظهر على تتفق مع نظيرتها التى سبق تمييزها على بعض سواحل الخليج^٢ ، على المناسيب الآتية :

- المدرج الأول (الأعلى) ١٨٠,٦ - ٢٠٠,٤٠ متر
- المدرج الثانى (الأوسط) ٦٠,٦٠ - ٨٠,٨٠ متر
- المدرج الثالث (الأسفل) ١٠,٧٠ - ٢٠,٣٠ متر



شكل (٣-٧) مقطع مورفولوجى فى إقليم السبخات الساحلية بإمارة أبوظبي .
(After: Kirkham, 1997)

² راجع مناسيب الدرجات البحرية بسواحل جزيرة صير بنى ياس ، وشبه جزيرة مسندم ، وجزيرة قشم الواردة فيه هذا الكتاب .



شكل (٤-٧) التتابع الطبقي للتكوينات الرسوبية في ساحل أبوظبي وقناة المصفح (After : Kirkham, 1997)

مراحل التطور الجيومورفولوجي :

نستنتج مما سبق أن إقليم السبخات الساحلية في إمارة أبوظبي قد تعرض لعدة مراحل من التطور الجيومورفولوجي كمحصلة للعلاقة بين اثنين من العوامل الجيومورفولوجية التي نستدل على تأثير كل عامل منها من خلال تمييز بعض الدلالات المورفولوجية والرسوبية التي يوضحها التتابع الطبقي لساحل أبوظبي (شكل ٤-٧) ، وهذين العاملين هما :

١. نشاط الترسيب بالرياح أثناء فترات الجفاف التي نستدل على وجودها بحقول الكثبان الرملية الحفرية المتحجرة .
٢. تأثير الترسيب البحري أثناء فترة الطغيان الفلاندري المصاحب لارتفاع مستوى المياه في الخليج العربي ، وتحول نطاق السبخات الساحلية أثناء هذه الفترة إلى بحيرات ساحلية ، التي يفصلها عن مياه الخليج حواجز بحرية طولية موازية للساحل الحالي .

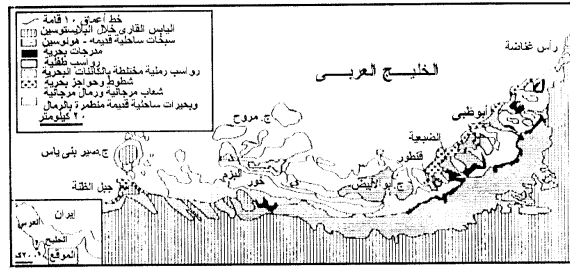
ومن خلال دراستنا للأدلة السابقة يمكننا اقتراح مراحل التطور الجيومورفولوجي لتأثير الذبذبات الخليج العربي خلال الزمن الرابع على سبخات أبوظبي الساحلية في النقاط التالية (أشكال ٣-٧ ، ٤-٧ ، ٥-٧) :

١. يتفق أقصى امتداد لتأثير الطغيان البحرى لمياه الخليج العربى فى بابس إمارة أبوظبى مع الهوامش الداخلية للسبخات الساحلية بالإقليم ، الذى حدث منذ حوالى أربعة آلاف سنة (Evans et al., 1969) ، ويتكون هذا النطاق من شريط ساحلى يبلغ متوسط اتساعه حوالى ٤ كم يمتد موازياً لخط الساحل الحالى ، فيما عدا سبخة مطى التى يتجاوز اتساعها مائة كيلومتر ، وساعد ارتفاع مستوى الخليج على امتلاء مجموعة من المنخفضات الساحلية بمياه الخليج (Fairbridge, 1961, Kassler, 1973 & Al-Farraj, 2002)

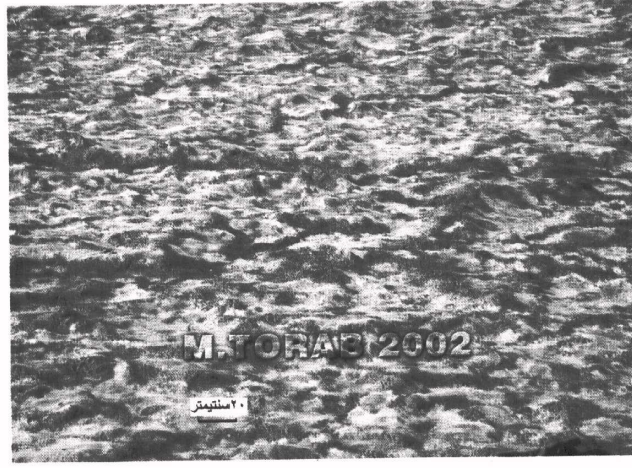
٢. أثناء انحسار البحر وتراجع ترك ورائه مجموعة من الحواجز البحرية المتوازية ، والألسنة البحرية المتكونة بإعادة ترسيب رمال الكثبان ، كما برزت بعض هذه الحواجز والألسنة فوق صفحة مياه الخليج على شكل جزر محدودة الارتفاع .

٣. عقب عملية انحسار وتراجع البحر تحولت مجموعات البحيرات الساحلية المحصورة فيما بين الساحل القديم وبين الحواجز والألسنة البحرية إلى سبخات ساحلية موسمية *Seasonal Sabkha* ، ومستنقعات *Swamps* ، وبرك *Ponds* تنغمس بمياه الخليج أثناء فترات الجزر ، وهبوب العواصف ، أو بمياه الأمطار الفجائية ، وتتراكم على سطوحها الرواسب المتباينة المصادر (بحرية بتيارات المد والجزر والأمواج ، رملية منقولة بالرياح ، فيضية منقولة على بطون الأودية) .

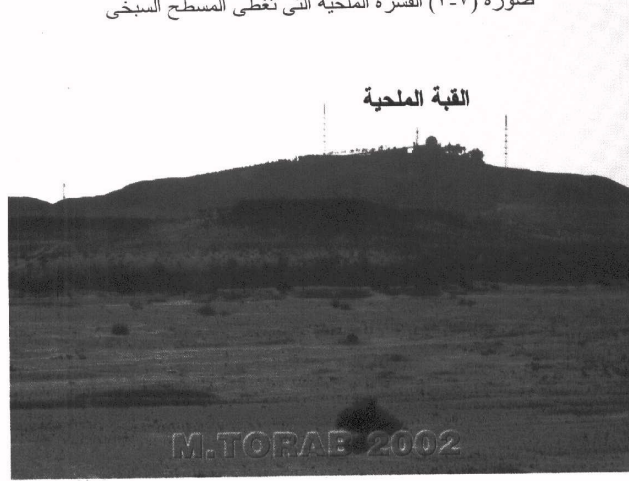
٤. تتعاقب الأشكال الجيومورفولوجية المتبقية عن عملية الانحسار البحرى من الأقدم للأحدث ، بالاتجاه من داخل النطاق السبخى نحو الساحل المتراجع ، أى من الغرب للشرق ، فأقدم هذه الظواهرات يتمثل على الهامش الداخلى للسبخة عند التقاءه بالكثبان الرملية ، وأحدثها متاخماً لخط الساحل الحالى (شكل ٧-٣) .



شكل (٧-٥) الظاهرات الجيومورفولوجية المتكونة خلال الزمن الرابع على السبخات الساحلية لإمارة أبوظبي
(After: Kendall, Al-Sharhan & Cohen, 2002)



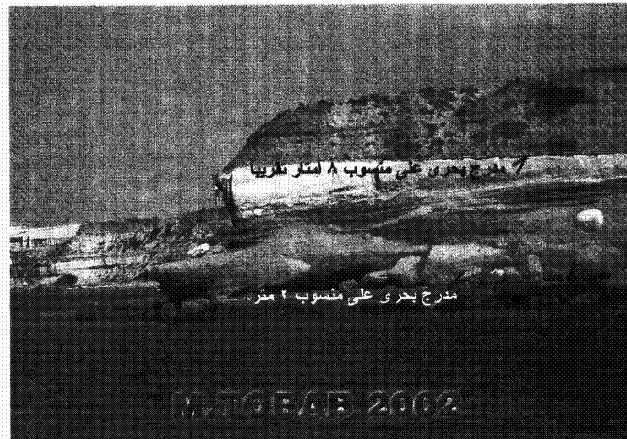
صورة (٣-٧) القشرة الملحية التي تغطي المسطح السبخي



صورة (٤-٧) منظر عام للقبة الملحية في جبل الظنة



صورة (٥-٧) ثلاث مدرجات بحرية تظهر على مناسيب ١٩ و ٨,٣٠ و ١,٩٠ متر ، على الجانب الشرقي لميناء جبل الظنة



صورة (٦-٧) مرجان بحريان يظهران عند مدخل ميناء جبل الظنة

قائمة المراجع :

أولاً : مراجع باللغة العربية :

١. محمد مجدى تراب، أشكال الصحارى المصورة ، الإسكندرية، ١٩٩٦.

ثانياً : مراجع بلغات أجنبية :

1. **Al-Farraj,A.M.,2002:**
Sabkha and Coastal Plain Development and Evolution on The Northeastern Coast of the U.A.E. Gulf Coast, In: Barth & Khuwer (Eds.) Sabkha Ecosystems, Kluwer Academic Publishers, Netherlands , pp.315-321.
2. **Darwish,A.H. and Conley, C.D., 1989:**
Pleistocene-Holocene Sedimentation and Diagenesis Along the King Fahd Causeway between Saudi Arabia and Bahrain, JKAH Earth Science, Vol.3.Special Issue 1st Saudi Symposium on Earth Sci. Jeddah,pp.63-79.
3. **Evans, G. and Kirkham, A.,2002:**
Distribution of Sabkhat Within the Arabian Peninsula and the Adjacent Countries, The Abu Dhabi Sabkha In: Barth & Khuwer (Eds.) Sabkha Ecosystems, Kluwer Academic Publishers, Netherlands pp.7-20.
4. **Evans, G., Schmidt,P. , Bush., H. Nelson, 1969:**
Stratigraphy and Geological History of the Sabkha, Abu Dhabi, Persian Gulf, Sedimentology, V.12,P.145-159.
5. **Farbridge,R.W., 1961:**
Eustatic Changes in Sea-Level, Physics and Chemistry of the Earth ,V.4,pp.99-185.

6. **Kassler,P., 1973:**
The Structural and Geomorphic Evolution of the Persian Gulf , In Purser,B.H. (Ed.)The Persian Gulf , Berlin, Springer-Verlag,pp.11-32.
7. **Kendall,C.G., Al-Sharhan,A.,S. & Cohen, A., 2002:**
The Holocene Tidal Flat Complex of the Arabian Gulf Coast of Abu Dhabi, In Barth & Khuwer (Eds.) Sabkha Ecosystems, Kluwer Academic Publishers, Netherlands,pp.21-35.
8. **Kirkham,A.,1997:**
Shoreline Evolution, Aeolian Deflition and Anhydrite Distribution of the Holocene, Abu Dhabi,Geo-Arabia,Vol.2,No.4,Gulf Petro-Link, Bahrain, pp.403-416

البحث الثامن

شواهد تغيرات مستوى سطح البحر خلال الزمن الرابع
على سواحل جزيرة صير بنى ياس

البحث الثامن

شواهد تغيرات مستوى سطح البحر خلال الزمن الرابع على سواحل جزيرة صير بني ياس

مقدمة :

تقع جزيرة صير بني ياس^١ في مواجهة رأس جبل الظنة بالجزء الغربي من ساحل إمارة أبوظبي التابعة لدولة الإمارات العربية المتحدة ، عند تقاطع دائرة عرض ٢٤°٣٤' شمالاً مع خط طول ٥٢°٤٠' شرقاً ، وتبعد عن الساحل بحوالي ثمانية كيلومترات ، وتبلغ مساحتها حوالي ٢٣٠ كيلومتر مربع ، وأضيفت إليها جزيرة صناعية بمساحة ١٠ كم^٢ تستغل في زراعة الخضروات والفاكهة ومحطة للتجارب الزراعية ، وبذلك تتبوأ جزيرة صير بني ياس المركز الثالث بين جزر دولة الإمارات من حيث المساحة (أشكال ٨ - ١ ، ٨ - ٢) .

وتبدو الجزيرة على شكل بيضاوي مسحوب إلى اتجاه اليمين ، ولذلك فهي تظهر على الخرائط على شكل قطرة من الماء كأنها تتساق نحو خط الساحل عند منطقة جبل الظنة ، وعلى ذلك يبلغ طول الجزيرة عند محورها الشمالي / الجنوبي حوالي ١٠ كم ، أما عرضها الممتد من الشرق للغرب فلا يتعدى أكثر من ٨ كم (شكل ٨ - ٣) .

تاريخ الاستيطان البشري في الجزيرة :

تبوح عمليات التنقيب الأثري التي أجريت في أنحاء متفرقة من الجزيرة أنها كانت موطناً للاستيطان البشري منذ حوالي سبعة آلاف سنة ، إذ تمكنت بعض البعثات الأثرية من العثور على بعض الأدوات الحجرية كان يستخدمها سكان الجزيرة الأوائل في الصيد والقنص خلال العصر الحجري ، وأشارت نتائج تأريخ عمرها بالعناصر المشعة أنها ترجع لفترة زمنية تتراوح بين ٥ و ٧ آلاف سنة من الوقت الحاضر ، واستمر استقرار السكان في الجزيرة حتى نهاية العصر

^١ تعني كلمة صير رقعة من الأرض يمتلكها شخص بالميراث ، أو على المناطق الصخرية المرتفعة ، كما تطلق باللهجة الإماراتية المحلية على المكان الذي تتوفر به المياه العذبة (هيئة لبحث البيئة والحياة لفطرية وتتميتها ، بدون تاريخ ص ١) .

الإسلامي ، إذ اكتشفت آثار لثلاث قرى ترجع إلى أوائل القرن التاسع عشر ، هي قرية "عوافي" على الساحل الغربي للجزيرة ، وقرية "الضهير" و "الدنان" على ساحلها الشمالي ، كما تم التنقيب على بقايا مسجد قديم وبعض الأبار والقنوات المائية المحفورة بغرض ري المزارع وشجيرات الزيتون ونخيل النمر ، وكان يحترف سكان هذه القرى صيد الأسماك والغوص لاستخراج محار اللؤلؤ ، ولكن هجر سكان الجزيرة قراهم العامرة ورحلوا عنها منذ حوالي مائة عام ، بعد جفاف الأبار وانقطاع الغيث بعد تحول المناخ للجفاف (صورة ٨-١ ، شكل ٨-٤) (Potts, D.T., 1997).

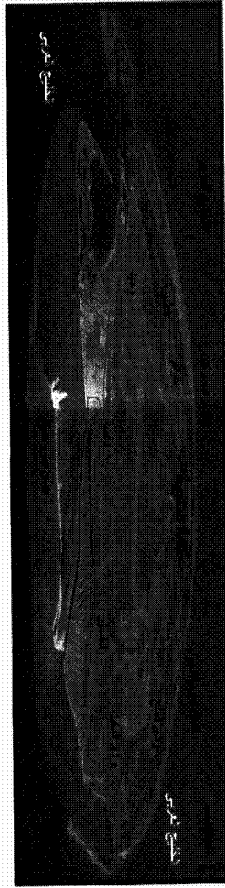
وتم تحويل الجزيرة إلى محمية طبيعية عام ١٩٧٠ وجعلها ملاذا ومونلا لحماية بعض الحيوانات والطيور المهددة بالانقراض ، وهي تضم أكثر ٦٠ ألف رأس تنتمي لنحو ٢٢ نوع من الحيوانات البرية خاصة المها العربي والزراف والأبائل والكباش الأغنام البرية وطيء الماء والبقر الوحشى ، وحوالى ٨٦ نوعاً من الطيور من بينها الحبارى والنعام والسمن والشكور والبلابل والبوط وغيرها (شكل ٨-٥ ، صورة ٨-٢) .



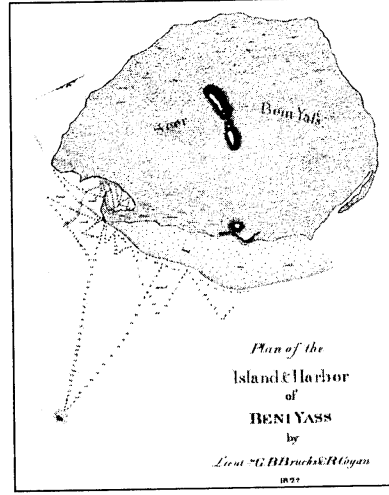
شكل (٨-١) الموقع الجغرافي لجزيرة صير بني ياس



شكل (٨-٢) ملامح الجزيرة الخضراء تكسوها مزارع القواكه التي أضيفت
بردم الأجزاء الجنوبية من جزيرة صير بني ياس
المصدر: Vine, P., 1999 p.41



شكل (٨-٣) صورة جوية مائلة توضح الملامح الجغرافية للجزيرة



شكل (٨-٤) خريطة تاريخية كانت تستخدم في الملاحة البحرية على سواحل جزيرة صير بني ياس عام ١٨٧٧ ويظهر بها اللسان البحرى الجنوبى الذى يستخدم فى الوقت الحالى كمرفأ للقوارب- المصدر: Vine, P., 1999 p.14

الهدف من الباحث وأساليبه ووسائله :

تعتمد الدراسة الحالية على الرفع الميداني للشواهد والأدلة المتبقية عن الذبذبات المناخية التي حدثت في الزمن الرابع ، باستخدام أساليب التصوير الرقمي سواء الفوتوغرافي أو بأشرطة الفيديو^١ ، باتباع أسلوب الحصر الشامل لسواحل الجزيرة ووحداتها الجيومورفولوجية الأخرى ، وتمت هذه العملية من

^١ بلغ عدد الصور الفوتوغرافية الرقمية Digital Photography حوالي ٥٠٠ صورة مقسمة إلى ١٤ موقع ميداني ، ويرتبط كل موقع منها بفيلم فيديو قصير Video Clip مدته حوالي ١٠ دقائق وهو يشتمل على ملامح أحد المواقع بالجزيرة مع تسجيل الملاحظات الميدانية صوتياً أثناء التصوير ، مع تحديد الموقع الميداني وتزميزه على خريطة أساس Base Map. مستمدة من مرئية فضائية (NASA-Challenger) مأخوذة في ٢٤ أكتوبر ٢٠٠١ بمقياس ١ : ١٠٠٠٠

خلال زيارتين ميدانيتين تمت خلال شهر مايو ٢٠٠٢^١، واستغرقت كل زيارة منهما يومى عمل، تنقل خلالها بسيارة دفع رباعى. وقام الباحث بإعادة تفرغ وفرز البيانات وتبويبها مكتبياً قبل توقيع النتائج على مرنية فضائية حصل عليها من إدارة المحمية الطبيعية بالجزيرة.

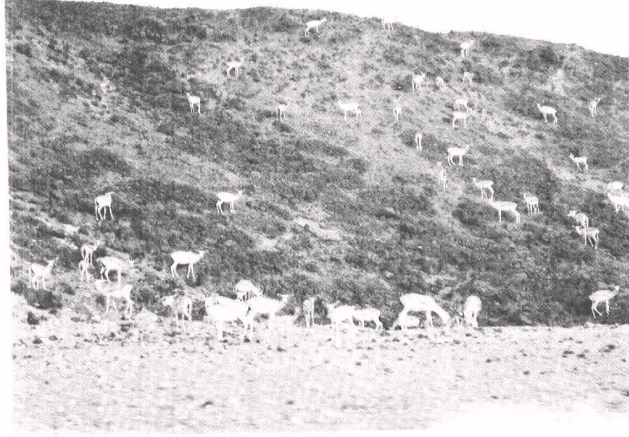
الدراسات السابقة :

لم تنل جزيرة صير بني ياس بحظها من الدراسات التفصيلية التى تعنى بتتبع مظاهر تذبذب سطح البحر، ولكنها كانت مسرحاً للعديد من الدراسات التى تناولت الخصائص الترسيبية لسواحل الجزيرة ضمن أعمال تناولت سواحل إمارة أبوظبي وسبخاتها، أو اهتمت بسواحل دولة الإمارات أو الخليج العربى بصفة عامة، ومن أهمها الدراسة الرائدة التى قدمها (Purser, B.H., et al, 1973) والتى تشتمل على ٢١ بحث يتناول خصائص رسوبيات المياه الضحلة لسواحل الخليج خلال عصر الهولوسين وهى دراسات معمقة استفاد الباحث منها كثيراً عند إعداد هذه الدراسة، والمجلد الذى أصدره المكتب الإقليمى لليونسكو فى الخليج بالتعاون مع هيئة أبحاث البيئة والحياة الفطرية وتنميتها بدولة الإمارات، وقام بجمع وتحرير بحوثها والتعليق عليها (Bath, H & Boer, B., 2002)، ويضم هذا المجلد حوالى ٣٠ بحث تتناول خصائص النظم الحيوية فى سبخات شبه الجزيرة العربية والدول المتاخمة لها.

^١ وفرت إدارة المحمية الطبيعية بالجزيرة مشكورة الإقامة والإعاشة الكاملة لثناء الزيارتين، ولمنته بسيارة دفع رباعى مع مرافق من العاملين بالمحمية، كما سمحت له بالتنقل فى أنحاء الجزيرة بلا قيود، وأسنته ببعض البيانات اللازمة لإجازة هذا البحث. كما قدم الباحث بدوره لإدارة المحمية خريطة سياحية قام بإنشائها للمعالم الجغرافية للجزيرة بنسختين إحداهما باللغة العربية والثانية باللغة الإنجليزية.



صورة (٨ - ١) قناة مائية قديمة كانت تستخدم في ري المزارع
في العصر الإسلامي ، مصدر الصورة :
<http://www.adias-uae.com/adiasgallery.html>



صورة (٨ - ٢) قطيع من الغزال العربي تمرح طليقة
على سفوح القبة الملحية التي تتوسط الجزيرة

الخصائص الطبيعية :

تتوسط الجزيرة قبة ملحية تشكل عمودها الفقري على شكل دائرة يبلغ قطرها حوالي ٤ كم ، ويصل منسوب قممتها لنحو ١٥٠ متر ، تحرزها مجموعة من المسيلات الجبلية الإشعاعية ، وشاركت هذه النظم الفيضية في بناء نطاق من الباهادا أو الباجادا مكونة من المواد الرسوبية المنقولة بالماء الجارى سواء خلال الفترات المطيرة من الزمن الرابع أو أثناء السيول المتساقطة خلال فترات الجفاف الحالية .

كما تتحدد سواحل الجزيرة بسهل ساحلى تختلط به حبيبات الطفل الفيضى مع الرسوبيات البحرية التى تتألف من شظايا الأصداغ و المحاربات والشعاب المرجانية وهياكل الكائنات البحرية المتكلسة مع حبيبات الرمل والحصى والحصباء والكتل الحجرية المجواه (أشكال من ٨ - ٦ إلى ٨ - ٨) .

صحیفہ جزیرہ: سیر بنی یاس



شكل (5-8) الملاحج الجرفيحية الجزيرة (مسح ميداني للباحث)



شكل (٨-٦) تصنيف الرواسب السطحية على قاع الخليج في المنطقة المحصورة بين جزيرة صير بني ياس وجبل الظنة
المصدر: بتصرف عن (Purser, 1973 p.173)

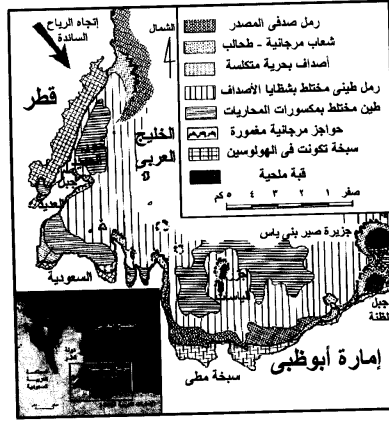


شكل (٨- ٧) صورة جوية مائلة *oblique* توضح ملامح بعض الألسنة والحواجز البحرية على السواحل الجنوبية الشرقية للجزيرة
المصدر : Vine, P., 1999 p. 109

وتنتشر على سواحل الجزيرة الشرقية والغربية مجموعة من الحواجز البحرية *Marine Bars* ، تبدو موازية لخط الساحل ويصل امتداد بعضها لأكثر من ثلاثة كيلومترات ، وتحصر بينها وبين يابس الجزيرة بحيرات ساحلية *Lagoons* ضحلة تستغل بعد تحويل الجزيرة إلى محمية طبيعية في تربية بعض الطيور المائية واستكثارها.

وتمتد من يابس الجزيرة ألسنة بحرية *marine Spits* ، تتميز بارتفاع منسوبها عن مستوى سطح البحر الحالي بحوالي المترين ، و تتألف من الرمل الدقيق الحبيبات مندمج مع مكسورات وشظايا الأصداف والمحاريات والشعاب

المرجانية والطحالب ، تختلط بها بعض الحصوات والكتل الصخرية تميل ألوانها للاحمرار ، مما يشير إلى أنها قد نقلت من القبة الملحية مع اندفاع السيول . وتسهم تيارات المد الجزر التي يعاد توجيهها بالتيار البحري في تعديل المظهر المورفولوجي لبعض الألسنة ، حيث انتشاء أحد هذه الألسنة وتحويله إلى خطاف بحري Hook يفصله عن يابس الجزيرة خليج دائري يستغل كمرسى للقوارب (شكل ٨ - ١٣) .

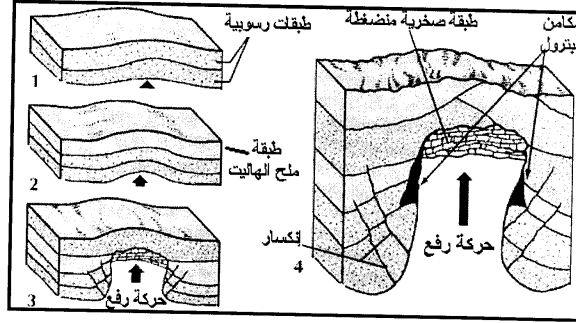


شكل (٨ - ٨) تصنيف الرواسب السطحية على قاع الخليج العربي فى المنطقة المحصورة بين جزيرة صير بني ياس وشبه جزيرة قطر
المصدر: بتصرف عن (Purser & Evans , 1973, p.213)

التطور الجيومورفولوجي للجزيرة :

تعد القبة الملحية التي تتوسط الجزيرة أقدم أجزائها وتشكل عمودها الفقري الذي نمت حوله خلال تاريخها الجيولوجي ، تعرضت الجزيرة لعدة مراحل من التطور الجيومورفولوجي منذ بداية تكوينها حتى الوقت الحالي ، وشاركت في تكوين الجزيرة وتحديد مظهرها المورفولوجي العام مجموعتين من العوامل :

أولهما : العوامل الجوفية أو التكتونية ، وهي التي ساهمت في بروز لبنيتها الأولى ، حيث برزت قبتها الملحية بتأثير تعرض بعض الطبقات التي تحتوى على ترسبات من الأملاح لقوى الضغط الجوفية *Tectonic Forces* ، فتعمل على بروزها ورفعها نحو سطح الأرض (شكل ٨-٩) .



شكل (٨ - ٩) مراحل تكوين القباب الملحية

ثانيهما : العوامل الخارجية وهي تنقسم بدورها إلى ثلاث مجموعات فرعية من العوامل الخارجية هما :

١- عوامل التعرية : وهي تتمثل بصورة أساسية في تساقط الأمطار القديمة على القبة ، وساهم جريان مياه المطر سطحياً في حفر بعض القنوات المائية والمسيلات الجبلية *Gullies* الإشعاعية ، التي تنبع من القمة الجبلية للقبة وتصب عند سواحل الجزيرة ، وشاركت هذه

النظم الفيضية القديمة فى بناء النطاق الرسوبى الذى يحيط بالقبة الملحية (الياهاد) *Bahada* أو الباجادا (*Bajad*). ولكن مع تحول المناخ إلى الجفاف تغير نظام جريان هذه الشبكة إلى الجريان الموسمي المنقطع المرتبط بتساقط السيول الفجائية النادرة الحدوث. أما التعرية البحرية فكان لها تأثيراً كبيراً فى تعديل المظهر المورفولوجي لسواحل الجزيرة وبناء سهولها الساحلى من ناحية وتكوين نطاق من حواجز الشعاب المرجانية التى تحيط بسواحلها واختلاط الرواسب البحرية المصدر مع الرواسب القارية المنشأ سواء المجواه أو الفيضية أو المنقولة بفعل الرياح (شكل ٨-١٠).

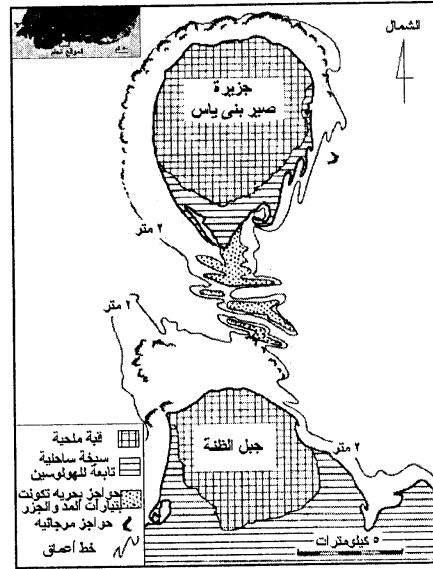


شكل (٨ - ١٠) صورة جوية رأسية لجزيرة بني ياس توضح ملامحها الجيومورفولوجية خلال النصف الثاني من القرن العشرين
(غير محددة التاريخ) مصدر الصورة: Purser, 1973 p.18

٢- تغيرات مستوى سطح المياه في الخليج العربي : هناك نوعان من الذبذبات في مستوى سطح المياه هما :

- التغيرات التي تحدث بصورة يومية بتأثير تيارات المد والجزر والتي ساهمت ولاتزال تشارك - إلى جانب الأمواج والتيارات البحرية - في إعادة توجيه الرواسب البحرية ونقلها سواء من المسطح البحري نحو الجزيرة مع تيار المد ، أو العكس أي من يابس الجزيرة نحو مسطح الخليج مع تيار الجزر ، ولذلك في تسهم في تشكيل الملامح المورفولوجية لسواحل الجزيرة وتكوين بعض الظواهر المنتشرة على سواحل الجزيرة والقاع الضحل المتاخم لها مثل اللسنة البحرية *Marine Spit* والحوجز البحرية الرملية والحصوية *Sand & Shingle Bars* ، سواء البارزة فوق سطح البحر بصفة دائمة أو التي تظهر أثناء فترات الجزر فقط ، والمغمورة تحت سطح المياه بصفة دائمة ، وينتشر هذا النوع من الحواجز المغمورة على القاع الضحل المحصور بين يابس الجزيرة وساحل منطقة جبل الظنة (شكل ٨-١١) ، سهول الشاطئية الرملية والحصوية *Sand & Shingle Beaches* والبحيرات الساحلية *Lagoons* والسبخات الساحلية *Coastal Sebkhah* وغيرها^١.

^١ للدراسة التفصيلية في ظواهر التحت والإرساب البحري راجع : محمد مجدى تراب ، أشكال السواحل المصورة ، منشأة المعارف ، الإسكندرية ، ١٩٩٧ .

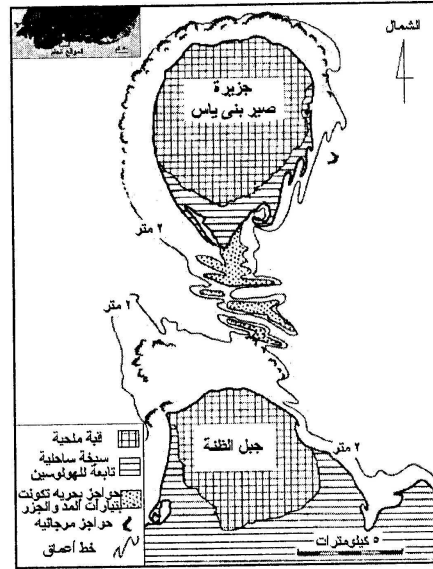


شكل (٨- ١١) الحواجز البحرية المغمورة على قاع الخليج في المنطقة المحصورة بين جزيرة بني ياس وجبل الظنة والسبخات الساحلية التي تكونت في عصر الهولوسين - المصدر: Loreau, & Purser, 1973 p.288

- التغيرات التي حدثت في مستوى سطح مياه الخليج خلال الزمن الرابع بتأثير التغيرات المناخية ، وهي التي سنركز عليها في بحثنا هذا ، التي كان لها تأثيراً واضحاً في مورفولوجية الجزيرة ورسم سواحلها بل واتصالها باليابس خلال بعض فترات انخفاض مستوى سطح الخليج إلى مادون المترين أو الأمتار الخمسة في

بعض الفترات ، وهو أقصى عمق للمنطقة التي تفصل الجزيرة عن اليابس المتاخم لها (شكل ٤ ب- ١١) .
ولذلك تنقسم الشواهد الجيومورفولوجية الناتجة عن تذبذب مستوى سطح البحر إلى نمطين هما : الأدلة الناتجة عن التغيرات الموجبة أى ارتفاع مستوى المياه الناجم عن الدفء وارتفاع درجة حرارة الغلاف الجوى وذوبان بعض الكتل الجليدية من المناطق القطبية وشبه القطبية وإضافتها للمساحات البحرية فى العالم وهى التى تمكن الباحث من رصدها على سواحل الجزيرة ، والنمط الثانى هو الشواهد الناجمة عن التغيرات السالبة أى انخفاض مستوى المياه المصاحب للفترات المناخية الباردة مما يسهم فى انحباس جزء من المياه على القمم الجبلية فى العروض الباردة فى صورة قلسوات وغطاءات *Ice Caps & Ice Sheets* من الثلج فتتخفص من مستويات البحار العالمية ومن بينها الخليج العربى ، ولذلك فهى مغمورة تحت مستوى سطح البحر الحالى ، ولم يتمكن الباحث بالوسائل التى أتاحت له من رصدها ودراستها .

٣-التغيرات البشرية : وهى تشمل على التدخلات البشرية التى حدثت سواء خلال مراحل الاستيطان البشرى القديمة أو الناتجة عن تحويلها لمحمية طبيعية للمحافظة على بعض الحيوانات والطيور من الاندثار ، وتشتمل على إنشاء المراسى لرسو القوارب والمنائر لإرشادها أثناء الإبحار ، أو حفر آبار المياه داخل اليابس وتمهيد ونقل الرواسب الفيضانية من بطون الأودية وسهل الباجادا نحو ساحلها الساحلى، وتعديل بعض ملامح خط الساحل (شكل ٨- ١٢) .

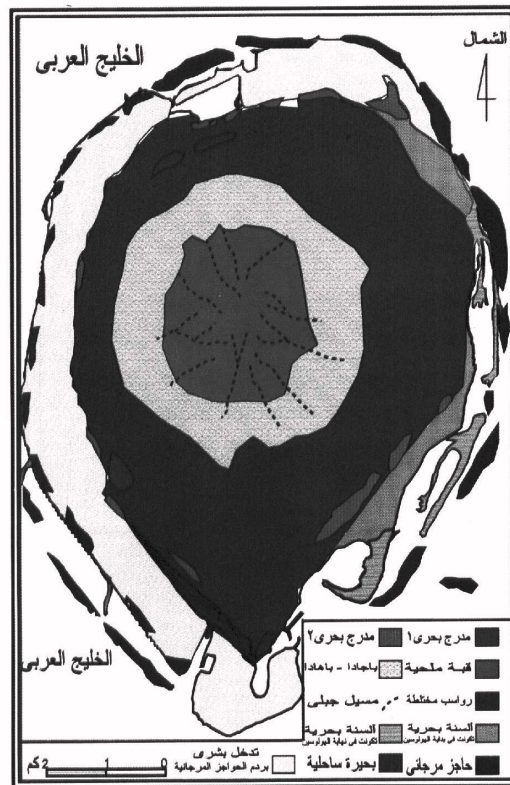


شكل (٨ - ١١) الحواجز البحرية المغمورة على قاع الخليج في المنطقة المحصورة بين جزيرة بني ياس وجبل الظنة والسبخات الساحلية التي تكونت في عصر الهولوسين - المصدر: Loreau, & Purser, 1973 p.288

- التغيرات التي حدثت في مستوى سطح مياه الخليج خلال الزمن الرابع بتأثير التغيرات المناخية ، وهي التي سنركز عليها في بحثنا هذا ، التي كان لها تأثيراً واضحاً في مورفولوجية الجزيرة ورسم سواحلها بل واتصالها باليابس خلال بعض فترات انخفاض مستوى سطح الخليج إلى مادون المترين أو الأمتار الخمسة في

بعض الفترات ، وهو أقصى عمق للمنطقة التي تفصل الجزيرة عن اليابس المتاخم لها (شكل ٤ ب- ١١) .
ولذلك تنقسم الشواهد الجيومورفولوجية الناتجة عن تذبذب مستوى سطح البحر إلى نمطين هما : الأدلة الناتجة عن التغيرات الموجبة أى ارتفاع مستوى المياه الناجم عن الدفء وارتفاع درجة حرارة الغلاف الجوى وذوبان بعض الكتل الجليدية من المناطق القطبية وشبه القطبية وإضافتها للمساحات البحرية فى العالم وهى التى تمكن الباحث من رصدها على سواحل الجزيرة ، والنمط الثانى هو الشواهد الناجمة عن التغيرات السالبة أى انخفاض مستوى المياه المصاحب للفترات المناخية الباردة مما يسهم فى انحباس جزء من المياه على القمم الجبلية فى العروض الباردة فى صورة قلعسوات وغطاءات *Ice Caps & Ice Sheets* من الثلج فتتخض من مستويات البحار العالمية ومن بينها الخليج العربى ، ولذلك فهى مغمورة تحت مستوى سطح البحر الحالى ، ولم يتمكن الباحث بالوسائل التى أتاحت له من رصدها ودراستها .

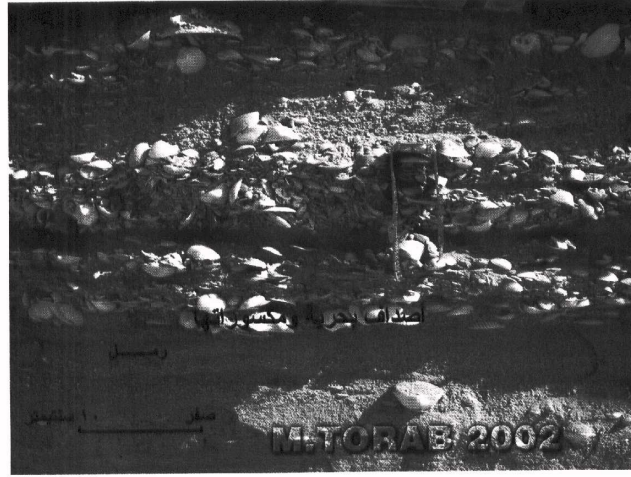
٣-التغيرات البشرية : وهى تشمل على التدخلات البشرية التى حدثت سواء خلال مراحل الاستيطان البشرى القديمة أو الناتجة عن تحويلها لمحمية طبيعية للمحافظة على بعض الحيوانات والطيور من الاندثار ، وتشتمل على إنشاء المراسى لرسو القوارب والمنائر لإرشادها أثناء الإبحار ، أو حفر آبار المياه داخل اليابس وتمهيد ونقل الرواسب الفيضية من بطون الأودية وسهل الباجادا نحو ساحلها الساحلى، وتعديل بعض ملامح خط الساحل (شكل ٨- ١٢) .



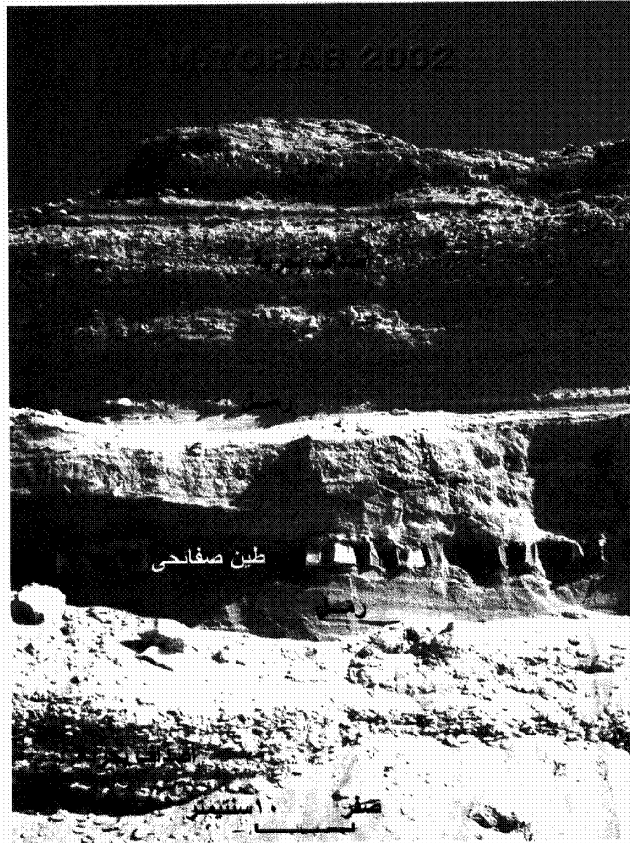
شكل (٨ - ١٣) الوحدات المورفولوجية في جزيرة بنى ياس من إنشاء الباحث بتوقيع نتائج الدراسة الميدانية على مرئية فضائية (NASA-Challenger) مأخوذة في ٢٤ أكتوبر ٢٠٠١



صورة (٣-٨) مدرج منسوبه ٨٠٢٠ متر في منطقة خضيرة على الساحل الغربي للجزيرة ناظراً في اتجاه الشمال



صورة (٤-٨) منظر تفصيلي يوضح انتشار الأصداف البحرية ومكسوراتها في مدرج خضيرة



صورة (٨-٥) مقطع تصويري في رواسب مدرج خضيرة يوضح تتابع الأفاق المتكونة من الرمل وطين الصفاحي والأصداف البحرية

- تتشابه مكونات المدرج السفلى (الأحدث) مع نظيرتها الأقدم لكنها تتميز عنها بانتشار بعض الحصى والكتل الصخرية تتراوح أقطارها بين سنتيمتر واحد إلى ١٨ سنتيمتر ، وتختلف ألوانها بين اللون الرمادي الفاتح إلى الأحمر المتباين التدرجات ، ويؤرجح أن بعض هذه الكتل قد نقلت من القبة الملحية مع اندفاع الجريان السطحي ، ثم أعيد نقلها بالتدحرج أو الجر *Attrition* ، وإعادة ترسيبها مع حركة الأمواج ، إذ أن أشكالها تتميز بالتفطح - أي أنها دائرية الشكل وقليلة السمك ، مما يدل على تأثير هذه الكتل بالنحت البحري (صورة ٨-٦) .

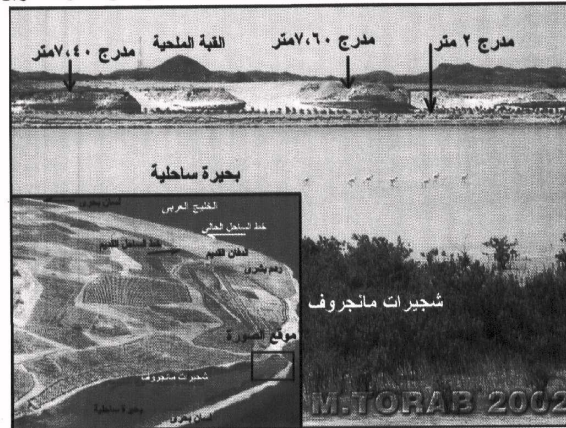
- تندمج في بقايا المدرجين البحريين قطع ومكسورات من الشعاب المرجانية الميتة ، ولوحظ وجودها بصفة خلسة في البقايا المتمثلة على السواحل الشمالية للجزيرة ، في منطقتي وادي الملح ووادي النخيل ، وربما يرجع ذلك إلى ملائمة الخصائص الطبيعية لمياه الخليج أثناء فترات تكوين هذين المدرجين لنمو حيوان المرجان ، مما يشير إلى أن حرارة مياه الخليج في هذه الفترات كانت مرتفعة بصورة تتشابه مع الوقت الراهن ، كما أن مياه الخليج كانت خالية من الشوائب والمواد العالقة التي تعوق نمو المرجان ، مما أدى إلى تركيز نمو المرجان القديم على السواحل الشمالية الأقرب من مسطح الخليج المفتوح ، حيث تقلل التيارات البحرية من تعلق حبيبات الطمي بمياه الخليج (أشكال ٨-٣ ، ٨-١٢ ، ٨-١٣ وصور ٨-٧ ، ٨-٨) .

- تظهر بقايا المدرجين البحرينيين على منسوب يتراوح بين ٦،٢٠ و ٨،٩٠ متر للمدرج الأعلى (الأقدم) ، وفيما بين ١،٧٠ و ٢،٢٠ متر للمدرج الأسفل (الأحدث) مما يشير إلى أن المدرج الأقدم ينتمي لفترة المدرج المونستييري التابع لأواخر عصر البلايستوسين ، وينتمي المدرج الأحدث لفترة المدرج الفلاندرى الحديث التابع لعصر الهولوسين ، وتقدير أعمارهما بحوالى ١٢٥ ألف سنة من الوقت الحاضر للمدرج العلوى ، وألف سنة للمدرج السفلى ، وذلك بمقارنة وربط مناسبيهما ببقايا المدرجات الأخرى التى سبق دراستها على سواحل البحر المتوسط وسواحل الخليج العربى وفقاً لدراسات (زوينر Zeuner, 1959).

- لم تظهر على سواحل الجزيرة على مستويات أعلى من المدرجين اللذين أمكن ملاحظتهما ، ما يشير إلى أن الجزيرة لم تتأثر بهذه الفترات بسبب صلابة تكوينات القبة الملحية وعدم استجابتها لعوامل النحت البحرى خلال هذه الفترات من عصر البلايستوسين .



صورة (٨- ٦) كتل مفلطحة تأثرت بالنحت البحري ، انتزعت بالأمواج الحالية من بقايا المدرج السفلي (الأحث) المتكون فوق اللسان البحري الجنوبي على منسوب مترين



صورة (٨- ٧) مدرجان بحريان على منسوب ٧,٦٠ و ٢ متر يظهران على الساحل الشمالي للجزيرة بالقرب من منطقة وادي النخيل ناظرًا للجنوب

٢- الألسنة البحرية القديمة :

توجد على سواحل الجزيرة ستة ألسنة بحرية ، تتفق جميعها في أنها متصلة بياض الجزيرة من جهة الشمال ، وتتجه بأطرافها نحو الجنوب ، وتفصلها عن يابس الجزيرة بحيرات ساحلية ضحلة ، تنمو على شطوطها الداخلية شجيرات المانجروف ، وتزداد كثافة هذه الشجيرات في البحيرات الشمالية والشرقية ، بسبب وقوعها في ظل التيار الغربي ، الذي يتهدى على السواحل الجنوبية للخليج العربي من الغرب إلى الشرق ، إلا أنه حينما يصطدم بكثلة الجزيرة تضعف قوته على جانبها الشرقي ، مما ساهم في زيادة معدلات الترسيب على سواحلها وألسنتها وحواجزها البحرية ، (أشكال ٨- ٣، ٨- ١٢، ٨- ١٣) .

ويستأثر الساحل الشرقي بثلاثة من الألسنة الستة التي تضمها الجزيرة ، ونصيب الجانب الغربي اثنين منها ، ويمتد لسان واحد منها بالقرب من طرفها الجنوبي ، وتتميز الألسنة الشرقية بزيادة أطوالها بالمقارنة بالألسنة الغربية ، إذ تتراوح أطوالها بين ٩٠٠ وثلاثة كيلومترات ، بينما لا يتعدى طول الألسنة الغربية أكثر من ٤٥٠ متر ، أما بالنسبة لعروضها فلا يتجاوز أعرضها ١٥٠ متر . إلى جانب اثنين من الحواجز البحرية تمتد موازية للساحل الشمالي والشمالي الشرقي .

وتتميز الألسنة الستة للجزيرة بارتفاع منسوبها بالمقارنة بمستوى سطح البحر الحالي بنحو المترين ، وتختص بمجموعة من الخصائص والسمات المورفولوجية نوجزها في النقاط التالية (صور من ٨- ٩ إلى ٨- ١٢):

١. يتشابه منسوب الألسنة الستة مع مستويات المدرج البحري السفلى الذي سبق تمييز بقاياه على سواحل الجزيرة .

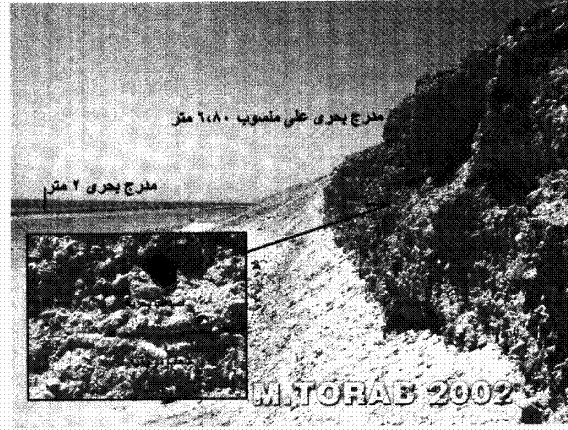
٢. تتألف مكونات الألسنة من الرمال المندمجة مع شظايا الأصناف البحرية والشعاب المرجانية والرخويات والطحالب بصورة مشابه لمكونات المدرج السفلى .

٣. تنتشر داخل تكوينات الألسنة كتل حجرية متفاوتة الأحجام ، مقطوعة الشكل ، تميل ألوانها للحمرة مما يشير إلى أنها قد نقلت من إقليم القبة الملحية بعوامل النقل الفيضي ثم إعادة الترسيب بالأمواج وتيارات المد والجزر ، بصورة مشابه تماماً للمدرج السفلى (صور ٨- ٩، ٨- ١٠، ٨- ١٢) .

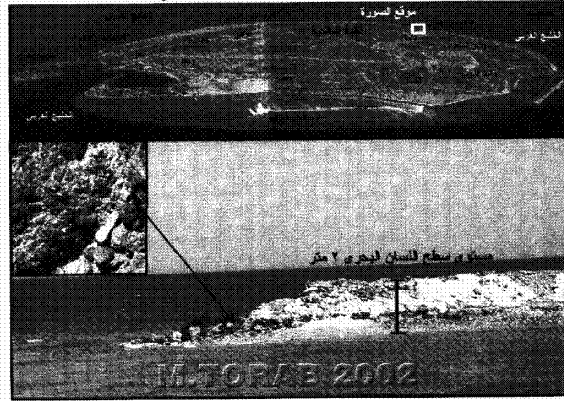
تستنتج مما سبق : أن مجموعة الألسنة والحواجز البحرية المتكونة على سواحل الجزيرة قد تشكلت خلال فترة زمنية معاصرة لفترة تكوين المدرج البحرى السفلى الذى سبق تمييز بقاياها على سواحل الجزيرة ، وتاريخه بفترة المدرج الفلاندرى التابع لعصر الهولوسين ويرجع عمره لحوالى ألف سنة من الوقت الحالى ، ويقتصر دور عوامل التعرية البحرية الحالية على مجرد إجراء بعض التعديلات الجيومورفولوجية المحدودة ونقل الرواسب الرملية الدقيقة الحبيبات وإعادة ترسيبها على السواحل الداخلية لهذه المجموعة من الألسنة والحواجز ، أو إنشاء الأطراف الخارجية للألسنة وتحويل بعضها إلى خطاطيف بحرية *Marine Hooks* .

الخاتمة :

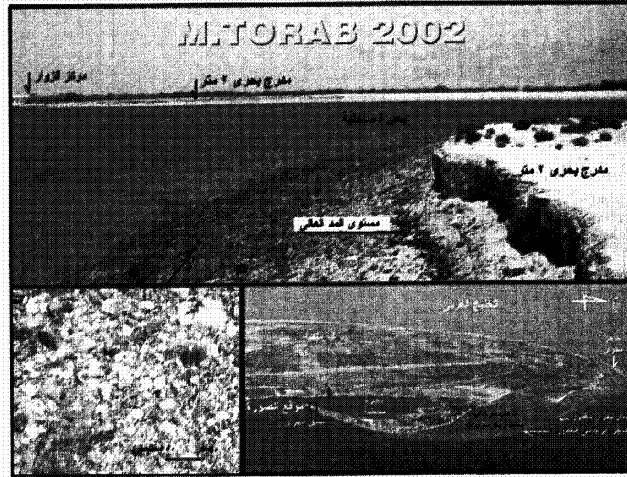
تأثرت سواحل جزيرة صير بنى ياس باثنين من فترات ارتفاع مستوى سطح الخليج العربى التى حدثت خلال الزمن الرابع نتيجة ارتفاع درجات حرارة الغلاف الجوى فى هذه الأثناء ، وكان من نتيجته ذوبان قسم من جليد العروض الباردة ، مما ساهم فى ارتفاع مناسيب الخليج العربى إلى مستوى يتراوح بين سنة وتسعة أمتار أعلى من مستواه الحالى ، وكان ذلك خلال فترة تكوين المدرج المونسترى منذ حوالى ١٢٥ ألف سنة من الوقت الحالى ، أما المستوى الثانى الأحدث فكان يرتفع مستواه بحوالى المترين عن منسوب سطح الخليج الحالى ، بما يتفق مع فترة الطغيان الفلاندرى الذى حدث منذ حوالى ألف سنة من الوقت الراهن .



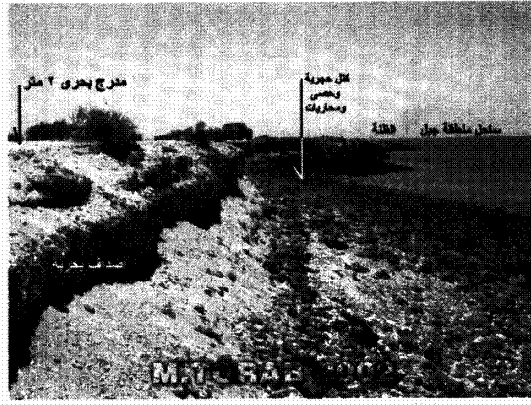
صورة (٨-٨) مدرج بحري يظهر على الساحل الشمالي للجزيرة على منسوب ٦٨٠ متر وتنتشر به بقايا الأصداف البحرية والشعاب المرجانية شرق منطقة وادي التخييل ناظرًا للغرب



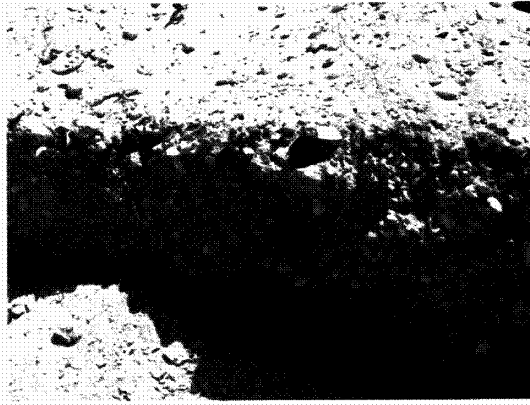
صورة (٨-٩) مورفولوجية اللسان البحري الغربي الثالث ، لاحظ ارتفاع مستواه بحوالي المترين عن منسوب سطح البحر الحالي وتكونه من الأصداف البحرية المختلطة بتكوينات القبة الملحية المائلة للحمرة.



صورة (٨- ١٠) مورفولوجية اللسان البحري الجنوبي للجزيرة الذي يظهر على ارتفاع مترين أيضاً وهو يتكون من شظايا الأصداف البحرية والشعاب والطحالب المختلطة بالرواسب البحرية والقارية سواء الفيضية منها أو المنقولة بالريح.



صورة (٨- ١١) الجانب المواجه لمياه الخليج المفتوحة للسان البحرى الجنوبى، لاحظ ارتفاع مستواه عن منسوب البحر الحالى بحوالى المترين.



صورة (٨- ١٢) الأفق العلوى من اللسان البحرى الذى يظهر فى الشكل السابق وهو يتركب من الأصناف البحرية المختلطة بالرمل والحصى المندمج

المصادر والمراجع :

أولاً : المصادر :

- ١ - مرئية فضائية تم تصويرها بمكوك الفضاء ، ومعالجتها في وكالة ناسا الأمريكية لأبحاث الفضاء (NASA-Challenger) مأخوذة في ٢٤ أكتوبر ٢٠٠١ ، بمقياس ١ : ١٠٠٠٠ .

٢ - <http://www.adias-uae.com/adiasgallery.html>

ثانياً : المراجع باللغة العربية :

- ٣ - محمد مجدى تراب ، ١٩٩٧ :
أشكال السواحل المصورة ، منشأة المعارف ، الإسكندرية ،
١٥٨ ص .

ثالثاً : المراجع باللغة الإنجليزية :

- 4- Bath, H & Boer, B., 2002:
Sabkha Ecosystems, Volume 1 : The Arabian Peninsula and Adjacent Countries, Kluwer Academic Publishers, London, 333P.
- 5- Loreau, J.P. & Purser, B.H., 1973 :
Distribution and Ultrastructure of Holocene Ooids in the Persian Gulf, In The Persian Gulf, Springer-Verlag, New York, pp.279-328.
- 6- Potts, D.T., 1997:
Before The Emirates: An Archaeological and Historical Account of Developments in the Region C.5000 BC to 676 AD, In Perspectives on the United Arab Emirates, Trident Press .
- 7-Purser, B.H. & Evans, G., 1973 :
Regional Sedimentation along the Trucial Coast, SE Persian Gulf, PP.211-233.

- 8- Purser, B.H., et al,1973:
The Persian Gulf, Holocene Carbonate Sedimentation and Diagenesis, Springer-Verlag, New York , 473p.
- 9- Vine,P.,1999:
Sir Bani Yas , In Depth Adventure Guide, Trident Press, 151P.
- 10-Zeuner,F.E., 1959:
The Pleistocene Period, 2nd ed., London.

البحث التاسع

أدلة تذبذب مستوى سطح البحر على سواحل
شبه جزيرة مُسندَم - سلطنة عُمان

البحث التاسع

أدلة تذبذب مستوى سطح البحر على سواحل شبه جزيرة "مُسندم" - سلطنة عُمان

الموقع الفلكي والجغرافي :

تقع شبه جزيرة "مُسندم" في أقصى الطرف الشمالي لسلطنة عُمان عند مدخل الخليج العربي (شكل ٩-١)، وتتحصر فيما بين دائرتي عرض ٢٥' ٤٠° و ٢٠' ٢٠° شمال خط الاستواء، وبين خطي طول ٥٦' ٠٥° و ٥٦' ٣٠° شرق جرنيتش. تنقسم محافظة "مُسندم" إلى أربع ولايات هي: "خَصْب" عاصمة المحافظة، بُخَاء، مضغاء، وتقع الولايات الثلاث على ساحل الخليج العربي، أما ولاية "دبا البيعة" فتطل على ساحل خليج عُمان.

الملامح الجغرافية :

تتخذ "مُسندم" شكل مثلث حاد الزوايا متساوي الساقين يطل برأسه على مضيق هرمز الاستراتيجي الذي يعتبر البوابة الرئيسية للخليج العربي، ويطل الساحل الشرقي لـ "مُسندم" على خليج عمان بشقة ساحلية مسننة بالأخوار والرووس البحرية الجرفية، أي تتشابه في مظهرها المورفولوجي مع سواحلها الغربية المطلة على الخليج العربي، تبدو على شكل مداخل بحرية "أخوار" شبيهة في مظهرها المورفولوجي بالفيوردات، ويرتبط كل خور أو مدخل بحري منها بأحد مصبات الأودية شبه الجافة الشديدة الانحدار، وعلى ذلك فهي تمثل مصبات غارقة لهذه الوديان، وتفصل بين هذه المداخل أو الأخوار رؤوس بحرية إصبعية المظهر، جرفية الانحدار، شديدة التهدل بحركات الطي والتصدع. وتتخذ شبه الجزيرة المظهر الهضبي بوجه عام، ولا يقل متوسط منسوبها عن ٨٠٠ متر، وتبرز منها العديد من القمم الجبلية أكثرها ارتفاعاً قمة جبل "حريم" التي تبلغ حوالي ٢٠٨٧ متر (شكل ٩-٢).

يبلغ عدد سكان محافظة "مُسندم" حوالي ٢٩ ألف نسمة عام ١٩٩٣، معظمهم من السكان المحليين بنسبة ٧٨,٢%، والنسبة الباقية للعمال الوافدين من بعض دول جنوب وجنوب شرق آسيا أهمها الهند وباكستان وبنجلاديش وأفغانستان، بالإضافة إلى نسبة محدودة من العمال العرب. تنخفض كثافة

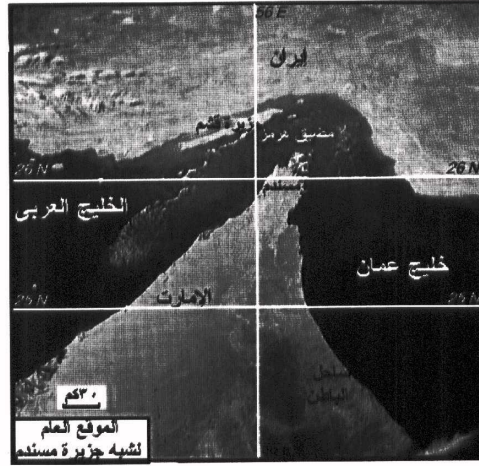
السكان بولاية مُسندم انخفاضاً واضحاً ، ولا تتعدى كثافة السكان بها أكثر من ١٦ نسمة / كم^٢ بسبب وعورة تضاريسها (محمد زهرة ، ٢٠٠٠ ص ١٠١) ، إذ يتبعثر السكان بأعداد محدودة في تجمعات حضرية تنتشر عند رؤوس الأخوار التي ترتبط مواضعها بمصببات الأودية شبه الجافة ، بسبب استخدامها كمرسى وملجأ لقوارب الصيد من ناحية، وتوافر المياه الجوفية ، وخصوصية تربة المراوح الفيضية الملازمة للزراعة من ناحية أخرى . كما تنتشر تجمعات مبعثرة من السكان على سطح الهضبة ، يتخذون من المساكن الحجرية أو المنحوتة في الحافات الصخرية مأوى لهم ، ويجمعون مياه الأمطار الشحيحة في خزانات محفورة على سطح الهضبة ، ويعملون في رعي الماعز بصفة أساسية .

الخصائص الجيولوجية :

يتألف نطاق رؤوس الجبال في أغلبه من الأحجار الجيرية بسمك إجمالي يصل لنحو ٢٥٠٠ متر ، وهي تتبع الزمن الجيولوجي الثاني ، وتتكون من طبقات تتألف بصفة أساسية من الحجر الجيري ، الدولوميت ، الحجر الرملي ، الكوارتز ، والطفل (Gelnine, K.W., et al., 1974) ، وتنقسم إلى ثلاث مجموعات وفقاً لدراسات "هدسون" (Hudson, R.G.S. et al, 1954 & 1959) ، ويلخص (جدول ٩-١) أهم خصائصها :

جدول (٩-١) التتابع الجيولوجي لمنطقة رؤوس الجبال

العمر الجيولوجي	اللون	السماك بالأمطار	المجموعة الصخرية
جوراسي - كريتاسي أسفل	رمادي غامق	١٠٠٠ - ١٥٠٠	١- مجموعة "مُسندم"
ترياسي أعلى ترياسي أوسط/أعلى	حمراء	٢٥٠ ١٥٠	٢- مجموعة الفنسستون ، وهي تنقسم إلى التكوينات التالية : (أ) تكوينات غليظة (ب) تكوينات ملاحية
ترياسي برمي	أصفر	٥٠٠ ٢٠٠	٣- مجموعة رؤوس الجبال وهي تنقسم إلى التكوينات التالية : (أ) تكوينات غايل (ب) تكوينات هاجل



شكل (٩-١) مرئية فضائية توضح الموقع الفلكي والجغرافي لشبه جزيرة "مُسندم"

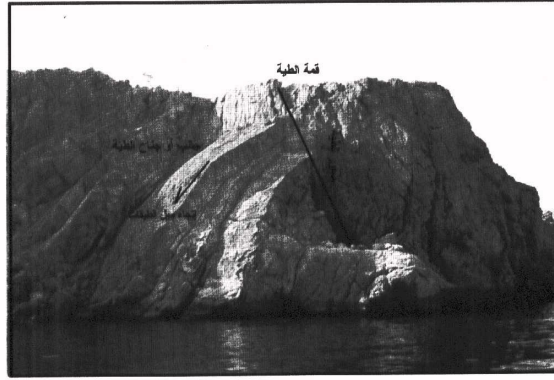


شكل (٩-٢) مرئية فضائية توضح الملامح الجغرافية لشبه جزيرة "مُسندم"

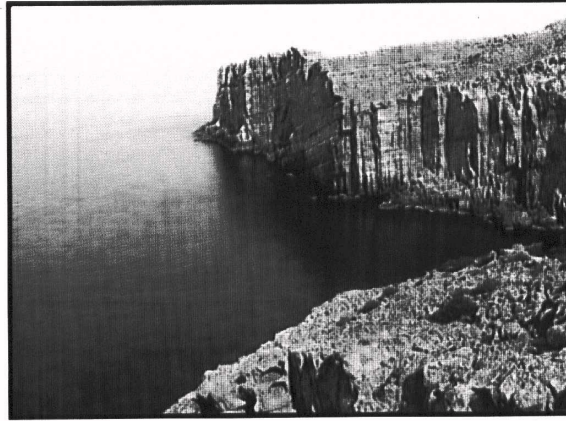
وتتميز الزمن الجيولوجي الرابع بفترات أو أدوار أرتفع خلالها مستوى سطح البحر إلى مستويات بلغ أقصاها ٩٠ أو ١٠٠ متر فوق مستواه الحالي أثناء فترات الدفء ، نتيجة انصهار جزء من الغطاءات الجليدية بالمناطق الباردة وقمم الجبال ومساهمة في ارتفاع منسوب البحار العالمية ، فغمر أجزاء كبيرة من سطح الأرض ومن بينها سواحل شبه جزيرة "مُسنَدم" ، وترك عليها العديد من الشواهد والأدلة التي تشير إلى مستواه خلال هذه الفترات المناخية الدفينة قبل تغير الأحوال أثناء الفترات الجليدية وانخفاض مستويات البحار العالمية عدة مرات لمناسيب بلغ أقصاها ١٠٠ متر تحت مستوى سطح البحر الحالي ، نتيجة زيادة سمك الغطاءات الجليدية بالمناطق القطبية ، وتزحزح خط الطلج الدائم لئلا نحو سفوح الجبال والعروض المعتدلة .

تمثل سلاسل رؤوس الجبال العمود الفقري لشبه الجزيرة ، وهي تمتد من الشمال للجنوب كنطاق إلتواني يرتبط بنيويا بجبال زاغروس ، وتمثل نطاق ضعف جيولوجي يقع عند تصادم اللوح التكتوني لشبه جزيرة العرب مع اللوح الآسيوي ممثلا في الكتلة الإيرانية ، مما عمل على تأثرها بالتراكيب البنائية النشطة خلال الزمن الثالث ، واستمر تأثيرها خلال الزمن الرابع على شكل مجموعات من نظم الفواصل الصخرية الكثيفة ، وخطوط الانكسارات التي تأخذ إتجاها شماليا شرقيا / جنوبيا غربيا ، وساهمت هذه التراكيب الانكسارية في تكوين الجروف البحرية الشاهقة المنتشرة على معظم سواحل شبه الجزيرة ، كما ساهمت هذه الانكسارات في توجيه أجزاء غير يسيرة من شبكات التصريف المائي ، وخاصة شبكة وادي خُصَب أكبر أحواض التصريف المائي بشبه الجزيرة (شكل ٩-٣) .

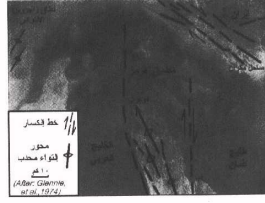
كما تعرضت شبه جزيرة "مُسنَدم" لحركة هبوط أرضي غير متوازنة *Tilting subsidence movement* في اتجاه مضيق هرمز لآلت مستمرة حتى الوقت الراهن ، بسبب تحرك وتصادم لوح شبه جزيرة العرب وانغماسه أسفل هوامش الكتلة الإيرانية ، (Falcon ,N.L., 1973,pp.1-7) (صور ٩-١ ، ١٠ ، ١١) .



صورة (١-٩) طية وحيدة الجانب تظهر على خط الساحل
على شكل جُرف إلتوائي النشأة عند رأس "شخص"
على الجانب الأيسر من مدخل خور "شم"



صورة (٢-٩) جرف بحري إنكساري النشأة بالقرب من قرية "الحرف"



شكل (٩-٣) خريطة التراكيب البنيوية لشبه جزيرة مسندم ومضيق هرمز
الدراسات السابقة :

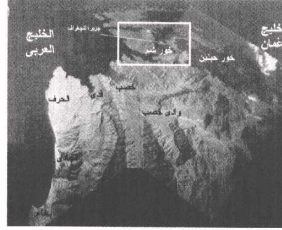
لم تحظ شبه جزيرة "مسندم" بحقها من الدراسات الجغرافية بصفة عامة والجيومورفولوجية على وجه الخصوص ، ألهم إلا بعض التقارير التي قدمتها البعثات العلمية الأجنبية للجمعية الجغرافية الملكية البريطانية وأهمها (Falcon, N.L., 1972 & 1973 , Vital Finzi, C. and Cornelius, P.F.S., 1973, Vital Finzi, C., 1982) التي رجحت غرق أو انغمار الأرضية البحرية تحت مستوى سطح البحر نتيجة حركة الهبوط الأرضي التي تعرضت لها شبه الجزيرة خلال الزمن الرابع ، كما أوضحت نتائج هذه البعثة أنها لم تستدل على أية شواطئ مرفوعة في أنحاء شبه الجزيرة (Falcon, N.L., et al., 1973 , p. 3) ورجحت غرق هذه الأرضية تحت مستوى سطح البحر الحالي على عمق يتراوح بين ٣٥ و ٩٠ متراً ، كما أشارت نتائج البعثة إلى وجود الرواسب الفيضية التابعة للزمن الرابع غارقة على قيعان الأخوار التي تمثل المصببات القديمة لأودية شبه الجزيرة . وأشار "جليني" عند دراسته لجيولوجية جبال سلطنة عمان إلى وجود بقايا لسهل تحاتى قديم على منسوب ٣٠٠ متر ميزها على السهول الشرقية لشبه جزيرة مسندم ، وتعرضها للهبوط والغرق تحت سطح البحر الحالي (Glennie, et al., 1974 p.351).

هدف وطرق البحث ووسائله وأدواته :

يهدف هذا البحث إلى الكشف عن آثار ودلائل ارتفاع مستويات البحر على جروف "مُسندم" البحرية دون شواهد تراجمه ، لأنه يصعب بالطبع دراسة دلائل انحسار البحر وانخفاضه .

وتستند هذه الدراسة على البحث الميداني في المقام الأول بسبب ندرة الكتابات الجغرافية عن شبه الجزيرة ، وتمت الزيارة الميدانية الأولى خلال الأسبوع الأول من شهر ديسمبر ٢٠٠١ ، أمكن خلالها دراسة بعض مظاهر ذبذبات سطح البحر على الجروف الغربية لشبه الجزيرة على طول الطريق الساحلي بين دولة الإمارات وبلدة "خصب" ، وباستخدام قارب في دراسة الجروف البحرية المحصورة بين بلدة "خصب" و خور "شم" (شكل ٩-٤).

وخصصت الزيارة الثانية لدراسة الجروف الشرقية "لمُسندم" فيما بين بلدتي "دبا" و "ليما" ، ودراسة دلائل التذبذب على جروف خور "الحبيبين" وتمت بحمد الله خلال الأسبوع الأخير من شهر ديسمبر ٢٠٠١ ، وأجريت الزيارة الثالثة والأخيرة خلال شهر يناير من عام ٢٠٠٢ ، وخصصت لدراسة آثار تغيرات مستوى سطح البحر على الجروف البحرية المتاخمة لبلدة "كومزار" عند أقصى الطرف الشمالي لشبه الجزيرة وتأثير تذبذب مستوى القاعدة العام على حوض وشبكة التصريف المائي لوادي "قدي" و "حنه" (صور ٩-٣ ، ٩-٤).



صورة (٩-٣) صورة جوية مائلة تبين منطقة سواحل خور "شم" التي تمت دراستها خلال الزيارة الميدانية الأولى .



صورة (٩-٤) صورة جوية رأسية للساحل الغربي المحصور بين حدود دولة الإمارات وميناء "بُخاء" الذي تمت دراسته خلال الزيارة الميدانية الأولى

وقد استُخدم في الزيارات الثلاث أسلوب التصوير التفصيلي بالفيديو ، وتحويل الأفلام المصورة إلى ملفات على الحاسب *Clip Files* ^١ ، واستُخدمت ملفات الفيديو المُسجلة على الحاسب في إنتاج آلاف الصور الفوتوغرافية المتتابة لكل أجزاء الجروف البحرية تفصيلياً ^٢ ، مما يتيح فحصها مكتبياً ، واستخدامها في رسم أشكال توضيحية وإضافة البيانات عليها ، وقد أفاد هذا الأسلوب كثيراً في إنشاء مقاطع تضاريسية للجروف البحرية . وتم رسم خرائط جيومورفولوجية ميدانياً ، بعد توقيع الرموز والعلامات الاصطلاحية على خريطة أساس مستمدة من مجموعة خرائط طبوغرافية ^٣ بمقياس ١ : ١٠٠٠٠٠ ، وصورة جوية رأسية مأخوذة للساحل الغربي لشبه الجزيرة ^٤ ، وصورة جوية مائلة *Oblique Aerial Photograph* للجزء الأوسط من شبه الجزيرة.

وتم قياس ارتفاعات بقايا المدرجات البحرية باستخدام قامة مدرجة وشريط تيل مزود بنقل للمدرجات والجروف الرأسية المحدودة الارتفاع (صورة ٩ - ٥) ، وجهاز تيودوليت لقياس المدرجات الأكثر ارتفاعاً ، وتحديد المواقع فلكياً باستخدام جهاز *G.P.S* ^٥.

إلا أنه ترجع صعوبة دراسة الدلائل المتبقية عن تذبذب مستوى سطح البحر على جروف "مُسندم" إلى تأثير هذه البقايا بحركة الهبوط الأرضي الغاطسة في اتجاه الخليج العربي خلال الزمن الرابع ، إلى جانب الصعوبات الناجمة عن تضرس المنطقة الوعرة وعدم توافر الطرق الممهدة في شبه الجزيرة ، إلا من طريق وحيد يصل بين حدود الإمارات العربية المتحدة شمال قرية "شعم" التابعة لإمارة رأس الخيمة ، و بلدة " خَصْب " عاصمة محافظة "مُسندم" ، بطول حوالي

^١ تمت عملية تحويل أفلام الفيديو إلى ملفات على الحاسب الآلي باستخدام جهاز *Digital Video Creator* الذي يتيح أيضاً إمكانية إنتاج قرص مندمجة أو مرئية *CD,s & DVD* أو العكس أي تحويل ملفات الحاسب إلى أشرطة فيديو *Video tapes*

^٢ تم تصنيف وفرز وتحويل أفلام الفيديو إلى صور فوتوغرافية متتابة ، باستخدام برنامج *Movie Star* .

^٣ خرائط طبوغرافية بمقياس ١ : ١٠٠٠٠٠ ، وفواصل كلتوري ١٠٠ متر ، صادرة عن الهيئة الوطنية للمساحة بسلطنة عمان عامي ١٩٨١ ، ١٩٩٥ ، لوحات : خصب ، رمس ، كوزار .

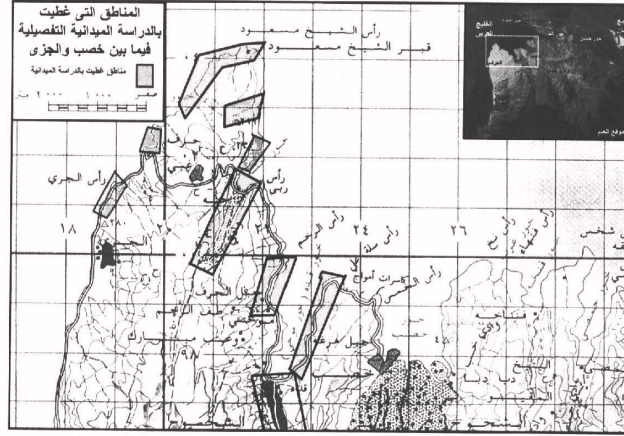
^٤ صورة جوية رأسية غير محددة التاريخ أمكن حساب مقياسها ، تم الحصول عليها من شبكة إنترنت من الموقع التالي : <http://www.dataxinfo.com/hormuz/aerials.htm>

^٥ استخدم جهاز تيودوليت بدقة ٥ ثواني ماركة زيس ، وجهاز *G.P.S* ماركة ماجلان يحدد المواقع فلكياً بدقة ثلاث أمتار .

٤٠ كيلومتر ، كما يوجد طريق جبلي وعبر يصل بين بلدتي "خَصَب" و "دبا" يبلغ طوله حوالي ١١٠ كيلومترات ، كان مستخدماً أثناء الحرب العالمية الثانية . ولذا فوسيلة الانتقال بين قري "مُسندم" المتوافرة هي القوارب والسفن الصغيرة التي ينقلون بها منتجاتهم المحدودة من رؤوس الأغنام والماعز وحصيلة الصيد من الأخوار ، ويجلبون عن طريقها مواد الغذاء بل ومياه الشرب في أغلب الأحيان (صورة ٩-٦) .



صورة (٩-٥) عملية قياس مدرج بحري بالقامة



شكل (٩-٤) المناطق التي غطيت بالدراسة الميدانية التفصيلية بين بلدتي "خصب" و "الجزى"



صورة (٦-٩) خور " حنه " غرب خصب بحوالي ٣ كيلومترات
الذي يستغله السكان كمرفأ لقوارب الصيد مأخوذة من حافة الشيخ مسعود ناظرأ
في إتجاه الشمال الشرقي .

النتائج :

سنقسم نتائج دراسة دلائل تذبذب مستوى سطح البحر إلى قسمين يختص أولهما بالسواحل الغربية لشبه الجزيرة المُطلة على الخليج العربي، ويتناول القسم الثاني سواحلها الغربية المُطلة على خليج عُمان :

أولا : دلائل تذبذب مستوى سطح البحر على السواحل الغربية لشبه جزيرة "مُسندم" المُطلة على الخليج العربي :

كشفت الدراسة الميدانية للسواحل الغربية لشبه جزيرة مُسندم المحصورة بين بلدتي " تيبات " - قرب الحدود السياسية بين دولة الإمارات وسلطنة عُمان - و " كُمزار " - الواقعة عند أقصى الطرف الشمالي لمُسندم - ، وجود بقايا لأربعة مدرجات بحرية تابعة لعصر البلايستوسين ، ودرج خامس يرجع لعصر الهولوسين ، ويمكن ترتيبها من الأقدم للأحدث وتقدير أعمارها فيما يلي (جدول ٩ -٢) بعد ربط مناسبها بدراسات (زوينر 1959 Zeuner) :

جدول (٩-٢) المدرجات البحرية على السواحل الغربية لشبه جزيرة مُسندم وفقاً لدراسة الباحث

العصر التابع له	اسم المدرج	المنسوب بالأمتار	العمر بالآلاف السنوات
البلايستوسين	المدرج الصفلي	٧٦-٨٨	٦٦٠
	المدرج الميلازي	٤٩-٥٦	٥٠٠
	المدرج التيراني	٢٣-٢٨	٢٧٠
	المدرج المونستيري	٦-٩	١٢٥
الهولوسين	المدرج الفلاندري الحديث	٢،٤٠ - ٢،٠٠	١

كما لوحظ وجود علاقة ارتباط بين مستويات سطح البحر القديمة التي تركت أثارها على بقايا المدرجات البحرية *Raised Marine Terraces* المنتشرة على سواحل شبه جزيرة "مُسندم" ، والعديد من الشواهد والدلائل والظواهر الجيومورفولوجية الأخرى ذات العلاقة ، التي أمكن التعرف عليها سواء على خطوط السواحل القديمة ، أو على بطون وجوانب الأودية المرتبطة بهذه السواحل قبيل انخفاض مستوى سطح البحر ، وفيما يلي عرض لأهم هذه الدلائل :

١- بقايا المدرجات البحرية Raised Marine Terraces:

أوضحت الدراسة الميدانية لجروف "مُسندم" الغربية المُطلّة على الخليج العربي أن بقايا المدرجات البحرية المنتشرة على الساحل الغربي لمُسندم تتميز بالخصائص والسمات الآتية :

(أ) انخفاض مناسيب بقايا المدرجات المنتشرة على الساحل الغربي المُطل على الخليج العربي ، بالمقارنة بنظيراتها المبعثرة على الساحل الشرقي المُطل على خليج عُمان ، بقيم تتراوح بين ٥ و ١٠ أمتار ويرجع ذلك إلى تعرض شبه جزيرة "مُسندم" إلى حركة هبوط أرضي غير متوازنة *Tilting subsidence* *movement* في إتجاه الخليج لعربي بسبب تصادم اللوح الجيولوجي لشبه جزيرة العرب وانغماسه أسفل اللوح الآسيوي .

(ب) تتميز معظم بقايا المدرجات البحرية القديمة التابعة لفترات الصقلى (٧٦-٨٨ متراً) ، والميلازي (٤٩-٥٦ متراً) ، والتيراني (٢٣-٢٨ متراً) بعدم استواء سطوحها ، إذ أنها تنحدر انحداراً ملحوظاً نحو الخليج العربي بقيم تتراوح بين ٩ ، ١٤ درجة ، ويرجع ذلك لتأثرها بحركة الهبوط الأرضي (صورة ٩ - ٧ ، صورة ٩ - ٨) .

(ج) تظهر بقايا المدرجات البحرية الأحدث من فترة التيراني مستوية تماماً ، وهى المدرجات التابعة لفترة المونسثيري (٩-٦ أمتار) ، وعصر الهولوسين (٢٠٠٠ - ٢٠٠٠ متر) (شكل ٩ - ٥ ، وصور من ٩ - ٧ إلى ٩ - ١٢) ، مما يشير إلى أنها لم تتعرض لتأثير حركة الهبوط الأرضي بسبب حداثة تكوينها ، أو تأثرها بهذه الحركة لفترة زمنية قصيرة نسبياً بالمقارنة ببقايا المدرجات الأقدم.



صورة (٧-٩) مدرجان بحريان تظهر بقاياهما على منسوب ٢٤,٦٠ متر، ٩ أمتار شمال قرية الجري بحوالي ٦٥٠ متر ناظراً للجنوب



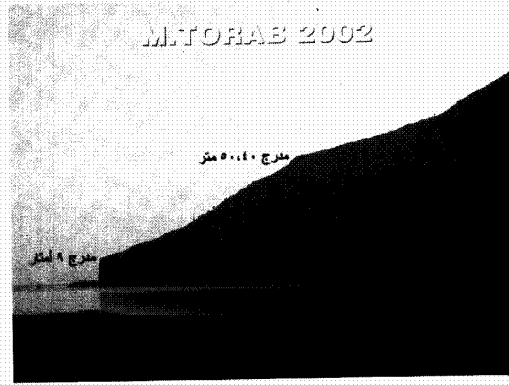
صورة (٨-٩) مدرج بحري يظهر على منسوب تسعة أمتار جنوب بلدة "خصب" بحوالي أربعة كيلومترات ينحدر انحداراً واضحاً في اتجاه الخليج العربي بتأثير حركة الهبوط الأرضي التي تتعرض شبه جزيرة "مسندم"



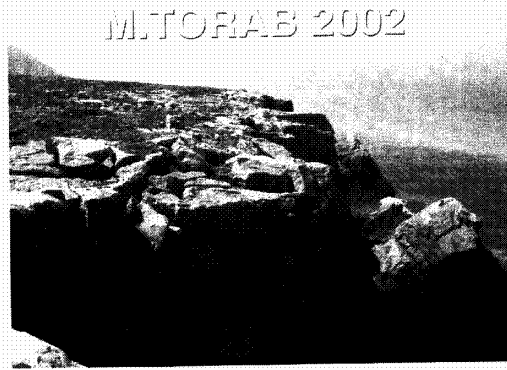
صورة (٩-٩) مدرج ٩٠٤٠ متر وبقايا مدرج ٢٠٠٠ متر تعرض لعمليات النحت البحري الحديثة تظهر شمال قرية "غمضاء"



صورة (٩-١٠) مدرج ٩٠٤٠ متر شمال قرية "غمضاء" بحوالي كيلومتر واحد.



صورة (٩-١١) مقطع مصور جنوب بلدة "خصب" بحوالي ٥ كيلومترات



صورة (٩-١٢) مدرج بحري على منسوب ٨٦ متر يظهر على الجانب الجنوبي لخور "حنة" ناظرًا للشمال الغربي.



شكل (٩-٥) الملامح المورفولوجية لخور "كومزار"

٢- الكهوف البحرية Marine Caves :

ينتشر عدد من الكهوف البحرية المتناثرة على حضيض الجروف بمنطقة مسندم ، وخاصة فيما بين بلدتي الجري وغمضاء ، وتتميز هذه الكهوف بتكون أرضياتها على مناسيب تتراوح بين المترين وأقل من الأمتار الثلاثة ، مما يشير إلى تشكيلها نتيجة عمليات النحت البحري خلال عصر الهولوسين . أى معاصرة لتكوين المدرج البحري الفلاندري الحديث الذي يقدر عمره بنحو ألف سنة من الوقت الحاضر (صور من ٩-١٣ إلى ٩-١٥) .

٣- المصاطب التوأمية على جوانب الأودية المرتبطة بنقاط تجديد الشباب : Paired Fluvial Terraces & Knick Points

أظهرت الدراسة الميدانية للمجرى الرئيسى لودى " قدى " وادى "حنه" وجود ثلاثة مستويات متتابعة من المصاطب التوأمية تظهر على جانبي المجرى الرئيسى لكل واد منهما ، وبقياس البعد الرأسى لكل مجموعة من هذه المصاطب والقاع الحالى للمجرى أمكن تصنيفها فيما يلى (شكل ٩-٦) :

المستوى الأول (الأعلى) : ٣٢ - ٣٨ متر

المستوى الثانى (الأوسط) : ١٧ - ٢٤ متر

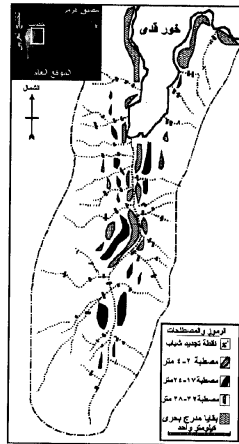
المستوى الثالث (الأسفل) : ٢ - ٤ أمتار

تتكون مجموعات المصاطب الثلاث من الكتل الصخرية والجلاميد والحصى الكروى الشكل مندمج فى نطاق من رواسب الطفل الرملى ، بالأضفة إلى بعض الكتل الحادة الأطراف التى يشير مظهرها المورفولوجى أنها قد تعرضت للتساقط من جانبي الوادى بفعل الجاذبية الأرضية وتماسكها فى تكوينات المصطبة ، وتتميز مجموعة المصاطب العليا بالتهدل و التقطع الشديد نظراً لتعرضها لفترات أطول لعوامل النحت والتعرية بالمياه الجارية ، أما مجموعة المصاطب السفلى فتتميز بوضوح معالمها واستمرار ظهورها لمسافات أطول وبصفة خاصة على الجوانب المحدبة للثنيات النهرية Meanders (صورة ٩-١٦) .

وقد لوحظ أن هناك ترابط واضح بين مستويات الظواهر الجيومورفولوجية الآتية مما يدل على أنها قد نتجت عن الانخفاض المتوالى فى مستوى مياه الخليج العربى ، وهذه الظواهر هى :

- ١- المصاطب التوأمية على جوانب الأودية .
- ٢- نقاط تجديد الشباب *Knick point* سواء على قيعان المجرى الرئيسى أو روافده .
- ٣- مستويات التغير فى انحدار جوانب الأودية وهى التى يطلق عليها مصطلح (ظاهرة واد داخل واد)^١ .
- ٤- المستويات التى تظهر عليها مصبات الأودية المعلقة .

^١ راجع التوزيع الجغرفى والوصف الجيومورفولوجى لظاهرة واد داخل واد ، والأودية المعلقة فى الصفحات التالية .



شكل (٩-٦) خريطة جيومورفولوجية توضح تأثير تذبذب مستوى سطح البحر على حوض وادي قندي (المصدر : الدراسة الميدانية)



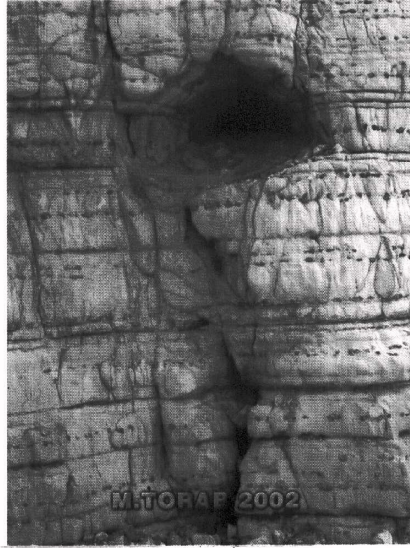
MITORAB 2002

صورة (٩-١٣) كهف بحري منسوب أرضيته ٢,٢٥ متر ومدرج بحري على منسوب ٢٣,٨٠ متر يظهر بالقرب من بلدة "الجرى"



MITORAB 2002

صورة (٩-١٤) مدخل كهف بحري منسوب أرضيته ٢,٤٠ متر يظهر جنوب بلدة "الجرى" بحوالى نصف كيلومتر ناظراً فى اتجاه الشرق.



صورة (٩-١٥) كهف بحري مستوى أرضيته ٦,٢٥ متر يظهر بالقرب من قرية غمضاء ناظراً في اتجاه الشرق



صورة (٩-١٦) نقطة تجديد شباب تظهر بالجزء الأدنى من وادي الجري.

٤- المقاطع العرضية للأودية على شكل وادٍ داخل وادٍ

Valley in Valley shape:

يظهر المقطع العرضي للأودية بهذا الشكل في حالة تعرض النهر لأكثر من مرحلة أو دورة تحاتية أو تتابع انخفاض مستوى القاعدة العام ، مما يؤدي إلى تنشيط عملية التعميق الرأسى للوادي وتكوين وادٍ ضيق عميق داخل الوادي القديم الذى كان يبدو أكثر اتساعاً ، وهذه الظاهرة تعد دليلاً جيداً يشير إلى توالى وتتابع عمليات التعميق الرأسى فى الأودية التى كانت لا تزال فى مرحلة الشباب حينما تعرضت لانخفاض مستوى سطح البحر الذى يمثل مستوى القاعدة المحلى لها .

ولوحظ ظهور المقاطع العرضية للعديد من أودية شبه جزيرة "مُسندم" بهذا الشكل ، وظهور بعضها على شكل ثلاث مراحل من المقاطع العرضية المتداخلة (V in V in V) وأهمها أودية : تيبات ، غمضاء ، الجادى ، عيدة ، حنه وقدى (صورة ٩-١٧ ، صورة ٩-١٨) .

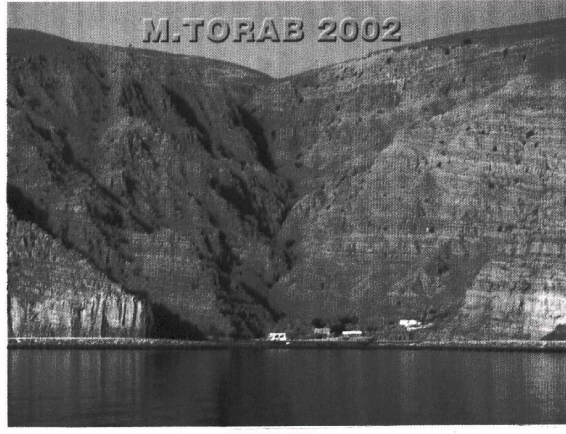
٥- الأودية المعلقة Hanging Valleys :

لوحظ تكون مجموعات من مصبات الأودية المعلقة تصب فى الخليج العربى من مناسيب أكثر ارتفاعاً من مستوى سطح البحر الحالى ، وتقتصر هذه الملاحظة على مصبات الأودية القصيرة مما يشير إلى أنها قد تعرضت لانخفاض مستوى سطح البحر الذى يمثل مستوى قاعدتها العام ، ولكنها تأثرت بفترات الجفاف وتوقفت بالتالى عمليات تعميقها الرأسى ولم تتمكن من إنجاز مهمتها فى بلوغ مستوى سطح البحر المنخفض . ويمكن تمييز مجموعتين من الأودية المعلقة على السواحل الغربية لشبه جزيرة "مُسندم" وفقاً لاختلاف مناسيب مصباتها المعلقة هما :

المجموعة الأولى : ترتبط مستوى مصباتها المعلقة بمناسيب المدرجات البحرية التى ترجع لفترة المونسيتيرى التابعة لعصر البلايستوسين المحصورة بين ٩ و ٦ أمتار ، مما يشير إلى تكونها خلال هذه المرحلة ، إلا أنها لم تواصل عملية تعميق قيعانها بسبب عدم تأثرها بفترات المطر التالية .

المجموعة الثانية : ترتبط مستوى مصباتها المعلقة بمناسيب المدرجات البحرية التابعة لعصر الهولوسين المحصورة بين ٢٠٠-٢٠٠-٢٠٠ متر ، مما يدل على أن هذه الأودية قد توقفت عن معاودة تعميق مجاريها رأسياً خلال فترة الهولوسين وتأثرت بفترات الجفاف التالية لها .

ولم تلاحظ أية مصبات معلقة ترتفع مناسيبها عن مناسيب المدرجات الأقدم من فترة المونستيري ، كما لوحظ أن الأودية الكبيرة في المنطقة تصل مصباتها إلى مستوى سطح البحر الحالي ، وتتخذ مصباتها شكل المراوح الفيضية أي أنها تمكنت من إنجاز مهمتها في التعميق الرأسى لمقاطعها العرضية قبل أن تدركها ظروف الجفاف ، وأهمها أودية " كومزار ، خصب ، قدى ، حنه ، بخاء ، غمضاء ، و تيبات " إلى جانب بعض الأودية الكبيرة نسبيا التي تصب داخل أخوار " شم ، بسطان ، وغب على " .



صورة (٩-١٧) مقطع عرضي لواء داخل وادي *V in V shape* على الجانب الغربي لخور "قدي"



صورة (٩-١٨) المقطع العرضي لمجموعة أودية تعرضت لمراحل متعددة للتعرية على الجانب الغربي لخور "قدي".

ثانياً : أدلة تدبذب مستوى سطح البحر على السواحل الشرقية لشبه جزيرة "مُسندم" المطلّة على خليج عُمان :

١. بقايا المدرجات البحرية Raised Marine Terraces :

تتميز بقايا المدرجات البحرية التي تمت دراستها على السواحل الشرقية لشبه جزيرة "مُسندم" بعدة سمات نوجزها فيما يلي :

(أ) تتميز المدرجات البحرية على السواحل الشرقية لمُسندم بتعدد مناسيبها بالمقارنة بأعداد المدرجات على السواحل الغربية لشبه الجزيرة ، إذ لوحظ وجود بقايا للمدرجات على المناسيب الآتية : ٢ و ١٢ و ٢٠ و ٣٢ و ٦٠ و ٨٠ و ٩٠ متر في المتوسط (شكل ٩-٧ ، صورة ٩-١٩ ، وصورة ٩-٢٠).

(ب) تظهر بقايا المدرجات البحرية على سواحل "مُسندم" المطلّة على خليج عُمان مستوية تماماً ، ولا تنحدر صوب مياه الخليج ، أي لا تتفق مع بقايا المدرجات التابعة لفترات الصقلى والميلازى والتيرانى المطلّة على الخليج العربى ، التي تتميز بانحدار سطوحها فى إتجاه الخليج العربى نتيجة تأثرها بحركة الهبوط الأرضى الناجمة عن التصادم بين كتلة شبه جزيرة العرب والكتلة الآسيوية وإنغماس رأس مُسندم تحت كتلة إيران على حساب التقلص الحثيث المتوالى لمضيق "هرمز" بضعة ملايين سنوياً.

٢. الكهوف البحرية Marine Caves :

تظهر العديد من الكهوف البحرية على سواحل "مُسندم" المطلّة على خليج عُمان ، ويمكن تمييزها إلى نمطين أساسيين :

أولهما عبارة عن كهوف بحرية حديثة التكوين تبدو أرضيتها على منسوب مماثل لمستوى سطح البحر الحالى ، مما يدل على تكونها فى الوقت الحاضر نتيجة الفعل الهيدروليكي للأمواج أثناء فترات العواصف ، ويقتصر ظهور هذا النمط من الكهوف على السواحل المطلّة على مياه الخليج مباشرة ، ولم يستدل على أية كهوف بهذا المستوى داخل الأخوار بسبب ضعف قوة الأمواج على سواحلها بعد اصطدامها بالرؤوس البحرية .

أما النمط الثاني من الكهوف فيبدو على منسوب أعلى من مستوى سطح خليج عُمان الحالي ، إذ يتراوح منسوب أرضية هذه الكهوف فيما بين المترين وحوالي المترين ونصف المتر ، بما يتشابه مع مناسيب بقايا المدرجات البحرية التي لوحظت على سواحل " مُسندم " المُطلّة على الخليج العربي ، التي رجح الباحث أنها تتبع فترة الفلاندرى بعصر الهولوسين التي لا يزيد عمرها عن ألف عام (شكل ٩-٧ ، صورة ٩-٢١) .



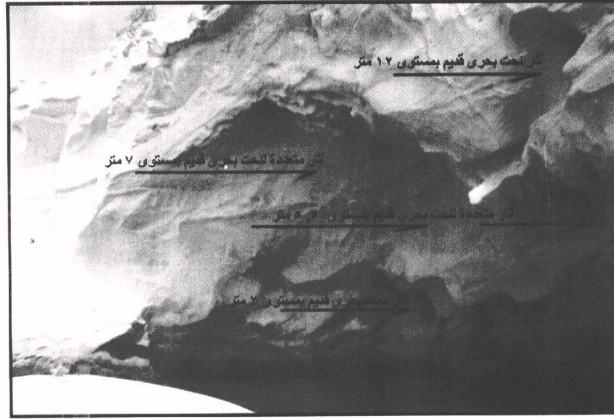
صورة (٩-١٩) مقطع تضاريسي مصور يوضح ثلاث مدرجات بحرية على مناسيب ٢٠ ، ١٢ ، ٢ متر فوق مستوى سطح البحر الحالي في منطقة خور "معلا" ناظر ا في اتجاه الجنوب



صورة (٩-٢٠) بقايا نحت قديم بالأمواج على منسوب ٢٠,٥ متر و آثار تفاعل كيميائي قديم على منسوب مترين فوق مستوى سطح البحر الحالي شمال منطقة خور "معلا".



شكل (٧-٩) التوزيع الجغرافي لبعض أكلة تذبذب مستوى سطح البحر للقسم الجنوبي من ساحل "مُسنَد" المطل على خليج عُمان



صورة (٩-٢١) آثار نحت قديم بالأمواج تظهر داخل أحد الكهوف البحرية في منطقة خور "معل" على مستويات متعددة تتراوح بين المترين و ١٢ متر فوق مستوى سطح البحر

٣. المقاطع العرضية للأودية على شكل وادٍ داخل وادٍ

:Valley in Valley shape

تبدو المقاطع العرضية للأودية التي تصب في خليج عُمان على شكل وادٍ داخل وادٍ ، بصورة تشابه مع المقاطع العرضية للأودية التي تصب في الخليج العربي ، إلا أنها تتميز عنها بعدة سمات نوجزها فيما يلي :

(أ) تتعدد مستويات التغير في درجة انحدار جوانب الأودية بصورة ملحوظة بالمقارنة بأعداد مستويات التغير في الأودية التي تصب في الخليج العربي ، مما يؤكد الملاحظة السابقة التي تشير إلى تعدد مستويات المدرجات البحرية على سواحل خليج عُمان ، وربما يرجع ذلك إلى أن خليج عُمان يعتبر جزءاً من المسطحات البحرية المفتوحة المتصلة بالمحيط الهندي طوال تاريخه الجيولوجي ، على حين تعرض الخليج العربي للإغلاق خلال فترات انخفاض مستوى سطح البحار العالمية في الزمن الرابع ، كما تراجع ساحل الخليج إلى الجنوب من مضيق هرمز ، وتحولت بالتالي أرضيته إلى أرض يابسة امتد عليها شط العرب لمسافة أكثر من ٨٠٠ كيلومتر من مصبه الحالي حتى مضيق هرمز ، التي أشارت إليها دراسات

"سارنثين" (Sarnthein, M., 1972, P.242) ، و أكدها فيما بعد (حسن أبو العينين ، ١٩٨٩ ص ٢٧) ، ولذلك اختلفت أعداد ومناسيب بقايا ودلائل الذبذبات في مستوى سطح البحر على سواحل مُسندم الشرقية عن نظيرتها الغربية .

(ب) ترتبط مستويات التغير في درجة انحدار جوانب المقاطع العرضية للأودية مع مناسيب بقايا المدرجات البحرية بصورة مُلفتة للنظر ، كما ترتبط هذه المناسيب مع مستويات الكهوف البحرية التي سبق تمييزها على مناسيب تتراوح بين المترين والمترين ونصف المتر مما يؤكد أن السبب الجوهري في تغير درجات انحدار جوانب الأودية يرجع إلى انخفاض مستوى سطح البحر ، وليس هناك دور ملحوظ لاختلاف الظروف الهيدولوجية للأودية ، أي لا يرجع السبب الأساسي إلى تباين كميات الأمطار الساقطة على أحواضها التصريفية.

(ج) تبدو جميع المقاطع العرضية للأودية التي تصب في خليج عُمان على شكل حرف V ، أي تتشابه مع نظيرتها التي تصب في الخليج العربي مما يدل على أنها كانت لا تزال في مرحلة الشباب حتى أدركتها ظروف المناخ الجاف ، وانخفض مستوى سطح البحر قبل أن تنتهي من إنجاز دورتها التحاتية .

٤. الأودية المعلقة Hanging Valleys:

تظهر على سواحل "مُسندم" الشرقية المطلّة على خليج عمان العديد من مصبات الأودية المعلقة ، بما يتشابه مع نظيرتها المطلّة على الخليج العربي ، مما يشير إلى أن هذه الأودية لم تتمكن من إنجاز دورتها التحاتية نتيجة انخفاض مستوى سطح البحر مما يُعزّد من الملاحظة السابقة التي تفسر أسباب ظهور درجات الانحدار على مقاطعها العرضية ، ولم تتمكن معظم الأودية من بلوغ المستوى المنخفض لمستوى سطح البحر لهم إلا الأودية الكبيرة نسبياً وهي وادي "قَبَل" الذي يصب جنوبى خور "حبيلين" ، و وادي ليما، و وادي شرية . وتتفق مستويات هذه المصبات المعلقة بصورة جديرة بالملاحظة مع مناسيب الأدلة الأخرى الناتجة عن انخفاض مستوى سطح البحر وهي :

(أ) بقايا المدرجات البحرية على اختلاف مناسيبها .

- (ب) مستويات الكهوف البحرية وبصفة خاصة التي يتراوح منسوب أرضيتها بين المترين والمترين ونصف المتر أى التابعة لعصر الهولوسين .
- (ج) مستويات التغير فى درجات انحدار مقاطع جوانب الأودية .

قائمة المراجع :

أولاً : مراجع باللغة العربية :

- ١- أبو العينين ، حسن سيد أحمد ، ١٩٨٩ :
" الخليج العربى - تطوره الباليوجرافى وتذبذب مستوى سطح مياهه خلال عصر البلايستوسين " ، رسائل جغرافية ، وحدة البحث والترجمة ، قسم الجغرافيا ، جامعة الكويت ، العدد ١٢٥ ، ص ٥٥ .
- ٢- زهرة ، محمد محمد ، ٢٠٠٠ :
سكان سلطنة عُمان ، الفصل الثالث من عُمان دراسة مسحية شاملة ، معهد البحوث والدراسات العربية ، القاهرة ، ص ٨٥ - ١٦٠ .
- ٣- فالكون ، ن . ل . ، ١٩٨٠ :
" البعثة العلمية إلى شبه جزيرة "مُسندم" (شمال عُمان) ، ترجمة محمود طه أبو العلا ، رسائل جغرافية ، وحدة البحث والترجمة ، قسم الجغرافيا ، جامعة الكويت ، العدد ١٥ ، ص ٤٠ .

ثانياً : مراجع بلغات أجنبية :

- 4- Falcon, N.L., 1972:
" Expedition to unknown Musandam",
Geographical magazin, pp.105-111.
- 5- -----, 1973:
"The Musandam Northern Oman expedition , 1971-72", Geographical Journal 139, pp.1-19.
- 6- Gellnie, K.W., Boeuf, M.G.A., Hughes Clarke, M.W., Strut, M., Pilar, W.F., and Reinhardt, B.M., 1974:
Geology of the Oman Mountains, part I (text),
part II (tables and illustrations), part III
(separate plates), Koninklijk Nederlandas
Geologisch en Mijnbouwkunding
Genootschap, Transaction, 31, 423p (part I)

- 7- Hudson. R.G.S., et al., 1954:
 "The structure of the Jebel Hagab Trucial Oman",
 Quar. J. Geol. Soc. Vol. 110, p.121-152.
- 8- -----, & Chatton, M., 1959:
 "The Mussandam Limestone", Notes Mem, Moyen-
 Orient, Vol. III, Mus. Nat. Paris, p.45-70.
- 8-Sarnthein, M., 1972 :
 Sediments and history of the pos: glacial
 transgression in the Persian Gulf, Marine
 Geology, Amesterdam, Vol. 12, p.245-266.
- 9- Vital Finzi, C. & Cornelius, P.F.S., 1973:
 "Cliff sapping by mollusks in Oman", Journal of
 sedimentary petrology, 43, 1, pp.31-32.
- 10- -----, 1982:
 "Recent coastal deformation near the strait of
 Hormuz", Proceedings of the royal geographic
 society, London, pp.441-457.
11. Zeuner, F.E., 1959:
 The Pleistocene Period, 2nd Ed., London.

البحث العاشر

بعض دلائل تذبذب مستوى سطح البحر
على سواحل جزيرة قشم - إيران

البحث العاشر

بعض دلائل تذبذب مستوى سطح البحر على سواحل جزيرة قشم - إيران

الموقع الفلكي والجغرافي :

تعد " قَشَم " أكبر جزر الخليج العربي ، وهي تحتل موقعاً استراتيجياً يتحكم في مدخل الخليج عند مضيق هرمز على الجانب المقابل لشيبة جزيرة " مسندم " التابعة لسلطنة عُمان ، ويحصر امتداد الجزيرة بين دائرتي عرض 26° ، $26^{\circ} 47'$ ، 26° شمال خط الاستواء ، وبين خطي طول 50° ، $50^{\circ} 46'$ شرق جرينتش (شكل ١٠-١).

الملامح الجغرافية :

تبدو جزيرة " قَشَم " على شكل شريط ضيق يمتد محوره من الشمال الشرقي إلى الجنوب الغربي موازياً للساحل الإيراني ولا يبعد عنه أكثر من خمسة كيلومترات ، ومواجهه لموانئ " بندر عباس ، خامير ، لنجه " التابعة لمقاطعة " هرموزجان - Hormozgan " ، ويبلغ طول الجزيرة ١٢٢ كيلومتر ، ولا يتجاوز متوسط عرضها أكثر من ١٢ كيلومتر ، ومساحتها الإجمالية تناهز ١٥٠٠ كيلومتر مربع إذا ما أضفنا إليها مساحة الجزر الصغيرة المتاخمة لها وأهمها جزر " هنكام ، لارك ، هرمز ، ناز ، دوكرده زين العابدين " .

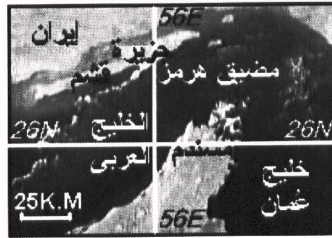
تظهر تضاريس الجزيرة على شكل سلسلتين فقاريتين تفصلهما حوض وادي "جينكل درياني" الذي يقطع الجزيرة إلى قسمين متساويين تقريباً ، ويصب في مضيق " قشم " الضحل الذي تنتشر به شجيرات المانجروف التي تفصلها مجموعات متشابهة من قنوات المد والجزر البالغة الضخامة ، وتتقطع مرتفعات السلسلتين بمجموعة من شبكات التصريف المائي التي تعرف طريقها نحو مياه الخليج العربي من ناحية أو المضيق الفاصل بين الجزيرة والساحل الإيراني من ناحية أخرى .

^١ كان يطلق على جزيرة " قشم " العديد من الأسماء من بينها : " بورخات - Bourkhat - دراز - Deraz - كافان Kavan - قبر كافان - Abr Kavan - ابن كافان - Ebne Kavan - قبر كامان - Abr Kaman - كيش - Kish - غيس - Ghis - لوفت - Loft " .

وأبرز مرتفعات الجزيرة مجموعة تلال " كوه بوخو " التى تمثل أعلى القمم بالجزيرة ويبلغ منسوبها ٣٩٧ متراً ، " بام قشم " - ٢٢٠ متراً ، " كردمقوكوه " الواقعة عند الطرف الجنوبي الغربى للجزيرة (شكل ١٠ - ٢) .

ويتميز الساحل الداخلى للجزيرة المطل على مضيق " قَشَم " بضحاته وهدوء أمواجه وزيادة الفارق بين مستويات المد والجزر ، كما يتميز باتساع سهوله الساحلية المغطاه بالرمال الناعمة الدقيقة الحبيبات المختلطة بالرواسب الطفلية *Loam Deposites* المنقولة بمجارى الأودية ، وتنتشر على شواطئه مجموعات متناثرة من شجيرات المانجروف أبرزها المحمية الطبيعية الواقعة على ساحل منطقة "لافت " بالقرب من مصب وادى "جنكل دريائى" (صورة ١٠-١).

أما الساحل الخارجى للجزيرة المطل على الخليج العربى فيتميز بتعرج خط الساحل ، وضيق سهوله الساحلية ، وعمق مياهه ، وقلة الفارق نسبيا بين مستويات المد والجزر ، وتنتشر عليه بقايا الأصداف والرخويات والحصى والرمال الخشنة ، وتظهر على سهوله الساحلية مجموعات متوازية من المدرجات البحرية المحززة بآثار النحت البحرى القديم وبقايا مكسورات وشظايا الأصداف والشعاب المرجانية المتحجرة (صورة ١٠ - ٢) .



شكل (١٠-١) الموقع الفلكي والجغرافي لجزيرة "قشم"



شكل (١٠-٢) الملامح الجغرافية لجزيرة "قشم"



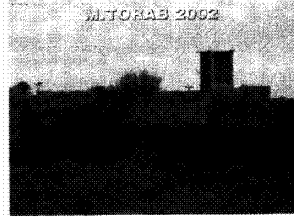
صورة (١٠-١) شجيرات المانجروف تنمو على الشاطئ الضحل على الساحل الداخلي للجزيرة أمام قرية "تولا" على مسافة أربعة كيلومترات غرب مدينة "قشم" حاضرة الجزيرة



صورة (١٠-٢) منظر مقرب لسطح مدرج بحري يبلغ منسوبه ٢,٢٥ متر تندمج داخل تكويناته بقايا الشعاب المرجانية المساسكة ، عند الطرف الشمالي للجزيرة



صورة (٣-١٠) أحد الأسواق الشعبية بالقرب من ميناء " قشم " تباع به بعض المنتجات الاستهلاكية الواردة بالقوارب من موانئ " بندر عباس " الإيراني و " دبي " الإماراتي و " خصب " العماني



صورة (٤-١٠) المساكن القديمة في جزيرة " قشم " يظهر أعلاهما أبراج التهوية التي يطلق عليه سكان الخليج العربي اسم " البراجيل " .



صورة (٥-١٠) من ملامح الحياة الحديثة في أحد أحياء مدينة " قشم "

تتبع الجزيرة الإدارة المحلية لمقاطعة " قشم " التي تضم مدينتين هما " قشم " حاضرة الإقليم ، و "هرمز" الواقعة في الجزيرة التي تحمل اسمها وتقع بالقرب من الطرف الشمالي للجزيرة الأم . وتنقسم مقاطعة " قشم " إلى سبعة أقسام إدارية تتبعها ١١١ قرية ، ويبلغ عدد سكانها حوالي ٧٣ ألف نسمة وفقاً لنتائج تعداد عام ١٩٩٦ ، يشكل المسلمون السنة منهم حوالي ٩٥% والباقي من الشيعة ، ويتكلم سكان الجزيرة اللغة الفارسية ولكن نسبة كبيرة منهم يمكنهم فهم بعض مفردات اللغتين العربية والهندية ، بسبب أصولهم العربية واشتغالهم بالتبادل التجاري بين الهند وشبه الجزيرة العربية وسواحل شرق إفريقيا طوال فترات التاريخ^١ . وقد تم تحويل حوالي ٣٠٠ كم مربع من الجزيرة إلى منطقة حرة منذ عام ١٩٩٠ ، تستهدف إعادة تدوير المنتجات الصناعية بين الشرق الأقصى ومنطقة الشرق الأوسط ، ولكن يقتصر النشاط الحالي للسكان على صيد الأسماك وزراعة الشعير والزيتون ونخيل النمر وتربية الأغنام والماعز ، إلى جانب التبادل التجاري المحدود بالقوارب بين الموانئ القريبة من الجزيرة (صورة ١٠-٣) .

وتعتبر مدينة " قشم " حاضرة الإقليم التي تحتل الطرف الشمالي الشرقي للجزيرة ، ويغلب على نسيجها المعماري الطابع الريفي البدوي ، وتبرز أعلى معظم منازلها أبراج التهوية الرباعية الأوجه التي يطلق عليها "البراجيل" و كانت سائدة في مدن الخليج العربي بغرض تهوية المساكن وتلطيف درجة الحرارة في أيام القحط اللافت (صورة ١٠-٤) ، إلا أنه بدأت تظهر على استحياء في السنوات الأخيرة بعض مظاهر الحياة العصرية متمثلة في تخطيط بعض المساكن على الطراز الحديث ، والطرق المعبدة المتسعة ، ومراكز التسوق (صورة ١٠-٥) .

الهدف من البحث :

يهدف البحث إلى دراسة مستويات المياه بالخليج العربي خلال الزمن الرابع من خلال التعرف على بقايا الأشكال الجيومورفولوجية المتبقية على سواحل جزيرة " قشم" ، ومحاولة ربطها بالدلائل التي سبق التعرف عليها بسواحل الخليج العربي الأخرى ، وخليج عمان ، و البحر المتوسط .

^١ تم اكتشاف آثار مدفونة لآي أنحاء متفرقة من الجزيرة تدل على النشاط التجاري البحري ترجع إلى ٥٠٠ سنة قبل الميلاد .

الدراسات السابقة :

لم تتل جزيرة " قَشَم " حقها من الدراسات الجغرافية باللغة العربية ، كما أنها لم تشكل محورا أساسيا في الدراسات الجيومورفولوجية أو أبحاث معمقة للتغيرات المناخية في الزمن الرابع ، وأقتصر الأمر على التعرف على بقايا المدرجات البحرية القديمة على بعض أجزاء من سواحل الجزيرة وتحليلها بالكربون ١٤ ضمن دراسات تناولت السواحل الإيرانية بصفة عامة ، واستنتجت هذه الدراسات وجود مدرجين بحريين يظهران على منسوب ٣٠ ، ١٥ متر فوق مستوى سطح البحر الحالي ، وأرجعت عمرهما لفترتي "التيراني والمونستيري " التابعتين لعصر البلايستوسين

(Butzer, 1958, Harison, 1941, Falcon, 1947 & Vita Finzi, 1975)

مناهج البحث وأساليبه ووسائله وأدواته :

ونظرا لندرة الكتابات الجغرافية التي تناولت الملامح الجيومورفولوجية للجزيرة ، وصعوبة الحصول على أزواج الصور الجوية ، بل والخرائط الطبوغرافية ، كانت الدراسة الميدانية^١ هي السبيل المتاح للباحث للتعرف على شواهد تذبذب مستوى سطح البحر ، وتوقيع نتائجها على خريطة سياحية بمقياس ١ : ١٠٠٠٠ ، أصدرتها هيئة تنشيط السياحة بالجزيرة ، واقتصرت الدراسة الميدانية على المنطقة الساحلية المتاخمة لمدينة " قَشَم " لمسافة ٣٠ كيلومتر من الشواطئ الداخلية المواجهة لليابس الإيراني ، ومسافة مماثلة للسواحل الخارجية المطللة على مضيق هرمز ، إلى جانب التعرف على الملامح الجيومورفولوجية للسبخات ، وأشكال الشواهد الصحراوية المنتشرة بالأجزاء الداخلية فيما بين الساحلين ، بهدف إدراك مدى ارتباط هذه الظواهر بتذبذب مستوى سطح البحر خلال الزمن الرابع .

كما أنه واجهت الباحث بعض الصعوبات في استخدام الأجهزة المساحية بسبب الإجراءات الأمنية وعدم إمكانية الحصول على تصاريح تخول له تحقيق هذا الهدف ، ولذلك اعتمد الباحث على تحديد مواقع بقايا الأشكال الجيومورفولوجية بجهاز GPS^٢ ، وقياس ارتفاع المدرجات البحرية بالقامة

^١ استغرقت الدراسة الميدانية ثلاثة أيام خلال الفترة من ٢٨ فبراير إلى أول مارس عام ٢٠٠٢ .

^٢ استخدم الباحث جهاز GPS ماركة ماجلان لتحديد المواقع فلكيا بدقة ثلاثة أمتار ، وجهاز قياس درجات إنحدار سطح الأرض Abney Level ماركة Ogwa Seil بدقة درجة واحدة .

والشريط ، والتصوير الفوتوغرافي والفيديو التفصيلي^١ ، ورفع مقاطع ميدانية للمدرجات باستخدام شريط تيل و جهاز قياس المنحدرات *Abney Level*^٢ ورسم مجموعة من الخرائط الجيومورفولوجية التفصيلية .

النتائج :

أوضحت الدراسة الميدانية وجود بقايا لستة مدرجات بحرية تنتشر على السواحل الخارجية للجزيرة المطلة على مضيق " هرمز " تتمثل مناسبها في جدول (١٠-١) من الأعلى للأسفل (من الأقدم للأحدث) :

^١ استخدم الباحث آلة تصوير فوتوغرافية رقمية Digital Camera بدقة 3,3 G.B ، وآلة تصوير فيديو وتحويل أفلام الفيديو إلى صور فوتوغرافية ثابتة باستخدام جهاز Digital Video Creator

جدول (١٠-١) مناسيب بقايا المدرجات البحرية على سواحل جزيرة "قشم"
وفقاً لنتائج الدراسة الميدانية للباحث

العصر	المنسوب بالأمطار	الفترة	التوزيع الجغرافي	ملاحظات
البلايستوسين	٣٢-٣٠	تيراني	حافة "شاه شهيد"	ارتباط بين مستويات المدرجات والشواهد الصحراوية بمنطقة "جبل سوزا"
	٢٤-١٨	تيراني ٢	"توركسا" - جبل "سوزا" على السواحل الخارجية المطلّة على مضيق هرمز، "خميري - وتنشتر على السواحل الداخلية بين "تولا" و"مدينة قشم"	هناك ارتباط واضح بين منسوب المدرج ومستويات بقايا الشواهد بمنطقة "خميري - باخانو" - جبل "سوزا"
	١٥-١٣	مونستيري	على الرؤوس البحرية	يظهر سطح جزيرة "ناز" على منسوب ١٣ متر
	٧-٥	مونستيري متأخر	ميناء "سوزا" - وسواحل "ركو"، "خريس"، "توركان"	
الهولوسين	٢,٥٠-٢	فلاندرى	على معظم أجزاء السواحل الخارجية للجزيرة	يظهر سطح جزيرة "زين" على العابدين "على منسوب مترين
	١,٣٠-١	فلاندرى أحدث		

من دراسة الجدول (١٠-١) الذى يوضح مناسيب المدرجات البحرية على سواحل الجزيرة وشكل (١٠-٣) الذى يوضح ملامح التوزيع الجغرافى لهذه المدرجات نلاحظ ما يلى :

١- أمكن تمييز بقايا أربعة مدرجات بحرية تابعة لعصر البلايستوسين على السواحل الخارجية المطلة على مضيق " هرمز " بالإضافة إلى مدرجين آخرين تظهر بقاياها على مناسيب أعلى من ذلك إلا أنه لم يتمكن الباحث من قياس مستوياتها ومن المرجح أنها تتبع فترتى الصقلى والميلازى (صور من ١٠-٦ إلى ١٠-٩).

٢- تظهر بقايا لثلاث مدرجات بحرية على السواحل الداخلية للجزيرة وهى السواحل المواجهة للاباس الإيرانية ، وتتبع هذه المدرجات فترتى التيرانى والمونسيتيرى ، وتوزع على مناسيب تتراوح بين (١٨.٢٣ و ١٣.١٥ و ٧.٥ متر) على التوالى .

٣- تنتشر بقايا اثنتين من المدرجات الحديثة التابعة لعصر الهولوسين على معظم سواحل الجزيرة بلا استثناء سواء السواحل الخارجية أو الداخلية ، وتبدو على مناسيب تتراوح بين ٢ ، ٢.٥٠ ، ١ و ١.٣٠ متر ، وتتميز هذه المدرجات باندماج بقايا الشعاب المرجانية فى تكويناتها الجيرية المتناسكة مختلطة بالرواسب البحرية المفلطحة ، ومكسورات وشظايا الأصداف البحرية والرخويات (صورة ١٠-٢).

٤- تتمثل على سطح جزيرتى " ناز و زين العابدين " بقايا مدرجين بحريين على منسوب ١٣ ، ٢ متر ، إلى جانب مجموعة من مستويات التقويض والنحت البحرى القديم مما يرجح أنهما كانا جزء من يابس الجزيرة وانفصلتا عنها خلال فترتى المونسيتيرى والفلاندرى التابعتين للبلايستوسين والهولوسين على التوالى (صورة ١٠-٧).

٥- توجد آثار للتقويض والنحت البحرى القديم على مناسيب متوافقة مع مستويات المدرجات البحرية على الحافات والجروف البحرية ، وأهمها حافة " شاه شهيد " (صورة ١٠-١) ، كما لوحظ وجود أصداف بحرية ومكسوراتها متناسكة فى التكوينات الجيرية على أسطح المدرجات البحرية بكافة مستوياتها .

٦- يلاحظ وجود علاقة ارتباط جدية بالاهتمام بين مناسيب المدرجات البحرية ، ومستويات التقويض والنحت البحرى القديم من ناحية ، وبين مناسيب التلال الشاهدة والموائد الصحراوية المنتشرة فى المناطق الداخلية بالجزيرة ، ولأسيما منطقة جبل "سوزا" ، وفيما بين بلدتى "تولا" الواقعة على الساحل الشمالى الغربى (الداخلى) و"توركان" الواقعة على الساحل الجنوبى الشرقى (الخارجى) ، (شكل ١٠- ٣ ، صورة ١٠- ١١).



شكل (١٠- ٣) ملامح التوزيع الجغرافى للمدرجات البحرية والشواهد الصحراوية فى الجزء الشمالى الشرقى من جزيرة "قشم"



صورة (٦-١٠) مدرجان بحريان يظهران شمال ميناء "سوزا" بحوالي ٦٥٠ متر
ناظراً للشمال الشرقي



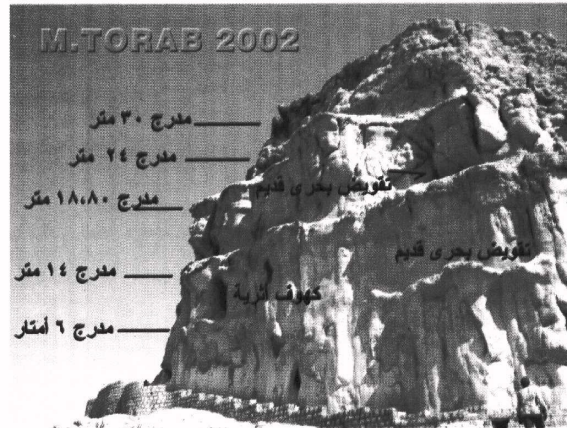
صورة (٧-١٠) مدرجان بحريان يظهران على جزيرتي "ناز" و "زين العابدين"
جنوب غرب مدينة "قشم" بحوالي ٢٥ كيلومتر.



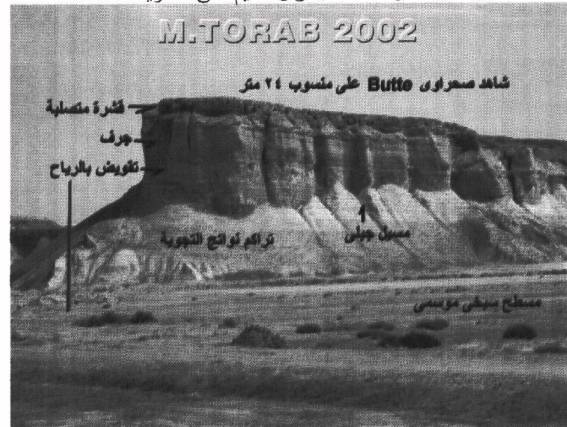
صورة (١٠-٨) مدرج يبلغ منسوبه ٢٢ متر يظهر على ساحل منطقة "ركو" شمال شرق "بندر سوزا" بحوالي عشرة كيلومترات ناظرًا للجنوب الغربي



صورة (١٠-٩) مدرجان بحريان يبلغ منسوبهما ٢٠٣٠ و ١٠٣٠ متر يظهران بمنطقة "توركان" جنوب غرب مدينة "قشم" بحوالي عشرة كيلومترات



صورة (١٠-١٠) مقطع تضاريسي مصور للجانب الجنوبي من حافة "شاه شهيد" يظهر عليها آثار النحت البحري القديم على مستويات متعددة



صورة (١١-١٠) شاهد صحراوي يبدو سطحه المستو على منسوب ٢٤ متر في منطقة "باخانو" الداخلية فيما بين بلدتي "ته لاه" و "ته ك" .

جدول (٢-١٠) العلاقة بين مستويات المدرجات البحرية المتبقية على سواحل جزيرة " قشم " والدراسات السابقة التي أجريت على سواحل الخليج العربي

المنطقة	الدليل	المنسوب بالامتار	العمر (بالسنوات من الوقت الحالي)	المصدر
ساحل الأحساء بالملكة العربية السعودية	بقايا أركيولوجية مبعثرة	١٠٥ - ٣	؟	Cornwall, 1946
ساحل مكران الإيراني	بقايا مدرجات بحرية مرتبطة بمصاطب نهريّة	٨٠ - ٩٠	صقلي	Butzer, 1958, Harison, 1941, Falcon, 1947 & Vita Finzi, 1975
		٦٠	ميلادي	
		٣٠	تيراني	
		١٥	مونستيري	
		٨٠ - ٩٠	صقلي	
جزيرة خرّج الإيرانية	بقايا مدرجات بحرية	٨٠ - ٩٠	صقلي	Butzer, 1958, Harison, 1941, Falcon, 1947 & Vita Finzi, 1975
		٦٠	ميلادي	
		٣٠	تيراني	
		١٥	مونستيري	
		٨٠ - ٩٠	صقلي	
جزيرة قشم الإيرانية	بقايا مدرجات بحرية	٨٠ - ٩٠	صقلي	Butzer, 1958, Harison, 1941, Falcon, 1947 & Vita Finzi, 1975
		٦٠	ميلادي	
		٣٠	تيراني	
		١٥	مونستيري	
		٨٠ - ٩٠	صقلي	
ساحل مكران الإيراني	تحليل بقايا اصداق بحرية بالكربون ١٤	٨	±٢٣٤٩٥	Vita Finzi, 1975
			٤٠٠	
			±٢٥٦١٠	
			٦٤٠	
			٨	
امام ساحل شبه جزيرة قطر	مدرجات بحرية مغمورة تحت سطح الخليج	٥٠٥ -	سالب الفترة الجليدية الأخيرة ؟	Houbolt, 1957
		١٦٠٥ -	سالب ٢٠	
		٣١	سالب ٣١	
		٣١٣١	سالب ٥١	
		٥٥ -	سالب ٧٣	
ساحل الفاو العراقي	طبقة تحتوي على بقايا عضوية بالكربون ١٤	٣٢	سالب ٩٩١٠	Godwin & Willis, 1958
			١٠٠	
سواحل جزيرة قشم الإيرانية	مدرجات بحرية شسظايا اصداق بحرية شعاب مرجانية تحت وتقويس بحري	٣٢-٣٠	تيراني	الدراسة الحالية
		٢٤-١٨	تيراني ٢	
		١٥-١٣	مونستيري	
		٧-٥	مونستيري متأخر	
		٢٠٥٠-٢	فلاندرى	
		١٠٣٠-١	فلاندرى أحدث	

من دراسة جدول (١٠-٢) الذي يوضح العلاقة بين مستويات المدرجات البحرية المتبقية على سواحل جزيرة "قشم" والدراسات السابقة التي أجريت على سواحل الخليج العربي نتبين أن هناك ارتباط واضح بين مناسيب بقايا المدرجات البحرية على سواحل الخليج وفترات تاريخها .

الخاتمة :

تفيد الدراسة التي أجريت على سواحل جزيرة "قشم" تأثيرها بذبذبات مستوى سطح البحر التي حدثت خلال الزمن الرابع وعلى مستويات مشابهة لتلك التي تأثرت بها سواحل البحر المتوسط .

قائمة المراجع :

1. Butzer, K.W., 1958,
Quaternary Stratigraphy and Climate in the Near East, Bonner Geographische Abhandlungen. 24, pp.1-57.
2. Cornwall, P.B., 1946,
Ancient Arabia: Explorations in Hasa, 1040-41, Geogr. Journ., 107, pp.28-50.
3. Falcon, N.L., 1947,
Raised Beaches and Terraces of the Iranian Makran Coast, Geog. Journ., 109, pp.149-51.
4. Godwin, H.S. & Willis, E.H., 1958,
Radiocarbon Dating of Eustatic Rise in Ocean-level, Nature, 181, pp.1518-19.
5. Harison, J.V., 1941,
Coastal Makran, Geogr. Journ., 97, pp.1-17.
6. Houbolt, J.J.H.C., 1957,
Surface Sediments of the Persian Gulf near the Qatar Peninsula, The Hague, Mouton.
7. Vita Finzi, C., 1975,
Quaternary Deposits in the Iranian Makran, Geogr. Journ., 141, pp.415-20.

الباب الثالث
بحوث في الجيومورفولوجيا التطبيقية

البحث الحادي عشر
منظومة مائية مقترحة للاستغلال الأمثل لمياه الأفلاج

البحث الحادي عشر

منظومة مائية مقترحة للاستغلال الأمثل لمياه الأفلاج*

تعتبر المناطق الجافة أكثر أقاليم كوكب الأرض احتياجاً لتوفير مصادر جديدة للمياه العذبة ، فالمشكلة التي تواجه استغلالها ليست وجود أراضي قابلة للزراعة ، فهناك مساحات شاسعة من الأراضي ذات التربة الطينية الحفرية تفتقر أراضي بطون الأودية والمنخفضات الصحراوية ، وتشغل حوالي ثلث اليابس الجاف من العالم ، إلا أنها تعاني من ندرة المياه على الرغم من سقوط كميات كبيرة من المياه بصورة فجائية على شكل سيول تضيع بالتسرب والتبخّر ، كما تسبب كثير من الخسائر والمشاكل البيئية ، واستغلال مياه هذه السيول يحولها من أداة هدم ودمار إلى مورد مائي هام لسكان الصحراء .

وهناك العديد من الأساليب التي لجأ إليها الإنسان لاستغلال مياه السيول الصحراوية ، من بينها السدود التعويقية التي تعترض مجرى الأودية ، حيث تعمل هذه السدود على حجز المياه أمامها مما يساهم في تغذية المخزون الجوفي من المياه ، ولكن تواجه هذا الأسلوب عدة معوقات تقلل من جدواه وأهمها : ضياع جزء كبير من المياه بالتبخّر مع ظروف ارتفاع درجة الحرارة والجفاف ، وعدم صلاحية هذا الأسلوب في حالات عدم انطباق أحواض التصريف السطحية للأودية مع أحواضها الباطنية ، أي تسرب المياه جوفياً مع الطبقة الحاملة للمياه إلى خارج نطاق الحوض ، مما يستلزم تكبد نفقات باهظة عند إعادة رفعها من أعماق كبيرة ، وأهم هذه الحالات يلخصها (شكل ١١-١) في النقاط التالية :

- ١-تأثير ميل الطبقات على تسرب المياه نحو جوف الأرض .
- ٢-تأثير الالتواءات المحدبة .
- ٣-تأثير الانكسارات الرأسية .
- ٤-تأثير القباب الصخرية البركانية .
- ٥-تأثير السدود (القواطع) والعروق النارية .

* ألقى نُشر البحث في ندوة الجغرافيا والمشاكل البيئية والاجتماعية المعاصرة ، قسم الجغرافيا ، جامعة دمشق ، نوفمبر ١٩٩٥ .

كما تواجه عملية الاستفادة بمائية الوديان عدد من الصعوبات الثانوية الأخرى أهمها:

- ١- صغر المساحات المتاحة استغلالها زراعياً بالمياه المحجوزة أمامها السدود و حواجز التعويق المائي التي كثيراً ما تتراكم أمامها كتل الأحجار والجلاميد مما يقلل من كفاءتها .
- ٢- ضرورة استخدام الروافع الهيدروليكية لاستغلال مياه الصهاريج الرومانية و الهدارات مما يستغرق الوقت و الطاقة .
- ٣- انجراف تربة بطون الأودية و مراوحها الفيضانية أثناء السيول العارمة مع صعوبة التنبؤ بها .
- ٤- حدوث المنازعات و التناحر بين السكان بسبب استئثار المزارع الواقعة على بطون الأودية على مياه السيول الشحيحة دون المزارع الواقعة عند المصببات .

الأساس التاريخي و الإطار النظري للمنظومة المائية المقترحة :
تعددت محاولات الإنسان للاستفادة من انسياب المياه بالجاذبية الأرضية ومحاولة لتوجيهها للمناطق التي يحتاج إليها . ولكن تركزت هذه المحاولات بصورة أساسية على الاستفادة من مياه العيون المتدفقة و الينابيع Springs ، ولعل أبرز هذه المحاولات : الأساليب المتبعة في بلاد فارس و الأناضول و شبه الجزيرة العربية ، و خاصة في بلاد الأسياح بإمارة القصيم بالمملكة العربية السعودية ، حيث أتاحت للباحث فرصة التعرف ميدانياً على شبكة قنوات مائية قديمة ، محفورة لنقل مياه العيون الطبيعية في اتجاه الأرض القابلة للزراعة ، على هوامش مدينة العين بمنطقة الأسياح للاستفادة من الدفع الذاتي للمياه للجاذبية الأرضية^(١).

كما تفقد الباحث مجموعة من الأنابيب الحجرية أنشئت خلال فترة الحكم العثماني لمصر بمنطقة عين الجديرات جنوب بلدة القصيمة ، بهدف نقل مياه إحدى العيون الطبيعية بالجاذبية الأرضية عبر هذه الأنابيب إلى خزانات حجرية مكشوفة إلى حين الاستفادة منها في أعمال الري^(٢).

(١) زيارة ميدانية خلال فترة إعاره الباحث لكلية العلوم العربية و الاجتماعية بالقصيم - جامعة الإمام محمد بن سعود الإسلامية ، بالمملكة العربية السعودية ، و ذلك خلال تصوير فيلم فيديو تعليمي - تحت إشراف الباحث - يتناول الأشكال الأرضية بمنطقة القصيم بالتعاون مع أمانة التعليم بالقصيم خلال العام الجامعي ١٥ - ١٤١٦ هـ الموافق ٩٤ - ١٩٩٥ م.

(٢) زيارة ميدانية لمنطقة عين الجديرات جنوب بلدة القصيمة للتعرف على أسلوب إنشاء شبكة أنابيب للاستفادة من مياه العين بالتعاون بين الوحدة المحلية لمركز و مدينة الحسنة و وكالة التعاون الفني الألماني ، و ذلك خلال شهر أغسطس ١٩٩٤ .

و قد اكتشفت بعثة قطاع الآثار الإسلامية و القبطية بالمجلس الأعلى للآثار المصرية مجموعة وحدات معمارية بتل كفر الحمام بمحافظة المنوفية ، و هي عبارة عن وحدة متكاملة من القنوات الفرعية و الحجرية ، كانت تستخدم في جلب المياه الجوفية و توزيعها بالانسياب ، لتغذية المنطقة المحيطة بها بالمياه ، و يرجع د. عبد الحليم نور الدين أمين عام المجلس الأعلى للآثار أن هذا الكشف يعود إلى العصر المملوكي^١. و تقوم فكرة المنظومة المائية المقترحة على تطوير الأساليب التاريخية التي كانت تستخدم في نقل مياه العيون بالانسياب الذاتي بقوة دفع الجاذبية الأرضية ، و لكن في نقل مياه الجريان السطحي للأودية من مناطق تجمعها عند قيعان الروافع العليا للوديان ، عبر شبكة من الأنابيب ، إلى مجموعة من الخزانات تتشأ بالقرب من الأراضي الصالحة للاستزراع ، و توزيعها عليها عن طريق شبكة للرى بالتنقيط ، بعد تنقيطها تلقائيا من الأحجار و الحصى و الرواسب المصاحبة للمياه .

الملاحج الجغرافية الطبيعية لحوض وادى عمرو:

١- الموقع الفلكي و الجغرافى :

يقع حوض وادى عمرو فى الجزء الشمالى الشرقى من جزيرة سيناء متاخما للحدود الدولية الشرقية لجمهورية مصر العربية ، و يمتد الحوض فيما بين دائرتى عرض ٤٥ ٣٠ ، ٥٣ ٣٠ شمالا ، و بين خطى طول ١٦ ٣٤ ٠ ٢٥ ٣٤ شرقا ، و يشغل الحوض مساحة تقدر بنحو ٢ ، ١٧٣ كم^٢ ، و يبلغ أقصى طول لحوضه من منابعه العليا حتى مخرجه حوالى ٢٠ كم ، و أقصى اتساع لامتداد العرضى ٦ ، ١٧ كم^٢ (شكل ١١-٢) .

٢- شكل و سمات شبكة التصريف :

تأخذ شبكة التصريف الشكل الشجرى فى معظم أجزاءها ، حيث تتبع مجاريها العليا الرئيسية من مجموعة تلال متناثرة ، تبرز من نطاق القصيمة الهضبية الممتد فى صحراء النقب و أهم هذه التلال من الشرق للغرب : جبل الوجيز (٣٢٠ متر) ، و جبل أم شيحان (٢٧١ متر) ، و جبل الأبيض (٤٦٥ متر) ، و جبل العمرو (٤٧٤ متر) ، و جبل هاجار (٣١١ متر- خارج حدود مصر الشرقية بالقرب من بلدة العوجة) (شكل ١١-٣) ، و تتجه شبكة التصريف بوجه عام صوب الشمال ، حيث تلتقى روافدها فى مجرى رئيسى متسع هين

^١ تصريح للمنول بإذاعة القاهرة بتاريخ ٢٣ / ٣ / ١٩٩٥ .

^٢ بالقياس من خريطة طبوغرافية صادرة عن إدارة المساحة العسكرية المصرية ١ : ١٠٠ ٠٠٠٠ عام ١٩٨٤ (لوحة للقصيمة) .

الانحدار ، تفترشه الرواسب الطفلية Loam مختلطة بكتل الجلاسيد والحصى، قبل أن تضيق ملامح منطقة المصب في النطاق السهلي المرصع بالسباخ والمستنقعات الشتوية ، التي تطوقها الغطاءات الرملية الزاحفة على بقايا واديا الحريضين و الأزاريق اللذين كانا يرفدا وادى العريش قبل إنطمار معظم أجزاءهما تحت الرمال التي تسفيها الرياح .

٣- الخصائص الجيولوجية :

تتشكل منطقة حوض وادى عمرو من الصخور الرسوبية بصورة كلية ، و يمكن تمييزها من الأقدم للأحدث فى التكوينات الجيولوجية الآتية (Shata. A... 1960 p121) :

(أ) تكوين المغارة (الكريتاسى الأعلى) : يعد تكوين المغارة التابع للكريتاسى الأعلى (الزمن الجيولوجى الثانى) أقدم أنواع الصخور المميزة بمنطقة البحث ، وتشكل صخور هذا التكوين بصفة أساسية من كتل الطباشير الناصع البياض ، المختلط بقليل من المارل و الصوان بسمك يتراوح بين ١٠٠ و ١٥٠ متر ، وتميل طبقاتها ميلا خفيفا فى اتجاه الشمال الشرقى ، و يغطى هذا التكوين مساحات محدودة من حوض وادى عمرو ، تنتشر على هوامش خطوط تقسيم مياهه و بصفة خاصة على سفوح جبل العمرو .

(ب) تكوين طفل إسنا (اليوسين) : تتكون هذه الطبقة من الطفل الرصاصى Grey shale المتباين السمك من منطقة لأخرى ، و مغطاه فى بعض أجزائها بقبع متناثرة بنية اللون من الصوان بسمك يبلغ حوالى ٥٠ متر ، و تبدو هذه الطبقة كشريط ضيق يكاد يرتبط بالقمم العليا المحدد لخط تقسيم المياه الرئيسى للحوض ، و بصفة خاصة هوامشه الغربية و الجنوبية (شكل ١١-٤) .

(ج) تكوينات الإيوسين : تنقسم تكوينات الإيوسين التابعة للزمن الثالث الجيولوجى إلى مجموعتين هما :

تتبع الأولى منهما : الإيوسين الأسفل و هى تغطى أكثر من ٨٠% من مساحة المنطقة محل البحث ، و هى تتألف من الطباشير و الحجر الجيري الطباشيرى. والصوان بسمك ٣٠ متر ، فى المنابع العليا للحوض ، ويزداد السمك تدريجيا بالاتجاه شمالا حتى يبلغ حوالى ٥٠ متر فى منطقة المصب ، و تميل طبقات هذا التكوين ميلا خفيفا فى اتجاه الشمال الغربى . و تظهر تكوينات الإيوسين الأسفل فى معظم أجزاء الحوض ، وبصفة خاصة فى أراضي ما بين الأودية و على سفوح منحدرات جوانبها (شكل ١١-٤) . أما المجموعة الثانية فتتبع الإيوسين الاعلى ، و هى تنتشر على شكل بقع متناثرة محدودة المساحة تتألف من كتل الحجر الجيري البلورى Massive crystalline limestone ، مختلطة بالطباشير

والحجر الطباشيري ، و عديسات متفرقة من الصوان بسمك يتراوح بين ٥٠ ، ١٠٠ متر .

(د) تكوينات البلايوسين و ارسابات الزمن الرابع :
تنتشر الارسابات التابعة للبلايوسين (الزمن الثالث) في الأجزاء السفلية المتاخمة لمنطقة البحث شمالا ، بسمك يصل لنحو ١٥ متر ، و هي تتكون من المارل الأصفر تقع أسفلها طبقة رقيقة من الكونجلوميرات الحمراء اللون بسمك لا يتجاوز المترين ، و تظهر الطبقة الأخيرة على قيعان بعض الروافد العليا لوادي عمرو .

أما رواسب الزمن الرابع فتقسم إلى قسمين رئيسيين : الأول منهما عبارة عن الارسابات الفيضية المنقول على قيعان مجارى الأودية ، التي تتشكل من الطفل و الطفلة الجيرية Calcareous loam و تتألف رواسب القسم الثاني من التجمعات الرملية المنقولة بالرياح ، التي تبرز فوقها بعض الكتلان الرملية المتحركة (شكل ١١- ٤) .

و تقع منطقة القصيمة و ما حولها ضمن حزام جنوب شرق البحر المتوسط المحدد للوح الأفريقي التكتوني الصلب ، و تمتد في إقليم منطقة القصيمة موجات متتالية من الكتل القبابية المحدبة تتخذ اتجاهها عاما من الشمال الشرقي الى الجنوب الغربي ، كما تقطع هذا الاقليم مجموعة من الانكسارات الطولية توازي محاور الالتواءات في نطاق القباب (33 p . 1960 Shata, A ., السيد الحسيني ، ١٩٨٧ ص٧) . كما أكدت الدراسات التي أجريت للتراكيب الجيولوجية التي تعقد صخور الأساس العميقة أنها تتأثر بمجموعة انكسارات رأسية تحت السطح ذات رميات تتراوح بين ٥٠٠ متر و ١٥٠٠ متر (El . , Sabry , Rahman , M., 1972 p. 33) .

مبررات اختيار حوض وادي عمرو لتطبيق المنظومة المائية المقترحة :
اختير حوض وادي عمرو لتطبيق المنظومة المائية المقترحة للأسباب الآتية :

- ١- استقبال الحوض كمية مناسبة من الأمطار تقدر بحوالي ٣ ، ١٦٢ مم سنويا^١ وأكبر كمية من الأمطار سقطت في يوم واحد بمحطة أرصاد القصيمة حوالي ٢٤،٢ مم يوم ١٩٦٤ ، وفي محطة أرصاد رفح حوالي ٣٧ مم (بدون تاريخ)^١

^١ تم تقدير كمية التساقط السنوي بمنطقة الحوض على أساس حساب المسافة النسبية لموقع الحوض فيما بين محطتي أرصاد القصيمة التي تبعد ٢١ كم جنوب مركز الحوض ، و محطة رفح التي تبعد ٤٨ كم شماله ، وذلك من سجلات المتوسطات المناخية حتى عام ١٩٧٥ ، المصادرة عن الهيئة المصرية لعلمة للأرصاد الجوية بالقاهرة عام ١٩٧٩ ، راجع (شكل ١١-٧)

٢- عدم وجود أية صورة من مظاهر الاستغلال الزراعي و الرعوي لتربة بطون الأودية الطفلية ، و لجوء الأهالي لجلب المياه لاستخدامها في أغراض الشرب و تربية أعداد محدودة من الحيوانات^١ ، و ذلك بسبب زيادة أعماق طبقات الحجر الرملي النوبي التابعة للكريتاسي الأسفل لعمق يتراوح بين ٢٠٠ ، ٣٥٠ متر (Zaghloul, E., et . el., 1993 p 454) و عدم جدوى رفعها بسبب ارتفاع نسب ملوحة مياهها لقيم تتراوح بين ٥٠٠٠ ، ١٠٠٠٠ وحدة في المليون (Zaghloul, E., et . el., 1993 p 450) (شكل ١١-٥) .

٣- انسياب المياه الجوفية العميقة لتكوينات الكريتاس الأسفل (الحجر الرملي النوبي) في اتجاه الشرق خارج الحدود السياسية لجمهورية مصر العربية ، على الرغم أنها الطبقة الرئيسية الحاملة للمياه في إقليم وسط شبه جزيرة سيناء ، و التي تعلق عليها الأمل في أعماق هذا الإقليم (مغاوري دياب ، ١٩٩٣ ص ١٠٣) ، و يبلغ معدل انسياب المياه الجوفية للشرق من هذا الإقليم نحو ١٤٠٠٠ متر^٣/ يومياً ، بما يساوي ١٠ × ٥ متر^٣/ سنوياً (شكل ١١-٦) ، و مما يذكر أن إجمالي انسياب المياه الجوفية التابعة للكريتاسي الأسفل من شبه جزيرة سيناء، حوالي ١٠ × ١٥ متر^٣/ سنة ، تتجه الى خارج الحدود الدولية شرقاً (شكل ١١-٦) ، (Zaghloul, E., et . el., 1993 p 452) .

٤- ضياع معظم حمولة الجريان السطحي للوادي اثناء فترات السيول ، التي تفتقر النطاق السهلي أمام مخرج الوادي على شكل فيضان غطائي Sheet flood ، مما يساعد على تبخر نسبية كبيرة من المياه المتجمعة في المسطحات السبخية المنتشرة في منطقة الرويسات (شمالي مصب الوادي ببضعة كيلو مترات).

٥- العمل على استقرار سكان المنطقة و عدم نزوحهم و هجرتهم إلى الشريط الساحلي وخاصة بعد شق ترعة السلام .

تصميم عناصر المنظومة المائية المقترحة:

تتكون المنظومة المائية المقترحة بحوض وادي عمرو من عدة عناصر هي :

١- الخزانات الأولية الأرضية (خزانات بطون الأودية):

^١ مجلات المتوسطات المناخية السابق ذكرها عام ١٩٧٩ ص ٢٣٢ ص ٢٣٥ .
٢ ملاحظة ميدانية و مقابلة شخصية مع رئيس و أعضاء المجلس القروي المحلي لقريّة لولاد عمرو خلال شهر يوليو ١٩٩٤ .

الغرض من حفر هذه المجموعة من الخزانات الأرضية مجرد اعتراض مسار الجريان السطحي للوادي عند منابعه العليا و نقل المياه المتجمعة في هذه الخزانات بصورة مباشرة عبر شبكة من الأنابيب . و تنشأ هذه الخزانات بحفر خنادق عرضية عمودية على اتجاه المجرى ، في مواقع مختارة أعلى نقاط تجديد الشباب Knick points ، بعد تغطيتها بشبك مصنوع من الأسلاك الضيقة ، حتى تسمح بمرور المياه دون كتل الأحجار و الحصى الذي يندفع إلى أسفل نقطة التجديد تلقائياً بعيداً عن الخزان المحفور في قاع المجرى ، و تبطن هذه الخزانات بمادة مانعة للتسرب مثل البولي إثيلين أو الفيبرجلاس أو القار^(١) .

كما تنشأ مجموعة من السدود الركامية التعويقية قبيل موقع الخزان عن طريق أنبوب ذو مأخذ مقلوب و متسع و يتم تغطيته بالأسلاك الضيقة ، و يخترق هذا الأنبوب الصخور المكونة لنقطة التجديد عند الجزء السفلي من الخزان ، مع ترك جزء ميت من سعة الخزان يسمح بتراكم الرواسب على قاعه (شكل ٨-١١) ، و يراعى عند اختيار مواقع هذه المجموعة من الخزانات الضوابط الآتية:

(أ) تحفر الخزانات الأرضية على قيعان مجموعته مختارة من الروافد العليا لمجاري الأودية بحيث يستقبل كل خزان منها مائية مساحة حوضية مناسبة لحجمه ، مع المحافظة على اختيار أعلى منسوب متاح في نفس الوقت ، أى تحقيق أكبر حجم من المياه عند أعلى منسوب لموقع الخزان .

(ب) يراعى اختيار مواقع الخزانات عند الأجزاء الضيقة من مجاري الأودية لتقليل نفقات الحفر و بناء جسم الخزان و تبطين جوانبه بالمادة المانعة للتسرب و الشبك المنقى للحصى .

(ج) يفضل حفر الخزانات الأرضية في الصخور غير المنفذة للمياه لاستقبال أكبر قدر متاح من مائية الروافد المغذية للخزان الأرضي .

(د) تقدير موازنة مائية لأحواض تجميع المطر Catchment basins المغذية لكل خزان أرضي على حدة ، حتى يمكن استخدام هذا التقدير في تحديد سعة كل خزان بحث يتناسب مع القدر المتوقع استقباله من المياه .

(هـ) يلاحظ ملائمة قطر الأنبوب من جسم الخزان الأرضي مع حجم المياه المتجمعة فيه ، و يفضل استخدام فوهة مخروطية متسعة لسرعة تفريغ الخزان من المياه و استعداد لاستقبال المزيد من المياه السيول الفجائية المتكررة .

(١) يمكن الاستعانة بأحد المختصين في الجيولوجيا الهندسية لتصميم المخطط الهندسي للخزان و تحديد سمك حوائط الخزان و المادة المستخدمة في بنائه.

(و) تطهير الخزان الأرضي من الرواسب المتركمة على قاعه عقب فترات السيول المتتالية و الحرص على عدم انسداد فوهة الإنبوب ، و التأكد من عدم امتلاء الجزء الميت من سعة الخزان بالرواسب .

وقد تم اختيار مواقع ٢٠ خزان أرضي تغطي أحواضها التجميعية حوالي ٣، ٦٢ كم^٢ (جدول ١١-١، و أشكال ٩، ١٠، ١١)، تتراوح مناسبتها بين ١٩٥ متر للخزان رقم ١/١، ٣٣٥ متر للخزان رقم ٢/١. كما تتباين مساحتها التجميعية بين ١،١ كم^٢ للخزان رقم ٨/١، و ٦/١ كم^٢ للخزانات أرقام ٤/١، ١٥/١، ١٨/١. و ترتبط معظم مواقع الخزانات الأرضية المختارة بنقاط تجديد الشباب فيما عدا خزانات أرقام ٣/١، ٤/١، ٥/١، التي اضطر الباحث لتحديد مواقعها دون التقيد بمواقع نقاط تجديد الشباب حتى يمكن الاستفادة من مائية رافد أم رملية، الذي لا تتناسب مواقع نقاط تجديد شبابه مع تجميع قدر من مائته، و يمكن الاستعاضة عنها بحفر عتبة أو درجة سلمية يتم تجهيزها في الموقع المختار هندسيا^(١).

٢- خزانات التجميع الثانوية و شبكة الأنابيب الأولية :

تتصدر مهمة شبكة الأنابيب الأولية في نقل المياه المقدر تجميعها بالخزانات الأرضية إلى خزانات التجميع الثانوية، و روى عند تخطيط مساراتها، و اختيار مواقع مجموعة الخزانات الثانوية المتصلة بها عدة اعتبارات هي :

(أ) دراسة العلاقات المكانية للعناصر الطبوغرافية المكونة للحوض، و المحافظة على فارق المناسيب بين مجموعتي الخزانات الأولية و الثانوية للاحتفاظ بقوة دفع المياه بالجاذبية الأرضية، مع مراعاة تقليل أعداد هذه الخزانات قدر المستطاع لتقليل النفقات الإنشائية .

(ب) يراعى ملائمة سعة كل خزان ثانوي مع القدر المتوقع تجميعه بالانسياب من مجموعة الخزانات الأرضية المرتبطة به .

(ج) يتم إنشاء مجموعة من أحواض ترسيب الغرين Desilting basins على طول شبكة الأنابيب لحجز حبيبات الرمل و الغرين العالق بالمياه، و هي عبارة عن أحواض حجرية مكشوفة تسمح بتراكم الرواسب على قيعانها، كما يمكن تزويدها بمصافي للمواد العالقة Debris screens للمحافظة على خلو المياه من المواد الدقيقة العالقة (محمد احمد معتوق، ١٩٩٣ ص ٥٥)، و يفضل استخدام

(١) تم تحديد مواقع الخزانات الأرضية استرشاداً بدراسة و تحليل الخرائط الطبوغرافية كارتوجرافيا (خريطة طبوغرافية صادرة عن إدارة المساحة العسكرية بالقاهرة بمقياس ١: ١٠٠,٠٠٠ عام ١٩٨٤ - لوحة التقسيم)، و الصورة الجوية الصادرة عن نفس الإدارة عام ١٩٥٥، بمقياس ١: ٢٥,٠٠٠ إلى جانب الدراسة الميدانية لأجزاء مختارة من الوادي خلال شهري يوليو و أغسطس ١٩٩٤.

مصافى ذات فتحات أو تقوَب متسعة نسبياً عند أجزاء شبكة الأنابيب الأولية ، ثم استخدام فتحات أدق في أجزاء الشبكة الثانوية و النهائية للنظام .
وقد بلغ إجمالى أطوال شبكات الأنابيب الأولية بالمنظومة حوالى ٤٥ ، ٦٥ كم بقطر ٤ بوصة ، و هى تستخدم فى نقل المياه من مجموعة الخزانات الأرضية إلى خزانات التجميع الثانوية التى يبلغ عددها خمسة خزانات ، تتراوح مناسبتها بين ٢٢٥ متر للخزان رقم ١/٢ ، ٢٦٠ متر للخزانين رقم ٢/٢ ، و رقم ٣/٢ (جدول ١١-١ ، و شكل ١١-١٠) . و تستقى مجموعة الخزانات الثانوية مياهها من عدد سبعة عشر خزان أولى بعد استبعاد ثلاثة خزانات تقتصر مهمتها على رى أراضي بطون أودية المشقة و الوجيز و الربع و البرعجينة بصورة مباشرة (شكل ١١-١٠) .

٣- خزانات التجميع الرئيسية و شبكة الانابيب الثانوية :

خططت مسارات شبكة الأنابيب الثانوية لنقل المياه المتجمعة فى الخزانات الثانوية و توجيهها بالانسياب إلى اثنين من خزانات التجميع الرئيسية بالأجزاء الدنيا من الحوض ، بحيث يستقبل هذين الخزائين القدر الأكبر من مائية الشبكة بعد استبعاد حصيلة الخزان الثانوى رقم ٢ / التى توجه لاستزراع بطون وادى عمرو الأوسط و الوجيز مباشرة (جدول ١١-١ ، و شكل ١١-١٠) . و قد بلغ إجمالى أطوال شبكات الأنابيب الثانوية حوالى ٨ ، ١٥ كم بقطر ٦ بوصة ، و يراعى تحديد مساراتها و مواقع الخزائين الرئيسيين مجموعة الضوابط السابقة .

٤- خزان التوزيع النهائى و شبكة الانابيب الرئيسية :

تقوم شبكة الأنابيب الرئيسية بنقل الرصيد المائى المتجمع فى خزائى التجميع الرئيسيين نحو خزان التوزيع النهائى بالانسياب التلقائى من منسوب ٢٣٠ ، ٢٣٨ متر إلى ٢٢٤ متر فوق سطح البحر ، بطول إجمالى ١٣ كم لشبكة الأنابيب الرئيسية . و قد روعى اختيار موقع الخزان النهائى فوق ربوة ترتفع عن النطاق السهلى أمام مخرج الوادى بنحو ١٦ متر فى المتوسط ، للمحافظة على قوة دفع المياه عند توزيعها للحقول الزراعية عبر شبكات الرى بالتنقيط . كما يشرف موقع الخزان المقترح على طريق مرصوف يربط مدينة العريش شمالاً بالقصيمة

جنوباً ، كما يمتد شرقاً حتى الحدود المصرية الشرقية^(١) ، و يمكن استخدام هذا الطريق في عمليات صيانة المنظومة المائية و إدارتها ونقل المياه إلى الخزان الرئيسى فى حالات الجفاف الاستثنائية و عدم تعرض المزروعات للهلاك .

الخصائص الهيدرولوجية للمنظومة :

تم تقدير حجم المياه المتدفقة عند مواقع الخزانات خلال أشهر موسم المطر ، و ذلك ، بحاصل ضرب المتوسط الشهري لكمية المطر بمنطقة البحث بالمليمتر (بالقسمة على ١٠٠٠ للتحويل لأمتار) فى المساحة الحوضية المغذية لكل خزان بالأمتار المربعة ، مع عدم وضع نسبة البخر و التسرب فى الاعتبار . و من ذلك تبين أن القدر المتوقع استقباله من المياه فى خزان التوزيع النهائى يصل لنحو ٦ ، ٢٦ مليون متر^٣ سنوياً ، مع استبعاد مجموعة الخزانات التى يقتصر دورها على رى أراضي بطون الاودية مباشرة (جدول ١١-٢) .

وعند تقدير السعة الاستيعابية للخزانات شهرياً تم الاكتفاء بتقدير نسبة ١٠% فقط من حجم المياه المتوقع سقوطها على أحواضها ، و افتراض ضياع ٩٠% من حجم المياه من التسرب و البخر ، لتوخى الحذر و التحفظ عند تقدير أحجام الخزانات . و على ذلك تكون السعة الإجمالية لخزان التوزيع النهائى حوالى ٦٢٦ ألف متر مكعب سنوياً ، و تتراوح هذه السعة بين ٤٠٠ متر مكعب من أقل الشهور مطراً (مايو)، و أكثر من ١٦٥ ألف متر مكعب من المياه خلال شهر ديسمبر الذى يمثل أعلى الشهور إيراداً (جدول ١١-٣) .

و قد أمكن تقدير الأحجام المتلى للخزانات على أساس اختيار أعلى شهور موسم المطر إيراداً (ديسمبر) كمقياس تحديد أحجام الخزانات ، حتى تتجمع بالمنظومة أرصدة مائية تراكمية خلال أشهر السنة ، و يتبين من ذلك أن حجم الخزان النهائى يبلغ حوالى ١٦٥ ألف متر^٣ ، و أن الحجم الأقصى لتخزين المياه من المنظومة يقدر بحوالى ٦٢٤ ألف

(١) يتم فى الوقت الحالى شق طريق يمتد من رفح شمالاً و حتى طابا جنوباً بمحاذاة خط الحدود الدولية و يتصل بالطريق المذكور (ملحوظة حديثة للباحث : تم إنشاء هذا الطريق عام ٢٠٠١) .

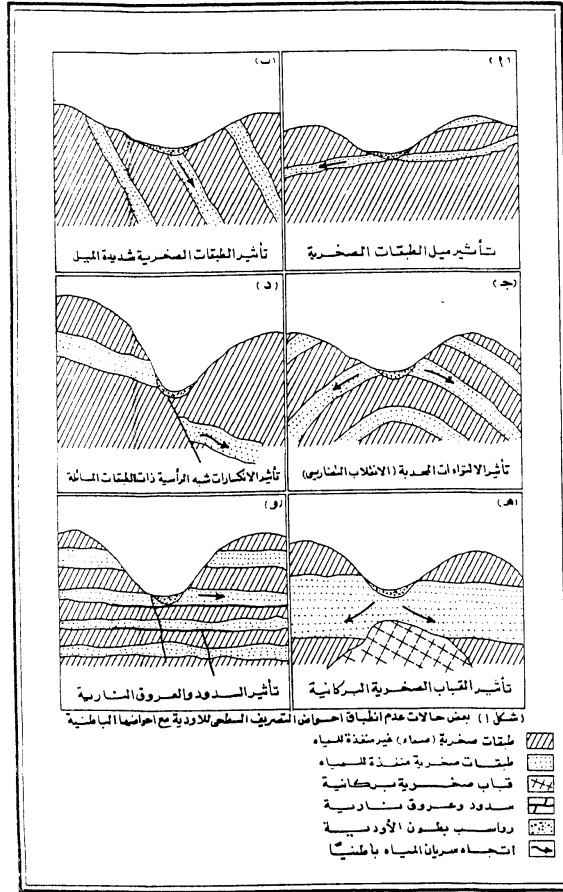
متر^٢ عند امتلاء جميع خزاناتها بالمياه في نفس الوقت (جدول ١١ - ٤)، أما حجم المياه الإجمالي المتجمع سنوياً في جميع أجزاء المنظومة شاملاً خزانات الري المباشر لأراضي بطون الأودية يبلغ ١،١ مليون متر^٣ (جدول ١١ - ٥).

و تكفي كميات المياه المقدر تجميعها في المنظومة لري حوالي ٤٦٥ فدان باعتبار أن معدل ري الفدان الواحد ١٠ متر^٣/يومياً، على أساس المتوسط الحسابي لكميات المياه اللازمة لاستزراع المناطق الحارة (١٠-٢٥ متر^٣/يومياً)، وبين المناطق الباردة (٥-١٢ متر^٣/يومياً)، وذلك بالنسبة للأراضي الرملية (محمد أحمد معتوق، ١٩٩٣ ص ١٥٢)، وتم تقدير هذه المساحة بحيث تروى بصورة يومية لمدة ثمانية أشهر في العام مع استبعاد أشهر الجفاف الأربعة (يونيو/سبتمبر) لتقليل نسبة البخر و إجراء عمليات صيانة المنظومة (جدول ١١ - ٥).

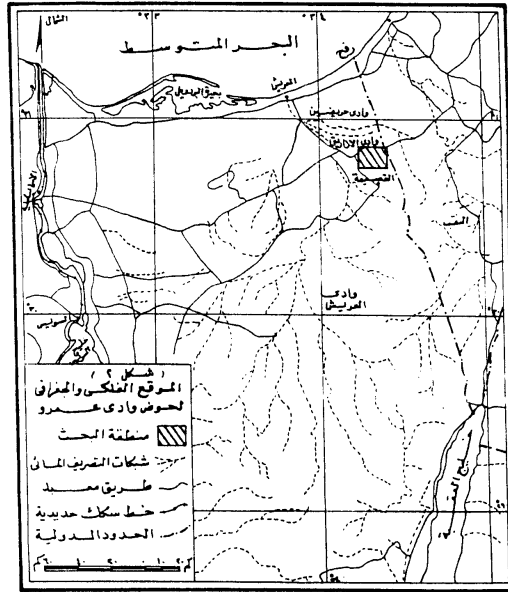
الخاتمة :

نستنتج من الدراسة أنه ينبغي توافر عدد من الشروط لتعميم المنظومة المائية المقترحة، لاستغلال مائية أحواض أخرى من الوديان شبه الجافة، وأهم هذه الشروط هو وجود عوائق أو مشاكل جيولوجية تقلل من الاستفادة من المياه المتسربة عبر رواسب بطون الأودية، و سقوط كميات مناسبة من الأمطار على الحوض، و وضوح التباين التضاريسي بين منابع الحوض ومخارجه، و انتشار نقاط تجديد الشباب على قيعان منابعه العليا، إلى جانب توافر التربة الصالحة للاستزراع بالقرب من أجزاءه الدنيا.

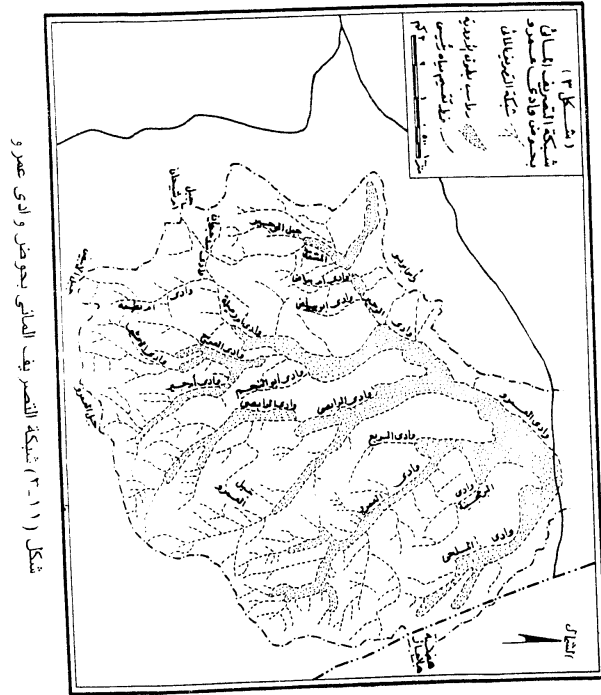
و تعد أحواض شمال شرق شبه جزيرة سيناء، و ساحل إقليم مريوط، أكثر المناطق صلاحية لتعميم هذا المقترح في مصر، لتوافر الضوابط الملائمة لتنفيذ المقترح، و أهمها اتسباب المياه الجوفية إلى خارج الحدود السياسية للدولة، و ارتفاع نسبة ملوحتها بالنسبة للنطاق الأول بشبه جزيرة سيناء، و زيادة فرص ضياع مياه السيول عند اندفاعها الفجائي في اتجاه البحر المتوسط بالنسبة للنطاق الثاني بساحل إقليم مريوط.



شكل (١١-١) بعض حالات عدم انطباق أحواض التصريف السطحي للأودية مع أحواضها الباطنية



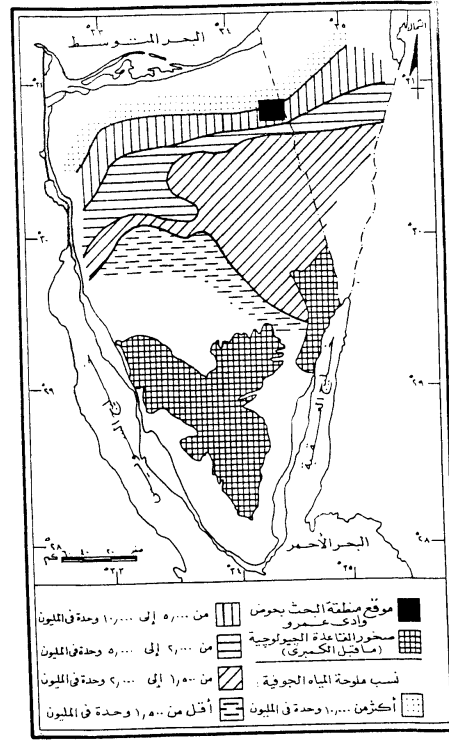
شكل (٢-١١) الموقع الفلكي والجغرافي لحوض وادي عمرو





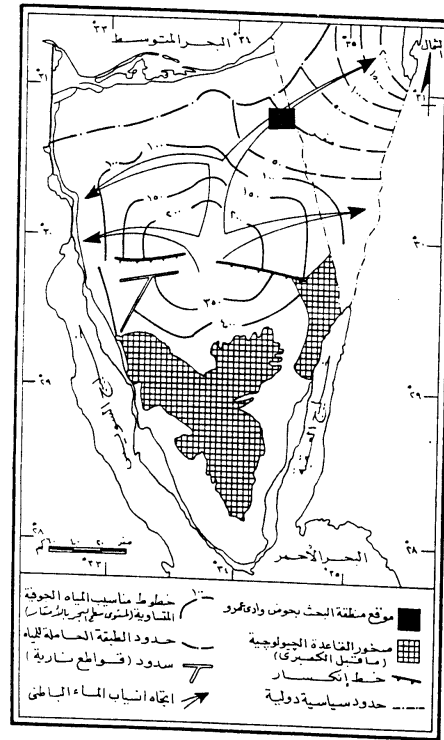
المصدر: ١٩٦٠ و ٨٠ SHATA

شكل (١١-٤) جيولوجية حوض وادي عمرو



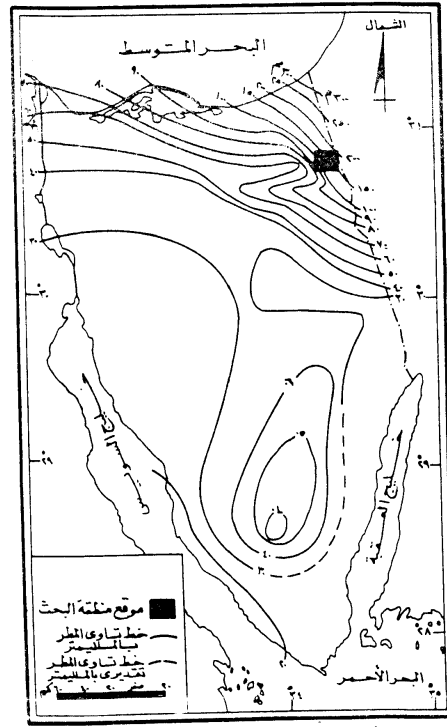
المصدر: ZAGHLOUL, E, ET. AL., 1993, P. 451

شكل (٥-١١) خطوط ملوحة المياه الجوفية المتساوية في تكوينات الكريتاسي
الأسفل الحاملة للمياه بشبه جزيرة سيناء



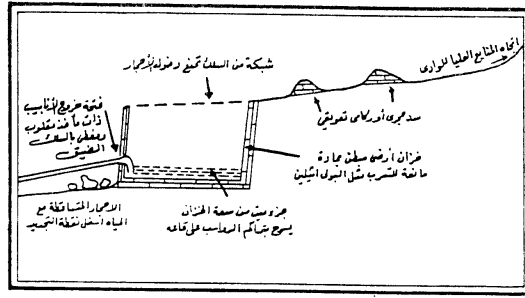
المصدر: ZAGHLOUL ET AL., 1993, P. 446

شكل (٦-١١) اتجاه انسياب المياه الجوفية في تكوينات الكريتاسي الأسفل الحاملة للمياه بشبه جزيرة سيناء

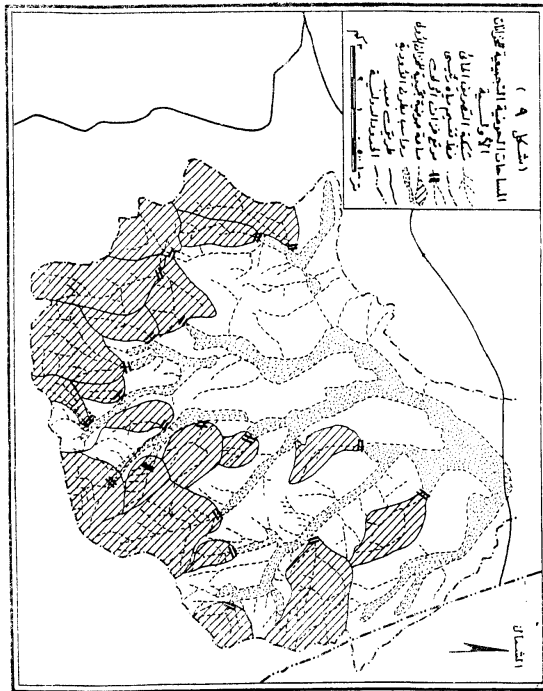


المصدر: السيد الحفيظ، ١٩٨٢، ص ٨٥

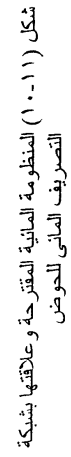
شكل (٧-١١) متوسط كميات المطر السنوي بالمليمتر بشبه جزيرة سيناء

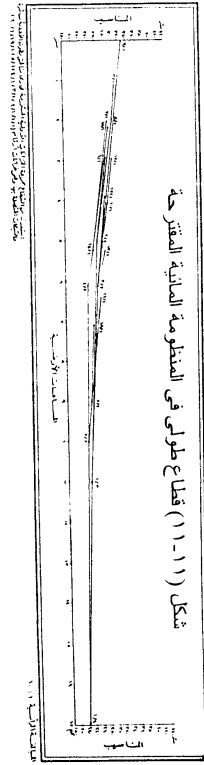


شكل (٨-١١) رسم توضيحي لأحد الخزانات الأرضية (خزانات بطون الأوبية) المحفورة في نقط تجديد الشباب



شكل (١١-٩) المساحات الحوضية التجميعية للخزانات الأولية





[illegible]

الامتحان المكعبة

[illegible]

جدول (٣-١١) السعة الاستيعابية للخزانات شهريا بالآلاف الأمتار المكعبة

المجموع	السعة الاستيعابية للخزان خلال موسم الأمطار بالآلاف الأمتار المكعبة										رقم الخزان	نوع الخزان
	ديسمبر	يناير	فبراير	مارس	أبريل	مايو	يونيو	يوليو	أغسطس	سبتمبر		
٧٨٤٠	٢٠٧	١٨٠	١٩١	٨٩	٥٠	٥٠	٢٠	٢٠	٢٠	٢٠	١٧/١	أولي (بطون الأرياف)
٣٦٩	١٠٠	٩٠	١٢٠	١٢٠	١٢٠	١٢٠	١٢٠	١٢٠	١٢٠	١٢٠	١٧/١	
٥٣٣	١٢٠	١٢٠	١٢٠	١٢٠	١٢٠	١٢٠	١٢٠	١٢٠	١٢٠	١٢٠	١٧/١	
٣١٨١	٨٤٠	٧٥١	٨٧١	٨٧١	١٢٠	١٢٠	١٢٠	١٢٠	١٢٠	١٢٠	١٧/٢	ثانوي
١٧١٠	٤٠٠	٤٠٠	٤٠٠	٤٠٠	٤٠٠	٤٠٠	٤٠٠	٤٠٠	٤٠٠	٤٠٠	١٧/٢	
١٧٥٠	٤٠٠	٤٠٠	٤٠٠	٤٠٠	٤٠٠	٤٠٠	٤٠٠	٤٠٠	٤٠٠	٤٠٠	١٧/٢	
١٢٥٠	٣٢٠	٣٢٠	٣٢٠	٣٢٠	٣٢٠	٣٢٠	٣٢٠	٣٢٠	٣٢٠	٣٢٠	١٧/٢	
١٥٤٩	٤٠٠	٣٦٠	٣٦٠	٣٦٠	٣٦٠	٣٦٠	٣٦٠	٣٦٠	٣٦٠	٣٦٠	١٧/٢	
٢٤٦	٩٠	٨١٧	٨١٧	٨١٧	٨١٧	٨١٧	٨١٧	٨١٧	٨١٧	٨١٧	١٧/٢	رئيسي
٣٧٩	٧٣٩	٧٣٩	٧٣٩	٧٣٩	٧٣٩	٧٣٩	٧٣٩	٧٣٩	٧٣٩	٧٣٩	١٧/٢	
١٦٣١	١٦٥٨	١٦٥٨	١٦٥٨	١٦٥٨	١٦٥٨	١٦٥٨	١٦٥٨	١٦٥٨	١٦٥٨	١٦٥٨	١٧/٢	التزويج النهائي

(١) تم حساب السعة الاستيعابية لكل خزان على أساس تقدير نسبة ١٠٪ فقط من حجم المياه المتوقعة جميعها في الخزانات شهريا (جدول ٢) والتراكم منها ١٠٪ من حجم المياه في التسرب والتبخر.

جدول (١١-٤) الحجم الأمثل للخزانات

نوع الخزان	رقم الخزان	حجم الخزان ^(١) ألف متر ^٣	مواصفات الخزان		
			الطول بالمتر	العرض بالمتر	العمق بالمتر
أولي ^(٢) (بطون الأودية)	١/١	٢٠	٤٠	٥٠	١٠
	١٩/١	١١	٣٠	٣٦,٧	١٠
	٢٠/١	١٤	٣٠	٤٦,٧	١٠
ثانوي	١/٢	٨٤	٧٠	٨٠,٠	١٥
	٢/٢	٤٥	٦٥	٦٦,٢	١٠
	٣/٢	٤٦	٦٥	٧٠,٨	١٠
	٤/٢	٣٣	٦٠	٥٥,٥	١٠
	٥/٢	٤١	٦٠	٦٨,٣	١٠
رئيسي	١/٣	٩١	٧٠	٨٦,٧	١٥
	٢/٣	٧٤	٧٠	٧٠,٥	١٥
التوزيع النهائي	١/٤	١٦٥	{ ٧٨ ٧٨ ٧١ } ١٥		
الحجم الأقصى للتخزين		٦٢٤			

- (١) تم تقدير الحجم الأمثل بالخزانات على أساس أقصى سعة استيعابية خلال أشهر موسم الأمطار (جدول ٣).
(٢) تم استبعاد بقية الخزانات الأولية بسبب انقصار دورها على مجرد تجميع المياه لتقلها مباشرة لبقية عناصر المنظومة وليس تخزين المياه.
(٣) يقرر الحجم الأقصى لتخزين المياه بالمنظومة عند امتلاء جميع خزاناتها بالمياه.

جدول (٥-١١) مساحات الأراضي التي يمكن ريها بالأعتماد على المنظومة المائية المقترحة بجوهر وادي عمرو

نوع التوزيع	رقم التوزيع	منطقة الري	حجم المياه السنوي (١) بـملايين متر ^٣	المساحة التقريبية للري (٢) بالهكتار
أولي (خزانات بطون الأوبع)	١/١	بطون وادي المشقة والجدير	٧٨٤٥	٣٢٧
	١٩/١	بطون وادي الربيع	٣٩٨٠	١٦٦
	٢٠/١	بطون وادي البرعجية	٥٣٣٠	٢٢٢
ثاني	١/٢	بطون وادي عمرو الأوسط والجدير	٣١٨١٠	١٣٢٥
التوزيع النهائي	١/٤	المروحة التيشية لعمرو وادي عمرو	٦٣٣٥٠	٣٦١
إجمالي المنظومة المائية المقترحة				١١٦٦٥

(١) تم تقدير حجم المياه السنوي بتأنيق جميع السعة الاستيعابية لخزان التوزيع النهائي وجمهورية الخزانات التي يقتصر دورها على ري أراضي بطون الأوبع أرقام ١/١، ١٩/١، ٢٠/١، ١/٢، ٢٠/٢ (جدول ٣).

(٢) حسب المساحة التقريبية التي يتلقاها على أساس معدل ري القدان الواحد = ١٠ متر^٣ / يومياً لمدة ثمانية أشهر في السنة مع استبعاد أشهر الجفاف (محمد أحمد معنق، ١٩٩٣، ص ١٥٢).

مصادر و المراجع البحث :**أولاً : المصادر :**

- ١- ادارة المساحة العسكرية المصرية ، خريطة طبوغرافية بمقياس ١: ٥٠٠٠٠ ، ١٠٠ ، لوحة القصيمة ، القاهرة ، عام ١٩٨٤ .
- ٢- ----- ، مجموعة صور جوية ، بمقياس ١: ٢٥٠٠٠٠ ، تصوير ، القاهرة ، عام ١٩٥٥ .
- ٣- الهيئة المصرية العامة للارصاد الجوية بالقاهرة ، سجلات المتوسطات المناخية فى القصيمة و رفح حتى عام ١٩٧٥ ، القاهرة ، ١٩٧٩ .

ثانياً : المراجع باللغة العربية :

- ١- البنك الدولي للإنشاء و التعمير ، ١٩٩٥
- تقرير عن أزمة المياه فى العالم ، ترجمة مركز الأهرام للرجمة و النشر ، القاهرة ، ١١٠ ص .
- ٢- السيد السيد الحسينى ، ١٩٨٧
- موارد المياه فى شبه جزيرة سيناء ، رسائل جغرافية ، نشرة يصدرها قسم الجغرافيا بجامعة الكويت ، و الجمعية الجغرافية الكويتية ، العدد ١٠٠ ، ٩٩ ص .
- ٣- جودة حسنين جودة ، ١٩٩٤
- المياه الحفرية و التنمية فى صحارى العالم العربى ، رسائل جغرافية ، نشرة يصدرها قسم الجغرافيا بجامعة الكويت ، الجمعية الجغرافية الكويتية ، العدد ١٦٧ ، ٣٢ ص .
- ٤- ----- ، ١٩٩٥
- مستقبل الأراضى الجافة ، رسائل جغرافية ، نشرة يصدرها قسم الجغرافيا بجامعة الكويت ، و الجمعية الجغرافية الكويتية ، العدد ١٧٧ ، ٤٤ ص .
- ٥- سعيد محمد أبو سعده ، ١٩٨٣
- هيدرولوجية الاقاليم الجافة و شبه الجافة ، وحدة البحث و الترجمة - قسم الجغرافيا بجامعة الكويت ، ١٥٥ ص .
- ٦- محمد أحمد معتوق ، ١٩٩٣
- الرى بالرش و الرى بالتنقيط ، مكتبة ألا نجلو المصرية ، القاهرة ، ٢٦٠ ص .

- ٧- محمود سعيد السلاوى ، ١٩٨٩
هيدرولوجية المياه السطحية ، الدار الجماهيرية للنشر والإعلان ،
بنغازى ، ٦٠٤ ص .
- ٨- مغاوى شحاته دياب ، ١٩٩١ .
الموارد المائية فى جمهورية مصر العربية ، المؤتمر الأول
لتطبيقات علوم الأرض ، كلية العلوم ، جامعة المنوفية ، شبير
الكوم .

ثالثا : المراجع باللغة الانجليزية :

- 1- Sabry , A.M. AND Abd EL.Rahman,MM.,1972
A Geophysical contribution to bouguer
anomalies in E-arish El-Quosaima area north
Sinai,Egypt: a study on sedimentary basement
interface, Dest. Inst. Bull., A.R.E. 22,
No.1,PP.33-53.
- 2-Shata, A., 1960
The Geology and Geomorphology of El-Qusaima
area (north east Sinai, Egypt), Geogr. Soc. Egypt.
Bull.,33, PP.95-145.
- 3-Zaghloul, E. A., Ibrahim, S. E., and Yehia, M. M., 1993
The Hydrgeology of the deep aquifers systems in
Sinai Peninsula-Egypt, Proc. Inter. Conf. 30
Years cooper, PP.427-460.

البحث الثاني عشر

أسباب اندثار الفرع البيلوزى
والأخطار البيئية التى تواجه ترعة السلام بمنطقة سهل الطينة

البحث الثانى عشر

أسباب اندثار الفرع البيلوزى

والأخطار البيئية التى تواجه ترعة السلام بمنطقة سهل الطينة *

مستخلص

يحاول البحث الكشف عن أسباب اندثار الفرع البيلوزى لطقا النيل بالاعتماد على نتائج التحليل الحجمى والجيوكيميائى، وتعيين العمر النسبى للرواسب بالكربون ١٤، وفحص بعض العينات بالميكروسكوب الإلكتروني، ودراسة الأصداف البحرية التى تم جمعها من المنطقة، إلى جانب لدراسة الميدانية للأشكال الجيومورفولوجية المتبقية عن الفرع فى منطقة سهل الطينة، وتتبع الأحداث التاريخية التى تعرضت لها مدينة الفرما الواقعة عند المصب القديم للفرع. كما يعالج البحث الأخطار البيئية التى تواجه مشروع شق ترعة السلام التى تتفق مع مسار الفرع البيلوزى بمنطقة سهل الطينة.

المقدمة :

كان الفرع البيلوزى يمتد عبر الهوامش الشرقية للدلتا إلى البحر المتوسط، ويرتبط محوره مع عيب صخرى يعرف بالانكسار البيلوزى (Neev, 1977, pp. 1-8)، ويمكن تتبع مسار هذا الفرع اعتمادا على مجموعة الأدلة الكرتوجرافية والطبوغرافية والجيومورفولوجية والترسيبية التى استخدمها تراب (Torab, 1997) فى رسم الخريطة لـ جيومورفولوجية لفروع الدلتا القديمة، ومن دراسة تلك الخريطة و(شكل ١٢ - ١) نتبين أن الفرع البيلوزى كان يتفرع من نهر النيل قرب الأطراف الشمالية من موقع القاهرة الحالى، متفقا مع امتداد الترعة الشرقاوية بطول حوالى ٢٣,٨ كيلومترا، ثم يتفرع إلى مجريين يتفق الأول منهما مع البحر الشبيني بطول ٦٤,٥ كيلومترا، وينطبق الفرع الثانى مع البحر الخليلي وبحر "أبو الأخضر"

* نشر هذا البحث فى دورية الإنسانيات، كلية أداب بمنهور - جامعة الإسكندرية، العدد الثانى - السنة الأولى، ١٩٩٨، ص ص ١٠٠-٥٣

بطول ٨٦,٦ كيلومتراً ، ثم يلتقى الفرعان مرة أخرى ويتجهان للشمال الشرقى مع امتداد مصرف بحر البقر حتى الهوامش الجنوبية لبحيرة المنزلة بطول يصل لنحو ٤٥,٤ كيلومتراً ، ويواصل الفرع امتداده حتى غربى بلدة بالوطة بطول حوالى ٣٠ كيلومتراً ، وعلى ذلك كان الفرع يمتد بطول إجمالى يصل فى المتوسط لحوالى ١٧٥ كيلومتراً .

أما مشروع شق ترعة "السلام - الشيخ جابر الصباح"^١ فيهدف إلى إحياء الفرع البيلوزى المندثر ، وإعادة استصلاح ٤٠٠ ألف فدان من الأراضى ذات التربة الفيضية التى أرسبها الفرع فى شمال غرب سيناء قبل اندثاره ، بالإضافة إلى ٢٠٠ ألف فدان غربى قناة السويس .

وتأخذ التربة مياهها من فرع دمياط عند الكيلو ٢٠٤ أمام قنطرة فارسكور ، ويتجه مسارها للجنوب الشرقى لتغذى المناطق السكنية ، واتخاذ بعض المجرى القائمة مساراً للترعة لتقليل النفقات ، وتتقاطع التربة مع مصرف بحر حادوس ، ثم تنحرف شرقاً لتعبر قناة السويس عند الكيلو ٢٧,٨٠٠ (ترقيم هيئة قناة السويس) ، ليتم نقل المياه أسفل القناة عبر مجموعة سحارات ، ثم يتفق مسار التربة مع الفرع البيلوزى تماماً من قناة السويس حتى تل اللولى لمسافة حوالى ١٤ كيلومتراً ، ثم تنحرف باتجاه الجنوب الشرقى ثم للشرق حتى تنتهى عند مدينة العريش (وزارة الأشغال العامة والموارد المائية، ١٩٧٩ ، وشكل ١٢-٢) .

الهدف من البحث :

يهدف البحث إلى التعرف على أسباب اندثار وزوال الفرع البيلوزى ، وتأثير عوامل اندثاره الفرع مشروع استصلاح أراضى سهل الطينة بعد شق ترعة السلام التى يتفق مسارها مع الجزء الأدنى من الفرع .

الدراسات السابقة :

تعددت آراء الباحثين فى تفسير أسباب زوال أفرع الدلتا القديمة فيما عدا فرع رشيد ودمياط ، ويمكن تصنيفها إلى المجموعات الآتية :

١- العوامل التكتونية أو الباطنية : فسر ليونز - Lyons, 1907, pp. 277 (286) انقراض أفرع الدلتا الشرقية إلى حركة رفع تكتونية أصابت شرق

^١ تسمى ترعة السلام غرب قناة السويس وتسمى ترعة الشيخ جابر شرق قناة السويس .

مصر ، وأيده فى هذا الرأى (عوض ، ١٩٤٨ ، ص ١٩١-١٩٢) وعلل اندثار الفرع الكانوبى إلى حدوث زلزال فى القرن السادس الميلادى. ورجح عدد من الباحثين مثل (Linant de Bellefonds, 1873, p.76) ، (Daressy, 1931, p.114) ، (Ball, 1939, p.57) ، (Murray, 1949, p.33) تعرض ساحل الدلتا الشمالى لحركة هبوط أرضى أسفرت عن غزو مياه البحر لهوامش الدلتا الشمالية ، كما أيد عدد من البحوث المعاصرين تعرض القسم الشرقى من شمال الدلتا لحركة هبوط أرضى مستمرة يقع مركزها فى أرضية بحيرة المنزلة ، إلا أنهم اختلفوا فى تحديد معدل حركة الهبوط ، إذ يرى الفيومى والنحاس (El-Fayoumy & El-Nahass, 1988, p.111) أنها لا تتعدى ملليمترًا واحدًا سنويًا ، على حين تجاوز (Sestini, 1989, pp.99-127) هذا المعدل بنصف ملليمتر سنويًا ، أما (Stanley, 1988, pp.497-500) فقد حدد معدل الهبوط بخمسة ملليمترات سنويًا.

٢- **تذبذب مستوى سطح البحر :** ربط (رشدى سعيد ، ١٩٩٣ ص ٧٦) بين تذبذب منسوب سطح البحر واختلاف معدلات ترسيب الطمي على أرض الدلتا ، حيث يجنح النهر لنهر مجراه حينما ينخفض مستوى سطح البحر فتقل معدلات الترسيب ، وينعكس الوضع فى أثناء فترات ارتفاع مستوى سطح البحر المصاحب للفترات المناخية الدفينة ، حيث يصبح النهر أكثر قدرة على نقل الرواسب التى يضيفها لسهله الدلتاوى وتساهم فى إطماء بعض فروعها.

٣- **طغيان الرمال المسافية بالرياح :** يرى (أبو العز ، ١٩٧٧ ص ٢٢٦) أن السبب فى اندثار بعض أفرع الدلتا الغربية يرجع لسفى الرمال بسبب وقوعها بالقرب من مناطق توزيع الرواسب الأوليوسينية والميوسينية و البلايوسينية السانبة . كما علل منتصر (Montasir, 1937, pp.5-6) انقراض بعض الفروع الدلتاوية إلى انسداد مصباتها بالرواسب ، ثم دفع مياهها للجنوب بتأثير الرياح الشمالية الشرقية .

٤- **التغير فى مستويات الفيضانات :** رجح (رشدى سعيد ، ١٩٩٣ ص ٨٨) إطماء بعض أفرع الدلتا فى فترات الفيضان الشحيحة حيث يزيد معدل ترسيب الطمي ، ويصعب تطهير فروع الدلتا والترع والقنوات ، خاصة مع انهيار الوضع الإقتصادى فى أثناء الفيضانات المنخفضة.

٥- **تزعزح نطاقات المطر :** أرجع (Murray, 1949, pp.32-33) سبب اندثار الأفرع الشرقية للدلتا (البيلوزى والتانيتى والمنديزى) وفروعها الغربى

(الكانوبى) إلى امتداد نطاق المطر الشتوى لمناخ البحر المتوسط صوب الجنوب خلال الفترة بين ٥٠٠ ق.م إلى ٥٠٠ م .

٦- الإهمال الناتج عن الغزوات الحربية : أشار (أبو العز ، ١٩٧٧ ص ٢٢٦) إلى تعرض المدخل الشرقى لمصر إلى العديد من الغزوات الحربية، ولذا عانت الفروع الشرقية من الإهمال طوال العصور التاريخية مما ساعد على إطمائها وضمورها .

٧- تباين مناسيب قيعان الفروع : أرجع (أبو العز ، ١٩٧٧ ص ٢٢٧) اندثار بعض أفرع الدلتا القديمة إلى تباين مناسيب قيعان الفروع نتيجة اختلاف معدلات الارساب بين أجزاء الدلتا ، حيث يؤدى إطماء أحد الفروع إلى ارتفاع منسوب قاعه فتطغى المياه على جسوره وتتساقب إلى الفرع الأقل منسوباً .

طرق وأساليب البحث ووسائله :

تعتمد الدراسة على طرق وأساليب ووسائل البحث الآتية :

أولاً : الدراسة الميدانية للأشكال الجيومورفولوجية المتبقية من الفرع وجمع عينات الرواسب : تمت الدراسة الميدانية فى زيارتين خلال شهر مايو ١٩٩٨ بهدف التعرف على بقايا الفرع البيلوزى ، ودراسة الخصائص الجيومورفولوجية للأشكال الأرضية سواء الحديثة التكوين أو المتبقية (المتخلقة) عن الفرع ، والتي قد تفيد فى دراسة أسباب اندثاره.

ثانياً : دراسة نتائج التحليل المعمل للعينات الرسوبية الآتية :

١- التركيب الجيوكيميائى لمجموعة عينات قام الباحث بجمعها من رواسب الجزء الأدنى للفرع^١ ، فى المنطقة المحصورة بين قناة السويس غرباً وتل الفرما شرقاً ، وقد بلغ عدد العينات المجمعة ١٤ عينة موزعة على أربعة قطاعات ، يتراوح عمقها بين بضعة سنتيمترات والأمطار الأربعة ، وُجمعت باستخدام حفار يدوى Manual Auger ، إلى جانب استخدام معدات تحريك وحفر التربة التى تستخدمها الشركات العاملة فى حفر الترع والمصارف بمشروع استصلاح أراضي سهل الطينة ، وتم جمع العينات بحيث تغطى أجزاء سهل الطينة ، وقاع وضافف ومصب مجرى الفرع البيلوزى التى أمكن

^١ رفق الباحث فى جمع عينات الرواسب الزميلان محمد عبده بدر الدين المدرس المساعد بالقسم ، ومحمد الشرفاوى طالب الدراسات العليا ، وتم تحليل العينات بمعامل وحدة الأرضى والمياه بكلية الزراعة - جامعة الإسكندرية .

التعرف على مساره ميدانيا ، (راجع خريطة توزيع العينات بالمنطقة بشكل ١٢ -٣) .

٢- التحليل بالميكروسكوب الإلكتروني لعينتين من الرمل تم جمعهما من بعض الجيوب الرملية Sand Pockets المتمثلة وسط نطاق الطين الفيضى ، وذلك لإيضاح أشكال حبيبات الكوارتز بهدف التعرف على العمل المنول عن ترسيب هذه الجيوب الرملية .

٣- مجموعة عينات قام بجمعها (Stanley, 1990, pp.147-154)^١ من الجزء الشمالى الشرقى للدلتا ، وتم اختيار أربعة قطاعات تمثل الجزء الأدنى من الفرع ، وهى تضم عددا كبيرا من العينات يتراوح عمقها بين ١٢ و ٥٣ مترا ، بهدف تحديد خصائص الطبقات الرسوبية ، وتعيين عمرها التقريبى بطريقة كربون ١٤ ، ويوضح (شكل ١٢-٣) مواقع هذه العينات .

٤- دراسة نتائج تعيين العمر التقريبى بطريقة كربون ١٤ لثلاث عينات قام بجمعها (Sneh & Weissbord, 1973, pp.59-61) للمصب القديم للفرع البيلوزى متاخما لئل الفرما ، وعينة مأخوذة من الرخويات المنتشرة على الحواجز البحرية الممتدة فيما بين مصب الفرع وساحل البحر المتوسط ، والعينة الثالثة من قطعة أثرية بقلعة الطينة ، (راجع مواقع العينات بشكل ١٢-٣) .

ثالثا : التحليل الكرتوجرافى للخرائط الطبوغرافية : تم إنشاء قطاع طولى للفرع البيلوزى وفرعى رشيد ودمياط ، بهدف مقارنة خصائص انحداراتها الطولية ، باستخدام مجموعة خرائط طبوغرافية تغطى الفرع بمقياس ١ : ٢٥٠٠٠ ، بفواصل رأسى نصف متر^٢ .

نتائج الدراسة :

بعد الفرع البيلوزى أحد أفرع الدلتا القديمة التى تعرضت للانقراض والزوال ، ولعل ما يلفت النظر أن جميع الفروع المندثرة كانت تصب فى البحيرات الساحلية التى ترصع شمال الدلتا ، وكانت هذه البحيرات بمثابة

^١ تم تحليل العينتين فى معمل الميكروسكوب الإلكتروني بكلية العلوم - جامعة الإسكندرية بمعاونة الأستاذ بامى شعلان .
^٢ تم تجميع العينات وتحليلها ضمن مشروع بحثى لدراسة دلتا النيل من خلال برنامج علمى لدراسة خصائص حوض البحر المتوسط ، وتم نشر النتائج التفصيلية لتحليل العينات فى : Stanley, et al, 1996 , Nile Delta Drill Core and Sample Database for 1985-1994 : Mediterranean Basin (Mediba) program (Smithsonian Contribution to the Marine Sciences).

^٣ هيئة المساحة المصرية ، خرائط طبوغرافية بمقياس ١ : ٢٥٠٠٠ ، القاهرة ، ١٩٠٧ .

مستويات قاعدة محلية تتجمع بها حمولة الفروع مما يعمل على تراكم رواسبها عقب كل فيضان ، ولعل بحيرة المنزلة أوفر البحيرات حظاً بمصببات أفرع الدلتا القديمة ، فكانت تنتهى إليها فروع البيلوزى والثانيسى والمنديزى ، حينما كانت أكبر مساحة قبل تعرضها للنقل المستمر حتى وصلت لوضعها الحالي ، أما بحيرة البرلس فكان من نصيبها الفرع السببى ، وكان الفرع الكانوبى يصب فى بحيرة أبى قير القديمة ، ولم يتخذ البحر مصباً له سوى فرع رشيد. ودمياط ، ولا يزالان مستمران حتى الوقت الحاضر (شكل ١٢ - ١).

متى اندثر الفرع البيلوزى ؟

يمكن تقدير تاريخ اندثار الفرع بدراسة الأحداث التاريخية المتتابعة على مدينة بيلزيوم (الفرما) - الواقعة على مصب الفرع الذى اشتهر باسمها^١ - والتي يلخصها (جدول ١٢-١) (Grazymski, 1997)، ومن دراسة هذا الجدول نلاحظ أن المدينة تقع على بوابة مصر الشرقية، لذا كانت مطمعا لقوات الغزاة منذ العصر الفرعونى وحتى العصر الإسلامى ، إلا أنها كانت تنهض عقب كل غزو ، وتعود لسابق مجدها وازدهارها ، مما يعطى مؤشرا للوضع الهيدرولوجى للفرع البيلوزى بطريقة غير مباشرة ، لأن هذه المدينة كانت تعتمد اعتمادا كبيرا على الفرع مصدرا أساسيا للمياه ، ويوضح تتابع الأحداث انقطاع أخبارها مع نهاية القرن الثانى عشر .

وبدراسة الخرائط القديمة التى قدمها الرحالة والجغرافيون القدامى نلاحظ أن الخريطة التى رسمها الإدريسي (١٠٩٩-١١٥٤ م) لفروع الدلتا تخلو من الفرع البيلوزى (فرع الفرما) ، مما يؤكد انقراض الفرع خلال القرن الثانى عشر .

ولكن لا يمكن الاعتماد كلية على تعاقب الأحداث التاريخية على مدينة الفرما مؤشرا لاندثار الفرع ذاته ، خاصة وأن الباحث قد ميز بعض الشواهد والأدلة الميدانية التى تؤكد استمرار استخدام مائية الفرع حتى وقت قريب ، ومن هذه الشواهد ما يلى :

- ١ - قناة مائية مبطنة بالطوب اللبن بعرض أربعة أمتار تنفرع من مجرى الفرع البيلوزى غرب تل الفرما بنحو ٦٠ مترا بطول حوالى ٣٥٠ مترا، وكانت تستخدم فى رى الأراضى الواقعة جنوب مجرى الفرع .

^١ ارتبط اسم الفرع بهذه المدينة على مر العصور ، فكان يطلق على هذه المدينة فى العصر الفرعونى اسم "بر امون" ، وسميت أثناء فترة الحكم اليونانى باسم "بيلوز" pelos ويعنى الطين باللغة اليونانية ، ثم تحول للفرما بعد الفتح الإسلامى لمصر (Grazymski, K.A., 1997).

- ٢- كما لاحظ الباحث بمساعدة بعض أهالى بلدة بالوظة^١ " ضنبور" يبلغ طوله حوالى أربعة أمتار منظرًا على عمق ٢,٦ مترًا تحت رواسب المخرج القديم للفرع^٢ ، مما يشير إلى قيام سكان المنطقة القدامى برفع المياه ألى لاستخدامها فى الزراعة ، بعد انسداد مخرج الفرع بالرواسب .
- ٣- كما ميز الباحث أجزاء من جذوع النخيل المتحللة فى القطاع المحصور بين تل اللولى وتل الفرما ، وتنتشر حول هذه الجذوع بقايا نوى البلح مدفونا وسط نطاق الطمى .

وبدراسة نتائج تحليل عينات الرواسب باستخدام كربون ١٤ التى قام بجمعها (Sneh & Weissbord, 1973, p.61) من منطقة المصب القديم للفرع والتى يوضحها (جدول ١٢-٢) ، نرى أن عمر هذه الرواسب يقدر بعام ٢٥ ميلاديا بمستوى دقة ± 90 سنة ، وتاريخ بعض القطع الأثرية يتراوح بين عامى ١٢٥٠-١٥١٧ ميلاديا ، ويرجع عمر بعض الرخويات المنتشرة على أسطح الحواجز البحرية المتقاطعة مع مصب الفرع إلى عام ١٦٠٥ ميلاديا . وعلى ذلك يمكن تقدير تاريخ انسداد مخرج الفرع بالرواسب ببداية القرن الأول الميلادى ، على الرغم من استمرار وصول المياه للفرع وقيام سكان المنطقة برفعها ألى لاستخدامها فى أغراض الري لفترة تتراوح بين القرن الثانى عشر وبداية القرن السادس عشر على أكثر تقدير .

الأشكال الجيومورفولوجية المتبقية من الفرع البيلوزى :

ميز الباحث بقايا الجزء الأدنى من الفرع البيلوزى فى منطقة سهل الضينة بشمال غرب سيناء ، إذ لوحظ امتداد بقايا الفرع فى الجزء المحصور بين تل اللولى (غرب قناة السويس بحوالى ١٢ كيلومترا) وتل الفرما (شرقى بلدة بالوظة بحوالى ٨٠٠ متر) ، ويمكن إيجاز أهم الخصائص الجيومورفولوجية لبقايا المجرى فيما يلى :

- ١- تمتد بقايا الفرع فى اتجاه عام من الغرب للشرق على شكل مجرى متعرج يتراوح اتساعه بين ٢٢٠ و ٣٠٠ مترا ، وتحدده ضفتان ترتفعان عن المجرى بحوالى ربع المتر^٣ ، ويتميز المجرى باستوائه التام وتغطى جزءه الأدنى قشرة

^١ ارشد الباحث لموقع هذا الطنبور السيد/ دخيل الله حسين بمصاحبة اثنين من حراس الآثار التابعين لانتشيث آثار شمال سيناء .

^٢ يمثل للفرع مخرجان لدهما يقع شمال تل الفرما بنحو ١٧٠ مترا ، ويقع الثانى جنوب التل بحوالى ١٨٥ مترا ، ولوحظ وجود هذا الطنبور عند نهاية المخرج الشمالى مع اتصاله بموضع خط الساحل القديم .

^٣ يستخدم جزء من ضفة المجرى الجنوبي للفرع كمزارع أثرى بالقرب من موقع تل الفرما الأثرى .

ملحية صلبة مقسمة إلى مضلعات ملحية Polygons نمطية الشكل ، ذات أضلاع رباعية وخماسية ، تتباين أطوال أضلاعها بين بضعة سنتيمترات ومتر ونصف المتر ، وترتفع حوافها على شكل بروزات دقيقة تفصل بين أسطح المضلعات المتجاورة ، ويتفاوت ارتفاع الحواف بين بضعة سنتيمترات وحوالى ربع المتر ، ولوحظ زيادة ارتفاع الحواف بالقرب من ضفاف المجرى نتيجة زيادة جفافها لارتفاع منسوبها نسبيا عن مستوى الماء الباطنى ، كما لوحظ تناثر مجموعات متفرقة من البلورات الملحية الجافة على سطح المضلعات الملحية بالجزء الأوسط من المجرى ، ويرجع هذا إلى زيادة معدلات التبخر ، مما ساعد على ترسيب بلورات الملح على أسطح المضلعات . كما تفتش سطوح المضلعات ببعض النباك المتصلبة التي لايتجاوز ارتفاعها أكثر من ٢٠-٤٠ سنتيمترا ، وتتكون هذه النباك من الرواسب الطينية الرملية وتعرض لتصلب سطوحها بسبب ارتفاع نسب الأملاح فى تكويناتها ، وتعرض بعض النباك للتفتت بتأثير عوامل التعرية ، حيث تنجح هجمات الرياح فى اختراق مواطن الضعف فى قشورها الصلبة ، كما تعمل رخات المطر على إذابة بعض أملاحها المتصلبة لتبدو كأجزاء مشوهة من القباب الملحية .

٢- ينحصر ظهور القشرة الملحية المتصلبة على الجزء الأدنى من بقايا الفرع فى قطاعه المحصور بين مصبه القديم وغربى تل الفرما بحوالى ١٥٠ مترا ، حيث تنتهى المضلعات الملحية بخط مستقيم عمودى على اتجاه المجرى ، ليغطي المجرى بتشققات طينية منتظمة الشكل خماسية وسداسية الأضلاع لايتعدى متوسط طول ضلعها أكثر من ٥٠-٦٠ سنتيمترا ، وتتكون هذه المضلعات من الطمي الرخو غير المتماسك نتيجة تبخر المياه بالإشعاع الشمسى ، ولا تظهر على سطوحها أو فيما بين حوافها أية آثار للأملاح المتبلورة .

٣- يتفرع المجرى إلى فرعين غربى تل الفرما بحوالى ١٩٠ مترا ، ولا يتعدى طول الفرع الشمالى منهما أكثر من ٢٠٠ مترا ، على حين يصل طول الفرع الجنوبى لحوالى ٣٢٠ مترا .

٤- يختفى الفرعان بصورة فجائية تحت سهل رسوبى مستو يرتفع منسوبه عن مجرى الفرعين ويشرف عليهما بحافة متعامدة يبلغ ارتفاعها حوالى ٣٠ سنتيمترا ، ويتكون هذا السهل من غطاء رملى رقيق لايتجاوز سمكه بضعة

سنتيمترات ، يخفى أسفله نطاقاً من الرواسب الفيضية تتبعثر بها بعض الأصداف البحرية وشظاياها^١.

٥- تنتشر على السهل الرسوبى مجموعة من الحواجز البحرية المتوازية والموازية لخط الساحل ،وهى بذلك تتعتمد على توجيه الفرع البيلوزى، ولايتعدى ارتفاع هذه المجموعة من الحواجز أكثر من ٤٠-٣٠ سنتيمتراً، وتتميز بضعف انحدار جوانبها (١٠-٢٠ درجة) ، وتتراوح أطوالها بين ١٥٠ متراً وما يربو على أربعة كيلومترات .

الانحدار الطولى للفرع البيلوزى :

يوضح (جدول ١٢-٣، ١٢-٤) وشكلاً رقم (١٢-٤، ١٢-٥) الانحدار الطولى للفرع البيلوزى وفرع دمياط ، ومن دراستها نلاحظ شدة انحدار الفرع البيلوزى بالمقارنة بفرع دمياط ، إذ يسجل الفرع البيلوزى انحداراً طولياً يتراوح بين ١ : ٩,٤٠٠ : ١ : ١٠,٦٠٠ ، على حين لايتجاوز الانحدار الطولى لفرع دمياط أكثر من ١ : ١٤,٠٠٠ ، كما يشهد الانحدار الطولى للفرع البيلوزى عن فرع رشيد الذى قام بقياسه (Willcocks, 1904) حيث قدره بنحو ١ : ١٠,٠٠٠ للأجزاء الدنيا ، و ١ : ١٦,٧٠٠ للأجزاء الوسطى وحوالى ١ : ١٢,٧٠٠ لأجزاء العليا من الفرع وذلك عقب فيضان عام ١٨٩٢.

ولكن ينبغى أن نضع فى اعتبارنا أن فرع رشيد ودمياط قد استمرأ فى تطورهما الجيومورفولوجى وتعديل وتسوية قطاعهما الطولى ، فى حين توقف الفرع البيلوزى بعد تعرضه للإطماء وتحوله إلى مجرد مجموعة من الترع والقنوات المائية والمصارف التى يتحكم الإنسان فى تحديد أشكال مجاريها .

وعلى الرغم من هذا التحفظ نرى أن الانحدار الطولى للفرع البيلوزى لم يكن من الضعف بدرجة تعوق قدرته على نقل حمولته النهريّة ، خاصة وأن أجزاءه العليا عند نقطة تفرعه كانت شديدة الانحدار بصورة ملحوظة تتراوح بين ١ : ٦,٣٠٠ (البحر الخليلي) ، ١ : ٢,٧٠٠ (البحر الشبيني) أى أشد انحداراً من نظيراتها بفرع رشيد ودمياط ، وتعضد هذه الملاحظة النتائج التى تشير إلى انسداد مخرج الفرع بالرواسب مما ساعد على اندثاره .

^١ راجع نتائج فحص عينات الأصداف البحرية.

نتائج تحليل رواسب الفرع :

يوضح (جدول ١٢-٥) نتائج التحليل الجيوكيميائي لعينات القطاعات الأربعة التي قام الباحث بجمعها من رواسب الجزء الأدنى من الفرع ، موزعة على ١٤ عينة تتكون معظمها من الطين الدقيق الحبيبات (١٢ عينة) إلى جانب عينتين مجمعتين من جيوب رملية لايتعدى سمكها أكثر من سنتيمترين تمتد لمسافة أقل من نصف المتر ، تتمثل على عمق يتراوح بين ٢,٨٥ متراً للعينة (رقم ق ٢ ج) و ٣,١ متراً (العينة رقم ق ١ ج). كما يبين (شكل ١٢-٦) المحتوى الكيميائي للكاتيونات والأنيونات الذائبة في عينات الرواسب ، ويظهر (شكل ١٢-٧) العلاقة بين درجة التوصيل الكهربائي للأملاح الذائبة والعمق الذي جمعت منه العينات ، ومن دراستها نلاحظ ما يلي :

١- يعد ملح كلوريد الصوديوم أهم أملاح الكلوريدات إلى جانب كلوريدات البوتاسيوم والمغنسيوم وهي ذات قابلية عالية للذوبان في المياه ، ولوحظ ارتفاع المجموعة المحيطة للكلوريدات والكبريتات في جميع العينات مما يشير إلى تأثيرها بمياه البحر ، فيما عدا العينتين رقم ق ١ (ج) ، ق ٢ (ج) اللتين تقل بهما مكونات المجموعة الملحية مما يشير إلى أصلهما غير البحري .

٢- يعد ماء البحر المصدر الأساسي لمركبات المغنسيوم نظراً لقابليته للذوبان في الماء ثم ترسيبه بسبب زيادة التبخر وهو يعتبر أحد أملاح المتبخرات البحرية ، وعلى الرغم من ذلك لوحظ زيادة مكونات المغنسيوم في العينات الطينية ، مما يشير إلى تأثيرها بمياه البحر ، وانخفاض مكونات المغنسيوم في عينتي الرمل بقيم لا تتجاوز ٦٦ ، ٦٨ ملليمكافى/لتر مما يعكس مصدرهما غير البحري .

٣- وتعد مياه البحر أهم مصدر للصوديوم والبوتاسيوم أيضاً (محمود عاشور وآخرون ، ١٩٩١ ، ص ٢٣٦) ، ويشير الارتفاع الكبير في مكونات الصوديوم في العينات الطينية إلى تأثيرها بالمؤثرات البحرية ، كما يؤكد انخفاض هذه القيم في عينتي الرمل إلى أصلهما القاري .

٤- يوضح (شكل ١٢-٧) العلاقة بين درجة التوصيل الكهربائي للأملاح الذائبة وعمقها ، ومن دراسته نلاحظ ارتفاع درجة التوصيل لجميع العينات الطينية على اختلاف أعماقها ، على حين تنخفض درجة التوصيل في عينتي الرمل فقط ، مما يشير إلى أن العمق يعد عاملاً غير مؤثر في درجة ذوبان الأملاح في الرواسب الطينية .

٥- لوحظ الانخفاض النسبي في أملاح الكلوريدات ومركبات الصوديوم والمغنسيوم والكالسيوم والبوتاسيوم في القطاعين الممثلين لمنطقة المصب

القديم للفرع (قطاع رقم ٣ ، وقطاع رقم ٤) بالمقارنة بالقطاعين الممثلين لسهل الطينة (قطاع رقم ١ ، وقطاع رقم ٢) ، وذلك بسبب انخفاض منسوب سطح سهل الطينة بالمقارنة بمنطقة المصب القديم للفرع ، مما يساعد على تجمع المحاليل الملحية وتركيز الأملاح بها بعد تبخر المياه بالإشعاع الشمسى. نستنتج مما سبق أن نتائج التحليل الجيوكيميائى تشير إلى أن الرواسب الطينية بالجزء الأدنى من الفرع البيلوزى قد تأثرت بطغيان بحرى ، وليس مجرد تسرب لمياه البحر تحت السطح ، خاصة مع وجود حفريات بحرية مبعثرة على المكاشف الناتجة عن حفر قناة الشيخ جابر الصباح ومجموعة مصارف استصلاح منطقة سهل الطينة ، على أعماق تتباين بين المتر الواحد ونحو ٤,٦ متر ، كما لوحظ وجود كتل من الملح المتبلور مبعثرة بغير انتظام داخل نطاق الرواسب الطينية ، تتباين أبعاد كل كتلة منها بين ٢٠-٤٥ سنتيمتراً بسمك يصل لنحو ١٧ سنتيمتراً ، وسجل وجود جيوب من الرمل القارى الأصل لا يتجاوز سمكها أكثر من سنتيمترين تمتد لأقل من نصف المتر ، تتمثل على أعماق تصل لثلاثة أمتار .

نتائج فحص عينتى الجيوب الرملية بالميكروسكوب الإلكتروني :

فحص عينتى الجيوب الرملية المجمعة من العينتين رقم ق ١ (ج) ، ق ٢ (ج) لوحظ ما يلى :

- ١- تظهر معظم حبيبات الرمل قليلة الاستدارة ، وتنتشر على سطوحها الأجزاء الحادة والبروزات ، ولا تبدو عليها آثار أية حزوز غائرة مما يشير إلى ضعف تأثرها بحركة النقل بالرياح.
 - ٢- لوحظ تأثر عدد كبير من الحبيبات بالتجوية الكيميائية مما يشير إلى تأثرها بالتفاعل بالمياه ، كما تنتشر على أسطح بعض حبيباتها ترسيب مواد بيضاء اللون ملتصقة بالسطح الأصلي لحبيبات الرمل نتيجة التفاعل الكيميائى .
 - ٣- تبدو على سطوح بعض الحبيبات ظاهرة الأطباق المقلوبة Upturned plates ، وهى عبارة عن حفر ملساء غائرة على سطح الحبيبة وتشير إلى نشاط النقل بالرياح .
- نستنتج من الفحص أن بعض حبيبات الجيوب الرملية قد تأثر بظروف شاطئية نظراً لقلّة استدارة معظم الحبيبات ، وتعرضت بعض سطوحها للتجوية الكيميائية ، ولم تلاحظ أدلة قوية تعكس ظروف النقل بالرياح سوى ظهور بعض الحفر تشبه الأطباق المقلوبة .

نتائج فحص عينات الأصداف البحرية:

أثبت فحص عينات الأصداف البحرية التي جمعت من الجزء الأدنى للفرع قرب المصب القديم أنها من أنواع Pelecypoda "ذات الأقدام المحرّاثية"، و Gastropoda "الحلزونيات" التابعة لقبيلة الرخويات Phylum Mollusca تابعة للبلستوسين والهولوسين ، كانت تنمو في بيئة شاطئية ضحلة ذات مياه قليلة الملوحة ¹Brackish water ، مما يؤكد تعرض منطقة المصب للإنغمار البحرى .

التعاقب الرسوبى بمنطقة سهل الطينة :

يوضح (شكل ١٢-٨) التعاقب الرسوبى لمنطقة سهل الطينة اعتمادا على الدراسة التى قدمها (Stanley & others, 1996) ^٢، ومن دراسة هذا الشكل نلاحظ أن التتابع الرسوبى بالمنطقة يبدأ برواسب رملية تابعة للبلستوسين الأعلى بعمر يتجاوز ١٢ ألف سنة من الوقت الحاضر تنتشر بها شظايا الأصداف البحرية ، يتفاوت سمكها بين ثلاثة أمتار (بالقطاع رقم ١٥) و ٣٣ متر (بالقطاع رقم ١٨) ويصل عمقها لأكثر من ٥٣ متراً (بالقطاع رقم ١٨). ويعلو هذا النطاق طبقة من الطين الفيضى المؤكسد المختلط مع رواسب السبخات والمستنقعات ، تنتشر به شظايا الأصداف البحرية ، كما لوحظ وجود بعض جذور النباتات فى الجزء الأعلى من القطاع رقم (١٨) ، ويتراوح سمك هذه الطبقة بين خمسة أمتار (بالقطاع رقم ١٩) وأكثر من ٢٥ متراً (بالقطاع رقم ١٥) ، وهى تتبع الهولوسين بعمر يتراوح بين ٣٠٧٠ سنة (بالقطاع رقم ١٩) و ٧٤٣٠ سنة (بالقطاع رقم ١٥) . كما يعلو هذا النطاق طبقة من الرواسب الطينية الفيضية تنتشر بها شظايا الأصداف البحرية والجبس ، تتمثل فى القطاع رقم (١٢) عند مصب الفرع البيلوزى بسمك لا يتجاوز ١,٦ متراً ، والقطاع رقم (١٣) على مجرى الفرع بالقرب من تل الفضة بسمك ٣,٦ متر ، وتتبع هذه الطبقة الهولوسين بعمر لا يتجاوز ١٥٠٠ سنة من الوقت الحاضر ، ويشير اقتصار وجود هذه الطبقة فى القطاعات الممثلة لمجرى الفرع دون بقية أجزاء المنطقة إلى ضعف حمولة الفرع فى هذا الوقت وعدم انتشارها فى الأجزاء المتاخمة لمجرىه .

^١ ساهم في تحديد أنواع الأصداف البحرية وخصائص بيئاتها الدكتور / حسنى فريد عبده أستاذ الحفريات المتفرع بقسم الجيولوجيا - جامعة الإسكندرية أثناء مقابلة شخصية بالقسم.
^٢ تم اختيار أربعة قطاعات تمثل الجزء الأدنى من الفرع من بين ٨٧ قطاع درسها "ستاكلي وزملاؤه" فى أثناء المشروع البحثى عن دلتا النيل ، وحصل الباحث على قواعد بيانات هذه القطاعات بمساهمة مشكورة من مركز المعلومات التكنولوجية بجامعة Purdue بالولايات المتحدة الأمريكية .

تتوج جميع القطاعات المدروسة بغطاء رسوبى حديث لا يتجاوز عمره ١٦٢٠ سنة من الوقت الحاضر ، يتألف من الرمال المختلطة ببعض الرواسب الطينية ، وتنتشر بهذا الغطاء بعض الأصداف البحرية وشظاياها وتكوينات الجبس ، بسمك يتراوح بين متر واحد وحوالى ستة أمتار . نستنتج من العرض السابق أن الجزء الأدنى من الفرع البيلوزى قد تأثر بالموثرات البحرية خلال البليستوسين الأعلى والهولوسين ، بما يتفق مع نتائج التحليل الجيوكيميائى الذى أجرى لرواسبه الفيضية . كما تكشف نتائج التحليل تكون بعض المسطحات السبخية والمستنقعات بالجزء الأدنى من الفرع البيلوزى ، بما يتفق مع النتيجة التى توصل إليها (Hegab & Bahloul, 1987, p.79) بناء على انتشار أفق رقيق من الفحم النباتى فى الهوامش الشمالية للدلتا رجح تكونه فى بيئة رواسب المستنقعات .

يوضح (شكل ٩-١٢، ١٠-١٢) قطاعاً يوضح معدل الترسيب فى إقليم بحيرة المنزلة وخريطة خطوط الأعماق المتساوية لرواسب شمال الدلتا المتجمعة من منتصف عصر الهولوسين ، ومن دراستها نلاحظ ما يلى :
١- عظم سمك رواسب الدلتا الطينية بمنطقة بحيرة المنزلة بصورة ملحوظة بالمقارنة ببقية أجزاء الدلتا ، حيث يتعدى سمكها أكثر من ٤٠ متراً ، على حين لا يتعدى سمكها عند الهوامش الغربية الشمالية للدلتا أكثر من ٢٠ متراً فقط (بشكل ١٠-١٢) .

٢- زيادة معدل تجمع الرواسب بقاع بحيرة المنزلة قياساً ببقية أجزاء الدلتا ، حيث سجلت هذه المنطقة معدلاً قدره ٦٠٠ سنتيمتر من الرواسب لكل ألف سنة . نستنتج من الملاحظتين السابقتين أن أرضية بحيرة المنزلة تتعرض لحركة هبوط أرضى ، فنراها (Stanley, 1988, pp.497-500) بخمسة ملليمترات سنوياً .

تأثير تذبذب مستوى سطح البحر على الفرع البيلوزى :

يبين (جدول ٦-١٢) تأثير تذبذب منسوب سطح البحر على مصب الفرع البيلوزى ، كما يوضح (شكل ١١-١٢) تذبذب مستوى سطح البحر منذ ١٥,٠٠٠ سنة ، ويظهر (شكل ١٢-١٢) مراحل تطور مستويات سطح البحر المتوسط منذ ٥٠٠٠ سنة اعتماداً على محتويات الأصداف والقواقع البحرية من الأكسجين واستخدامه مؤشراً غير مباشر فى دراسة مستويات البحر ، نظراً للعلاقة الوثيقة بين نسبة الأكسجين فى مياه البحر وزيادة نسب التبخر الناتجة

عن ارتفاع درجة الحرارة (Magazritz & Kaufman, 1973) ومن دراستها نلاحظ مايلى :

١- فى نهاية العصر الجليدى منذ حوالى ١٥ ألف سنة تعرض مستوى سطح البحر للانخفاض لمنسوب سالب ١٠٠ متر ، فامتدت الدلتا داخل البحر لمسافة تتراوح بين ٣٠-٤٠ كيلومترا ، وكان هذ الجزء أكثر انحدارا من أرض الدلتا (٨٨ سم/كم بدلا من ٢٧ سم/كم) (رشدى سعيد ، ١٩٩٣ ص ٩٢) ، وعلى ذلك نرى أن فروع الدلتا الشرقية ومن بينها الفرع البيلوزى كانت ممتدة لخط الساحل فى ذلك الوقت ، (شكل ١٢- ١٤") .

٢- ارتفع منسوب سطح البحر نتيجة الارتفاع المستمر فى درجة الحرارة حتى أصبح أقل من مستواه الحالى بنحو ٤-٥ أمتار منذ حوالى ٥٠٠٠ سنة ، وعلى ذلك تعرضت الأجزاء الغربية من الدلتا للانغمار دون أجزائها الشرقية ، بسبب تجمع رواسب أفرع الدلتا الشرقية بمعدلات عالية ، وتأثير التيار البحرى على نقل الرواسب للشرق ، ولذلك امتد مخرج الفرع البيلوزى جنوب خط الساحل الحالى بحوالى ١٠ كيلومترات ، وكون مخروطا رسوبيا سميكاً من التكوينات الفيضية لاتزال آثاره باقية حتى الوقت الحاضر ، ويشير هذا المخروط إلى موقع المصب القديم ، وميزه كل من (Stanley, 1990, p.153 & 1996, p.6) (Coutellier & Stanley, 1987, p.272) ، (El-Fayoumy & El-Nahass, 1988, p.110).

٣- استمر مستوى سطح البحر فى الارتفاع حتى وصل إلى أقل من مستواه الحالى بمتراً واحداً ، وخلال هذه الفترة بدأ مصب الفرع البيلوزى يتعرض للانغمار البحرى بصورة محدودة ، بدأت تظهر نتائجه خلال بداية القرن الأول الميلادى - حددها (Sneh & Weissbord, 1973) بسنة ٢٥ ميلاديا استنادا لتحليل رواسب المصب بالكربون ١٤ ، حيث تعرض المصب للانسداد بالرواسب الفيضية والبحرية ، نتيجة تجمع بعض الحواجز قرب المصب بسبب زيادة كميات الرواسب المنقولة ، وتجمعها عند المصب الضحل وإعادة تشكيلها بالتيار الغربى ، إلى جانب ضعف طاقة الفرع على الحمل بتأثير نقص كميات المياه خلال الفيضانات الواطنة ، ففى هذه الفترات التى كان يقل فيها تصرف النيل ، كان يزيد معدل الترسيب ، ويصبح تطهير فروع النيل والترع صعبا ، خاصا مع انهيار الوضع الاقتصادى المصاحب للفيضانات الشحيحة (رشدى سعيد ، ١٩٩٣ ص ٨٨).

٤- استمر غمر الهوامش الشمالية للدلتا خلال الألف سنة الأولى بعد الميلاد حتى أوائل القرن السادس عشر ، وظهرت لأول مرة بحيرة المنزل خلال الفترة

بين عامى ١٠٠٠-١٤٠٠ ميلاديا ، وخلال هذه الفترة اندثر الفرع البيلوزى وانقطعت أخباره ، وأهمل نتيجة انسداد المصب وعدم وصول المياه لنهائياته (شكل ١٢-١٣) .

٥- تراجع خط الساحل مرة أخرى وانخفض مستوى سطح البحر حتى بلغ مستواه الحالى خلال القرن السادس عشر ، وتكونت تبعاً لتلك مجموعة من الحواجز البحرية المتوازية والموازية لخط الساحل ، وتبين هذه الحواجز بصورة متقاطعة مع المصب البيلوزى وتعلو منسوبه ببضعة ديسمترات (شكل ١٢-١٥) .

٦- بدأ البحر يتقدم مرة أخرى نتيجة ارتفاع مستواه منذ بدلية القرن الماضى ولايزال هذا الارتفاع مستمرا حتى الآن (أبو العز ، ١٩٧٧ ص ٢٤٦) ، (Stanley & Others, 1996, p.13) .

أسباب اندثار الفرع :

نستطيع من العرض السابق أن نحدد أسباب اندثار الفرع البيلوزى فيما يلى :

١- يعد الطغيان البحرى لمنطقة المصب السبب الأساسى فى عملية الاندثار ، ونستند فى هذا الرأى على الأدلة الآتية :

(أ) ارتفاع نسبة التكوينات الملحية البحرية الأصل فى الرواسب الفيضية .

(ب) وجود حفرىات وشطايا أصداف بحرية^١ كانت تنمو فى بيئة شاطئية ضحلة قليلة الملوحة منطمة فى الرواسب الفيضية .

(ج) انتشار كتل من الملح المتبلور وسط نطاق الطين .

(د) شدة انحدار الفرع البيلوزى بالمقارنة بانحدار فرع رشيد ودمياط مما يشير إلى أن ضعف الطاقة النهرية لم يكن السبب فى اندثاره ، ويؤكد انسداد مخرج الفرع بالرواسب .

(هـ) وجود بعض آلات رفع المياه يدويا لاستخدامها فى أغراض الرى عند نقطة المصب القديم مما يؤكد وصول المياه للمخرج على الرغم من انسدادها بالرواسب .

(و) يرجع عمر رواسب منطقة المصب إلى عام ٢٥ ميلاديا (استنادا إلى تحليل بعض رواسبها بالكربون^{١٤} (Sneh & Weissbord, 1973)) بما

^١ أصداف تابعة لقبيلة فرغويات Phylum Mollusca من أنواع Pelecypoda _ Gastropoda

يتوافق مع فترة الانغماس البحرى المصاحب لارتفاع مستوى سطح البحر الذى حدث فى بداية القرن الأول الميلادى .

(ز) يعود عمر الرخويات المجمعة من أسطح الحواجز البحرية الواقعة شمال المصب القديم إلى عام ١٦٠٥ ميلاديا ، بما يؤكد توافقها مع فترة انحسار خط الساحل وتراجعها الذى حدث خلال القرن السادس عشر (Sneh & Weissbord,1973).

٢- هناك بعض العوامل الثانوية التى ساعدت على اندثار الفرع أهمها مايلي:
(أ) نقص كميات المياه خلال الفيضانات الوافدة ، مما ساعد على ضعف طاقة الفرع على الحمل .

(ب) تجمع بعض الرواسب الفيضية والبحرية وإعادة تراكمها بالتيارات البحرية والرياح الشمالية ومساهمتها فى انسداد مخرج الفرع على شكل حواجز بحرية عمودية على اتجاه المجرى عند المصب .

(ج) ارتباط مصب الفرع ببحيرة المنزلة التى كانت تعد فى بعض الفترات مستوى قاعدة محليا ، ساهم فى سرعة تجمع الرواسب بمعدل يصل لنحو ٦٠٠ سم / ألف عام ، ومما يعضد هذه الملاحظة ارتباط جميع أفرع الدلتا المندفقة بالبحيرات الشمالية .

الآخطار التى تهدد ترعة السلام :

يواجه مشروع ترعة السلام عدد من المخاطر الطبيعية والبشرية خاصة وأن العوامل التى أدت إلى اندثار الفرع البيلوزى أصبحت قائمة فى الوقت الحاضر أكثر من أى وقت مضى ، وأهم هذه الآخطار ما يلي :

١- ارتفاع منسوب سطح البحر نتيجة ارتفاع درجة حرارة كوكبنا الأرضى خلال ١٠,٠٠٠ سنة الأخيرة الناجم عن زيادة نسب غاز ثنائى أكسيد الكربون فى الغلاف الجوى (Stanley, 1990) .

٢- تعرض أرضية بحيرة المنزلة لحركة هبوط أرضى تتراوح تقديراتها بين ملليمتر واحد سنويا (El-Nahass & El-Fayoumy, 1988) ، وستة ملليمترات سنويا (Sestini,1989,pp.99-127) .

٣- حجز معظم حمولة نهر النيل من الرواسب أمام السد العالى والتى كانت تغذى ساحل الدلتا وتعمل على اتزانها أمام عوامل النحت البحرى .

كما تهدد ترعة السلام مخاطر اختلاط مياهها بالأملاح القابلة للذوبان عند اجتيازها المسطحات السبخية فى سهل الطينة ، خاصة إذا علمنا أن مقطع التربة غير مبطن سواء بالخرسانة أو المواد المانعة للتسرب ، فهى محفورة

مباشرة فى الرواسب الطينية المتشعبة بالأملاح ، وتختلط المياه بكتل الملح المتبلور المنتشرة داخل نطاق الطين ، خاصة وأن المياه المنقولة فى التربة بها نسبة مرتفعة من الأملاح نتيجة خلط مياهها بمياه المصارف بنسبة ١ : ١,٢٥ (مياه نيلية إلى مياه الصرف) قبل عبورها لقناة السويس .

ويرى الباحث أن عمليات غسيل التربة فى سهل الطينة غير اقتصادية ، ويقترح نقل مياه التربة فى أنابيب خرسانية مغطاة بالبيتومين المعالج بمواد مقاومة للأملاح ، ويكتفى باستصلاح الأراضي المرتفعة المنسوب الواقعة إلى الشرق من بلدة بالوظة (بالقرب من المصب القديم للفرع البيلوزى) حتى مدينة العريش ، مع توافر مساحات الأراضي القابلة للزراعة حتى الدرجة الثالثة. ويرى الباحث صلاحية استغلال أراضي سهل الطينة بالمزارع السمكية ، مع إنشاء مناطق صناعية ومساحات للتخزين بالجزء الغربى من السهل المتاخم لقناة السويس لخدمة مشروع المنطقة الحرة فى ميناء شرق تفرعة قناة السويس (شرقى مدينة بورفؤاد) .

وبناء على نتائج تحليل ٨٦ قطاعا لرواسب شمال الدلتا يتراوح عمقها بين ٢٠ و ٦٠ مترا ، توقع (Stanley,1996) أن البحر سوف يغزو هوامش الدلتا الشمالية حتى خط كنتور ١ متر بحلول نهاية القرن الحادى والعشرين ، وبعد سهل الطينة من أكثر أجزاء الدلتا المهددة بالطغيان البحرى ، بسبب انخفاض منسوبه من ناحية ، وقربه من مركز الهبوط الأرضى بقاع بحيرة المنزلة من ناحية أخرى ، إلى جانب حرمان السواحل من الرواسب الفيضية التى كان التيار البحرى ينقلها قبل إنشاء السد العالى . وعلى ذلك ينبغى مواجهة هذه الأخطار والشروع فى بناء سدود وجسور لحماية هذه المنطقة حتى لا تلقى تربة السلام مصير الفرع البيلوزى .

جدول (١٢ - ١) الأحداث التاريخية المتتابة على مدينة بيلزيوم (الفرما)
عند مصب الفرع البيلوزي^١

التاريخ	الحدث التاريخي
٥٢٥ ق.م	هاجمت الجيوش الفارسية بقيادة قمبيز الفراعنة عند مدينة بيلزيوم
٣٧٣ ق.م	هاجم الفرس المدينة بقيادة "فرمابازوس" pharmabazos وقاومهم الفراعنة
٣٤٣ ق.م	هاجم الفرس المدينة بقيادة "ارتاكسرث الثالث" Artaxerxes وقاومه المصريون
٣٣١ ق.م	عبور قوات إسكندر الأكبر وكان يعتبره سكان المدينة محرر مصر من الفرس
٣٢٣ ق.م	استولى البطالمة على مصر بعد موت إسكندر واستولى البطالمة على جثمانه ونقلوه إلى المدينة عام ٣٢١ ق.م
	سيطر البطالمة على المدينة حوالي ثلاثة قرون وكانت فترة ازدهار وتوسع.
٤٨ ق.م	قادت ملكة مصر البطلمية "كليوباترا السابعة" جيشاً من السوريين والمرتقة العرب وحاربت أخاها وزوجها بطليموس الثالث عشر على مشارف المدينة
٣٠ ق.م حتى عام ٢٠٠ م	دخل كل من القادة الآتين وحققوا الازدهار والرخاء لسكانها: عام ٣٠ ق.م : الملك أغسطس Augustus عام ٧٠ م : الملك "تيتوس" Titus عام ١٣٠-١٣١ م : الملك "هادريان" Hadrian عام ١٩٩-٢٠٠ م : الملك "سبتيمس سيفرس" Septimius Severus
٥٢٤ م	حدث وباء الطاعون وكانت المدينة معروفة في هذا الوقت باسمها القبطي "برمون" Peremoun
٦١٩ م	هاجم المدينة جيش من الفرس بقيادة "خوزران" Khuzran
٦٤٠ م	سقطت المدينة في أيدي عمرو بن العاص في بداية الفتح الإسلامي لمصر ، وقام الظاهر بيبرس بتطهير مجرى الفرع البيلوزي في العهد المملوكي .
القرن ١٢ م	هجوم الحملة الصليبية على مدينة الفرما وقتل قائد الحملة على مشارفها عام ١١١٨ م
١١٦٩ م	تعرضت المدينة للغزو من ملك القدس "أمالك" Amalric ، وبعد هذا التاريخ غاصت المدينة في بحار الإهمال والنسيان

^١ الأحداث التاريخية الواردة بالجدول عن (Grazymski,K.A.,1997)

جدول (٢-١٢) نتائج تعيين العمر التقريبي لبعض الظواهر الطبيعية والبشرية فى منطقة مصب الفرع البيلوزى القديم

التاريخ الميلادى التقريبي \pm ٩٠ سنة (باستخدام كربون ١٤)	الظاهرة
٢٥ م	رواسب مصب الفرع البيلوزى
١٢٥٠ م	قطع أثرية بقلعة الطينة
١٥١٧ م	قطع أثرية بقلعة أم فريحة
١٦٠٥ م	رخويات "Mollusks" مجمعة من أسطح الحواجز البحرية شمال مصب الفرع البيلوزى القديم

البحث الثاني عشر : أسباب اندثار الفرع البيلوزي

٨	٥,٤	٧٣,٤	١٠,٨ : ١	١٠,٨ : ١	١٢,٣	١	١	٣,١	٦١,٦	٦,٢ : ١	١	١	١
٧,٥	١,٢	٧٤,٦	٢,٤ : ١	٢,٤ : ١	١٢,٣	١	١	٧,٦	٦٩,٢	١٥,٢ : ١	١	١	١
٧	٦,١	٨٠,٧	١٢,٢ : ١	١٢,٢ : ١	١٢,٣	١	١	٣	٧٢,٢	٦ : ١	١	١	١
٦,٥	٧	٨٧,٧	١٤ : ١	١٤ : ١	١٢,٣	١	١	٥,٥	٧٧,٧	١١ : ١	١	١	١
٦	٩,٧	٩٧,٤	١٩,٤ : ١	١٩,٤ : ١	١٢,٣	١	١	٤,٢	٨١,٩	٨,٤ : ١	١	١	١
٥,٥	١٠	١٠٧,٤	٢٠ : ١	٢٠ : ١	١٢,٣	١	١	٤,٢	٨٦,١	٨,٤ : ١	١	١	١
٥	٣	١١٠,٤	٦ : ١	٦ : ١	١٢,٣	١	١	٢,٢	٨٨,٣	٤,٤ : ١	١	١	١
٤,٥	٦,٢	١١٦,٦	١٢,٤ : ١	١٢,٤ : ١	١٢,٣	١	١	٦,٢	٩٤,٥	١٢,٤ : ١	١	١	١
٤	٧,٤	١٢٤	١٤,٨ : ١	١٤,٨ : ١	١٢,٣	١	١	٧,٤	١٠١,٩	١٤,٨ : ١	١	١	١
٣,٥	٢,٥	١٢٦,٥	٥ : ١	٥ : ١	١٢,٣	١	١	٢,٥	١٠٤,٤	٥ : ١	١	١	١
٣	٤,٨	١٣١,٣	٥,٦ : ١	٥,٦ : ١	١٢,٣	١	١	٤,٨	١٠٩,٢	٥,٦ : ١	١	١	١
٣	٧,٢	١٣٨,٥	صفر	صفر	١٢,٣	١	١	٧,٢	١١٦,٤	صفر	١	١	١
٢,٥	٥,٤	١٤٣,٩	١٠,٨ : ١	١٠,٨ : ١	١٢,٣	١	١	٥,٤	١٢١,٨	١٠,٨ : ١	١	١	١
٢	٨,٤	١٥٢,٣	١٦,٨ : ١	١٦,٨ : ١	١٢,٣	١	١	٨,٤	١٣٠,٢	١٦,٨ : ١	١	١	١
١,٥	٣,١	١٥٥,٤	٦,٢ : ١	٦,٢ : ١	١٢,٣	١	١	٣,١	١٣٣,٣	٦,٢ : ١	١	١	١
١	٠,٤	١٦٠,٨	٠,٨ : ١	٠,٨ : ١	١٢,٣	١	١	٠,٤	١٣٨,٧	٠,٨ : ١	١	١	١
صفر	٣٠	١٩٠,٨	٣٠ : ١	٣٠ : ١	١٢,٣	١	١	٣٠	١٦٨,٧	٣٠ : ١	١	١	١
اجمالي الفرع البيلوزي			١٠,٦ : ١			اجمالي الفرع البيلوزي			٩,٤ : ١				

م = المنسوب بالمتر ف = المسافة الأفقية بالكيلومتر ف ت = المسافة الأفقية التجميعية
بالكيلومتر ن أ = نسبة الانحدار بالآف
ن أ ت = نسبة الانحدار الإجمالية بالآف مل = ملاحظات

جدول (١٢-٤) الاحدار الطولى لفرع دمياط

الانحدار بالالف	المسافة الأفقية التجميعية بالكيلومتر	المسافة الأفقية (كم)	المنسوب بالمتر
١ : ٣,٧	١٣	١٣	١٦,٥
١ : ٩٢	٥٩	٤٦	١٣
١ : ٤	٦١	٢	١٢,٥
١ : ٢٣	٧٢,٥	١١,٥	١٢
١ : ١٠	٧٧,٥	٥	١١,٥
١ : ١١	٨٣	٥,٥	١١
١ : ٥	٨٥,٥	٢,٥	١٠,٥
١ : ١٣	٩٢	٦,٥	١٠
١ : ٠,٨	٩٢,٨	٠,٨	٩,٥
١ : ٣٠	١٠٧,٨	١٥	٨,٥
١ : ١١,٦	١١٣,٦	٥,٨	٨
١ : ١٥	١٢١,١	٧,٥	٧,٥
١ : ١,٢	١٢١,٧	٠,٦	٧
١ : ١٨	١٣٠,٧	٩	٦,٥
١ : ١٣	١٣٧,٢	٦,٥	٦
١ : ١٢	١٤٣,٢	٦	٥,٥
١ : ١٥	١٥٠,٧	٧,٥	٥
١ : ١٥	١٥٨,٢	٧,٥	٤,٥
١ : ١,٤	١٥٨,٩	٠,٧	٤
١ : ٤	١٦٠,٩	٢	٣,٥
- ١ : ٦	١٦٦,٩	٦	٣
١ : ١	١٦٧,٩	١	٤
١ : ٦,٥	١٧١,١٥	٣,٢٥	٣
- ١ : ٣	١٧٢,٦٥	١,٥	٣,٥
١ : ١٢	١٨٤,٦٥	١٢	٢,٥
١ : ٣٦	٢٠٢,٦٥	١٨	٢
١ : ٦,٤	٢٠٥,٨٥	٣,٢	١,٥
١ : ٢١	٢٢٦,٣٥	٢٠,٥	١
١ : ٦	٢٢٩,٣٥	٣	٠,٥
١ : ٥	٢٣١,٨٥	٢,٥	صفر
١ : ١٤	إجمالي فرع دمياط		

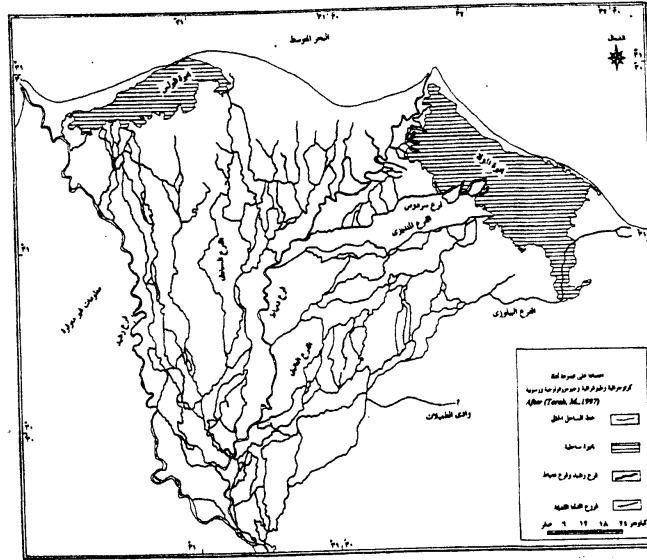
رقم وعق العينة		خصائص الرواسب		الكاتيونات الذائبة ملليمكافى/لتر				الايونات الذائبة ملليمكافى/لتر	
رقم العينة	عمق العينة بالمتر	درجة الحموضة الكهرىبى والقلوية	التوصيل	صوديوم	بوتاسيوم	كالىسيوم	مغنسيوم	كلوريدات	أكاسيد كبريت
ق١(أ)	٠,٢٠	٧,٥٥	١٢١	١٠١٥	١٦,٢	٤٠	٣٠٠	١٣٨٠	٧
ق١(ب)	١,٣	٧,٩٥	١٢٣	١٠١٢	١٦,٤	٤٢	٣١٥	١٣٩٥	٧
ق١(ج)	٣,١	٨,١٠	٢٤	١٣٥	٧,٧	٣٢	٦٦	٢٣٠	٥
ق١(د)	٤,١	٧,٨٢	١٢٥	١٠١٠	١٦,٦	٤٤,٠	٣٢٠	١٤١٠	٨
ق٢(أ)	٠,٢٥	٧,٦٥	١١٩	١٠٤٩	٢٨	٤٤	٢٦٠	١٢٩٥	٦
ق٢(ب)	١,٤	٧,٦٨	١١٩	١٠٤٨	٢٩	٤٥	٢٧٠	١٣٧٥	٦
ق٢(ج)	٢,٨٥	٨,٢٠	٢٢	١٣٠	٧,٦	٣٤,٥	٦٨	٢٣٢	٥
ق٢(د)	٤,٠٠	٧,٨٨	١٢٠	١٠٤٦	٣٠	٤٦	٢٨٠	١٣٩٨	٦
ق٣(أ)	٠,٣	٧,٨٥	١١٥	٨٦٨	١٥	٢٩	٤٦٠	١٣٤٤	٨
ق٣(ب)	٠,٦٥	٧,٩٠	١١٦	٨٦٥	١٦	٢٩,٥	٤٦٠	١٣٥٤	٨
ق٣(ج)	١,٢٠	٧,٩٥	١١٨	٨٦٠	١٨	٣١	٤٧٥	١٣٧٨	٨
ق٤(أ)	٠,٢٥	٧,٧	٩٦	٦٨٠	٢٧	٢٢,٤	٢٨٠	١٠١٦	٦
ق٤(ب)	٠,٨٥	٧,٨	٩٨	٦٨٠	٢٨	٢٢,٥	٢٨٤	١٠٢٥	٦
ق٤(ج)	١,٢٥	٧,٩	١٠١	٧٩٠	٢٩	٢٣	٢٩١	١٠٣٦	٦

^١ راجع التوزيع الجغرافى لموقع عينات الرواسب بشكل رقم (١٢-٣)

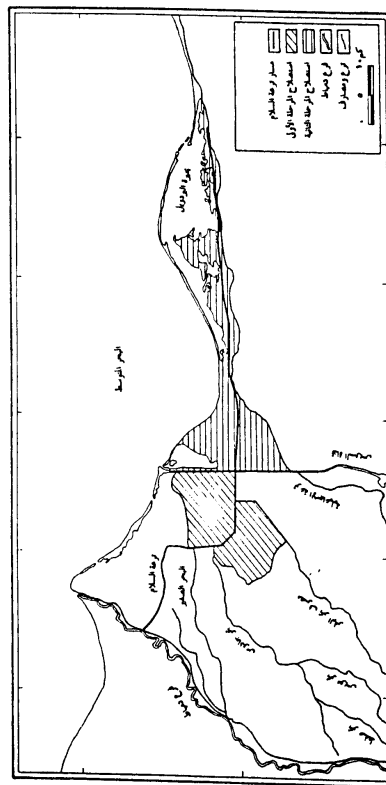
جدول (١٢-٦) تذبذب مستوى سطح البحر

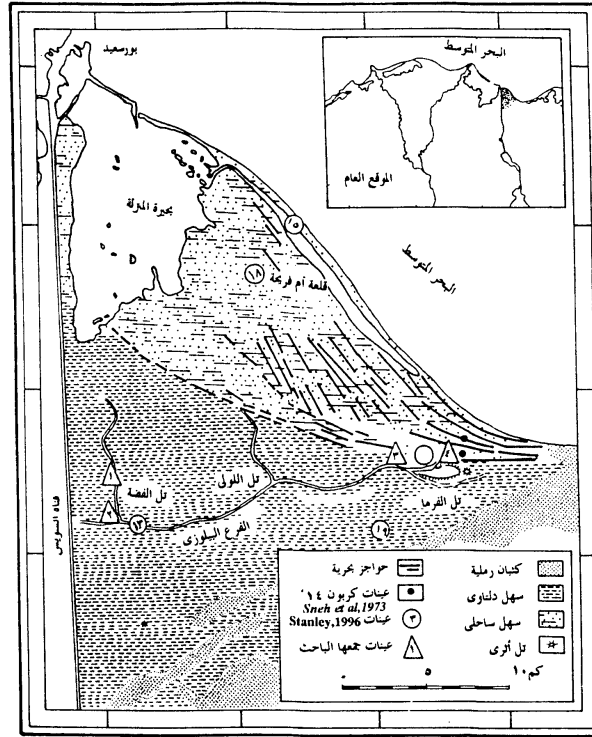
التاريخ	تذبذب مستوى سطح البحر	منسوب سطح البحر	موقع خط الساحل	المرجع
بداية القرن ١٩	ارتفاع تدريجي مستمر حتى الوقت الحاضر	تقدم البحر وغرق بعض القلاع والحصون	خط الساحل الحالي	أبو العز ، ١٩٧٧ ص ٢٤٦
القرن ١٦	انخفاض مستوى سطح البحر	ترجع البحر وتكوين الحواجز البحرية	خط الساحل الحالي تقريبا	Said, 1958, p.115
القرن ١٥ ، ١٤	ارتفاع تدريجي	استمرار غمر الهوامش الشمالية للدلتا	شمالي خط الساحل الحالي	Said, 1958, p.115
الآلاف سنة الأولى ميلاديا	ارتفاع تدريجي	استمرار غمر الهوامش الشمالية للدلتا	بداية ظهور بحيرة المنزلة (بين ١٤٠٠-١٠٠٠ م)	Ball, 1942, p.58
بداية القرن الأول الميلادي	ارتفاع تدريجي	غمر مصب الفرع البيلوزي	على مسافة ١٠ كيلومتر جنوب الساحل الحالي	(كربون ١٤) Sneh & Weissbord , 1973
منذ ٤٠٠٠ سنة (سنة ٢٠٠٠ ق.م)	ارتفاع تدريجي	سالب ١ متر	جنوبي خط الساحل الحالي بيضعة كيلومترات	رشدى سعيد، ١٩٩٣ ص ٩٢
منذ ٥٠٠٠ سنة	ارتفاع تدريجي	سالب ٤ أو ٥ متر	على مسافة ٤٠-٥٠ كيلومتر جنوب الساحل الحالي	Coutellier & Stanley, 1987
منذ ١٥٠٠٠ سنة	انخفاض	سالب ١٠٠ متر	امتداد الدلتا داخل البحر لمسافة ٣٠-٤٠ كيلومتر	رشدى سعيد، ١٩٩٣ ص ٩٢

^١ غرقت الأجزاء الغربية من هوامش الدلتا ، أما الأجزاء الشرقية فقد ظلت في معظمها مرتفعة بسبب تجمع رواسب فروع الدلتا إما بصورة مباشرة أو عن طريق التيارات البحرية (رشدى سعيد ، ١٩٩٣ ص ٩٢).



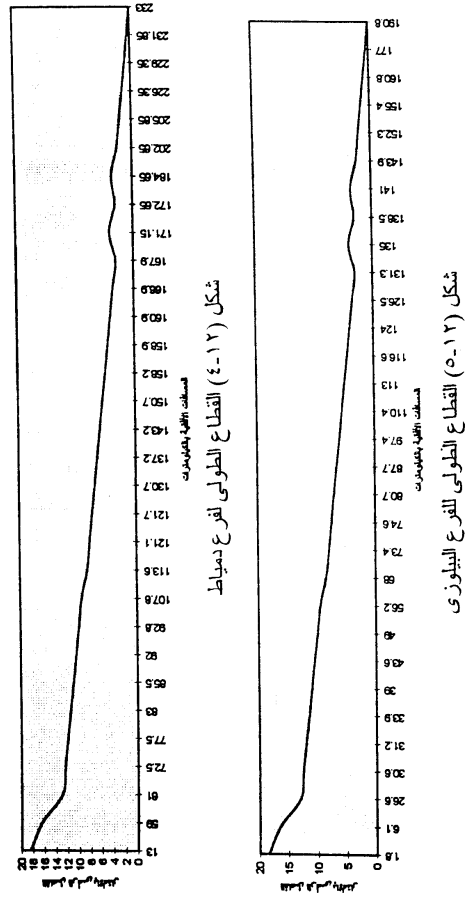
شكل (١٢-١) فروع الدلتا القديمة بالاعتماد على مجموعة أدلة كرتوجرافية وطبوغرافية وجيومورفولوجية ورسومية

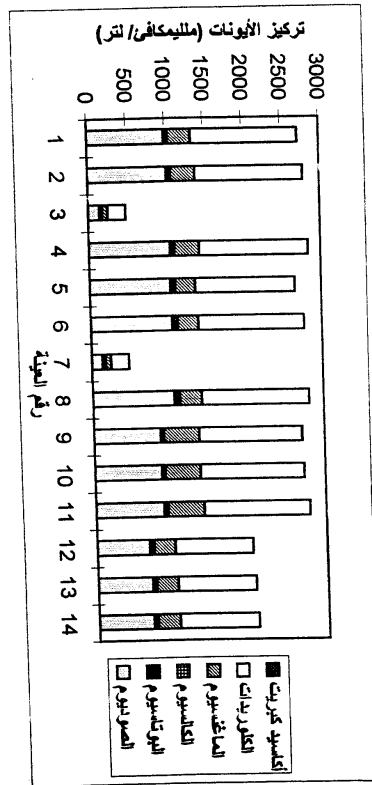




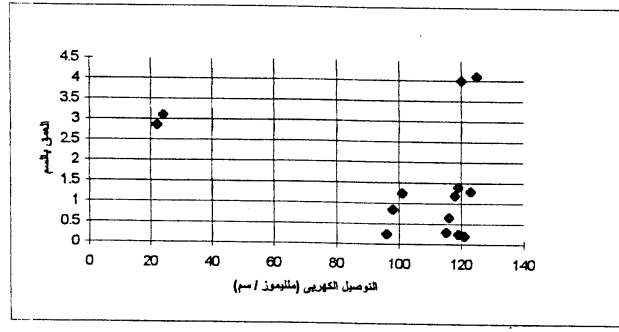
بيانات الأشكال المورفولوجية : (Sneh & Weissbord, 1973) After

شكل (١٢-٣) مواقع عينات الرواسب التي اعتمدت عليها الدراسة

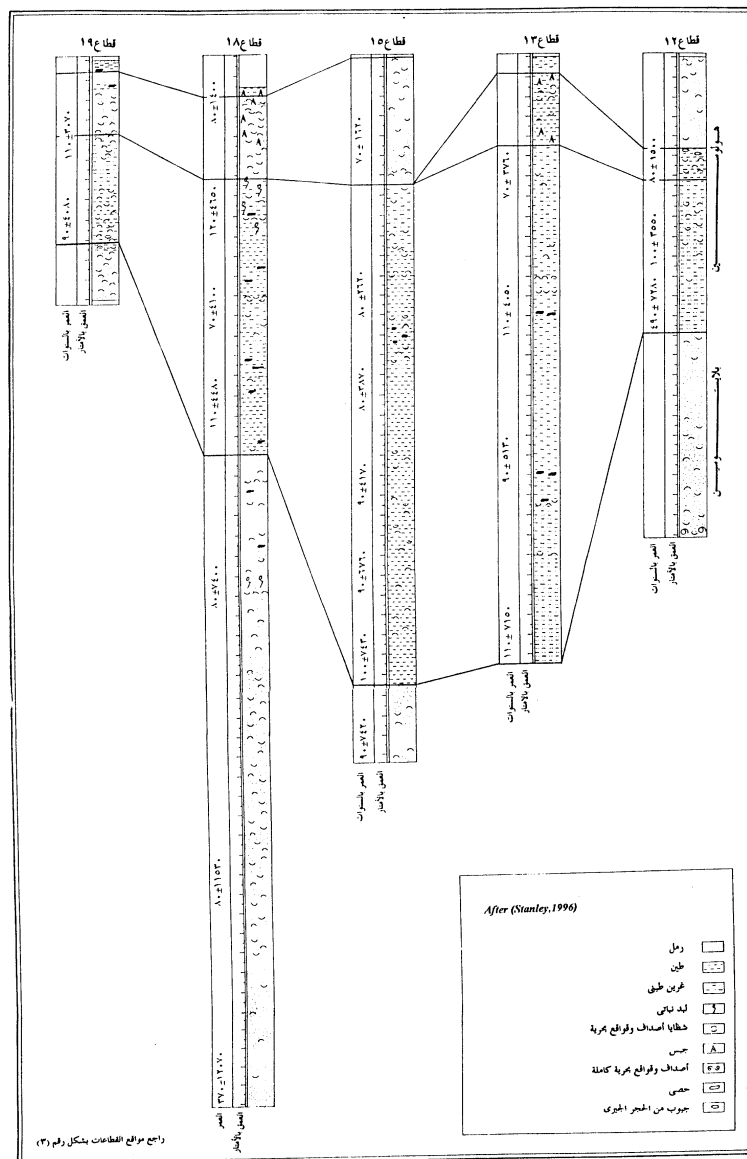




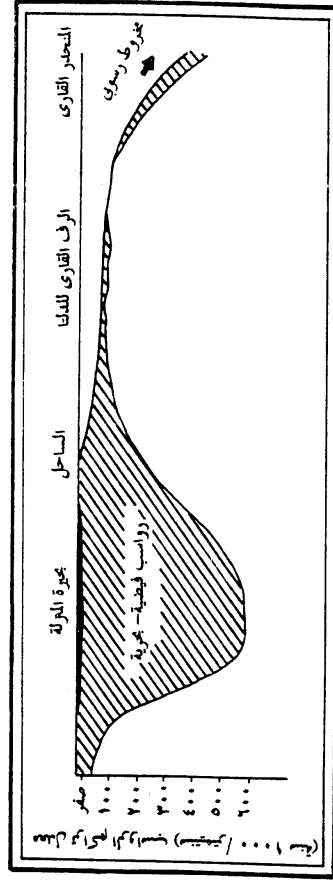
شكل (١٢-٦) محتوى الكاتيونات والأيونات الأنيونية في الرواسب



شكل (٧-١٢) العلاقة بين درجة التوصيل الكهربى وعمق الرواسب

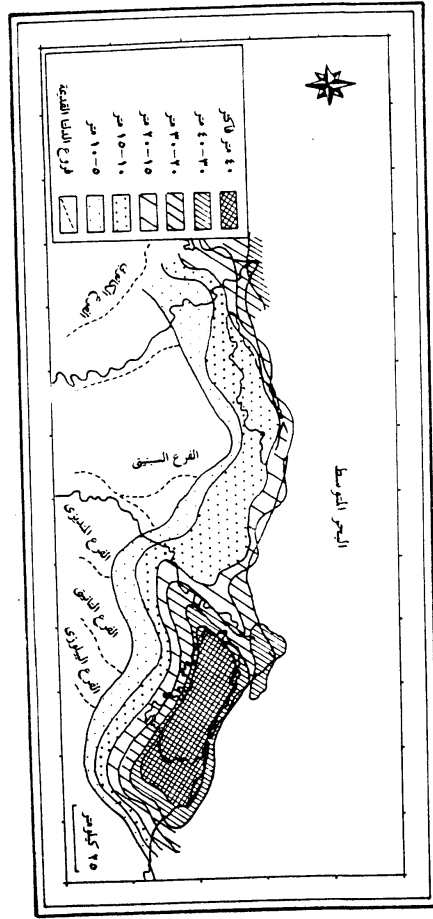


شكل (٨-١٢) التعاقب الرسوبي لمنطقة سهل الطينة



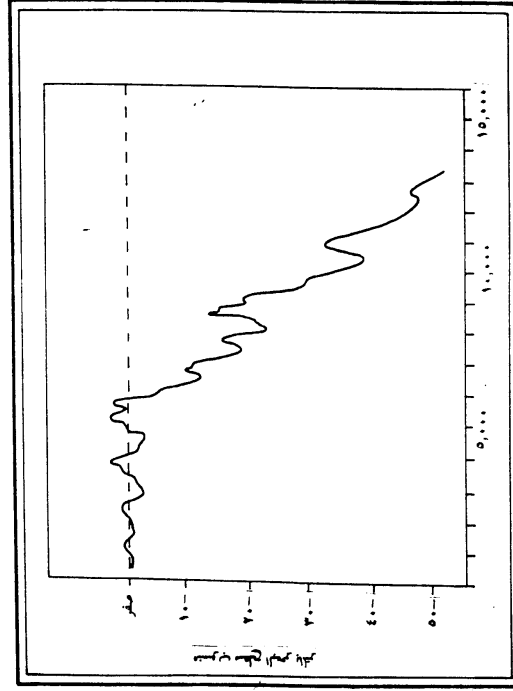
After (Stanley, 1988, P.150)

شكل (١٢) قطاع يوضح معدل الترسيب في إقليم بحيرة المنزلة



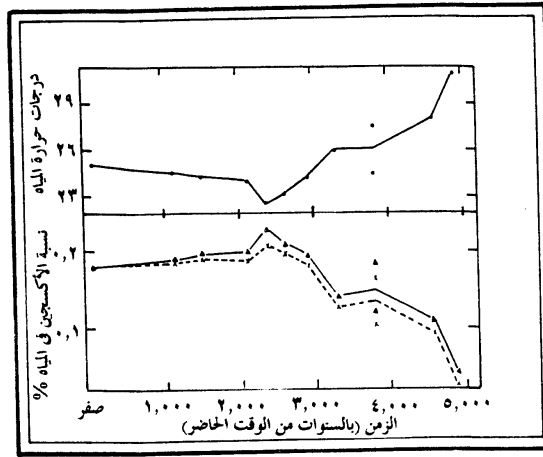
After (Stanley, 1990, P.151)

شكل (٢٠٠١) خريطة خطوط الأعناق المتساوية لرواسب الدلتا المتجمعة منذ منتصف عصر الجوروسين



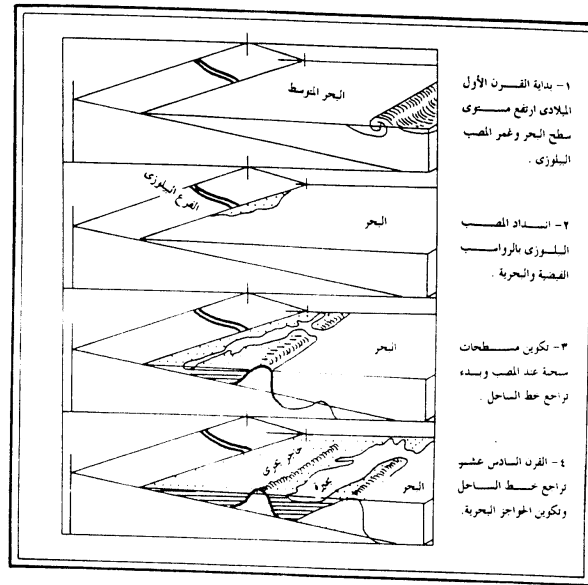
After (Zaghloul, Abdel-Daem and Taha, 1990, P.490)

شكل (١١-١٢) تذبذب مستوى سطح البحر منذ ١٥٠٠٠٠ سنة

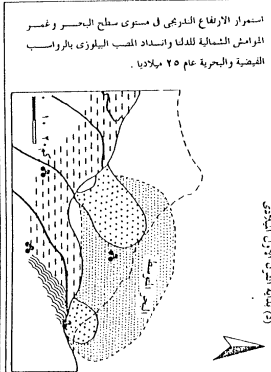
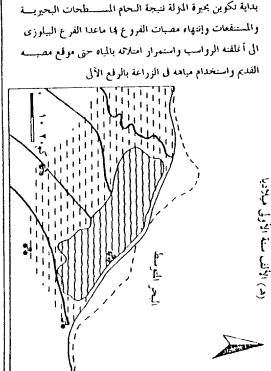
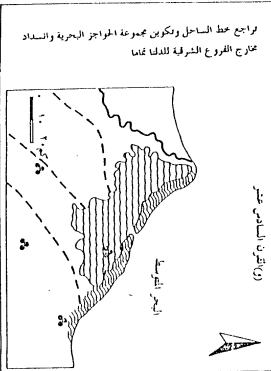
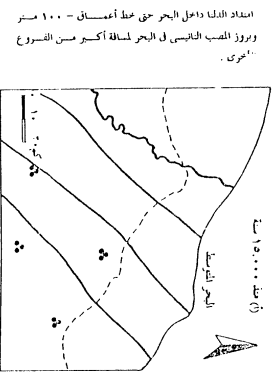
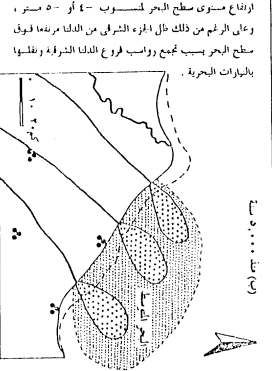
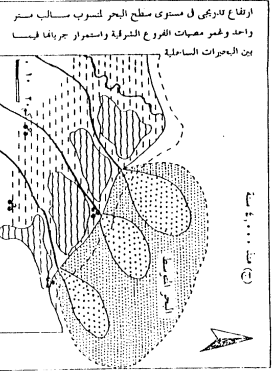


شكل (١٢-١٢) تذبذب نسب غاز الأكسجين ودرجات حرارة مياه البحر المتوسط خلال الخمسة آلاف سنة الماضية

After (Magazritz & Kaufman, 1973)



شكل (١٢-١٣) مراحل انتشار الفرع البيلوزي منذ بداية القرن الأول وحتى القرن السادس عشر الميلادي



(Stanley, 1996)

رأيت هذا المخطط من المراجع على أن يكون مجموعة المراجع البحرية والاسناد خارج الفروع الشرقية للدلتا

١- خط الساحل القديم

٢- ارتفاع مستوى سطح البحر

٣- ارتفاع مستوى سطح البحر

٤- ارتفاع مستوى سطح البحر

٥- ارتفاع مستوى سطح البحر

٦- ارتفاع مستوى سطح البحر

٧- ارتفاع مستوى سطح البحر

٨- ارتفاع مستوى سطح البحر

٩- ارتفاع مستوى سطح البحر

١٠- ارتفاع مستوى سطح البحر

١١- ارتفاع مستوى سطح البحر

١٢- ارتفاع مستوى سطح البحر

١٣- ارتفاع مستوى سطح البحر

١٤- ارتفاع مستوى سطح البحر

١٥- ارتفاع مستوى سطح البحر

١٦- ارتفاع مستوى سطح البحر

١٧- ارتفاع مستوى سطح البحر

١٨- ارتفاع مستوى سطح البحر

١٩- ارتفاع مستوى سطح البحر

٢٠- ارتفاع مستوى سطح البحر

٢١- ارتفاع مستوى سطح البحر

٢٢- ارتفاع مستوى سطح البحر

٢٣- ارتفاع مستوى سطح البحر

٢٤- ارتفاع مستوى سطح البحر

٢٥- ارتفاع مستوى سطح البحر

٢٦- ارتفاع مستوى سطح البحر

٢٧- ارتفاع مستوى سطح البحر

٢٨- ارتفاع مستوى سطح البحر

٢٩- ارتفاع مستوى سطح البحر

٣٠- ارتفاع مستوى سطح البحر

٣١- ارتفاع مستوى سطح البحر

٣٢- ارتفاع مستوى سطح البحر

٣٣- ارتفاع مستوى سطح البحر

٣٤- ارتفاع مستوى سطح البحر

٣٥- ارتفاع مستوى سطح البحر

٣٦- ارتفاع مستوى سطح البحر

٣٧- ارتفاع مستوى سطح البحر

٣٨- ارتفاع مستوى سطح البحر

٣٩- ارتفاع مستوى سطح البحر

٤٠- ارتفاع مستوى سطح البحر

٤١- ارتفاع مستوى سطح البحر

٤٢- ارتفاع مستوى سطح البحر

٤٣- ارتفاع مستوى سطح البحر

٤٤- ارتفاع مستوى سطح البحر

٤٥- ارتفاع مستوى سطح البحر

٤٦- ارتفاع مستوى سطح البحر

٤٧- ارتفاع مستوى سطح البحر

٤٨- ارتفاع مستوى سطح البحر

٤٩- ارتفاع مستوى سطح البحر

٥٠- ارتفاع مستوى سطح البحر

٥١- ارتفاع مستوى سطح البحر

٥٢- ارتفاع مستوى سطح البحر

٥٣- ارتفاع مستوى سطح البحر

٥٤- ارتفاع مستوى سطح البحر

٥٥- ارتفاع مستوى سطح البحر

٥٦- ارتفاع مستوى سطح البحر

٥٧- ارتفاع مستوى سطح البحر

٥٨- ارتفاع مستوى سطح البحر

٥٩- ارتفاع مستوى سطح البحر

٦٠- ارتفاع مستوى سطح البحر

٦١- ارتفاع مستوى سطح البحر

٦٢- ارتفاع مستوى سطح البحر

٦٣- ارتفاع مستوى سطح البحر

٦٤- ارتفاع مستوى سطح البحر

٦٥- ارتفاع مستوى سطح البحر

٦٦- ارتفاع مستوى سطح البحر

٦٧- ارتفاع مستوى سطح البحر

٦٨- ارتفاع مستوى سطح البحر

٦٩- ارتفاع مستوى سطح البحر

٧٠- ارتفاع مستوى سطح البحر

٧١- ارتفاع مستوى سطح البحر

٧٢- ارتفاع مستوى سطح البحر

٧٣- ارتفاع مستوى سطح البحر

٧٤- ارتفاع مستوى سطح البحر

٧٥- ارتفاع مستوى سطح البحر

٧٦- ارتفاع مستوى سطح البحر

٧٧- ارتفاع مستوى سطح البحر

٧٨- ارتفاع مستوى سطح البحر

٧٩- ارتفاع مستوى سطح البحر

٨٠- ارتفاع مستوى سطح البحر

٨١- ارتفاع مستوى سطح البحر

٨٢- ارتفاع مستوى سطح البحر

٨٣- ارتفاع مستوى سطح البحر

٨٤- ارتفاع مستوى سطح البحر

٨٥- ارتفاع مستوى سطح البحر

٨٦- ارتفاع مستوى سطح البحر

٨٧- ارتفاع مستوى سطح البحر

٨٨- ارتفاع مستوى سطح البحر

٨٩- ارتفاع مستوى سطح البحر

٩٠- ارتفاع مستوى سطح البحر

٩١- ارتفاع مستوى سطح البحر

٩٢- ارتفاع مستوى سطح البحر

٩٣- ارتفاع مستوى سطح البحر

٩٤- ارتفاع مستوى سطح البحر

٩٥- ارتفاع مستوى سطح البحر

٩٦- ارتفاع مستوى سطح البحر

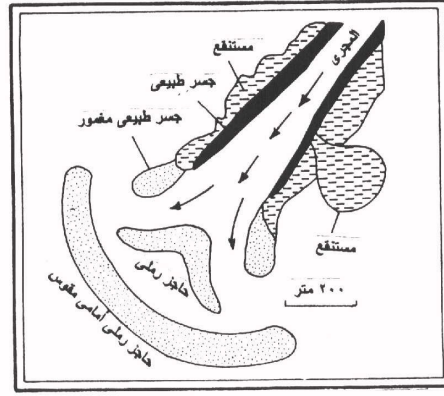
٩٧- ارتفاع مستوى سطح البحر

٩٨- ارتفاع مستوى سطح البحر

٩٩- ارتفاع مستوى سطح البحر

١٠٠- ارتفاع مستوى سطح البحر

شكل (١٢-١٤) مراحل تطور الفرع البيلوزي منذ ١٥,٠٠٠ سنة



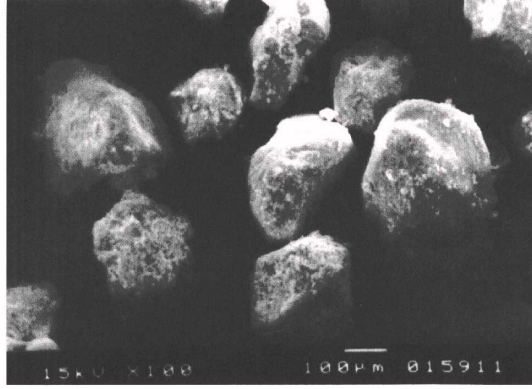
شكل (١٢-١٥) كيفية تكوين الحواجز الرملية عند مصب الفرع البيلوزى



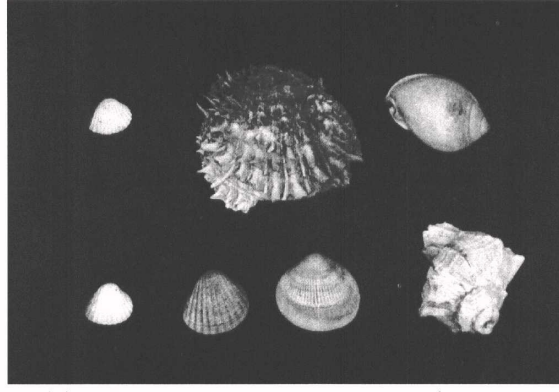
صورة (١٢-١٥) آثار قناة قديمة كانت تستخدم في رى الاراضى الزراعية



صورة (٢-١٢) قناة مائية قديمة متفرعة من الفرع البيلوزي المندثر



صورة (٣-١٢) حبيبات رواسب الفرع البيلوزي القديم تحت المجهر الإلكتروني مكبرة ١٠٠ مرة



صورة (١٢-٤) أصداف بحرية منطمة فى رواسب مصب الفرع البيلوزى
الخاتمة

أوضحت الدراسة أن السبب الأساسى فى اندثار الفرع البيلوزى يرجع إلى تعرض منطقة المصب للانغمار البحرى ، وذلك استنادا إلى مجموعة من الأدلة الرسوبية وخاصة ارتفاع نسب التكوينات الملحية ، ووجود كتل من الملح المتبلور فى الرواسب الفيضية ، إلى جانب انتشار الأصداف البحرية المرتبطة بالبيئة الشاطئية قليلة الملوحة ، بالإضافة إلى الدراسة الميدانية للأشكال الجيومورفولوجية المتبقية من الفرع ، وتعيين عمرها النسبى بالكربون ١٤ ، كما أثبتت الدراسة أن هناك بعض العوامل الثانوية قد ساهمت فى اندثار الفرع ، أهمها نقص منسوب المياه أثناء الفيضانات المنخفضة ، ودور الرياح الشمالية والتيارات البحرية فى إعادة تجمع الرواسب البحرية والفيضية عند مخرج الفرع ، إلى جانب ارتباط مصب الفرع ببخيرة المنزلة التى كانت تعتبر كمستوى قاعدة محلى ، وارتفاع قاع البحيرة المستمر مع توالى تراكم الرواسب على قاعها .

كما كشفت الدراسة عن تعرض مشروع شق ترعة السلام لبعض المخاطر البيئية فى منطقة سهل الطينة ، وأهم هذه الأخطار ارتفاع منسوب سطح البحر ، واحتمال طغيانه على السهل المنخفض المنسوب ، وتعرض

أرضية بحيرة المنزلة لحركة هبوط أرضى بمعدل يقدره البعض بخمسة ملليمترات سنويا ، لاسيما بعد حجز معظم حمولة نهر النيل من الرواسب أمام السد العالى التى كانت تعمل على توازن ساحل الدلتا أمام عوامل النحت البحرى . كما تقترح الدراسة عبور مياه ترعة السلام من خلال أنابيب خرسانية مغطاة بالبنتونمين المعالج بمواد مقاومة للأملاح ،حتى تتجنب إمكانية اختلاط مياهها بالأملاح ، والاكتفاء باستصلاح الأراضي المرتفعة المنسوب الواقعة إلى الشرق من بلدة بالوطة .

قائمة المصادر والمراجع

- أولا : المصادر :
- هيئة المساحة المصرية ، ١٩٠٧ : خرائط طبوغرافية لدلتا النيل بفاصل رأسى نصف متر ، مقياس ١ : ٢٥٠٠٠
- ثانيا : مراجع باللغة العربية :
- ١- رشدى سعيد ، ١٩٩٣ : نهر النيل- نشأته واستخدام مياهه فى الماضى والمستقبل ، القاهرة .
- ٢- محمد صفى الدين أبو العز ، ١٩٧٧ : مرفولوجية الأراضى المصرية ، القاهرة .
- ٣- محمد عوض محمد ، ١٩٤٧ : نهر النيل ، القاهرة .
- ٤- محمود محمد عاشور ، صلاح محمد عبد المغيث ، أحمد عبد السلام متولى ، جمال عبد المجيد الغزالى ، سيد أحمد عبد الغفور ، ريتشارد شاكسبى ، أحمد عبد السلام على ، ١٩٩١ : السبخات فى شبه جزيرة قطر (دراسة جيومورفولوجية - جيولوجية - حيوية) ، الدوحة .
- ٥- وزارة الأشغال العامة والموارد المائية ، ١٩٧٩ : دراسة المشروع التخطيطى لترعة السلام ، القاهرة .

ثالثا : مراجع باللغات الأجنبية :

- 1- Ball, J., 1939, Contribution to the Geography of Egypt, Cairo.
- 2- -----, 1942, Egypt in classical geographers, Geov. Press, Cairo.
- 3- Coutellier, V. & Stanley, D.J., 1987, Late quaternary stratigraphy and paleogeography of the eastern Nile Delta, Egypt, Marine Geology, V.77, pp.257-275.
- 4- Daressy, M.G., 1931, Les branches du Nil sous la 28 eme Dynastie, Bull. Soc. Geog. D' Egypte, Tome 17.
- 5- El-Fayoumy, I.F., & El-Nahass, H.A., 1988, Stratigraphy of the subsurface pliocene succession, western Nile Delta region, Egypt, Mans. Sci. Bull. V. 15, PP.79-127.

- 6- Hegab, O., & Bahloul, M., 1987, On the occurrence of peat in the subsurface holocene sediments of the Nile Delta and its geotechnical implications, Egypt. J. Geol. V.31, pp.73-83.
- 7- Foucault, A., & Stanley, D.J., 1989, Late quaternary palaeoclimatic oscillations in East Africa recorded by heavy minerals in the Nile delta, Nature, V.339, pp.44-46.
- 8- Grzymski, K.A., 1997, Pelusium : gateway to Egypt, Archeology online features, Archaeological institute of America,
<http://www.archaeology.org/online/features/pelusium/index.html>.
- 9- Linant de Bellefonds, M. A., 1873, Mémoires sur les principaux travaux d'utilité publique exécutés en Egypte deus la plus haute antiquité jusqu'à nos jours, Paris.
- 10- Lyons, H.G., 1907, Earthquakes in Egypt, Surv. Notes, No. 10, Cairo.
- 11- Magaritz, M., & Kaufman, A., 1973, Changes in the isotopic composition of east Mediterranean seawater during the holocene, Nature, V. 243, pp.462-464.
- 12- Montasir, A. H., 1937, Ecology of lake Manzala, Bull. Faculty of Science, No. 12.
- 13- Murray, W. G., 1949, Desiccation in Egypt, Bull. Soc. Geog. d' Egypte, Tome 23.
- 14- Neev, D., 1977, The Pelusium line- a major transcontinental shear, Tectonophysics, V.38, T1-T8.
- 15- Richard, A., & David, J., 1996, Coasts, London.
- 16 - Said, R., 1958, Remarks on the geomorphology of the deltaic coastal plain between Rosetta and Port Said, Buu. Soc. Geog. Egypte, V. 31, pp. 115-125.

- 17- **Sestini, G., 1989**, Deltas : sites and traps for fossil fuels, in : M.K.G. whateley and K.T. Pickering (Editors), Geol. Soc. London Spec. Publ., V.41 , pp. 99-127.
- 18- **Sneh, A., & Weissbord, T., 1973**, Nile Delta : the defunct Pelusiac branch identified, Science, V. 180, pp.59-61.
- 19- **Stanley, D. J., 1988**, Low sediment accumulation rates and erosion on the middle and outer Nile delta shelf off Egypt, Marine Geology, V.84, pp111-117.
- 20- ----- , **1990**, Recent subsidence and northeastern tilting of the Nile delta, Egypt, Marine Geology, V.94, pp. 147-154.
- 21- ----- , **Mcree, J. E., and Weldron, J.C., 1996**, Nile delta drill core and sample database for 1985-1994 : Mediterranean basin (MEDIBA) program, Smithsonian institute press, Washington, D. C.
- 22- **Torab, M., 1997**, A geomorphological map[of the ancient branches of the Nile delta, Society of Cartographers Bull, V. 30 , pp. 21-35.
- 23- **Willcocks, W., 1904**, The Nile in 1904, London.
- 24- **Zaghloul ,Z.M. , Abdel-Daiem,A.A. and Taha,A.A., 1990**, Geomorphology, Geologic evolution and subsidence of the Nile Delta during quaternary, Mans. Sci. Bull., V.17, PP.471-495.

Research No. 13

**Flood-hazards mapping of The Hafit Mountain slopes
United Arab Emirates**

Research No. 13
Flood-hazards mapping of The Hafit Mountain slopes
United Arab Emirates *

Abstract

This paper deals with the implication of gullion erosion as a result of flash floods by using the following techniques: field geomorphological mapping; flood-hazard mapping; morphometric analysis; visual landsat image interpretation; and geographical information systems.

Keywords: Gully erosion, Flood-hazards mapping, Hafit Mountain, United Arab Emirates.

Introduction:

The Hafit Mountain is an elongated anticlinal chain, lies in the eastern portion of U.A.E., as a part of the Oman folded mountain system. Hafit carbonate mountain extends in a north / south direction for about 15 kilometers, the maximum height reaches to 1163 meters. It lies near Al-Ain area, one of the largest and most ancient oases of the Arabian Peninsula (figure 13-1).

The total study area included the surrounded piedmont plains, bajada (bahada) landforms and built up area (Al-Ain City), not more than 600 kilometers squares (20X30 kilometers).

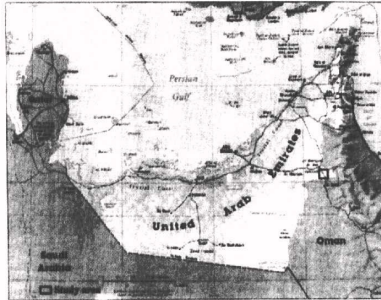


Figure (13-1) Location of the Study area

A lecture prelected in The38th Annual Summer School, Society of Geographers, Liverpool John Moores University, 2-5 Sept. 2002, published in The Bulletin of The Society of Cartographers, Volume 36, part 1,London, 2002

Research No.13: Flood-hazards mapping of The Hafit Mountain slopes

The Hafit Mountain slopes are divided by numerous radial gullies, short streams and some modified channels into parallel drainage pattern, stick to local lineaments and strikes of steeply dipping carbonate rocks. These drainage systems are separated the mountain slopes into sharp hogbacks ridges and blocks, its certainly developed under more wet climatic conditions than present dry climate (figure13-2 and 13-3).

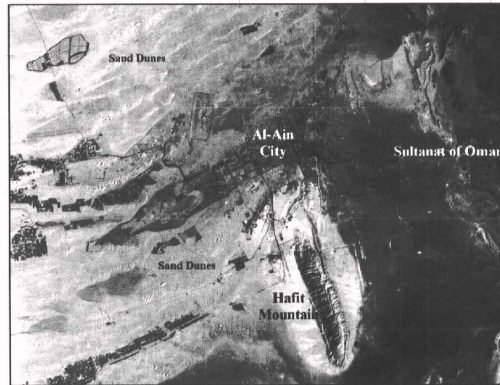


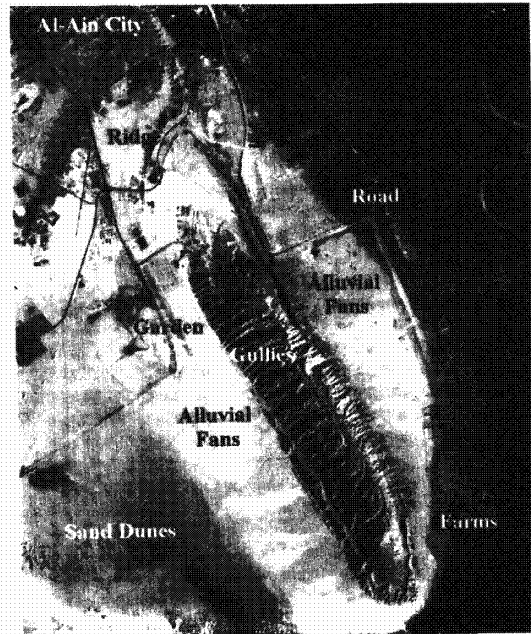
Figure (13-2) Geographical characteristics of the Hafit mountain area.

Goals and Objectives:

The goal of this paper is to create an accurate flood-hazard map, it tries to allocate areas of risk caused by flood conditions. It creates easily-read, rapidly-accessable maps which help planners define areas of hazards to reduce their effects.

Geographic information systems (GIS) provide a method to address common environmental problems, including flash-floods in arid areas. This study deals with the implication of flood-hazard mapping which caused by gulling erosion, by using Geographical information system as well as the following techniques:

- Field geomorphological mapping.
- Visual landsat image interpretation.
- Drainage basins morphometric analysis.
- Flood-hazards mapping.



Figure(13-3) General Morphology of The Hafit area.

Methods:

The initial data used for this study got from two sources; the first includes contour data from topographical maps (Scale 1:50,000), as well as landuse such as: building, roads, farms, gardens etc . The second data source was derived from Landsat images (scale 1:100,000- accurate to two meters) (figure 13-3) .

- 1- The first step in overlaying different data sources for comparison and analysis would be to georeference them.
- 2- The second step was to creat the geomorphological map and landuse maps for the study area.

Research No. 13: Flood-hazards mapping of The Hafit Mountain slopes

- 3- The third step was calculate morphometric factors for major flood channels and gullies.
- 4- Last step was create flood-hazard map depening upon overlaying and comparison different data maps.

Geological Conditions:

The Hafit mountain is primarily composed of interbedded carbonate and evaporates formations of Lower Eocene to Miocene age. The rocks are mainly limestones and marls interbedded with gypsum and dolomite. The average thickness is about 1,500 meters.

The Hafit Mountain is pitching fold as a part of Oman mountains, it have doubly plunging , asymmetrical anticline, which trends north-south. The asymmetry of the fold is characterized by a steeply dipping to overturned eastern limb and a more gently dipping western limb. The outcrop is bounded by thrust faults, a major thrust to the west and a conjugate back thrust to the east (Cherif and El-Deeb, 1984 , Abou El-Enin, 1993).

The Hafit Mountain is cut by numerous normal sub-vertical faults and fractures. The fault system is exposed at the outcrop strike perpendicular to the axis of the major fold, or from north-east and north-west trending conjugate sets (photos 13- 1 and 13- 2).

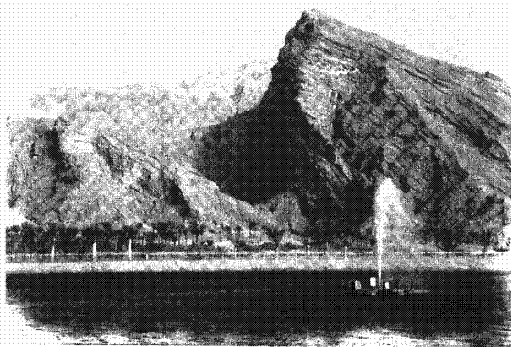


Photo (13-1) Steep scarp (Hog back) near western slopes of the Hafit mountain which cut by numerous gullies.

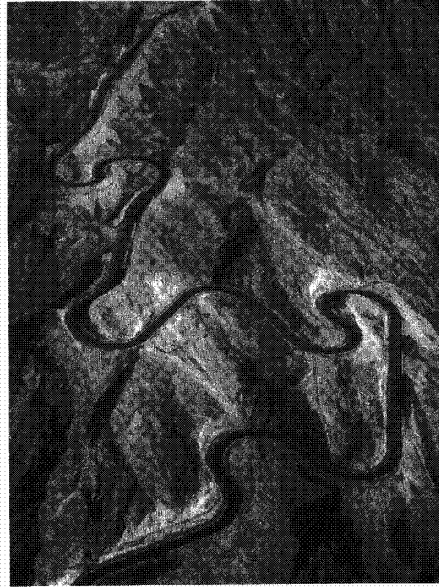


Photo (13-2) Meandrous road to summit of the Hafit mountain
(After: Vinc, 1998, p.77)

Meteorological data and Flood events :

Meteorological data of Al- Ain city shows that short periods of heavy rainfall occur between January and February months as a result of unstable air with high humidity. The rain fall amount during last 10 years was in the range up to 400 mm. The strongest flood event occurred in February 1993, with precipitation ranging between 30 mm to 90 mm, it resulted some damages to buildings, roads, farms and gardens. The highest risk zone was lies in the eastern footslopes of the eastern ridge of Hafit mountain (Al-Shamsei, 1993).

The spatial gullies effect is localized, modification the overall landscape during single event in cultivated and urban landuse areas, such events can be

Research No.13: Flood-hazards mapping of The Hafit Mountain slopes
a major cause of erosion and damage, but we can use this great amount of
water in agriculture (photos 13- 3 and 13- 4).



Photo (13-3) One of the drainage basins in the area of study.

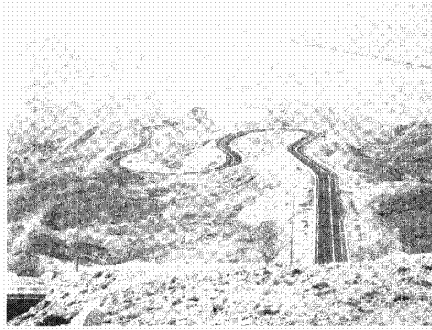


Photo (13-4) Part of the main road to summit of the Hafit mountain.

The Concept of Flood-Hazard Mapping:

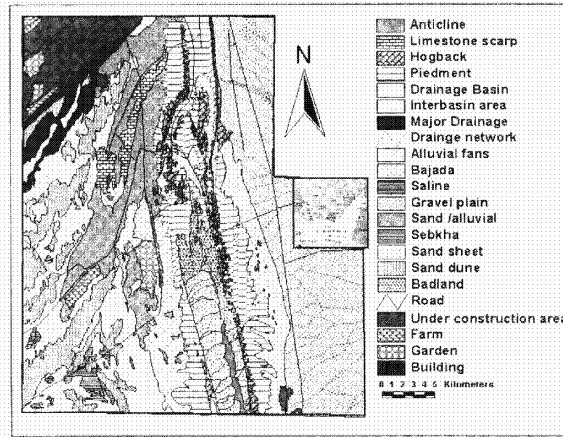
Flood-hazard mapping deals with providing flood-plain information for planning and management programs. The major useage of flood-hazard mapping to suggest development plains in flood areas, maintenance of stream channel cross-sections and preserve ground-water recharge during flood events (Sheaffer et al., 1983) .

Results:

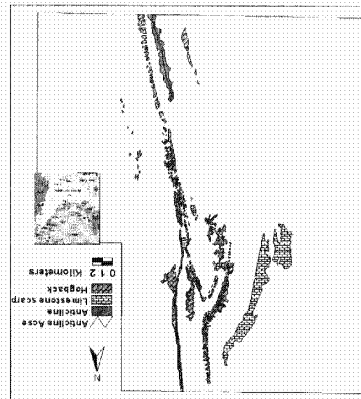
Geomorphological Maps:

The geomorphological mapping based on visual landsat image interpretation as well as the field observation , it consists of the major geomorphological features in the follwing layers (figure 13-4):

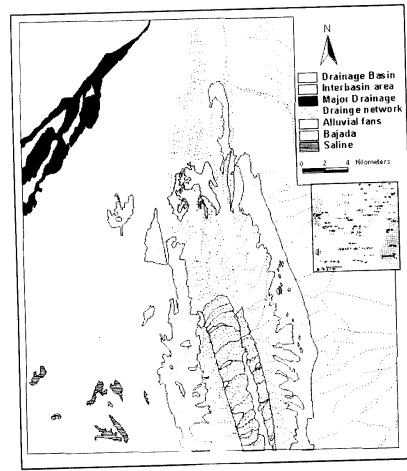
1. Types of ridges layer (figure 13-5).
2. Drainage system layer (figure 13-6).
3. Sand dunes layer .



Figure(13-4) Geomorphological Map of the Hafit area



Figure(13-5) Types of ridges layer.

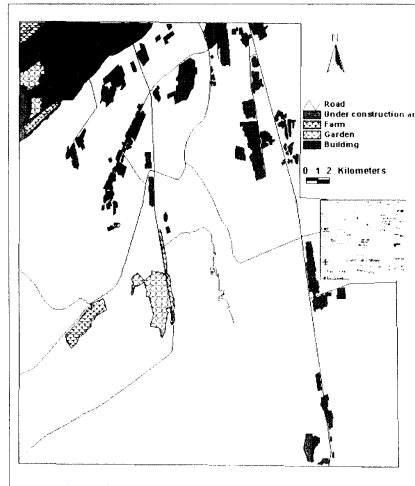


Figure(13-6) Drainage system layer.

Landuse Map:

The landuse mapping based on visual landsat image and field observation , it consists of the follwing layers (figure 13- 7):

1. Buildings layer.
2. Underconstruction area layer.
3. Roads layer.
4. Farms layer.
5. Gardens layer.

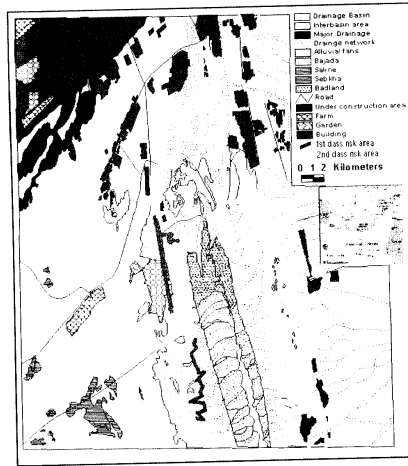


Figure(13-7) Landuse Layers.

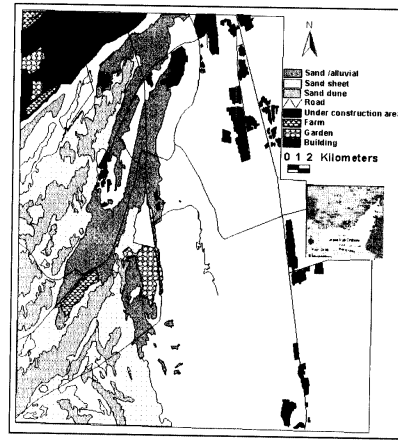
Relationship Maps:

The relationship maps were created from comparison between geomorphological and landuse maps, we got the following two maps:

1. Relationship between drainage system and landuse map (figure13-8)
2. Relationship between sand dunes and landuse map (figure 13-9).



Figure(13-8) Relationship between drainage system and landuse map

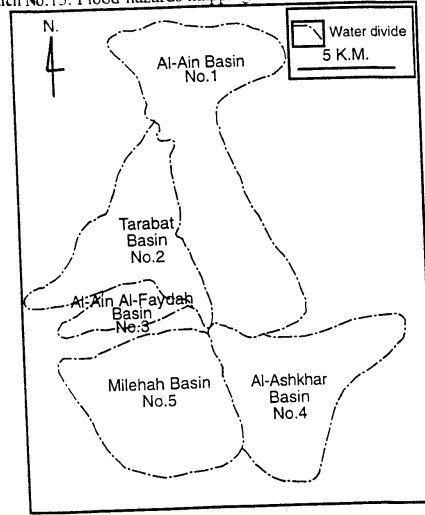


Figure(13-9) Relationship between sand dunes and landuse map.

Morphometric analysis of Drainage Basins:

The flash flood-hazard wadis were determined and mapped for most basins in the Hafit mountain area. These maps may prove to be very important for infrastructure planning and preservation of the ground-water. The Hafit mountain slopes were consist of the following small drainage basins (figure 13-10) :

1. Al-Ain basin (N0.1).
2. Tarabat basin (N0.2).
3. Al-Ain Al-Fayda basin (No.3).
4. Al-Ashkhar basin (No.4).
5. Milehah basin (No.5).



Fig(13-10) Drainage basins of the Hafit Mountain area
(After: Al-Shamsei, 1993,p.88)

The morphometric parameters were calculated for each basin based upon (Strahler, 1954) stream network ordering method :

Table (13-1) Results of morphometric analysis of the Hafit drainage basins

Basin No.	Total stream number				Mean stream length (km)				T.S.L	Basin area (km ²)	B.R.	F	D
	1st	2nd	3rd	4th	1st	2nd	3rd	4th					
1	34	9	2	1	1.73	5.22	1.72	12.24	121.48	75.17	3.42	0.62	1.61
2	43	13	4	1	1.42	3.64	3.83	9.47	133.17	37.20	3.52	1.64	3.58
3	10	3	1	0	0.97	1.74	3.63	0	18.55	9.80	3.17	1.43	1.89
4	43	11	1	0	0.84	2.31	7.62	0	69.15	49.70	7.46	1.11	1.39
5	46	15	5	1	0.87	1.1	4.63	6.92	86.59	55.35	3.69	1.54	1.56

Where:

Bain No.= Basin number.

1st= First order steams.

Research No.13: Flood-hazards mapping of The Hafit Mountain slopes

2^{nd} = Second order streams.

3^{rd} = Third order streams.

4^{th} = Forth order streams.

$T.S.L$ = Total stream length (km).

$B.R.$ = Bifurcation ratio: (relationship between stream number of stream order to above order).

F = Frequency number: (relationship between steam number to basin area)..

D = Drainage density : (relationship between total stream length to basin area).

The most dangerous areas are identified based on the calculated parameters of the basins and buffers (table 2 and figure12). where the probability of flood risk increase in the basins which have the following parameters (El-Shamey, 1995):

1. Decrease of bifurcation ratio.
2. Increase of frequency number.
3. Increase of drainage density.

Table (13-2) Indications of morphometric analysis results

Basin No.	B.R.		F		D		Mean Risk	
1	H	2	V.L	5	M	3	M	3.33
2	M	3	V.H	1	V.H	1	V.H	1.67
3	V.H	1	M	3	H	2	H	2
4	V.L	5	L	4	V.L	5	L	4.67
5	L	4	H	2	L	4	M	3.33

Where:

V.H. (1) = Very high probability of flood risk

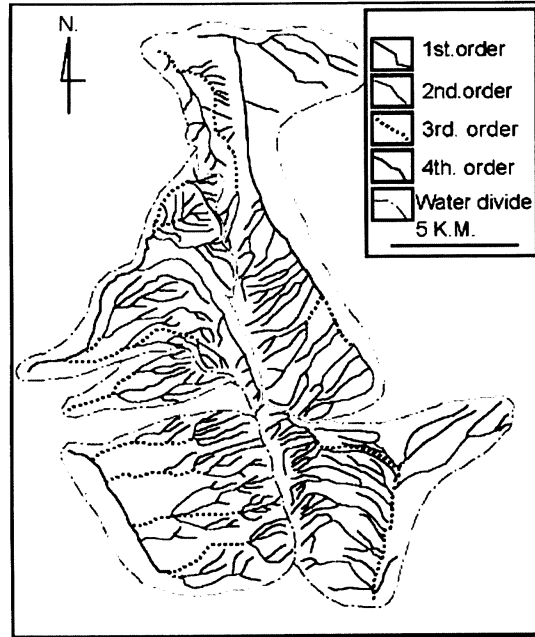
H (2) = High probability of flood risk.

M (3) = Medium probability of flood risk.

L (4) = Low probability of flood risk.

V.L (5) = Very low probability of flood risk.

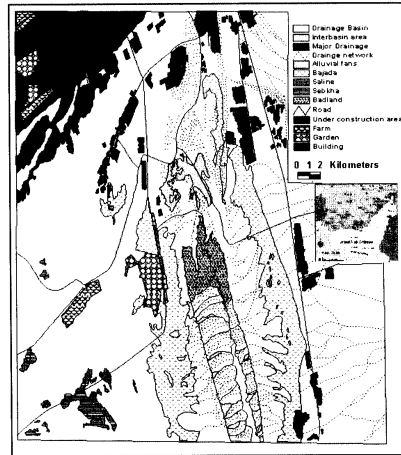
Results calculated from morphometric analysis shows that basins with high probability of flash flood-hazards are basins no. 2 & 3, as compared to others in the sub-watersheds of the Hafit mountain basins. These indications are used in creating the flood-hazard map (figure 13-12).



Fig(13-11) Stream orders of the Hafit mountain area
(Stream network after: Al-Shamsei, 1993,p.84
& Stream ordering according to Strahler, 1954,p.344)

Conclusion:

Creating flood-hazard maps serve a major purpose for attempts to identify what areas are in danger undervarying flood conditions (figure13-12).



Figure(13-12) Flood-hazard map of The Hafit mountain area

Acknowledgement:

The researcher would like to express his gratitude to. Dr. Mohamed Yagoub , the assistant Prof. Of GIS., U.A.E. University and Mr. Yasser Hammam, GIS analyst and programmer, U.A.E University , for their helping in analyzing GIS data.

References:

1. **Abou El-Enin, 1993:**
Rock-weathering in Jabal Hafit to the south Al-Ain city,
United Arab Emirates, Kuwait Univ. Geog. Dept. Bull.,
No.153, 46 p.
2. **Al-Shamsei, M.H., 1993:**
Drainage basin and flash flood hazards in Al-Ain area,
United Arab Emirates, M.A. thesis, faculty of science,
U.A.E.Univ, Al-Ain, U.A.E., 129 p.
3. **Bryant, E., 1991:**
Natural Hazards, Cambridge University Press, Cambridge,
276p.
4. **Cherif, O.H. and El-Deeb, W.M.Z., 1984:**
The Middle Eocene-Oligocene of the Northern Hafit, Geol.
Medi. Tome XI, pp.207-217.
5. **El-Shamey, I.Z., 1995:**
The Control of floods in dry lands, conference of water in
Arab world, Egyptian Geog. Soc.(In Arabic language),
pp.61-81.
6. **Khalifa, M.A., Without date:**
Hydrogeology of the geothermal fractured-rock well field at
Jabal Hafit, Abu Dhabi Emirate, Internal unpublished report
in: National Drilling Company, Al-Ain, U.A.E., 19p.
7. **Sheaffer, J.R., Davis, W.L., and Spieker, A.M., 1983:**
Flood-Hazard mapping in Metropolitan Chicago, in:
Environmental Geology, Editing by: Tank, R. W., Oxford
University Press, New York, pp.249-263.
8. **Vine, P., 1998:**
UAE in focus, a photographic history of the United Arab
Emirates, Trident press Ltd, U.K., 300P.

